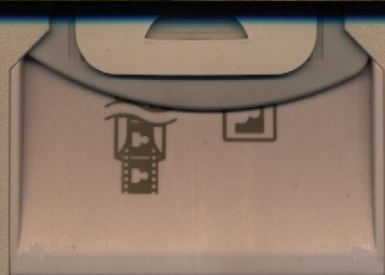


ISSN 0201-8489

Физиологический
журнал 2
Том 32
1986



ФИЗИ

Физика и химия
Лауреат Ленинской и Государственной премии
—октагоном для изучения
атомной физики, химии

Научно-теоретический журнал

Том 32, № 2, март—

ЧУДОМ ПРИРОДЫ
—ИТОГОМ ДОСЛІДІВ
ХІМІЧНОГО ХІДОДАННЯ
ЧУДОВИЩНОЮ РЕАКЦІєю

СІН ВІДМОВЛЯЮТЬСЯ
ЧІЛДОСІСТІВЛЯЮТЬСЯ

УДК 611.8.1:612.823.5:611.814.3

ІДЕНІЧНОЮ МОДЕЛЮ

В. Н. Ка

МОРФО-ФУНКЦІ

ХІМІЧНОГО ФРОНТОВОГО

—ІТОГОМ ДОСЛІДІВ С

—ІТОГОМ ДОСЛІДІВ С

—ІТОГОМ ДОСЛІДІВ С

Один из возможных вариантов организации различного действия с коркой. Важными сведениями являются связи между корковыми волоконными системами теристике корковых гипоталамуса, о роли интеграции и их зонах, а также мотивационные.

Афферентные сенсорные. Основные сенсорные и физиологические и в Теснейшие анатомические залы, что данная интеграция сигналов полей, что, вероятно, ческих реакций.

Данное экспериментальное исследование посвящено детально базальную височную электрических реакций структур гипоталамуса у кошки.

Опыты проводили на физиологического и экспериментальной дегенерации.

Для электрофизиологической проекции фронтобазальных

© Издательство «Науког

РЕДАКЦИОННАЯ КОЛЛЕГИЯ

Ф. Н. Серков
(главный редактор)
В. А. Березовский
Н. В. Братусь
М. И. Гуревич
Б. Е. Еспленко
А. Г. Задорожный
(ответственный секретарь)
Н. Н. Зайко
Н. В. Ильчевич
П. Г. Костюк
А. А. Мойбенко
(зам. главного редактора)
В. В. Фролькис
В. А. Черкес
З. А. Сорокина

РЕДАКЦИОННЫЙ СОВЕТ

Ф. Н. Серков
Г. М. Бутенко
Ф. П. Ведяев
Н. Н. Горев
З. С. Донцова
В. Н. Казаков
А. В. Квасницкий
К. В. Кованов
В. П. Комисаренко
А. О. Навакатикян
В. Н. Никитин
Е. Н. Панасюк
В. С. Райцес
П. И. Сябров
Г. И. Федорович
Г. Л. Хасабов
А. И. Хомазюк

Научный редактор Ф. Н. Серков
Ответственный секретарь редакции Г. С. Сокирко

Адрес редакции: 252024 Киев 24, ул. Богомольца, 4
тел. 91 20 84

Редактор В. В. Войтенко

Художественный редактор Т. М. Немировская

Технический редактор С. В. Дивуля

Корректор Г. С. Божок

Сдано в набор 29.12.85. Подп. в печ. 21.02.86. БФ 01533. Формат 70×108/16. Вып. печ.
Усл. печ. л. 11,2. Усл. кр.-отт. 11,7. Уч.-изд. л. 12,84. Тираж 1000 экз. Заказ 5-954.

Киевская книжная типография научной книги, 252004, Киев 4, ул. Репина, 4.





АКАДЕМИЯ НАУК УКРАИНСКОЙ ССР
ИНСТИТУТ ФИЗИОЛОГИИ им. А. А. БОГОМОЛЬЦА

ФИЗИОЛОГИЧЕСКИЙ ЖУРНАЛ

Научно-теоретический журнал • Основан в 1955 г. • Выходит 1 раз в 2 месяца

Том 32, № 2, март—апрель, 1986

Киев Наукова думка

Удостоен премии Национальной Академии наук Украины по науке и технике в области физиологии и медицины за 1985 год. Премия присуждена за выполнение научных работ, имеющих важное значение для развития науки и практики в области физиологии и медицины.

В. Н. Казаков, Е. Д. Крахоткина, П. Я. Кравцов,
Н. И. Шевченко, В. Ф. Андреева

МОРФО-ФУНКЦИОНАЛЬНАЯ ХАРАКТЕРИСТИКА СВЯЗЕЙ ФРОНТОБАЗАЛЬНЫХ ОТДЕЛОВ КОРЫ МОЗГА С ГИПОТАЛАМУСОМ У КОШКИ

Один из возможных подходов к исследованию функциональной организации различных образований гипоталамуса — изучение их взаимодействия с корой головного мозга. В связи с этим представляются важными сведения о сложной структурно-функциональной организации связей между корковыми полями и структурами гипоталамуса: о ходе волоконных систем и местах их окончаний, о морфологической характеристике корковых нейронов, являющихся источниками афферентации гипоталамуса, о роли кортико-гипоталамических связей в механизмах интеграции и их значении в осуществлении вегетативных функций, а также мотивационных и эмоциональных реакций организма.

Афферентные связи гипоталамуса обширны и изучены еще не полностью. Основные сведения по этому вопросу получены в результате физиологических и нейроморфологических исследований [1, 2, 6—8, 13]. Теснейшие анатомические связи гипоталамических ядер с фронтобазальными кортикальными формациями [3, 4, 12, 14] позволяют предполагать, что данная область мозга может быть отделом, где происходит интеграция сигналов, идущих к нему от различных неокортикальных полей, что, вероятно, обеспечивает полноту и направленность поведенческих реакций.

Данное экспериментальное морфо-функциональное исследование посвящено детальному изучению путей, соединяющих фронтальную и базальную височную области коры с гипоталамусом, и суммарных биоэлектрических реакций (типа ВП — вызванных потенциалов) различных структур гипоталамуса в ответ на раздражение коры головного мозга у кошки.

Методика

Опыты проводили на 40 взрослых кошках обоего пола с использованием электрофизиологического и электронно-микроскопического методов, а также техники экспериментальной дегенерации.

Для электрофизиологического исследования с помощью регистрации ВП изучали проекции фронтобазальных отделов коры больших полушарий в различных структурах

НЫ СОВЕТ

ий
з
енко
кин

иц

ьца, 4

108/16. Вып. печ.
Заказ 5-954.
Репина, 4.

гипоталамуса. Раздражающие электроды располагали в области префронтальной коры (ПК) — прореальной извилины и базальной височной коры (БВК) полюса и основания височной доли. Введение макроэлектродов производили с помощью стереотаксического аппарата. Позиции электродных треков контролировали последующим расчетом каждой промежуточной позиции кончика электрода. В опытах применяли нембуталовый наркоз (40—50 мг/кг внутрибрюшинно).

При одностороннем разрушении исследуемых областей мозга кошки доступ к корковым полям 8 и 36 [10] осуществляли путем трепанации лобной и височной костей черепа. Удаление соответствующих областей коры производили под нембуталовым наркозом с помощью специальных приспособлений, позволяющих экстирпировать одинаковые участки ткани. Через 7—8 сут животных перфузировали физиологическим раствором и 10 %-ным формалином и извлекали мозг, который дополнительно фиксировали 10 %-ным формалином. Срезы толщиной 30 мкм изготавливали на замораживающем микротоме, после чего на серии фронтальных срезов, окрашенных по методу Финка и Хаймера [9], прослеживали ход и распределение дегенерирующих субкортикальных волокон. Зоны повреждения контролировали на препаратах, окрашенных по методу Нисселя. Локализацию и номенклатуру ядер определяли согласно атласу Джаспера и Аймон-Марсана [11].

Для электронно-микроскопического исследования мозг животного извлекали на 7—8-е сутки после удаления указанных участков коры. Обработку материала проводили по общепринятой методике. Контуры фронтальных планов срезов и границы ядер зарисовывали в определенном масштабе, локализацию дегенерирующих элементов отмечали точками.

Результаты и их обсуждение

Электрофизиологические исследования проекций кортикальных структур показали, что прореальная извилина имеет нисходящие связи с центральным участком передней гипоталамической области, латеральными отделами преоптического поля (RPO), захватывая ростральные и медиодорсальные отделы медиального пучка переднего мозга (MFB) и область нижней таламической ножки, с латеральным гипоталамусом (HL) и вентро-медиальным ядром, а также с областью мамилярных тел (Cm) (рис. 1, а).

При раздражении прореальной извилины передних отделов гипоталамуса ВП были представлены в виде двухфазного негативно-позитивного комплекса. Латентный период ВП в фокусе максимальной активности в ответ на раздражение данной извилины составлял 2,0—2,5 мс, амплитуда его начальной фазы достигала 130—140 мкВ. Конфигурация ответов медиальных и латеральных отделов гипоталамуса была, как правило, негативно-позитивной. Латентный период ВП при раздражении прореальной извилины в медиальных отделах гипоталамуса составлял 3,4—4,1 мс, в латеральных — 2,6—3,5 мс. При раздражении прореальной извилины коры ВП, возникающие в задних отделах гипоталамуса, также представлены негативно-позитивным комплексом. Латентный период реакций в области мамилярных тел составлял 2,5—3,0 мс, а в области заднего отдела гипоталамуса — 3,5—4,0 мс (таблица).

Связи гипоталамуса с БВК носили более диффузный характер. Наиболее выраженное влияние данная кортикальная область оказывает на центральные участки RPO, переднее гипоталамическое ядро (Ha) и латеральное Cm (рис. 1, б).

При раздражении БВК суммарные электрические реакции, возникающие в передних отделах гипоталамуса, характеризовались начальной негативной фазой; их латентный период в этих структурах составлял 5,1—5,5 мс. Ответы, возникающие в медиальных и латеральных отделах гипоталамуса при раздражении БВК, характеризовались негативно-позитивной конфигурацией. Начально-позитивные ответы наблюдались редко. Это указывает на то, что дипольные взаимоотношения в гипоталамусе при раздражении БВК выражены слабо. Латентный период ВП, зарегистрированных в латеральных отделах гипоталамуса, составлял 5,1—6,0 мс, в медиальных — 7,0—8,1 мс. ВП, отведенные от

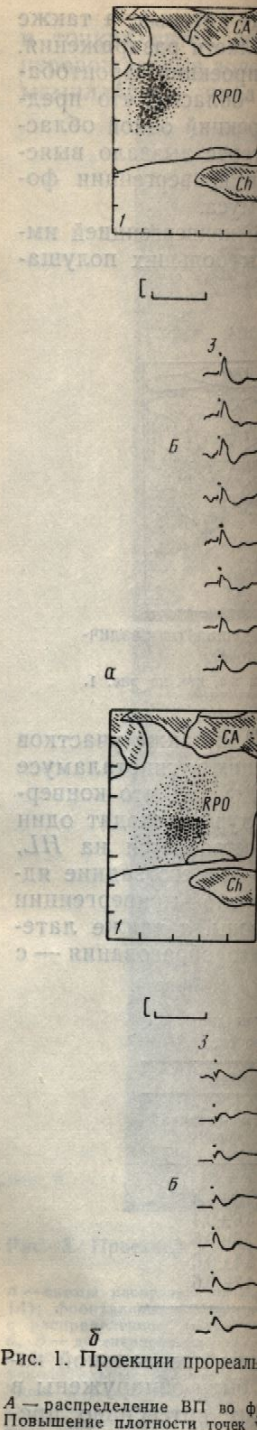


Рис. 1. Проекции прореал-

А — распределение ВП во ф-
Повышение плотности точек
ВП в области гипоталамуса и
мозга показана область раз-

задних отделов гипоталамуса и
в фокусе максимальной активности
в латеральных отделах гипоталамуса.

Как видно, при

Физиол. журн., 1986, т. 32, № 2

асти префронтальной коры (БВК) полюса и основания с помощью стереотаксического, ведущим расчетом каждой наняли нембуталовый наркоз.

мозга кошки доступ к корлобной и височной костей производили под нембутало-вляющими экстирпировали узорами физиологическим пры дополниительно фикси-готавливали на заморажив-ов, окрашенных по методу дегенерирующих субкорти- препаратах, окрашенных пределяли согласно атласу

животного извлекали на ботку материала проводили резов и границы ядер заря-ующих элементов отмечали

ФИЗИОЛОГИЧЕСКОМ

оекций кортикальных имеет нисходящие свя-ческой области, лате-, захватывая ростраль-ка переднего мозга с латеральным гипота-также с областью ма-

передних отделов гипо-разного негативно-пози-кусе максимальной ак-ции составлял 2,0—ла 130—140 мкВ. Кон-

отделов гипоталамуса-ентный период ВП при-ных отделах гипотала-6—3,5 мс. При раздражи-ющие в задних отделах озитивным комплексом. ярных тел составлял таламуса — 3,5—4,0 мс

ффузный характер. На-на область оказывает ламическое ядро (*Ha*)

ические реакции, возни-актеризовались началь-этых структурах состав-альных и латеральных ха-рактеризовались нега-тивные ответы наблю-дены слабо. Латентный от-делах гипоталамуса, мс. ВП, отведенные от

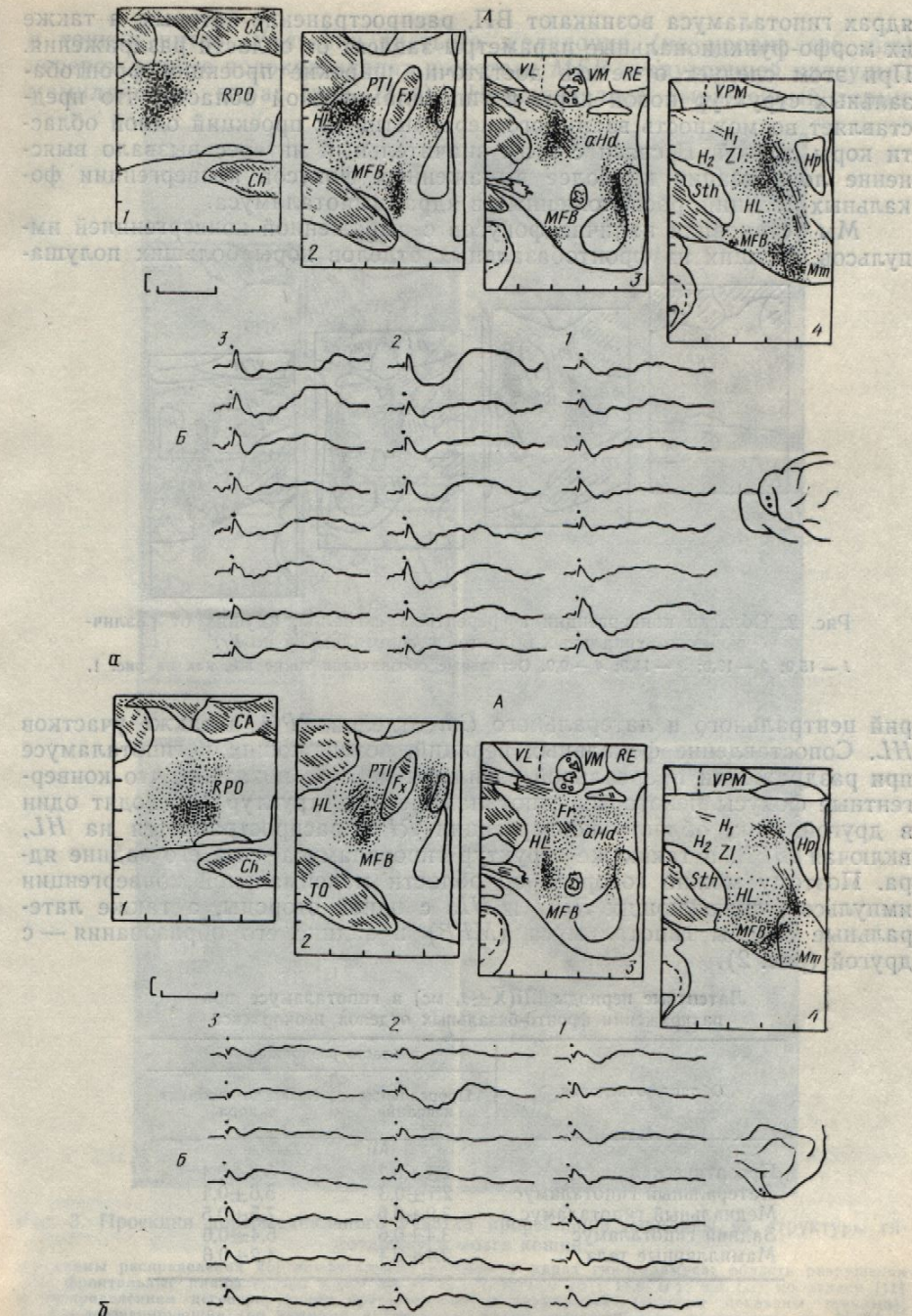


Рис. 1. Проекции прореальной извилины (а) и базальной височной области (б) в гипоталамусе:

А — распределение ВП во фронтальных плоскостях по *Fr* — 15,0 (1), 13,0 (2), 11,0 (3), 9,0 (4). Повышение плотности точек указывает на сокращение латентного периода ВП; Б — распределение ВП в области гипоталамуса по *Fr* — 9,0, сагиттальное 0 на 1 мм (1), 2 мм (2), 3 мм (3). На карте мозга показана область раздражения. Калибровка — 100 мкВ, отметка времени — 100 мс. Сокращенные названия по атласу [11].

задних отделов гипоталамуса, были представлены двухфазными негативно-позитивными комплексами. Латентный период появления ответов в фокусе максимальной выраженности реакции был таким же, как и в латеральных отделах гипоталамуса.

Как видно, при раздражении определенных корковых областей в

ядрах гипоталамуса возникают ВП, распространение которых, а также их морфо-функциональные параметры зависят от области раздражения. При этом следует отметить достаточно широкие проекции фронтобазальных структур новой коры в гипоталамической области, что представляет возможность взаимного перекрытия их проекций одной области коры другой. В связи с этим значительный интерес вызвало выяснение локализации наиболее выраженных фокусов конвергенции фокальных реакций, расположенных в ядрах гипоталамуса.

Мы установили наличие фокусов с выраженной конвергенцией импульсов, идущих из фронтобазальных отделов коры больших полушарий.

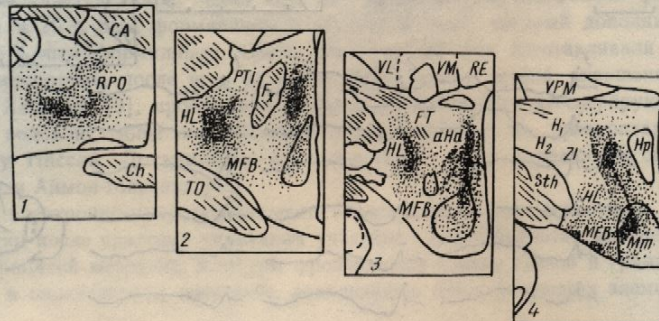


Рис. 2. Области конвергенции афферентных сигналов, идущих от различных кортикальных областей к гипоталамусу по Fr:

1 — 15,0; 2 — 13,0; 3 — 11,0; 4 — 9,0. Остальные обозначения такие же, как на рис. 1.

рий центрального и латерального *Cm* отделов *RPO*, а также участков *HL*. Сопоставление фокальных реакций, возникающих в гипоталамусе при раздражении прореальной извилины и БВК, показало, что конвергентные фокусы некоторых гипоталамических структур переходят один в другой. Так, область конвергенции *RPO* распространяется на *HL*, включая *MFB*, а таких же структур гипоталамуса — на его задние ядра. Поэтому можно говорить об области максимальной конвергенции импульсов, включающих *RPO* и *HL*, с одной стороны, а также латеральные отделы гипоталамуса (*MFB*) и задние его образования — с другой (рис. 2).

Латентные периоды ВП($\bar{X} \pm \sigma$, мс) в гипоталамусе при раздражении фронтобазальных отделов неокортика

Область отведения	Область раздражения	
	Прореальная извилина	Базально-височная кора
Преоптическая	2,1 ± 0,2	5,3 ± 0,4
Латеральный гипоталамус	2,1 ± 0,3	5,6 ± 0,4
Медиальный гипоталамус	3,9 ± 0,6	7,5 ± 0,5
Задний гипоталамус	3,4 ± 0,6	5,4 ± 0,6
Мамиллярные тела	2,4 ± 0,4	4,2 ± 0,6

При односторонней дорсомедиальной экстирпации прореальной извилины фокусы распределения волокон и синапсов были обнаружены в передних и задних отделах гипоталамуса. Наиболее интенсивно претерминалная дегенерация была выражена в латеральных отделах *RPO* и в *Ha*, причем в последнем ядре плотность дегенерации была значительно выше. Отдельные фрагменты дегенерирующих волокон отмечены в *HL* (рис. 3, в). Перерожденные волокна в виде четких фрагментированных пучков наблюдались в составе *MFB* (рис. 3, г). Распавшиеся волокна, обнаружены преимущественно ипсолатерально, претерминали располагались диффузно, характеризовались тенденцией подходить к местам скопления нейронов, а их фрагменты имели форму зерен

и тонких нитей, перерожденные в мамиллярные я-



Рис. 3. Проекции дегенерирующих волокон в гипоталамусе.

а — схемы распределения (A); фронтальные планы с распределением дегенерирующих волокон (B, в); дегенерирующие волокна (в); тикофугальные волокна (г); здесь и далее условные обозначения: АДАТ — аксонная терминал, ДАС — синаптические пузыри.

нальный распад в ральном (мелкокапиллярном) (мелкокапиллярном) большая плотность в ядре.

При электронной картине распределения

Физиол. журн., 1986, т. 32, № 2

и которых, а также в области раздражения проекции фронтобазальной области, что предполагает интерес вызвало выяснение конвергенции формамуса. Конвергенцией имелись больших полуза-



идущих от различных ядер по различным путям на рис. 1.

О, а также участковящих в гипоталамусе показало, что конвергентные пути переходят один в другой на *HL*, — на его задние ядра, а также латерально образование — с

мусе при
кортика
ажения
ально-височная
кора

5.3 ± 0.4
 5.6 ± 0.4
 7.5 ± 0.5
 5.4 ± 0.6
 4.2 ± 0.6

ации прореальной извилины были обнаружены в более интенсивно проплательных отделах. Дегенерация была значительной, в виде четких фрагментов (рис. 3, г). Распавшиеся тенденции подходы имели форму зерен

и тонких нитей. У стенки третьего желудочка (на уровне его дна) перерожденные волокна входят в составе *MFB* и внутренней капсулы в мамиллярные ядра (рис. 3, а). Незначительно выраженный терминал

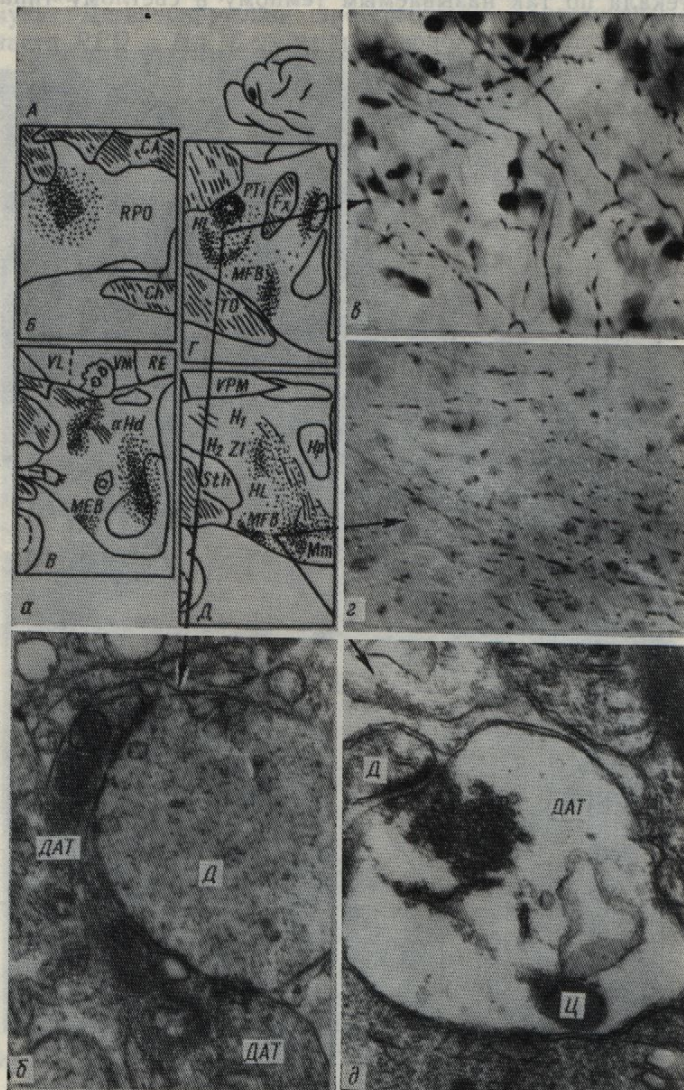


Рис. 3. Проекции дорсомедиального участка прореальной извилины на структуры гипоталамуса мозга кошки:

а — схемы распределения кортикофугальных волокон в ядрах гипоталамуса: область разрушения (А); фронтальные планы срезов мозга по Fr 15,0 (Б); 13,0 (В); 11,0 (Г); 9,0 (Д) по атласу [11] с распределением дегенерирующих претерминалей и терминалей (условно показаны точками); б, в — дегенерирующие (по темному и светлому типам синаптические окончания); ув. 20 000 и 22 000 соответственно; г, д — микрофотографии дегенерирующих претерминалей и терминалей кортикофугальных волокон в ядрах гипоталамуса (указанны стрелками); ув. 280 и 140 соответственно. Здесь и далее условные обозначения ультраструктурных элементов на микрофотографиях: АТ — аксонная терминал, ДАТ — дегенерирующая аксонная терминал, Д — дендрит, Ц — цитолизома, СВ — синаптические пузырьки, Г — глиальная клетка (астроцит). Остальные обозначения такие же, как на рис. 1.

нальный распад дегенерирующих аксонов наблюдался в *Ст*: латеральном (мелкоклеточном) и медиальном (крупноклеточном). Наибольшая плотность дегенерирующих волокон отмечена в дорсомедиальном отделе *Ст*.

При электронно-микроскопическом исследовании, дополнившем картину распределения и ультраструктуры дегенерировавших окончаний

ний аксонов, принадлежащих нейронам прореальной извилины, были обнаружены деструктивные изменения в латеральных отделах *RPO* и дорсальных отделах *HL*. Дегенерация синапсов на структурах этих ядер протекала по так называемым темному и светлому типам. Дегенерация

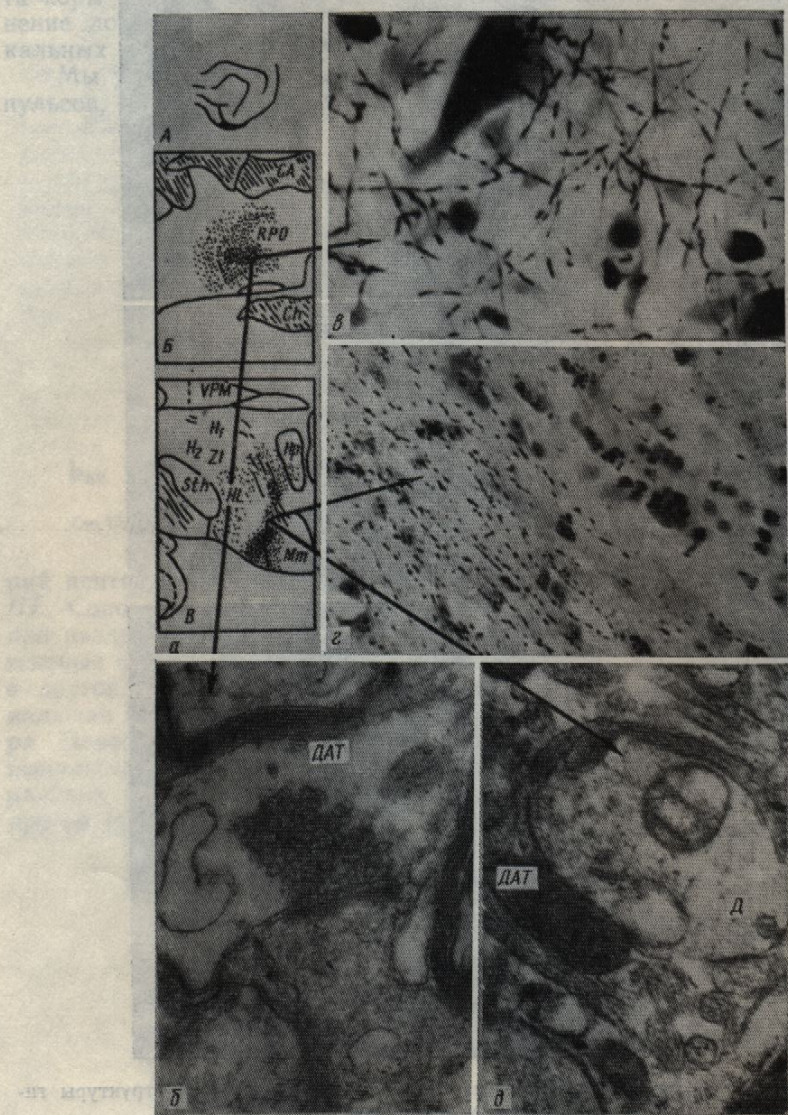


Рис. 4. Проекции базальной височной области на структуры гипоталамуса мозга кошки:
— схемы распределения кортикофугальных волокон в ядрах гипоталамуса: область разрушения (*A*), фронтальные планы срезов мозга по *Fr* 15,0 (*B*) и 9,0 (*C*) с распределением дегенерирующих претерминалей и терминалей (условно показаны точками); *D*, *E* — дегенерирующие (по светлому и темному типам) синаптические окончания; ув. 22 000; *F*, *G* — микрофотографии дегенерирующих претерминалей и терминалей кортикофугальных волокон в ядрах гипоталамуса (указано стрелками); ув. 280 и 140 соответственно. Остальные обозначения как на рис. 1.

дегенерация по темному типу характеризовалась повышением электронной плотности аксо-дendритических и аксо-соматических окончаний (рис. 3, *b*), по светлому — появлением электронно-плотных дисков — цитолизом (рис. 3, *d*). Некоторое число аксо-дendритических и аксо-соматических окончаний, которые мы рассматривали как дегенерирующие, были поглощены астроглией.

Одностороннее посыпает значительные мусы по сравнению с волокна обнаружены гипоталамуса. Дегенеральной части *RPO*



Рис. 5. Ультраструктурные снимки ядер гипоталамуса кошки:
A — локализация дегенерирующих синаптических окончаний; *B* — дегенерирующие синаптические окончания; *C* — дегенерирующие синаптические окончания; *D* — дегенерирующие синаптические окончания; *E* — дегенерирующие синаптические окончания; *F* — дегенерирующие синаптические окончания; *G* — дегенерирующие синаптические окончания; *H* — дегенерирующие синаптические окончания.

мущественно на стадии распада волокон, они располагались в случаях перерождения нормальных волокон.

При электронной микроскопии структур гипоталамуса введение БВК протекало в течение 10 мин. Время дегенерации около 1 ч. Это помогало идентифицировать аксоноплазмы в ядрах различали очертания (рис. 5, *a*), то другие про-

ьной извилины, были в отделах *RPO* и на структурах этих ветвей типам. Дегенерирующие аксо-аксонные синаптические образования обнаружены в переднем, заднем и частично среднем отделах гипоталамуса. Дегенерирующие претерминалы обнаружены в центральной части *RPO* и *На*. Дегенерация волокон прослеживалась пре-

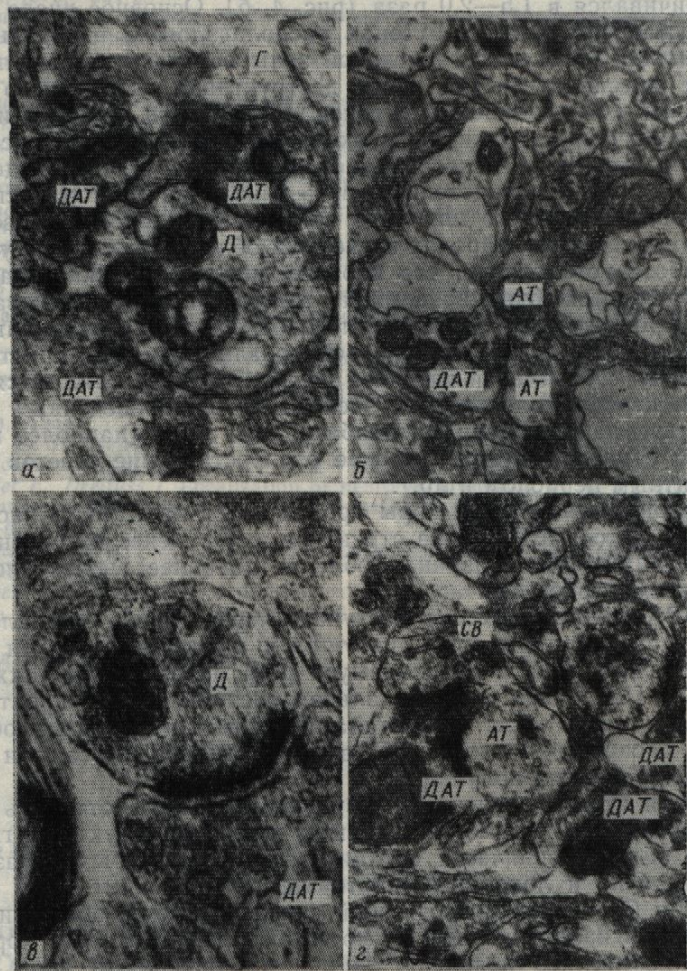


Рис. 5. Ультраструктура дегенерирующих аксонов и синапсов кортико-гипоталамических волокон мозга кошки:

a — локализация дегенерирующих аксонных терминалей на дендрите; ув. 22 000; *б*, *г* — деструктивные изменения аксо-аксональных синаптических образований *HL* и *RPO*; ув. 20 000 и 21 000 соответственно; *д* — дегенерирующие по светлому типу синаптические окончания; ув. 25 000.

гипоталамуса мозга кошки: область разрушения — дегенерирующие (по светлому типу) — дегенерирующие (по темному типу) — цито-аксо-соматические — дегенерирующие, как дегенерирующие, —

мущественно на стороне повреждения (рис. 4, *а*). Несущественное число распавшихся волокон было обнаружено в латеральном *Ст*. Здесь они располагались компактно в виде пучков (рис. 4, *г*). В некоторых случаях перерожденные волокна локализовались среди большого числа нормальных и варикозно утолщенных волокон (рис. 4, *в*).

При электронно-микроскопическом исследовании перечисленных структур гипоталамуса дегенеративные изменения в ответ на разрушение БВК протекали по темному и светлому типам. При темном типе дегенерации окончания аксонов имели электронно-плотный матрикс, что помогало идентифицировать их при изучении. Степень осмиофильности аксолазмы варьировалась. Если в некоторых потемневших бутонах различали очертания синаптических пузырьков и митохондрий (рис. 5, *г*), то другие представляли собой сплошной темный конгломерат.

Концевые расширения дегенерирующих аксонных терминалей, как правило, были сморщены, вследствие чего приобретали извилистые формы (рис. 4, д).

При светлом типе дегенерации бутоны имели светлый матрикс. Изменялись форма, размеры и расположение синаптических пузырьков. Диаметр их, по сравнению с диаметром пузырьков нормальных синапсов, увеличивался в 1,5–2,0 раза (рис. 4, б). Основное число синаптических пузырьков в таких бутонах располагалось в центральной части терминалии, тогда как у активной зоны оставалось незначительное. В центре пресинаптической части деструктивно измененного синапса наблюдалось «склеивание» пузырьков. Выявлялись дегенеративные изменения в аксонных терминалях, входящих в состав комплексов, образованных несколькими аксонными терминалями и одним дендритом (рис. 5). Это может свидетельствовать о наличии анатомического субстрата, обеспечивающего широкую конвергенцию процессов возбуждения и торможения на нейронах изученных областей гипоталамуса.

В работе установлено, что кортико-гипоталамические взаимоотношения отличаются функциональной гетерогенностью, основанной на том, что фронтальные отделы коры головного мозга оказывают более выраженное влияние на деятельность различных ядер гипоталамуса, по сравнению с базальной височной корой. Это подтверждается результатами электрофизиологических экспериментов, проведенных на гипоталамусе при раздражении фронтобазальной коры (наиболее короткий латентный период реакции, широкое распространение ответов с коротким латентным периодом и др.).

Префронтальный отдел коры проецируется на *RPO*, область *HL* и *Cm*. Что касается БВК, то эта структура имеет менее выраженные связи с гипоталамусом. Указанная область наиболее выраженно влияет на *Ha* и латеральное *Cm*.

От БВК импульсы могут поступать через ядра миндалевидного комплекса по волокнам *stria terminalis* к ядрам перегородки и затем непосредственно в *RPO* гипоталамуса [15]. Установлены также связи БВК с *Cm* [5]. Такая многоканальная система связей фронтобазальных отделов новой коры с гипоталамическими структурами объясняет широкую распространенность ВП в ядрах гипоталамуса при раздражении коры больших полушарий.

Подводя итоги полученным результатам, можно отметить следующие положения: во-первых, проекции из корковых структур в гипоталамическую область топически организованы в некоторых образованиях (*RPO*, *HL*, *Cm*) и локальны; во-вторых, объединенные *RPO* и *HL*, а также *HL* и *Cm* представляют собой единую систему, обеспечивающую интеграцию сигналов, идущих от фронтобазальных отделов коры больших полушарий, что позволяет по-новому трактовать роль влияния каждой из рассмотренных кортикальных структур на области гипоталамуса в обеспечении разных форм деятельности организма.

V. N. Kazakov, E. D. Krakhotkina, P. Ya. Kravtsov,
N. I. Shevchenko, V. F. Andreeva

MORPHO-FUNCTIONAL CHARACTERISTIC OF THE CONNECTIONS OF FRONTOBASAL BRAIN CORTEX AREAS WITH HYPOTHALAMUS IN A CAT

In experiments on cats the straight afferent connections between the cortex and hypothalamic nuclei were examined by electrophysiological and morphological methods. It is established that prefrontal and basal temporal cortex forms straight connections with preoptic area, lateral hypothalamus and mamillary bodies. The ultrastructural characteristic of axo-dendritic, axo-somatic and axo-axonal synapses formed by degenerating axonal endings is obtained. The general scheme of connections between the cortex and hypothalamic nuclei is constructed.

Medical Institute, Donetsk

1. Карцева А. Г., Майческих связей головы 507.
2. Казаков В. Н., Краев фронтобазальных с С. 44–53.
3. Кикнадзе Г. И. Страница, 1979.—224 с.
4. Кукуричкин Е. П., Бассо-ассоциативных, лимонизация интегративе 1982.— С. 44—47.
5. Львович А. И. Корлогии и эмбриологии
6. Микеладзе А. Л. Ха-кошек после повреждения леокоркекса.— М.: Н
7. Эристави Н. Г. Электролизис: Медицина, 19
8. Berk M. L. Finklsteinic regions in the rat
9. Fink R., Heimer L. Axons and their synapses.— P. 369–375.
10. Hassler R., Muchi C. Frontobasal cortex of the cat
11. Jasper H., Ajmone-M. Ottawa, 1954.
12. Socper C. B., Loewy nomic connections //
13. Tribollet E., Dreifuss ventricular nucleus a 1984.—6, N 7.—P. 12.
14. Voneida T. J., Royce Brain Res.— 1974.—7
15. Whitlock D. O., Nau macaca mulatta //

Донец. мед. ин-т МЗ УССР

Химико-биологический

институт им. И. П. Павлова

УДК 612.825.263:822.3

НЕИРОННАЯ ОРГАНИЗАЦИЯ МЕЖДУ ТЕМНОЙ И БЕЛКОВОЙ ОБЛАСТЯМИ

Известно, что темные сенсорные синапсы [13, 16, 18]. Неточно изучены. Прямые связи между

Существование ских работ, выполненных методами выявлены [3], также свидетельствует о нейро-нейронных связях в итоге определяют роль в организации

цель настоящей раб

ково-корковых связей

их терминалей, как правило извилистые формы и светлый матрикс. Из-за непрерывных пузырьков, нормальных синаптических связей в центральной части было незначительное количество измененного синапса. Измененные синапсы дегенеративные из-за компактных, обращенных к одному дендриту и анатомического субъекта процессов возбуждения гипоталамуса.

Анатомические взаимоотношения, основанные на мозге, оказывают более яркое влияние на ядра гипоталамуса, подтверждается результатом проведенных на гипоталамусе (наиболее короткий) изучение ответов с короткими

на RPO, область HL и менее выраженные связи более выражено влияют

ядра миндалевидного межперегородки и затем становятся также связи с связями фронтобазальными структурами объясняет гипоталамуса при раздражении

можно отметить следующих структур в гипоталамических образованиях интенсивные RPO и HL, а также, обеспечивающую роль влиятельную на области гипоталамуса организма.

a. Kravtsov,
eva
HE CONNECTIONS
EAS WITH
s between the cortex and hy-
and morphological methods.
rms straight connections with
The ultrastructural character-
formed by degenerating axons
between the cortex and hy-

- Карцева А. Г., Майский В. А. Морфофункциональный анализ кортико-гипоталамических связей головного мозга кошки // Физиол. журн. — 1981. — № 4. — С. 500—507.
- Казаков В. И., Кравцов П. Я. Реакции нейронов ядер гипоталамуса на раздражение фронтобазальных отделов неокортекса // Нейрофизиология. — 1978. — № 1. — С. 44—53.
- Кикладзе Г. И. Структурная организация нейронных механизмов мозга. — М.: Медицина, 1979. — 224 с.
- Кукуричкин Е. П., Бычков И. Т., Малахова О. Е. Структурно-функциональные связи ассоциативных, лимбических и интегративных отделов неокортекса кошки // Организация интегративно-пуковых механизмов деятельности мозга. — М.: Медицина, 1982. — С. 44—47.
- Львович А. И. Кортико-мамилярные пути головного мозга // Арх. анатомии, гистологии и эмбриологии. — 1971. — № 9. — С. 64—69.
- Микаеладзе А. Л. Характер распределения перерожденных волокон в головном мозге кошек после повреждения коры грушевидной доли // Структура и функция архипалеокортекса. — М.: Наука, 1968. — С. 100—113.
- Эристави Н. Г. Электрическая активность прореальной извилины коры мозга. — Тбилиси: Медицерба, 1980. — 80 с.
- Berk M. L., Finkenstein J. A. Afferent projections to the preoptic area and hypothalamic regions in the rat // Neuroscience. — 1981. — № 6. — P. 1601—1624.
- Fink R., Heimer L. Two methods for selective silver impregnation of degenerating axons and their synaptic endings in the central nervous system // Brain Res. — 1967. — 4. — P. 369—375.
- Hassler R., Muchs Clement K. Architektonischer Aufbau des sensomotorischen und parietalen Cortex der Katze // J. Hirnforsch. — 1964. — № 6. — P. 377—420.
- Jasper H., Ajmone-Marsan C. A stereotaxic atlas of the diencephalon of the cat. — Ottawa, 1954.
- Socper C. B., Loewy A. D., Swanson L. W., Cowan W. M. Direct hypothalamo-autonomic connections // Brain Res. — 1976. — № 117. — P. 305—312.
- Tribollet E., Dreifuss I. Localization of neurones projecting to the hypothalamic paraventricular nucleus area of the rat: a horseradish peroxidase study // Neuroscience. — 1984. — № 6. — P. 1315—1328.
- Voneida T. J., Royce G. J. Ipsilateral connections of the gyrus proreus in the cat // Brain Res. — 1974. — № 76. — P. 393.
- Whitlock D. O., Nauta W. J. Subcortical projections from the temporal neocortex in macaca mulatta // J. Comp. Neyrol., 1956. — № 106. — P. 183—212.

Поступила 30.07.84

И. И. Коренюк, Т. В. Хитрова

НЕЙРОННАЯ ОРГАНИЗАЦИЯ КОРКОВО-КОРКОВЫХ СВЯЗЕЙ МЕЖДУ ТЕМЕННОЙ АССОЦИАТИВНОЙ И МОТОРНОЙ ОБЛАСТЯМИ КОРЫ ГОЛОВНОГО МОЗГА КОШКИ

Известно, что теменная ассоциативная кора (ТАК) наряду с анализом сенсорных сигналов принимает участие в организации движений [13, 16, 18]. Нейронные механизмы этого процесса еще недостаточно изучены. Предполагается, что важную роль в них могут играть прямые связи между ТАК и моторной корой (МК).

Существование этих связей подтверждается рядом морфологических работ, выполненных методом дегенерации по Наута [14] и путем использования ретроградного аксонного транспорта пероксидазы хрина [1, 8, 19]. Данные электрофизиологических опытов, полученные методами вызванных потенциалов [1] и стрихнинной нейронографии [3], также свидетельствуют о наличии связей между ТАК и МК. Однако нейроно-нейроны функциональные связи ТАК с МК, которые в итоге определяют функциональное взаимодействие этих зон и его роль в организации движений, еще недостаточно изучены. Поэтому цель настоящей работы — исследование нейронной организации корково-корковых связей между ТАК и МК головного мозга кошки.

Методика

Опыты проведены на 28 кошках, наркотизированных тиопенталом натрия (35—40 мг/кг внутрибрюшинно), а затем обездвиженных *d*-тубокуарином (мг/кг внутривенно). Внеклеточно изучали реакции нейронов полей 5 и 7 супрасильвиеевой извилины [12] на микростимуляцию МК. Ранее, методом вызванных потенциалов было установлено, что проекции этих полей в МК концентрируются в передней части поля 4γ, расположенной в прекруциатной коре [6]. В связи с этим подвергали микростимуляции прекруциатную область МК. По наличию антидромного ответа идентифицировали клетки теменной коры, аксоны которых направляются в МК. Для определения ответа использовали следующие критерии: стабильный скрытый период ответа; рефрактерный период не более 1,5 мс; способность нейрона реагировать на каждый импульс серии, состоящей из пяти стимулов и следующих с частотой не менее 400 Гц; тест столкновения импульсов в аксоне. Для микростимуляции МК применяли электролитически заточенный вольфрамовый электрод в стеклянной изоляции, длина неизолированного кончика которого составляла 10—20 мкм. Одиночные толчки тока продолжительностью 0,2 мс подавали с частотой 0,5 Гц. Сила, пороговая для возникновения антидромных реакций нейронов, составляла 2—400 мкА. При такой силе стимуляции возбуждаются нервные элементы, расположенные в сфере радиусом не более 1,5 мм [17], что гарантирует локальность активации в месте раздражения. Раздражающий микроэлектрод передвигали в горизонтальном и вертикальном направлениях, что позволило повысить эффективность поиска антидромно отвечающих нейронов.

Электрокожное раздражение осуществляли через иглы, введенные в подушечку передней лапы, толчком тока продолжительностью 0,2 мс и амплитудой 15—20 В. Звуковым раздражителем служил щелчок, поступающий через полый ушной держатель от микрофона, на который подавали прямоугольные толчки тока продолжительностью 0,2 мс и амплитудой 20 В. В качестве светового раздражителя применяли вспышку лампы ИФК-120 (энергия излучения 0,27 Дж, продолжительность 1 мс), расположенной на расстоянии 10 см от глаза. Периферические раздражения подавали контролатерально исследуемому полушарию с частотой 0,5 Гц.

Способность идентифицированных нейронов реагировать на периферические раздражения и характер этих реакций оценивали двумя способами. Ответы фоновоактивных клеток выявляли путем построения постстимулярных гистограмм. У нефоновоактивных идентифицированных нейронов, как правило, не удавалось вызвать импульсный ответ на периферическое раздражение. Для выявления их реакций применяли метод парных стимулов. Кондиционирующим являлось периферическое раздражение, а тестирующим — стимуляция моторной коры, на которую идентифицированный нейрон отвечал антидромно с вероятностью 0,3—0,7. Интервалы времени между кондиционирующим и тестирующим стимулами изменяли в пределах 300 мс с шагом 20—25 мс. Остальные особенности применения парной стимуляции и отведения нейронной активности описаны ранее [5]. Расстояние между зонами раздражения и отведения, определяемое на гистологических срезах, в разных опытах составляло 18—25 мм (в среднем $21,4 \pm 3,0$) мм; здесь и далее указывается среднее значение \pm доверительный интервал при $P=0,01$.

Результаты

При внутрикорковой стимуляции прекруциатной коры в полях 5 и 7 супрасильвиеевой извилины зарегистрированы ответы 261 нейрона. Из них 208 (80 %) реагировали антидромно. Среди антидромно отвечающих нейронов у 16 (7,7 %) нервных клеток вслед за антидромным потенциалом действия развивались один или два ортодромных. Только ортодромно активировались 53 (20 %) нейрона. Следует отметить, что анализу подвергались только те ортодромные реакции, скрытый период которых составлял не более 20 мс.

Особенности реакций нейронов полей 5 и 7 на стимуляцию МК. Из 160 нейронов поля 5, ответивших на раздражение прекруциатной коры, 120 (75 %) реагировали антидромно и, следовательно, являлись корково-корковыми нейронами ТАК, аксоны которых направляются в МК. Латентный период антидромных реакций у разных клеток составлял 0,6—16,8 мс; в среднем ($2,77 \pm 0,53$) мс (рис. 1; а, в), что соответствует скорости проведения возбуждения по аксонам этих нейронов 1,3—37,8 м/с; в среднем ($11,9 \pm 1,8$) м/с. Корково-корковые нейроны поля

5 обнаружены по всей максимальное их число

Среди 101 нейрона антидромно реагировали антидромных реакций мс (рис. 1; б, г). Скорее всего имела значения

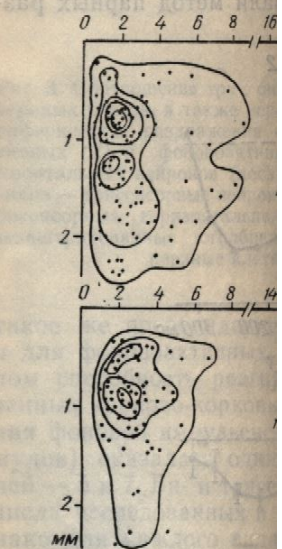


Рис. 1. Распределение парных скрытым периодам их антидромного поля с одинаковой

а, б — корелляционные поля раздражения гистограммы распределения эти граммы распределения нейронов периодам их реакций (шкале в (м/с) проведения возбуждения черным цветом, соответ

Корково-корковые нейроны. Наибольшее их в нижней части III слоя

Характер распределения по скрытым периодам по их аксонам, имеющие три группы: 1-я — 15—37 м/с; 2-я — 8—14 м/с и 3-я — меньше 8 м/с (рис. 1; в, г, д). Наиболее частые средней скоростями проводимости клетки в основном был

Ортодромно реагировавшие в поле 7—13 (13 %) нейронов рассчитывали среднюю скорость проведения нервных импульсов в коре, что отвечало $2,77 \pm 0,53$ мс. Ортодромные нейроны II—VI слое с преобладанием существенные различия в коре и латентным периодом

Реакция корково-корковых нейронов на периферическое раздражение

тиопенталом натрия (35—50 мг/кг внутривенно) супрасильвневой извилины потенциалов было установлено в передней части поля 4γ, расположенной микростимуляции. Поля идентифицировали клетки. Для определения ответа использовали период ответа; рефрактерный на каждый импульс серии, ее 400 Гц; тест стимулов и электролитически заточены неизолированного кончика продолжительностью 0,2 мс вения антидромных реакций возбуждаются первые 5 мм [17], что гарантирует, что микроЭлектрод передвигается в зоне возбуждения и повысить эффективность.

ы, введенные в подушечку амплитудой 15—20 В. Звуки полый ушной держатель и тока продолжительностью жителя применяли вспышку (до 1 мс), расположенной подавали контраполатерально

на периферические раздражители. Ответы фоновоактивных гистограмм. У нефоновоактивных гистограмм, вызвать импульсный ответ применяли метод парных раздражений, а тестируемый нейрон отвечал между кондиционирующим и падом 20—25 мс. Остальные гистограммы описаны в определяемое на гистограммах (в среднем 21,4±3,0) мм; интервал при $P=0,01$.

атной коры в полях 5 и 7 на стимуляцию МК. Важение прекруциатной ледовательно, являлись торых направляются в разных клеток составляют 1; а, в), что соответствует 1,3—2,0 м/с.

орковые нейроны поля 5 и 7 на стимуляцию МК. Важение прекруциатной ледовательно, являлись торых направляются в разных клеток составляют 1; а, в), что соответствует 1,3—2,0 м/с.

5 обнаружены по всей вертикали коры за исключением I слоя, однако максимальное их число локализовалось в III и V слоях (рис. 1, а).

Среди 101 нейрона поля 7, ответившего на стимуляцию МК, антидромно реагировали 88 (87 %) нервных клеток. Скрытые периоды антидромных реакций составляли 0,9—14,0 мс; в среднем ($2,79\pm0,48$) мс (рис. 1; б, г). Скорость проведения в аксонах этих клеток соответственно имела значения от 1,6 до 22,3 м/с; в среднем ($10,37\pm1,3$) м/с.

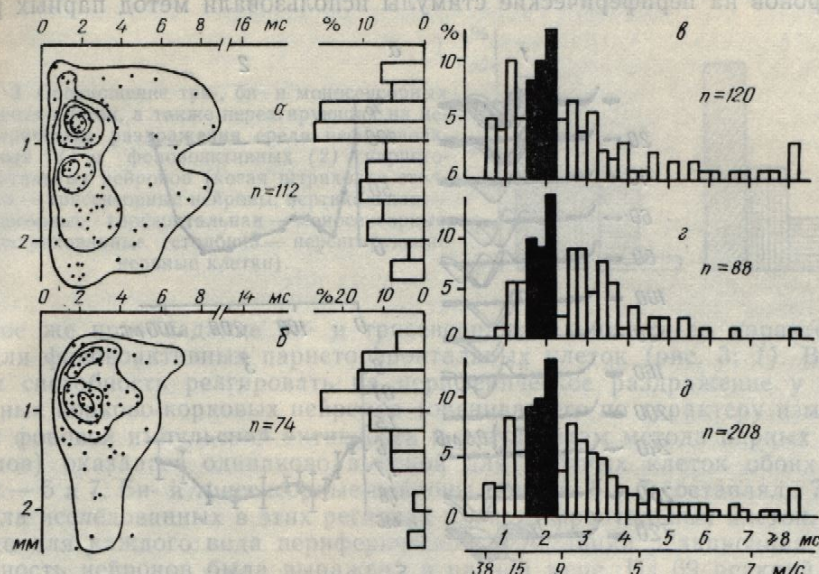


Рис. 1. Распределение парието-фронтальных нейронов по глубине залегания в коре и скрытым периодам их антидромных ответов (изолинии ограничивают участки корреляционного поля с одинаковой плотностью расположения нейронов в системе данных координат):

а, б — корреляционные поля распределения нейронов полей 5 (а) и 7 (б), их соответствующие гистограммы распределения этих клеток в толще теменной ассоциативной коры; в, г, д — гистограммы распределения нейронов полей 5 (в), 7 (г), а также двух полей вместе (д) по латентным периодам их реакций (шкала времени (мс) для скрытых периодов соответствует шкале скорости (м/с) проведения возбуждения по аксонам исследованных нейронов; гистограммы, выделенные черным цветом, соответствуют группе нейронов со средней скоростью проведения).

Корково-корковые нейроны поля 7 встречались в основном во II—V слое. Наибольшее их число наблюдали на границе II и III слоев и в нижней части III слоя (рис. 1, б).

Характер распределения корково-корковых нейронов полей 5 и 7, судя по скрытым периодам антидромных ответов и скорости проведения по их аксонам, дает основание разделить эти клетки на следующие три группы: 1-я — быстропроводящие (со скоростью проведения 15—37 м/с) клетки; 2-я — нейроны со средней скоростью проведения (8—14 м/с) и 3-я — медленнопроводящие (1,3—7 м/с) клетки (рис. 1; в, г, д). Наиболее часто в полях 5 и 7 встречались нейроны с малой и средней скоростями проведения. Быстропроводящие корково-корковые клетки в основном были зарегистрированы в поле 5.

Ортодромно реагирующие нейроны в поле 5 составляли 40 (25 %), а в поле 7—13 (13 %). Относительное число (%) реагирующих нейронов рассчитывали сравнением их абсолютного числа с общим числом исследованных нервных клеток, принятых за 100 %. Скрытые периоды их ответов варьировали в пределах 3,0—18,5 мс; в среднем ($7,06\pm2,01$) мс. Ортодромно активируемые нейроны были распределены во II—VI слое с преобладанием в V. Между полями 5 и 7 не выявлены существенные различия в распределении указанных клеток по глубине коры и латентным периодам их реакций.

Реакция корково-корковых нейронов ТАК, имеющих выход в МК, на периферическое раздражение. Из числа 208 антидромно активируе-

мых нейронов ТАК у 31 (15 %) удалось выявить фоновую импульсную активность. Фоновоактивным клеткам (23) были предъявлены периферические стимулы всех трех используемых модальностей. Из них 12 (52 %) оказались трисенсорными, 6 (26 %) — бисенсорными, 3 (13 %) — моносенсорными и 2 (9 %) нейрона не реагировали ни на одно из разномодальных периферических раздражений.

Для выявления реакций нефоновоактивных парието-фронтальных нейронов на периферические стимулы использовали метод парных раз-

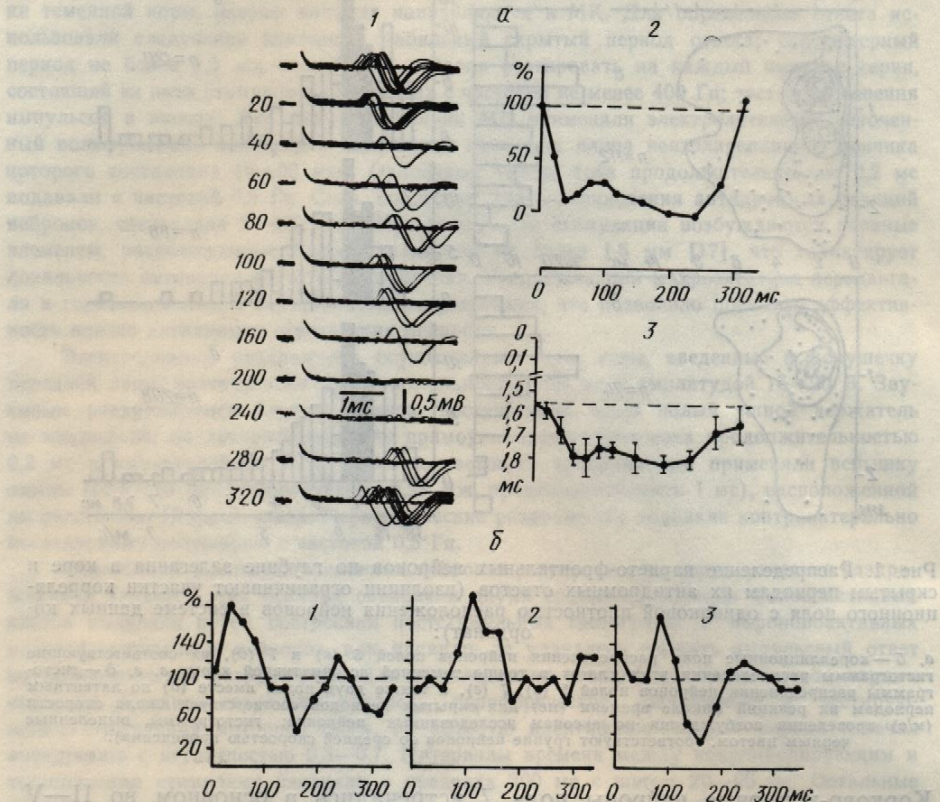


Рис. 2. Изменения возбудимости нефоновоактивных парието-фронтальных нейронов под влиянием разномодальных периферических раздражений, выявленные методом парных стимулов:

а — влияние электрокожного кондиционирующего раздражения на реакцию нейрона, антидромно вызванной тестирующими стимуляцией моторной коры: 1 — суперпозиция антидромных ответов (по 15 пробегов луна) нервной клетки на раздражение моторной области при его изолированном предъявлении (верхняя осциллограмма) и через 20, 40, 60 ... мс после подачи электрокожной стимуляции; 2, 3 — графики уменьшения (2) вероятности возникновения антидромного импульса и увеличения (3) его скрытого периода в зависимости от интервала (мс) между кондиционирующими и тестирующими стимулами (пунктирной линией показаны на 2 — контрольный уровень, принятый за 100 %, на 3 — среднее значение скрытого периода антидромного ответа до подачи кондиционирующей стимуляции; доверительный интервал при 95 % вероятности); б — влияние электрокожного (1), звукового (2) и светового (3) кондиционирующих раздражений на тест-реакцию одного и того же нейрона, антидромно вызванную стимуляцией моторной области (остальные обозначения те же, что и на а, 2).

дражений. В этом случае применение антидромного раздражения нейрона в качестве тестирующей стимуляции позволило оценить возбудимость собственно исследуемой нервной клетки, а не предшествующих ей в цепи переработки информации клеток. На рис. 2 а; 1, 2, 3 показан пример влияния кондиционирующей электрокожной стимуляции на реакцию нейрона, антидромно вызванную тестирующим раздражением МК. Графики на рис. 2 а; 2, 3 отражают угнетение тест-реакции нейрона, выраженное в уменьшении вероятности возникновения антидромного импульса и увеличении его скрытого периода, что свидетельствует о развитии торможения в исследуемой клетке. Для 25 нефоновоактивных

парието-фронтальных ляции применяли периферические раздражения, предъявляемые (рис. 2 б; 1, 2, 3) трех типов: звуковых (2), световых (3) и механических (1).

Таким образом, для выявления реакций нефоновоактивных парието-фронтальных нейронов на периферические стимулы использовали метод парных раздражений.

Рис. 3. Соотношение трипериодных (1) и фоновоактивных (2) раздражений к фронтальным нейронам (как в биполярных — трисенсорные нейроны, так и в бисенсорные горизонтальные — погашенные столбчатые первые клетки).

такое же преобладание для фоновоактивных способность реагировать на разномодальные раздражения. Для каждого из исследованных нейронов было зарегистрировано в электрокожном, 22 раздражениями. В поле при электрокожной стимуляции были вызваны звуки обладании соматосенсорного — в поле 7.

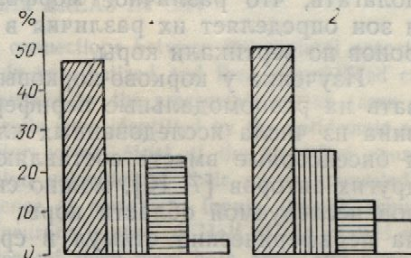
С помощью электрокожи корково-корковые коры головного мозга на стимуляцию МК преимущественно нациативной области в центральной направленности выявленной у кошек нению с полем 7) проводившихся в поле 5, у го поля обратных связей исследование, вказывают, что волокна извилину, предредней части поля 5.

Из анализа распределения коры следует, что ТАК и МК участвуют в механизме I. Это (в определении разации информации, в большее число корковых слоев, а по

и парието-фронтальных нейронов в качестве кондиционирующей стимуляции применяли периферические стимулы трех разных модальностей. Достоверно изменялась тест-реакция на периферические раздражения (рис. 2 б; 1, 2, 3) трех видов у 12 клеток, двух — у 6 (24 %), одного — у 6 (24 %) и не изменялась в ответ ни на одно из разномодальных периферических раздражений у 1 (4 %) клетки.

Таким образом, среди исследованных нефоновоактивных нервных клеток би- и трисенсорные нейроны составляют большинство (72 %),

Рис. 3. Соотношение три-, би- и моносенсорных нервных клеток, а также нереагирующих на периферические раздражения среди нефоновоактивных (1) и фоновоактивных (2) парието-фронтальных нейронов (косая штриховка столбиков — трисенсорные нейроны, вертикальная — бисенсорные горизонтальная — моносенсорные, незаштрихованные столбики — нереагирующие нервные клетки).



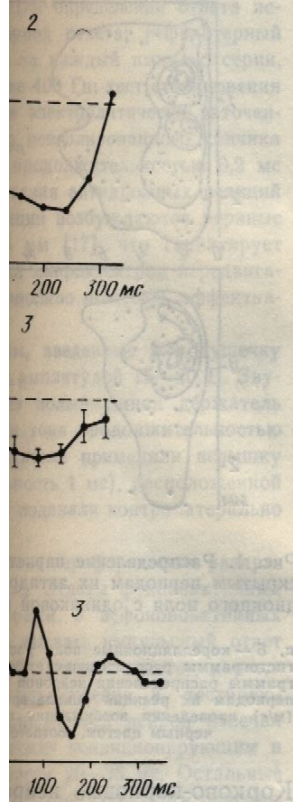
такое же преобладание би- и трисенсорных единиц было характерно и для фоновоактивных парието-фронтальных клеток (рис. 3; 2). В целом способность реагировать на периферическое раздражение у изученных корково-корковых нейронов (оценивая его по характеру изменения фоновой импульсной активности и результатам метода парных стимулов) оказалась одинаково высокой для нервных клеток обоих полей — 5 и 7. Би- и трисенсорные нейроны в полях 5 и 7 составляли 75 % числа исследованных в этих регионах парието-фронтальных клеток. Однако для каждого вида периферической стимуляции реакционная способность нейронов была выражена в разной мере. Из 69 реакций, зарегистрированных в нервных клетках поля 5, 28 (41 %) вызывались электрокожным, 22 (32 %) — световым и 19 (27 %) — звуковым раздражениями. В поле 7 13 из 35 (37 %) нейрональных реакций возникали при электрокожной и столько же при световой стимуляции, а 9 (26 %) были вызваны звуковым щелчком. Эти данные свидетельствуют о преобладании сомато-сенсорного входа в поле 5 и соматосенсорного и светового — в поле 7.

Обсуждение

С помощью электрофизиологических методов мы обнаружили прямые корково-корковые связи нейронов полей 5 и 7 с моторной областью коры головного мозга. Следует отметить, что в ответах этих нейронов на стимуляцию МК преобладали антидромные, что свидетельствует о преимущественном направлении исследуемых связей из теменной ассоциативной области в моторную. Этот факт согласуется с общей тенденцией направленности корково-корковых связей к лобным структурам, выявленной у кошек и обезьян [9, 11, 14]. Несколько больший (по сравнению с полем 7) процент ортодромных реакций нейронов, зарегистрированных в поле 5, указывает, вероятно, на большую развитость у этого поля обратных связей, направленных из МК в ТАК. Морфологические исследования, выполненные методом дегенерации [15] также показывают, что волокна, идущие из прекруциатной области в супрасильвиеву извилину, представлены меньшим числом и достигают только передней части поля 5.

Из анализа распределения парието-фронтальных нейронов по глубине коры следует, что в образовании корково-корковых связей между ТАК и МК участвуют нервные клетки всех слоев теменной коры кроме I. Это (в определенной мере) может свидетельствовать о разнообразии информации, поступающей в МК по исследуемым связям. Наибольшее число корково-корковых нейронов поля 5 было сосредоточено в III и V слоях, а поля 7 — на границе II и III слоев и в нижней час-

ить фоновую импульсную и предъявлены периферийностям. Из них 12 (52 %) — моно-ни на одно из разномодальных парието-фронтальных овали метод парных раз-



то-фронтальных нейронов под выявленные методом парных

реакцию нейрона, антидромные (последние при его изолированном после подачи электрокожного стимула антидромного импульса и в мс) между кондиционирующими — контрольный уровень, принятый для ответа подачи кондиционисти); б — влияние электрокожного стимула на тест-реакцию одного и области (остальные обозначения

много раздражения нейронало оценить возбудимость, а не предшествующих рис. 2 а; 1, 2, 3 показанной стимуляции на реагирующим раздражением и тест-реакцию нейрона. Появления антидромного, что свидетельствует для 25 нефоновоактивных

ти III слоя. Сравнивая особенности послойного расположения этих клеток в полях 5 и 7 с распределением ассоциативных нейронов в других областях коры, например, проекционных [1, 2, 4, 8], можно заключить, что инициальные корково-корковые клетки зрительной и слуховой коры, а также поля 7 концентрируются во II и III слоях, а соматосенсорной области и прилежащем к ней поле 5 — в III и V слоях. Поскольку в соматосенсорной области и прилежащем к ней поле 5 хорошо развит нижний (V) слой, а в зрительной коре и поле 7 более выражены верхние слои, можно полагать, что различное морфологическое строение указанных полей и зон определяет их различия в распределении корково-корковых нейронов по вертикали коры.

Изучение у корково-корковых нейронов ТАК способности реагировать на разномодальные периферические стимулы показало, что половина из числа исследованных клеток являются трисенсорными, а три и бисенсорные вместе составляют их три четверти. Учитывая данные других авторов [7, 10], можно сказать, что у всей совокупности нейронов исследуемой области коры, взятых в целом, способность отвечать на периферический стимул в среднем была выражена слабее, чем у идентифицированных парието-фронтальных клеток.

Таким образом, корково-корковые нейроны ТАК, имеющие выход в МК, характеризуются высокой степенью полисенсорности, т. е. получают обширный приток разномодальной сенсорной информации. Наряду с этим важно указать, что исследуемые нами клетки полей 5 и 7 чаще всего реагировали на электрокожное и световое раздражение.

Суммируя полученные данные, необходимо отметить следующие основные моменты: значительная часть парието-фронтальных клеток — полисенсорные; у (би- и моносенсорных) нейронов преобладают соматический и (или) зрительный входы; поскольку проекции ТАК в МК концентрируются в области эфферентного представительства мышц передней конечности [6], можно считать, что сигналы, идущие от исследуемых парието-фронтальных клеток, поступают по их аксонам в участок МК, управляющий мышцами передней конечности.

Значение этих результатов станет более понятным, если сопоставить их с результатами, полученными другими авторами [16], исследовавшими свойства нервных клеток ТАК у свободнодвижущих обученных обезьян и обнаружившими нейроны с уникальной комбинацией свойств. Эти клетки активировались протягиванием руки к неподвижной мишени и одновременной ее зрительной фиксацией, а также сдвижением руки и глаза за движущейся мишенью. На основании этих и ряда других данных многие исследователи считают, что у приматов задняя теменная кора входит в командный аппарат для управления движениями руки в экстраперсональном пространстве [13, 16, 18]. По их мнению, теменная область обеспечивает этот аппарат информацией о направлении движения. Вероятно и у других высших млекопитающих, чья передняя конечность высоко специализирована и выполняет сложные, целенаправленные движения, теменная ассоциативная область включена в систему программирования и контроля целенаправленных движений передней лапы. Однако механизм реализации этой функции ТАК, связывающий париетальные нейроны с моторным аппаратом передней конечности, недостаточно ясен.

Результаты наших исследований, проведенных на кошках, свидетельствуют о существовании нейронных цепей, которые, вероятно, могут лежать в основе действия этого механизма. Центральное звено такой цепи — парието-фронтальный нейрон. К нему поступает информация, идущая от различных периферических рецепторов: соматических, зрительных и слуховых, причем больше — от соматических и зрительных, что является основой для зрительно-моторной координации. Информация претерпевает определенную обработку и итоговый сигнал по аксону парието-фронтального нейрона направляется в зону МК, контролирующую мышцы передней конечности. Следовательно, в работе этой цепи основную роль играют прямые корково-корковые связи между ТАК и

МК, обеспечивающие нейронные раздражения движения

NEURO
CONNECT

Neuronal organization and motor cortical areas. Responses of 261 neurons to stimulation were recorded, their axons being localized in layers 1.3–37.8 m/s (average 1 and somatic) on the idea that they proved to be polymodal. Bi- and monomodal prefrontal nerve cells are described in the movement organization.

University, Simferopol

- Бабминдра В. П., И мозга, исследование № 12.— С. 1374–1375.
- Бабминдра В. П., Т области коры гол. С. 13–17.
- Батуев А. С., Богословскими коры головного мозга. СССР.— 1979.
- Ермолаева В. Ю., Т слуховых полей с сенсорологией.— 1979.—7.
- Коренюк И. И., Падения и торможение модальной стимуляции.
- Коренюк И. И., Хил ассоциативной области.— 1985.—31, № 2.
- Павленко В. Б. Взаимодействие теменной ассоциативной зоны.— 1985.—3—25.
- Толченова Г. А., Истинно межнейронных связей. Вып. 22.— С. 7–11.
- Хасабов Г. А. Нейрофизиология. Медицина, 1978.—18.
- Шабан В. М. Реакции периферических раздражителей на ТАК. Вып. 4.— С. 368–371.
- Imbert M., Bignall physiol.— 1966.—29.
- Hassler M., Muhs-Criekian Cortex der Rhesusaffen.
- Kalaska J. F., Comprehension of two dimensions with motor cortex // J. Neurophysiol.— 1974.—37, № 4.
- Kawamura K. Corticogenesis // Brain Res.— 1974.—10.
- Kawamura K., Ontogeny of the frontal region // J. Comp. Physiol.— 1974.—10.
- Posterior parietal areas within extrapersonal space // J. Neurophysiol.— 1974.—37, № 4.
- Ranck J. Which elements of the nervous system: a review // Physiol. Rev.— 1986.—66, № 2.



ного расположения этих ациальных нейронов в дру-
1, 2, 4, 8], можно заклю-
тки зрительной и слухо-
II и III слоях, а сомато-
ольку в соматосенсорной развит нижний (V) слой,
ны верхние слои, можно
роение указанных полей
и корково-корковых ней-

АК способности реагиро-
тулы показало, что поло-
ся трисенсорными, а три-
верти. Учитывая данные
всей совокупности нейро-
ом, способность отвечать
выражена слабее, чем у
ток.

ны ТАК, имеющие выход
олисенсорности, т. е. по-
сзорной информации. На-
нами клетки полей 5 и 7
световое раздражение.

отметить следующие ос-
о-фронтальных клеток —
ров преобладают сома-
ку проекций ТАК в МК
дставительства мышц пе-
ниалы, идущие от исследо-
ют по их аксонам в уча-
чности.

понятным, если сопоста-
авторами [16], исследо-
бодноподвижных обучен-
уникальной комбинацией
анием руки к неподвиж-
фиксацией, а также сле-
ю. На основании этих и-
читают, что у приматов
аппарат для управления
гравитации [13, 16, 18]. По-
от аппарат информации
высших млекопитающих,
ована и выполняет слож-
ассоциативная область
контроля целенаправленных
реализации этой функции
моторным аппаратом пе-

енных на кошках, свиде-
которые, вероятно, могут
Центральное звено такой
поступает информация,
ров: соматических, зри-
матических и зрительных,
координации. Информа-
тогенный сигнал по аксону
з зону МК, контролирующую-
льно, в работе этой цепи
ые связи между ТАК и

МК, обеспечивающие передачу обработанной информации на исполнительные нейронные системы МК, непосредственно участвующие в управлении движением передней лапы.

I. I. Korenyuk, T. V. Khitrova

NEURONAL ORGANIZATION OF CORTICO-CORTICAL
CONNECTIONS BETWEEN THE PARIETAL ASSOCIATIVE
AND MOTOR CORTICAL AREAS IN CAT

Neuronal organization of cortico-cortical connections between the parietal associative and motor cortical areas was investigated in anesthetized and then immobilized cats. Responses of 261 neurons in areas 5 and 7 evoked by the precruciate cortex (area 4γ) stimulation were recorded extracellularly. 208 cells were identified by the antidromic activation, their axons being directed to the motor cortex. Most of the identified neurons were localized in layers III and V. Conduction velocities of their axons amounted to 1.3-37.8 m/s (average 11 m/s). The convergence of peripheral inputs (visual, acoustic and somatic) on the identified parieto-frontal neurons is studied. Half of the studied neurons proved to be polymodal and three-quarters of them were both poly- and bimodal. Bi- and monomodal neurons possessed mostly somatic and visual inputs. The parieto-frontal nerve cells are suggested to provide the participation of parietal associative cortex in the movement organization.

University, Simferopol

1. Бабиндра В. П., Иманкулова Ч. С. Корково-корковые связи двигательной коры мозга, исследованные с помощью пероксидазного метода // Цитология. — 1977. — 19, № 12. — С. 1374—1377.
2. Бабиндра В. П., Толченова Г. А., Шевченко Н. И. Ассоциативные связи теменной области коры головного мозга кошки // Нейрофизиология. — 1980. — 12, № 1. — С. 13—17.
3. Батуев А. С., Богословский М. М. О связях между затылочной и двигательной зонами коры головного мозга кошки (электрофизиологическое исследование) // Физiol. журн. ССР. — 1963. — 49, № 11. — С. 1017—1025.
4. Ермолова В. Ю., Толченова Г. А., Бруханская Н. А. Кортико-кортикальные связи слуховых полей с сенсомоторной областью коры // Арх. анатомии, гистологии и эмбриологии. — 1979. — 77, № 9. — С. 51—59.
5. Коренюк И. И., Павленко В. Б., Стасиков А. М. Взаимодействие процессов возбуждения и торможения в нейронах теменной ассоциативной коры кошки при разномодальной стимуляции // Физiol. журн. — 1983. — 29, № 6. — С. 651—657.
6. Коренюк И. И., Хитрова Т. В. Электрофизиологическое изучение проекций теменной ассоциативной области в двигательную зону коры головного мозга кошки // Там же. — 1985. — 31, № 2. — С. 126—133.
7. Павленко В. Б. Взаимодействие процессов возбуждения и торможения в нейронах теменной ассоциативной коры: Автореф. дис. ... канд. биол. наук. — Киев, 1982. — 3—25.
8. Толченова Г. А., Иманкулова Ч. С., Шевченко Н. И. Комплексный подход к изучению межнейрональных связей ассоциативной коры кошки // Нерв. система. — 1978. — Вып. 22. — С. 7—11.
9. Хасабов Г. А. Нейрофизиология связей коры больших полушарий приматов. — М.: Медицина, 1978. — 184 с.
10. Шабан В. М. Реакции нейронов переднего отдела супрасильвийской извилины на периферические раздражения различных модальностей // Нейрофизиология. — 1972. — 4, № 4. — С. 368—374.
11. Imbert M., Bignall E., Buser P. Neocortical interconnections in the cat. — J. Neurophysiol. — 1966. — 29, N 3. — P. 382—395.
12. Hassler M., Muhs-Clement K. Arhitektonischer Aufbau des sensormotorischen und parietalen Cortex der Katze // J. Hirnforsch. — 1964. — 6, N 6. — S. 377—420.
13. Kalaska J. F., Camini R., Georgopoulos A. P. Cortical mechanisms related to the direction of two dimensional arm movements: relations in parietal area 5 and comparison with motor cortex // Exp. Brain Res. — 1983. — 51, N 2. — P. 247—260.
14. Kawamura K. Cortico-cortical fiber connections of the cat cerebrum: the parietal region // Brain Res. — 1973. — 51, N 1. — P. 23—40.
15. Kawamura K., Otani K. Cortico-cortical fiber connections in the cat cerebrum: the frontal region // J. Comp. Neurol. — 1970. — 139, N 4. — P. 423—448.
16. Posterior parietal association cortex of the monkey: command functions for operations within extrapersonal space / V. B. Mountcastle, J. C. Lynch, A. Georgopoulos et al. // J. Neurophysiol. — 1975. — 38, N 4. — P. 871—908.
17. Ranck J. Which elements are excited in electrical stimulation of mammalian central nervous system: a review // Brain Res. — 1975. — 9, N 3. — P. 417—440.

18. Roland P. E., Skinhøj E., Lassen N. A. et al. Different cortical areas in man in organization of voluntary movements in extrapersonal space // J. Neurophysiol. — 1980. — 43, N 1. — P. 137—150.
19. Yumiya H., Ghez C. Specialized subregions in the cat motor cortex/ anatomical demonstration of differential projections to rostral and caudal sectors // Exp. Brain Res. — 1984. — 53, N 2. — P. 259—276.

Симферопол, ун-т им. М. В. Фрунзе
МВССО УССР

Поступила 11.02.85

УДК 612.178.5:612.819.911/612.67

Ю. Е. Рушкевич

РЕАКЦИИ СЕРДЕЧНО-СОСУДИСТОЙ СИСТЕМЫ ПРИ ЭЛЕКТРИЧЕСКОМ РАЗДРАЖЕНИИ ЯДЕР ПРОДОЛГОВАТОГО МОЗГА У КРЫС РАЗНОГО ВОЗРАСТА

В настоящее время известно, что в старости изменяются гипоталамические и мезенцефальные механизмы регуляции кровообращения [2, 3, 8] и происходят разнонаправленные возрастные сдвиги в различных гипоталамических ядрах, которые обусловливают разрегулирование деятельности гипоталамуса (снижение ее надежности), предрасполагают к развитию сердечно-сосудистой патологии [8]. Вместе с тем остаются совершенно неизученными возрастные особенности функционирования бульбарных образований, наиболее тесно связанных с формированием сосудистого тонуса, регуляцией сердечного ритма и реализацией рефлекторных реакций сердечно-сосудистой системы. К таким образованиям относятся ретикулярное гигантоклеточное ядро, обоюдное ядро блуждающего нерва и ядро одиночного пути. Цель настоящей работы — изучение некоторых реакций сердечно-сосудистой системы при электрическом раздражении этих, ответственных за состояние гемодинамики, структур продолговатого мозга у взрослых и старых крыс.

Методика

Опыты проведены на семи взрослых (10 мес) и восьми старых (24 мес) крысах линии Вистар. Монополярные никромовые электроды диаметром кончика 0,15 мм вживляли в правые ретикулярное гигантоклеточное (ГЯ) и обоюдное (ОЯ) ядра и в ядро одиночного пути (ЯП) согласно координатам стереотаксического атласа [12]. Индифферентным электродом служила спираль из никромовой проволоки, введенная в лобную кость у границы с носовой. Крыс брали в опыт через 20—28 дней после операции вживления. Через 30 мин после введения наркоза (оксибутират натрий, внутривенно, 0,05—0,07 г/100 г массы) проводили двадцатисекундные раздражения ядер продолговатого мозга токами возрастающей силы. Очередность раздражения структур была следующей: ядра одиночного пути (правое, затем левое), обоюдное ядро, гигантоклеточное ядро. Последующую стимуляцию проводили через 4 мин по окончании предыдущей. Раздражение осуществляли серией прямоугольных импульсов длительностью 1 мс и частотой 80 Гц. Регистрацию электроэнцефалографа 8 EG-212. После завершения экспериментов проводили электроокагуляционное маркирование участков раздражения с последующим контролем локализации электродов. При анализе результатов исследований учитывались только опыты с точной локализацией электрода в исследуемой структуре. Достоверность различий определяли по критерию Стьюдента.

Результаты и их обсуждение

Влияние раздражения гигантоклеточного ядра на артериальное давление и частоту сердечных сокращений. Гигантоклеточное ядро — один из основных источников симпатаактивирующих ретикулоспинальных влияний. Его клеточные элементы ориентируются на симпатические

преганглионарные мозга [1]. Стимул гипертензивной реа...
В наших опытах мы показали, что можно добиться изменения кровообращения в различных отделах мозга, включая ядро симпатической активации. Установлено, что раздражение ядра симпатической активации может привести к повышению кровообращения в различных областях мозга. Установлено, что раздражение ядра симпатической активации может привести к повышению кровообращения в различных областях мозга.

Таким образом, первые, к возрасту вторых, к снижению

Как известно, мической активности током ($16 \pm 3,8$) мкА хикардию: ($6 \pm 1,1$) тахикардию регистрируется сердечного ритма. У стимуляции тока. У стимуляции ГЯ вика. Раздражение ГЯ вика к урежению сердечного ритма (возвратных — ослабленной кардией).

Таким образом, электрических порогов при раздражении ГЯ животных по мере прессорной реакции в старых крыс при сердечного ритма.

Влияние раздражения ГЯ и частоту сердечных сокращений блуждающего нерва, гальные нейроны,ности сердца [10, 11].

ОЯ раздражало животных при акцию наблюдали ($40 \pm 6,6$) мкА и у остальных опытах прессорно-прессорной.

Таким образом, ных пороги прессорных пороги прессорных сравнению со взрос

Электрическое винстве опытов вытоком ($32 \pm 3,8$) мкА ритма на ($9 \pm 1,2$) у. зовое усиление разд начального эффекта. В то же время жение ОЯ приводи

Физиол. журн., 1986, т.

cortical areas in man in organo-
e // J. Neurophysiol. — 1980.

motor cortex/ anatomical de-
caudal sectors // Exp. Brain

Поступила 11.02.85

О СИСТЕМЫ ДЕЙСТВИЕ НА ЯДЕР ЗНОГО ВОЗРАСТА

и изменяются гипоталамии кровообращения астные сдвиги в различ-
зывают разрегулирова-
надежности), предраспо-
логии [8]. Вместе с тем
е особенности функцио-
тесно связанных с фор-
дечного ритма и реали-
стой системы. К таким
клеточное ядро, обояд-
о пути. Цель настоящей
но-сосудистой системы
ных за состояние гемо-
рослых и старых крыс.

ьми старых (24 мес) крысах
диаметром кончика 0,15 мм
обоядное (ОЯ) ядра и в яд-
ропсического атласа [12]. Ин-
вой проволоки, введенная в
через 20—28 дней после опе-
(оксибутират натрий, внутри-
секундные раздражения ядер
ность раздражения структур
левое), обоядное ядро, ги-
чи через 4 мин по окончании
угольных импульсов длитель-
диаграммы и артериального
дефалографе 8 EG-212. После
нное маркирование участков
стродов. При анализе резуль-
локализацией электрода в ис-
и по критерию Стьюента.

ие

ра на артериальное дав-
оклеточное ядро — один
х ретикулоспинальных
тся на симпатические

преганглионарные нейроны интермедиолатеральной области спинного мозга [1]. Стимуляция ГЯ, как правило, сопровождается развитием гипертензивной реакции [4].

В наших опытах наиболее выраженные прессорные реакции возникали именно на раздражение ГЯ, которое было проведено у шести взрослых и семи старых крыс. Повышение АД развивалось через 2 с и держалось на протяжении всех 20 с стимуляции. Пороговый рост АД на 4—8 мм рт. ст. (533—1067 Па) отмечался при токе (25±4,2) мкА у взрослых и (30±4,2) мкА у старых животных. При усилении стимуляции (примерно одинаковой — на 9 мкА) у взрослых крыс АД повышалось на (16±1,8) мм рт. ст. или (2133±240) Па ($p<0,01$) по сравнению с исходным, тогда как у старых животных увеличение раздражающего тока приводило к росту АД на (13±1,7) мм рт. ст. или (1733±217) Па ($p<0,01$) выше исходного.

Таким образом, при раздражении ГЯ отмечалась тенденция, во-первых, к возрастному повышению порогов прессорных реакций, во-вторых, к снижению с возрастом амплитуды реакций повышения АД.

Как известно, раздражение ГЯ сопровождается изменениями ритмической активности сердца [4, 14]. В наших опытах раздражение ГЯ током (16±3,8) мкА у 85 % взрослых животных вызывало слабую тахикардию: (6±1,1) уд/мин. При усилении стимуляции до (28±3,2) мкА тахикардию регистрировали только у 33 % животных, а у 67 % — урежение сердечного ритма на 18—100 уд/мин, прогрессирующее при увеличении тока. У старых крыс изменения сердечного ритма в ответ на раздражение ГЯ возникали при больших значениях раздражающего тока. Раздражение ГЯ током (26±5,0) мкА у 72 % старых крыс приводило к урежению сердечных сокращений на (10±1,8) уд/мин; при полутораразовом усилении раздражения у 43 % крыс регистрировали дальнейшее урежение ритма (на 20—50 уд/мин), тогда как у остальных 57 % животных — ослабление и исчезновение брадикардии или ее смену тахикардией.

Таким образом, с возрастом обнаруживается тенденция к росту электрических порогов прессорных реакций и хронотропных эффектов при раздражении ГЯ у крыс. Кроме того, если у большинства взрослых животных по мере усиления раздражения и, соответственно, увеличения прессорной реакции отмечалось усиление брадикардии, то у большинства старых крыс при аналогичных обстоятельствах реакции замедления сердечного ритма ослабевали.

Влияние раздражения обоядного ядра на артериальное давление и частоту сердечных сокращений. Обоядное ядро — эффекторное ядро блуждающего нерва [7]. В нем располагаются преганглионарные вагальные нейроны, осуществляющие хронотропный контроль деятельности сердца [10, 17].

ОЯ раздражали у шести взрослых и пяти старых крыс. У большинства животных при этом обнаруживали повышение АД. Пороговую реакцию наблюдали у 63 % взрослых крыс при раздражении током (40±6,6) мкА и у 80 % старых животных при токе (62±9,9) мкА. В остальных опытах у взрослых и у старых крыс реакция была депрессорно-прессорной.

Таким образом, во-первых, как у взрослых, так и у старых животных пороги прессорных реакций ОЯ были выше, чем ГЯ, во-вторых, пороги прессорных реакций ОЯ были выше у старых животных по сравнению со взрослыми.

Электрическое раздражение ОЯ в группе взрослых крыс в большинстве опытов вызывало брадикардию (рис. 1, а). Так, раздражение током (32±3,8) мкА у 85 % крыс приводило к урежению сердечного ритма на (9±1,2) уд/мин, ($p<0,01$). Во всех этих случаях полутораразовое усиление раздражения (52±1,9) мкА вызывало увеличение первоначального эффекта в среднем на (28±5,5) уд/мин ($p<0,01$).

В то же время в группе старых животных в 80 % опытов раздражение ОЯ приводило к учащению сердечного ритма (рис. 1, б), при-

чем в 60 % тахикардия составляла ($20 \pm 2,9$) уд/мин ($p < 0,02$) при раздражающем токе ($53 \pm 10,3$) мкА, и лишь в 20 % опытов — к урежению сердечных сокращений.

Таким образом, раздражение ЯП взрослых и старых крыс током примерно равным по силе (около 50 мкА) вызывает качественно неоднородные реакции сердечного ритма — брадикардию у большинства взрослых животных и тахикардию у большинства старых крыс.

Влияние раздражения ядра одиночного пути на артериальное давление и частоту сердечных сокращений. Ядро одиночного пути играет

таким образом, дражении ЯП с во реакций сердечного лых крыс раздраж слабая стимуляция тахикардией, нараст

Полученный фа старении неравномер структур продольгов

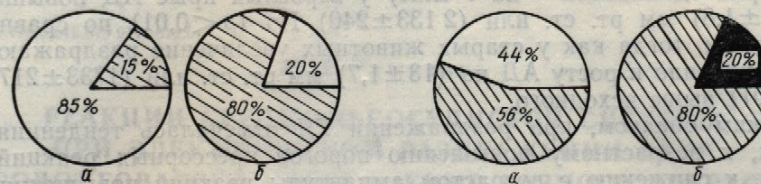


Рис. 1. Изменения частоты сердечных сокращений при раздражении обоюдного ядра у взрослых (a) и старых (б) крыс:

Заштрихованная часть — тахикардия, незаштрихованная — брадикардия.

Рис. 2. Изменение артериального давления при раздражении ядра одиночного пути у взрослых (a) и старых (б) крыс:

заштрихованная часть — прессорная, незаштрихованная — депрессорная, темная — двухфазная реакция.

важную интегративную роль в формировании баро- и хеморефлекторных гемодинамических ответов. Нейроны ЯП воспринимают импульсацию аортальных и синусных нервов и в то же время связаны эфферентными связями с вагальными и симпатическими преганглионарными элементами, а также с ретикулярными симпатоактивирующими нейронами продолговатого мозга [4, 10, 17].

В наших экспериментах в обеих возрастных группах проведено по 10 опытов с точной локализацией электродов в ЯП. В этих опытах раздражение ЯП сопровождалось прессорной реакцией у 56 % взрослых и 80 % старых крыс. У взрослых животных в 44 % опытов наблюдалась гипотензия, а у старых в 20 % опытов реакция АД носила двухфазный депрессорно-прессорный характер (рис. 2). Следует отметить, что пороговое увеличение АД у взрослых животных возникало при раздражении током ($74 \pm 9,6$) мкА, а у старых — ($52 \pm 9,9$) мкА.

Почти во всех опытах у взрослых и старых крыс увеличение стимулирующего воздействия приводило к усилинию первоначальной реакции. Сдвиги АД (как прессорные, так и депрессорные) были кратковременными. Давление начинало восстанавливаться еще до окончания периода раздражения. В некоторых опытах гипертензивная реакция характеризовалась волнобразной динамикой.

Таким образом, если в группе взрослых животных раздражение ЯП почти в половине опытов сопровождалось снижением АД, то у большинства старых крыс при таком же или более слабом раздражении наблюдалась прессорная реакция.

Раздражение ЯП сопровождалось изменениями ЧСС. Так, в 60 % опытов у взрослых животных при раздражении ЯП током ($78 \pm 5,0$) мкА регистрировали брадикардию ($8 \pm 1,5$) уд/мин ($P < 0,01$), в 20 % — тахикардию, а в остальных опытах реакция ритма отсутствовала (рис. 3, а). Увеличение раздражающего тока приводило к дальнейшему снижению частоты сердечных сокращений. В то же время у старых крыс реакции ритма возникали при меньших силах раздражающего тока. При раздражении ЯП током ($44 \pm 8,2$) мкА в 60 % опытов в этой возрастной группе наблюдалось учащение сердечного ритма на ($9 \pm 1,9$) уд/мин ($P < 0,01$), в 30 % случаев развивалась брадикардия и в 10 % — двухфазная реакция, при которой урежение сердечного ритма сменялось учащением (рис. 3, б). Усиление воздействия вызывало усиление первоначальной реакции.

Рис. 3. Изменения частоты сердечных сокращений при раздражении ядра одиночного пути у взрослых (a) и старых (б) крыс:

пороги прессорных ре

акций ГЯ и ОЯ с возрас

тением. Тенденция к вос

корных реакций гигантской

основу ретикулоспинальной

общую закономерность

[8]. Вместе с тем до

будимости симпатаика

определенный вклад

динамики. Возраст

какой-то мере обуслов

ления сердечного ритм

дражении ГЯ, которы

ых животных. Как

ритм сердца [16].

Выраженные пре

ства взрослых крыс

ритма. Это, вероятно,

центральных образований

ГЯ обеспечивает тон

пути и дорсальный

ным нами данным э

способствовать отно

росту АД. О том, в

при стимуляции ГЯ

структурами, центра

нерва — определенно

Результаты наш

во многом может бы

нениями в ядрах блу

по раздражению обо

дикардия, то у старых

лась учащением серд

ет центральное проис

но самого блуждающ

к однозначному эффе

в возрастном повышени

Между тем извест

жении как самого нер

Эти данные по-раз

тельными. Одни в уско

рительских структурах,

ских элементов. Резу

уд/мин ($p < 0,02$) при в 20 % опытах — к уре-

х и старых крыс током вызывает качественно неод-

икадию у большинства

старых крыс.

ти на артериальное дав-

одиночного пути играет

воздражении обоюдного ядра у

ыс:

ная — брадикардия.

енни ядра одиночного пути у

ыс:

прессорная, темная — двухфазная

баро- и хеморефлектор-

воспринимают импульсы

время связаны эффеरент-

преганглионарными эле-

ктирующими нейроны-

ых группах проведено по

ЯП. В этих опытах раз-

зницей у 56 % взрослых и

4 % опытов наблюдалась

АД носила двухфазный

следует отметить, что по-

возникало при раздраж-

ении 9,9 мА.

ых крыс увеличение сти-

нию первоначальной ре-

прессорные) были кратко-

ваться еще до окончания

гипертензивная реакция

животных раздражение

, снижением АД, то у

олее слабом раздражении

ниями ЧСС. Так, в 60 %

ЯП током ($78 \pm 5,0$) мА

($P < 0,01$), в 20 % — та-

хикардия отсутствовала (рис.

или к дальнейшему сни-

же время у старых крыс

их раздражающего тока.

60 % опытов в этой воз-

енного ритма на ($9 \pm 1,9$)

брадикардия и в 10 % —

сердечного ритма сменя-

ствия вызывало усиление

Таким образом, в отличие от предыдущих серий опытов при раздражении ЯП с возрастом снижаются пороги прессорных реакций и реакций сердечного ритма, причем, если в большинстве случаев у взрослых крыс раздражение ЯП сопровождается брадикардией, то более слабая стимуляция этой структуры у большинства старых животных — тахикардией, нарастающей по мере усиления воздействия.

Полученный фактический материал свидетельствует о том, что при старении неравномерно изменяются сигналы, идущие с различных структур продолговатого мозга на сердечно-сосудистую систему. Так,

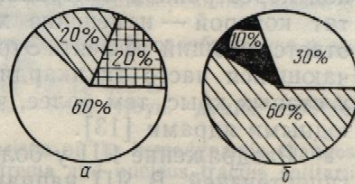


Рис. 3. Изменения частоты сердечных сокращений при раздражении ядра одиночного пути у взрослых (α) и старых (β) крыс:

заштрихованная часть — тахикардия, незаштрихованная — брадикардия, темная — двухфазная реакция, клетчатая — отсутствие реакции.

пороги прессорных реакций и реакций сердечного ритма при раздражении ГЯ и ОЯ с возрастом нарастают, а ЯП — снижаются.

Тенденция к возрастному повышению порогов и ослаблению прессорных реакций гигантоклеточного ядра, нейроны которого составляют основу ретикулоспинальных путей, вероятно, прежде всего отражает общую закономерность ослабления в старости симпатических влияний [8]. Вместе с тем допустимо предположить и возрастное снижение возбудимости симпатоактивирующих нейронов ГЯ, что могло бы внести определенный вклад в ослабление симпатического контроля за гемодинамикой. Возрастное снижение возбудимости нейронов ГЯ могло в какой-то мере обусловить и отсутствие у старых крыс эффекта ускорения сердечного ритма при относительно слабом (порядка 16 мА) раздражении ГЯ, которое регистрировали в большинстве опытов у взрослых животных. Как известно, в ГЯ содержатся нейроны, ускоряющие ритм сердца [16].

Выраженные прессорные реакции при раздражении ГЯ у большинства взрослых крыс протекали со значительным урежением сердечного ритма. Это, вероятно, результат включения в процесс раздражения центральных образований блуждающего нерва. Есть данные о том, что ГЯ обеспечивает торможение сердца через связь с ядром одиночного пути и дорсальным ядром блуждающего нерва [14]. Судя по полученным нами данным это торможение в старости ослабевает, что может способствовать относительному увеличению выброса крови сердца и росту АД. О том, в чем причина возрастного ослабления брадикардии при стимуляции ГЯ — в нейронах самого ГЯ, его связях с другими структурами, центральных образованиях или волокнах блуждающего нерва — определенно сказать нельзя.

Результаты наших опытов позволяют предположить, что причина во многом может быть связана с возрастными функциональными изменениями в ядрах блуждающего нерва. Так, если в большинстве опытов по раздражению обоюдного ядра у взрослых животных возникала брадикардия, то у старых, наоборот, стимуляция этого ядра сопровождалась учащением сердечного ритма. Судя по всему эта тахикардия имеет центральное происхождение, поскольку раздражение непосредственно самого блуждающего нерва у взрослых и старых животных приводит к однозначному эффекту — брадикардии, а различие состоит только в возрастном повышении пороговых значений раздражающего тока [8].

Между тем известны факты ускорения ритма сердца при раздражении как самого нерва, так и его центров [5, 6, 7, 15].

Эти данные по-разному интерпретируются различными исследователями. Одни в ускорении работы сердца предполагают участие симпатических структур, другие — число возбужденных парасимпатических элементов. Результаты наших опытов, в частности по раздраже-

нию Г, не позволяют связать тахикардию при раздражении обоюдного ядра с усилением симпатических влияний. Следует отметить также односторонность реакций сердечного ритма при раздражении ОЯ токами разной силы (т. е. формирование реакций ритма различным числом нейронов). Вместе с тем установлено, что хронотропный эффект раздражения блуждающего нерва во многом зависит от характера эффеरентной импульсации и распределения ее в пределах сердечного цикла [6, 15]. Можно предположить, что качественно иная реакция сердца старых животных на стимуляцию ОЯ связана с функциональной перестройкой центральных элементов блуждающего нерва, результат которой — изменение характера эффеरентной импульсации и соответствующий эффект. Это же явление может лежать в основе встречающейся часто тахикардии при раздражении ядра одиночного пути у старых крыс, тем более, что нейроны ЯП имеют прямые связи с обоюдными ядрами [13].

Раздражение ЯП у большинства старых животных сопровождалось гипертензией. В ЯП направляется информация с различных рецепторных зон сердечно-сосудистой системы, и ему приписывается важная роль в формировании барорецепторных рефлексов [4, 11, 17]. Есть данные о том, что раздражение ЯП у собак сопровождается снижением АД, ЧСС, МОК и ростом ОПС [9]. Если подобное соотношение гемодинамических параметров наблюдается и при раздражении ЯП у крыс, то следует предполагать, что тенденция гипертензивной реакции у старых животных при тахикардии в условиях стимуляции ЯП развивается на фоне увеличения сердечного выброса.

Интересно также и то, что у старых крыс реакции повышения АД возникали при более слабом раздражении ЯП, чем у взрослых, несмотря на возрастное снижение возбудимости «прессорных» симптоактивирующих гигантоклеточных ядер. Ослабление в старости барорецепторных рефлексов доказано [8]. То, что у старых крыс чаще, чем у взрослых, раздражение ЯП сопровождалось повышением АД и то, что гипертензия и тахикардия у них возникали при значениях раздражающего тока, недостаточных для появления гемодинамического эффекта у взрослых животных, в какой-то мере позволяет предположить возрастное снижение функции ЯП в формировании депрессорных барорефлексов.

Таким образом, возрастные особенности реакций АД и ЧСС при раздражении ядер продолговатого мозга крыс в общих чертах сводятся к тому, что при старении неравномерно изменяются пороги реакций АД и сердечный ритм при раздражении различных бульбарных образований. У старых животных гипертензивная реакция развивается чаще и в большинстве опытов сопровождается учащением сердечного ритма, что позволяет предположить гиперкинетический тип реакции.

Yu E. Rushkevich

CARDIOVASCULAR RESPONSES TO ELECTRIC STIMULATION OF MEDULLA OBLONGATA NUCLEI IN RATS OF DIFFERENT AGES

The effect of electric stimulation of the nucleus tractus solitarii, nucleus ambiguus and giantocellular reticular nucleus on the arterial blood pressure and cardiac rate was studied in adult and old rats. In aging diversely directional changes were found to occur in the thresholds of pressor reactions and chronotropic effects following the stimulation of different nuclei of medulla oblongata. The electric stimulation of the bulbar structures results in the hypertension and cardiac rate acceleration more frequently in old rats than in adult ones.

Institute of Gerontology,
Academy of Medical Sciences of the USSR, Kiev

1. Баклаваджян О. Г. Регуляция симпатической нервной системы: Автореф. дис. канд. мед. наук. Ереван: Фунд. союз. съезд геронтологов СССР, 1982. С. 113—118.
2. Безруков В. В. Характеристика и механизм действия ядер блуждающих нервов. Автореф. дис. канд. мед. наук. Физиол. журн. СССР, 1982, № 10, 100—104.
3. Безруков В. В. Функции ядер блуждающих нервов. Фунд. союз. съезд геронтологов СССР, 1982. С. 320—322.
4. Гуревич М. И., Братуцкий А. А. Механизмы вегетативной регуляции. Бульбарного уровня. Мат. конф. по проблемам вегетативной регуляции. Саратов: Изд-во СГУ, 1982. С. 65—68.
5. Дугин С. Ф., Захаров А. А. Стимуляция ядер блуждающих нервов у собак. Физиол. журн. СССР, 1982, № 10, 100—104.
6. Покровский В. М. Нервные механизмы регуляции кровообращения и дыхания в условиях вегетативной перестройки. Автореф. дис. канд. мед. наук. Физиол. журн. СССР, 1982, № 10, 100—104.
7. Удельнов М. Г. Физиология и патология кровообращения. М.: Медицина, 1982. С. 320—322.
8. Фролькис В. В. Старение и его механизмы. М.: Медицина, 1982. С. 65—68.
9. Barnes K. L., Ferrario V. C. Effect of electrical stimulation of the nucleus ambiguus produced by electrical stimulation of the nucleus tractus solitarius in the dog // Circ. Res. 1979, 44, 10, 100—104.
10. Dampney R. A. L. Functional and Experimental Pharmacology of the Nucleus Ambiguus in the Rat. J. Physiol. 1979, 296, 1, 171—179.
11. Doba N., Reis D. G. Role of the nucleus ambiguus in the development of hypertension // Circ. Res. 1979, 44, 10, 100—104.
12. Fikfakova E., Maršala J., M. Petraň, J. Zachar. In: Hypertension and its treatment. Prague: Academia, 1967. P. 65—68.
13. Kalia M., Feldman J. L. Hypertension and the nucleus ambiguus. In: Hypertension and its treatment. Prague: Academia, 1967. P. 65—68.
14. Kuo J. S., Hwa Y., Chalasani P. Hypertension and the nucleus ambiguus. In: Hypertension and its treatment. Prague: Academia, 1967. P. 65—68.
15. Levy M. N., Martin P. Hypertension and the nucleus ambiguus. In: Hypertension and its treatment. Prague: Academia, 1967. P. 65—68.
16. Miura M., Kitamura T. Hypertension and the nucleus ambiguus. In: Hypertension and its treatment. Prague: Academia, 1967. P. 65—68.
17. Spyer K. M. Central nervous system control of blood pressure. In: Hypertension and its treatment. Prague: Academia, 1967. P. 65—68.

Институт геронтологии АМН

УДК 612.134

Л. И. Ос.

ИЗМЕНЕНИЯ ОБРАЩАЮЩЕЙ СИЛЫ И ИХ РОЛЬ В ПРОЦЕССЕ ЛЕВЫМ ЖЕЛУДОЧКОМ

Увеличение содержания кальция в сыворотке крови и экзогенного прокальцитонина проявляется в виде выраженных гемодинамических нарушений (венозный возврат к сердцу, коронарные спазмы), а также в виде изменения функций легочной артерии и сосудов малого круга кровообращения. При введении катехоламинов роль изменившихся содержаний кальция в сыворотке крови и экзогенного прокальцитонина в механизме гемодинамических нарушений неизучена.

Физиол. журн., 1986, т. 32, № 2

раздражении обоюдно. Следует отметить также и при раздражении ОЯ реакций ритма различным то хронотропный эффект зависит от характера эф- в пределах сердечного чественно иная реакция связана с функциональ- кдающего нерва, резуль- тивной импульсации и со- лежать в основе встре- ядра одиночного пути юют прямые связи с обо-

ицовых сопровождалось с различных рецепторов — приписывается важная сов [4, 11, 17]. Есть дан- сопровождается снижением обное соотношение гемо- раздражении ЯП у крыс, гензивной реакции у ста- мляции ЯП развивается

реакции повышения АД чем у взрослых, несмотря на «рефлексорных» симптоактиве в старости барорецепторных крыс чаще, чем у повышением АД и то, что в значениях раздражающих динамического эффекта может предположить возникновение депрессорных баро-

реакций АД и ЧСС при в общих чертах сводятся к пороги реакций иных бульбарных обра- реакция развивается ча-щением сердечного рит- ческий тип реакции.

RIC STIMULATION OF DIFFERENT AGES

at nucleus ambiguus pressure and cardiac rate was al changes were found to occur ts following the stimulation of lation of the bulbar structures more frequently in old rats than

1. Баклаваджян О. Г. Нейронные механизмы гипоталамического контроля активности симпатической нервной системы // Физiol. журн.— 1978.— 24, № 5.— С. 602—608.
2. Безруков В. В. Характеристика функциональных изменений гипоталамуса при старении: Автореф. дис. ... д-ра мед. наук.— Киев, 1981.— 44 с.
3. Безруков В. В. Функциональные изменения голубого пятна при старении // IV Всесоюз. съезд геронтологов и гериатров.— Кишинев, 1982.— С. 30—31.
4. Гуревич М. И., Братусь В. В., Вышатина А. И. и др. Функциональная организация бульбарного уровня регуляции кровообращения // Центральные и периферические механизмы вегетативной нервной системы.— Ереван: Изд-во АН АрмССР, 1975.— С. 113—118.
5. Дугин С. Ф., Захаров С. И., Самонина Г. Е. и др. Эффекты электрического раздражения ядер блуждающих нервов у наркотизированных и ненаркотизированных кошек // Физiol. журн. СССР.— 1976.— 72, № 3.— С. 382—386.
6. Покровский В. М. Нервная регуляция деятельности сердца // Кровообращение и окружающая среда.— Симферополь, 1983.— С. 143—149.
7. Удельнова М. Г. Физиология сердца.— М.: Медицина, 1975.— 303 с.
8. Фролькис В. В. Старение: Нейрогумор. механизмы.— Киев: Наук. думка, 1981.— 320 с.
9. Barnes K. L., Ferrario C. M., Conomy J. P. Comparison of the hemodynamic changes produced by electrical stimulation of the area postrema and nucleus tractus solitarius in the dog // Circ. Res.— 1979.— 45, N 1.— P. 136—143.
10. Dampney R. A. L. Functional organization of central cardiovascular pathways // Clin. and Exp. Pharmacol. and Physiol.— 1981.— 8, N 3.— P. 241—259.
11. Doba N., Reis D. G. Role of central and peripheral adrenergic mechanism in neurogenic hypertension // Circ. Res.— 1974.— 34, N 3.— P. 293—301.
12. Fikova E., Maršala J. Stereotaxic atlases for the cat, rabbit and rat // J. Bureš, M. Petraň, J. Zachar. Electrophysiological methods in biological research.— Prague: Academy, 1967.— P. 653—731.
13. Kalia M., Feldman I. L., Cohen M. S. Afferent projections to the inspiratory neuronal region of the ventrolateral nucleus of the tractus solitarius in the cat // Brain Res.— 1979.— 171, N 1.— P. 135—141.
14. Kuo J. S., Hwa Y., Chai C. Y. Cardioinhibitory mechanism in the gigantocellular reticular nucleus of the medulla oblongata // Ibid.— 178, N 2/3.— P. 221—232.
15. Levy M. N., Martin P. G. Neural regulation of the heart beat // Ann. Rev. Physiol.— 1981.— 43, N 3.— P. 443—453.
16. Miura M., Kitamura T., Okada J. Cardiac sympathetic nerve: supraspinal nucleus and descending pathway related with cardioacceleration // J. Physiol. Soc. Jap.— 1979.— 41, N 8/9.— P. 388.
17. Spyer K. M. Central nervous integration of cardiovascular control // J. Exp. Biol.— 1982.— 100, N 1.— P. 109—128.

Ин-т геронтологии АМН СССР, Киев

Поступила 19.11.84

УДК 612.134

Л. И. Осадчий, Т. В. Балуева, И. В. Сергеев

ИЗМЕНЕНИЯ ОБЪЕМА КРОВИ В СЕРДЦЕ И ЛЕГКИХ И ИХ РОЛЬ В РЕГУЛЯЦИИ ВЫБРОСА КРОВИ ЛЕВЫМ ЖЕЛУДОЧКОМ ПРИ ВВЕДЕНИИ КАТЕХОЛАМИНОВ

Увеличение содержания в крови катехоламинов как эндогенного, так и экзогенного происхождения приводит к изменению насосной функции сердца, проявляющемуся сдвигами выброса левого желудочка [7, 15]. Исследовали действие катехоламинов на отдельные параметры гемодинамики, участвующие в формировании сдвигов выброса сердца (венозный возврат к сердцу [3, 6, 7, 9, 14], частоту сердечных сокращений [2, 14], коронарный кровоток [4], прямое действие на миокард [6]). Известно, что в сердце и легких содержится примерно 30 % объема крови [8], за счет которого может изменяться ее выброс левым желудочком [15] при введении адреналина. Показано также, что при введении катехоламинов кровенаполнение легких повышается [1]. Однако роль изменений функций правого желудочка на нагрузку давлением в легочной артерии и депонирующих свойств правых отделов сердца и сосудов малого круга кровообращения в формировании производительности левого желудочка при введении катехоламинов остается неизученной.

Мы изучали значение емкостных свойств легочных сосудов и правого отдела сердца, а также выброса крови правым желудочком для изменения производительности левого отдела при внутривенном введении адреналина и норадреналина путем сопоставления характера и размера синхронных сдвигов кровотока в восходящей аорте, легочной артерии и задней полой вене.

Методика

Опыты проведены на кошках со вскрытой грудной клеткой под хлоралозо-нембуталовым наркозом (40 мг/кг хлоралозы и 10 мг/кг нембутала внутрибрюшинно). Искусственное дыхание осуществляли с помощью аппарата ДП-8. Выброс крови левым желудочком оценивали по объемной скорости кровотока в восходящей аорте сосудистым датчиком (диаметр электромагнитного расходомера — 7 мм). Кровоток в легочной артерии и задней полой вене регистрировали сосудистыми датчиками электромагнитного расходомера крови РКЭ-2 (диаметры датчиков — 6—8 и 6 мм соответственно). Было выявлено [5], что изменения притока крови по задней полой вене соответствуют по направленности изменениям общего венозного притока. Артериальное давление измеряли в бедренной артерии электроманометром. Все регистрируемые показатели записывали на чернильном самописце УСЧВ-8. Норадреналин — (20 мкг), адреналин (10 мкг), блокатор β -адренорецепторов обзидан — (1 мг/кг) вводили в бедренную вену в 1,0 мл физиологического раствора. Доза адреналина (10 мкг) близка к физиологической, обнаруженной в крови у кошек при раздражении чревного нерва [10].

Результаты и их обсуждение

Действие адреналина. Внутривенное введение адреналина наряду с повышением артериального давления (в среднем на (38 ± 8) мм рт. ст.) вызывало в 14 пробах увеличение выброса крови левым желудочком в

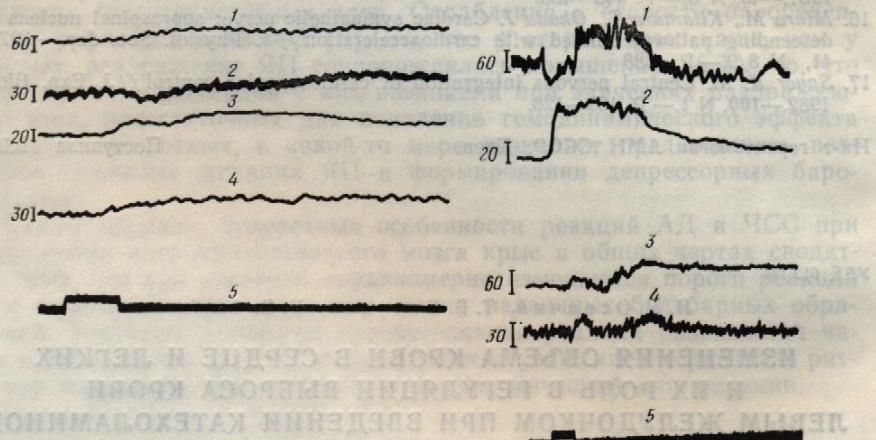


Рис. 1. Взаимоотношение кровотока в легочной артерии и выброса крови левым желудочком при введении адреналина (слева) и норадреналина (справа).

Слева: 1 — кровоток по задней полой вене (мл/мин), 2 — выброс левого желудочка (мл/мин), 3 — артериальное давление в бедренной артерии (в мм рт. ст.), 4 — кровоток в легочной артерии (мл/мин), 5 — отметка раздражения и времени (1 с). Справа: 1 — кровоток в легочной артерии (мл/мин), 2 — артериальное давление в бедренной артерии, (мм рт. ст.), 3 — кровоток по задней полой вене (мл/мин), 4 — выброс левого желудочка (мл/мин), 5 — отметка раздражения и времени (1 с).

шести — увеличение с последующим уменьшением, в 12 — уменьшение, в трех — уменьшение с последующим увеличением; в одной пробе изменений не происходило.

Для выяснения роли емкостных свойств легочных сосудов в 16 опытах исследовали изменения кровотока в легочной артерии, синхронные с изменениями кровотока в восходящей аорте. Выявили, что в группе животных с увеличением выброса крови левым желудочком (к моменту его максимального изменения) кровоток в легочной артерии в большинстве наблюдений (11 проб из 14, т. е. 79 %) также увеличивался

(рис. 1, слева) и в легочной артерии в восходящей аорте крови левым желудочком русла, односторонность выброса левым желудочком, как и у животных, уменьшение кровотока от уменьшения выс

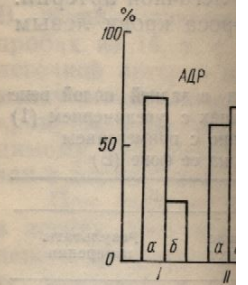


Рис. 2. Соотношение разного числа наблюдений I — до введения блокатора

Рис. 3. Соотношение разного числа наблюдений Группа с увеличен

a — уве

в половине наблюдений кровотока левым желудочком несоответствие кровотока аорте могло быть круга кровообращения сосуды малого круга кровообращения легочных со возможностью увеличения рефлекса повышение давления

Таблица 1.
крови левым же-
лудочком

Исследуемый показатель, мл/мин	СВ	ЛА (+)	ЛА (-)

Изменения кровотока в результате прямого воздействия на аорту в 14 опытах были при введении адреналина. Если до введения адреналина кровоток в легочной артерии и увеличение выброса (из 69) пробах, а уменьшение — в 17, то в у

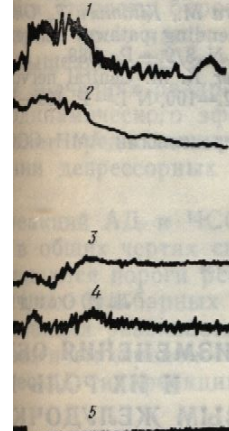
легочных сосудов и правым желудочком для при внутривенном введении характера и разящей аорте, легочной ар-

клеткой под хлоралозо-нембутала внутрибрюшинно). Ис-

ДП-8. Выброс крови левым восходящей аорте сосудистым (м). Кровоток в легочной артерии датчиками электромагнитом (8 и 6 мм соответственно).ней полой вене соответствуют а. Артериальное давление измеряющие показатели за- талин — (20 мкг), адреналин (10 мкг) вводили в бедренную вену 10 мкг) близко к физиологии чревного нерва [10].

ие

не адреналина наряду с м на (38 ± 8) мм рт. ст.) ви левым желудочком в



выброса крови левым же- дренина (справа).

левого желудочка (мл/мин), 3 — кровоток в легочной артерии (мм рт. ст.), 4 — кровоток (мл/мин), 5 — отметка раздражения

ием, в 12 — уменьшение, ием; в одной пробе из-

очных сосудов в 16 опы- ой артерии, синхронные. Вывили, что в группе желудочком (к моменту гоющей артерии в боль-%) также увеличивался

(рис. 1, слева) и в трех (21 %) — уменьшался. Увеличение кровотока в легочной артерии достоверно не отличалось от увеличения кровотока в восходящей аорте (табл. 1, А). Таким образом, увеличение выброса крови левым желудочком не связано с изменением емкости легочного сосудистого русла. В группе животных с уменьшением этого выброса односторонность изменений кровотока в легочной артерии и выброса левым желудочком наблюдали только в половине проб, причем, как и у животных с увеличением выброса крови левым желудочком, уменьшение кровотока в легочной артерии достоверно не отличалось от уменьшения выброса крови левым желудочком (табл. 1, Б). Однако

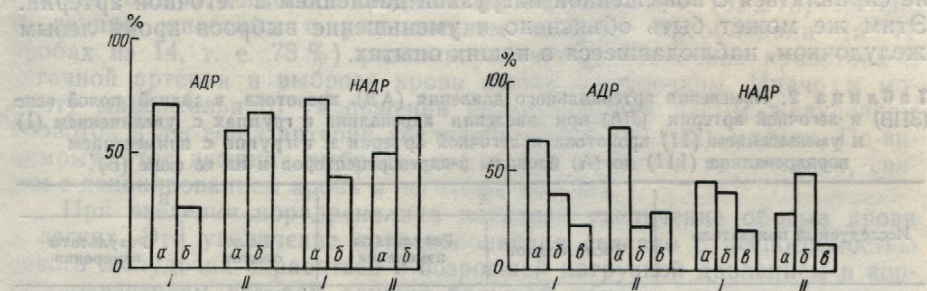


Рис. 2. Соотношение различных типов изменения кровотока в легочной артерии (% общего числа наблюдений) при введении адреналина (АДР) и норадреналина (НАДР): I — до введения блокатора; II — на фоне блокады β -адренорецепторов (а — увеличение, б — уменьшение).

Рис. 3. Соотношение различных типов изменений кровотока по задней полой вене (% общего числа наблюдений) при введении адреналина (АДР) и норадреналина (НАДР). Группа с увеличением (I) и уменьшением (II) кровотока в легочной артерии: а — увеличение; б — уменьшение; в — отсутствие изменений.

в половине наблюдений к моменту максимального уменьшения выброса крови левым желудочком кровоток в легочной артерии увеличился. Это несоответствие кровотока в легочной артерии кровотоку в восходящей аорте могло быть связано с депонированием крови в сосудах малого круга кровообращения в результате прямого действия адреналина на сосуды малого круга, ведущего к их дилатации, или пассивного растяжения легочных сосудов внутрисосудистым давлением. Не исключена возможность увеличения емкости легочного сосудистого русла, опосредованного рефлексом барорецепторов каротидного синуса в ответ на повышение давления при введении адреналина [17].

Таблица 1. Изменения кровотока в легочной артерии (ЛА), выброса крови левым желудочком сердца (СВ) при введении адреналина в группе проб с увеличением (А) и уменьшением (Б) СВ

Исследуемый показатель, мл/мин	А		Б	
	Число опытов	Результаты измерений	Число опытов	Результаты измерений
СВ	14	22 ± 4	12	46 ± 8
ЛА (+)	11	49 ± 12	6	49 ± 25
ЛА (-)	3	23 ± 9	6	45 ± 16

Изменения кровотока в легочной артерии могли быть также результатом прямого действия адреналина на правый желудочек. Поэтому в 14 опытах исследовали изменение кровотока в легочной артерии при введении адреналина до блокады β -адренорецепторов и на ее фоне. Если до введения блокатора увеличение кровотока в легочной артерии и увеличение с последующим уменьшением наблюдали в 42 (из 69) пробах, а уменьшение и уменьшение с последующим увеличением — в 17, то в условиях блокады увеличение и увеличение с после-

дующим уменьшением наблюдали в 10 из 22, а уменьшение и уменьшение с последующим увеличением в 12 из 22 проб (рис. 2). Причем увеличение кровотока в легочной артерии было достоверно ($P < 0,01$) меньше увеличения в условиях блокады (табл. 2, I). Уменьшение же кровотока в легочной артерии до блокады и на ее фоне достоверно не отличалось (табл. 2, II). Таким образом, увеличение кровотока в легочной артерии обусловлено прямым действием адреналина на миокард правого желудочка. Однако нельзя исключить и то, что на фоне β -блокады более выраженным становится констрикторное влияние на сосуды легких при введении адреналина, в результате которого сердце может не справляться с повышенной нагрузкой давлением в легочной артерии. Этим же может быть объяснено и уменьшение выброса крови левым желудочком, наблюдавшееся в наших опытах.

Таблица 2. Изменения артериального давления (АД), кровотока в задней полой вене (ЗПВ) и легочной артерии (ЛА) при введении адреналина в группах с увеличением (I) и уменьшением (II) кровотока в легочной артерии и в группе с применением норадреналина (III) до (A) блокады β -адренорецепторов и на ее фоне (Б)

Исследуемый показатель	А		Б	
	Число опытов	Результаты измерения	Число опытов	Результаты измерения
I				
АД, мм рт. ст.	29	28±3	8	42±8
ЛА, мл/мин	29	85±12	8	38±6
ЗПВ (+), мл/мин	17	45±7	1	24
ЗПВ (-), мл/мин	8	34±8	7	42±10
II				
АД, мм рт. ст.	14	44±11	11	50±14
ЛА, мл/мин	14	92±16	11	84±20
ЗПВ (+), мл/мин	9	41±10	3	30±10
ЗПВ (-), мл/мин	2	42±24	8	43±14
III				
АД, мм рт. ст.	27	45±5	5	35±5
ЛА, мл/мин	27	50±6	5	25±5
ЗПВ (+), мл/мин	12	32±8	3	36±22
ЗПВ (-), мл/мин	11	25±7	1	36

Однако изложенные факты не могут быть объяснены без сопоставления выброса крови правым желудочком и венозного притока крови к нему. Поэтому мы изучали соответствие характера синхронных изменений притока крови к правому предсердию и выбросу крови правым желудочком. Было выявлено, что в группе животных с уменьшением кровотока в легочной артерии в большинстве проб (9 из 14) наблюдалось увеличение кровотока по задней полой вене, в трех — кровоток не изменялся и в двух — уменьшался (рис. 3, табл. 2, II, А). Это несогласование связано с увеличением резервного объема левого желудочка вследствие ослабления его функции в результате изменения давления в легочной артерии. Повышение давления в легочной артерии у собак зарегистрировано ранее подъема давления в артериальной системе, что свидетельствует о констрикторных реакциях легочных сосудов [16]. В большинстве наблюдений (в 17 из 29) в группе животных с увеличенным кровотоком в легочной артерии замечались односторонние изменения кровотока в легочной артерии и в задней полой вене (рис. 3, табл. 2, I, А).

Таким образом, в изменении выброса крови левым желудочком при введении адреналина существенная роль принадлежит емкостным и резистивным свойствам легочных сосудов, а также прямому действию адреналина на правый желудочек. Остается пока неясным, какие условия являются более благоприятными для проявления увеличения или уменьшения объема крови в легких.

Действие норадреналина на артериально-венозный градиент
27 проб наблюдалось уменьшение выброса крови из левого желудочка и увеличение кровотока в легочной артерии. Увеличение кровотока в легочной артерии наблюдалось в 14 пробах из 27, т. е. в 52% случаев. На фоне блокады β -адренорецепторов уменьшение выброса крови из левого желудочка наблюдалось в 14 пробах из 27, т. е. в 52% случаев. Увеличение кровотока в легочной артерии наблюдалось в 14 пробах из 27, т. е. в 52% случаев. Увеличение кровотока в легочной артерии наблюдалось в 14 пробах из 27, т. е. в 52% случаев.

При введении норадреналина в легких это увеличение левого желудочка с т. е. показателем количества, предсердий [1].

Известно также, что повышению давления в легких это увеличение количественным явлением является на правый же артерии. Исследование на фоне блокады β -адреналина до блокады кровотока в легочной артерии, а в 15 пробах — с последующим уменьшением и уменьшением (рис. 2).

Увеличение кровотока в легочной артерии при введении адреналина — результат действия норадреналина из сопоставленного выброса крови правого желудочка кровотока в легочной артерии по задней полой вене. Увеличение кровотока в легочной артерии также увеличилось (см. рис. 3).

Таким образом, предсердие было уменьшено выброса крови в легочной артерии при введении норадреналина в легочной артерии. По виду блокады происходило. Как показано в исследовании объема покрывается легочной работы [12], легочной артерии в течение кровотока почивался и в одной не-

а уменьшение и уменьшение проб (рис. 2). Причем о достоверно ($P < 0,01$) 2, I). Уменьшение же ее фоне достоверно не изменение кровотока в легадреналина на миокард и то, что на фоне β -блорное влияние на сосуды которого сердце может именем в легочной артерии. е выброса крови левым

кровотока в задней полой вене в группах с увеличением (I) в группе с применением кровей и на ее фоне (B)

Б	
Число опытов	Результаты измерения

8	42 ± 8
8	38 ± 6
1	24
7	42 ± 10

11	50 ± 14
11	84 ± 20
3	30 ± 10
8	43 ± 14
5	35 ± 5
5	25 ± 5
3	36 ± 22
1	36

объяснены без сопоставленного притока крови края синхронных изменив выбросу крови правым животных с уменьшением проб (9 из 14) наблюдене, в трех — кровоток (бл. 2, II, А). Это несомнена левого желудочка те изменения давления легочной артерии у собак периартериальной системе, что гочных сосудов [16]. В ше животных с увеличился односторонние задней полой вене (рис.

крови левым желудочком принадлежит емкостным также прямому действию я неясным, какие условия увеличения или

Действие норадреналина. Введение норадреналина вело к повышению артериального давления на (53 ± 4) мм рт. ст. При этом в 17 из 27 проб наблюдалось уменьшение и уменьшение с последующим увеличением выброса крови левым желудочком, а в девяти пробах — увеличение и увеличение с последующим уменьшением. Сравнение изменений кровотока в легочной артерии, синхронных с изменением выброса крови левым желудочком (13 опытов), показало, что, как и при введении адреналина, в группе с увеличением выброса крови левым желудочком наблюдаются односторонние изменения изучаемых показателей (рис. 1, справа). Увеличение кровотока в легочной артерии составило (32 ± 8) , а выброса крови левым желудочком — (31 ± 13) мл/мин. В группе животных с уменьшением выброса преобладали (в 11 пробах из 14, т. е. 78 %) разносторонние изменения кровотока в легочной артерии и выброса крови левым желудочком. Иначе: к моменту максимального уменьшения выброса крови левым желудочком кровоток в легочной артерии увеличивался на (40 ± 12) мл/мин. По-видимому, этот дефицит выброса, как и при введении адреналина, связан с депонированием крови в легочных сосудах.

При введении норадреналина показано увеличение объема крови в легких. Это увеличение кровенаполнения связано с неспособностью левого желудочка справиться с возросшей нагрузкой давлением в аорте, показателем которой служит большой прирост давления в левом предсердии [1].

Известно также, что правый желудочек более чувствителен к повышению давления в легочной артерии, чем левый [13]. Наиболее существенным является соотношение инотропного действия норадреналина на правый желудочек и влияния прироста давления в легочной артерии. Исследование изменений кровотока в легочной артерии до и на фоне блокады β -адренорецепторов показало, что введение норадреналина до блокады вызывало в 32 из 47 проб (см. рис. 2) увеличение кровотока в легочной артерии и увеличение с последующим уменьшением, а в 15 пробах уменьшение и уменьшение с последующим увеличением. На фоне блокады β -адренорецепторов увеличение и увеличение с последующим уменьшением проявлялось в семи из 20 проб, а уменьшение и уменьшение с последующим увеличением — в 13 пробах (см. рис. 2).

Увеличение кровотока в легочной артерии было достоверно меньше ($P < 0,01$; табл. 2, III). Таким образом, увеличение кровотока в легочной артерии при введении норадреналина так же как и при введении адреналина — результат его прямого действия на миокард правого желудочка. Дополнительным доказательством прямого инотропного действия норадреналина на миокард могут служить данные, полученные из сопоставления венозного притока крови к правому сердцу и выброса крови правым желудочком. С этой целью сравнивали изменения кровотока в легочной артерии и синхронные с ними изменения кровотока по задней полой вене. В группе животных с увеличением кровотока в легочной артерии кровоток по задней полой вене в 12 пробах также увеличивался, в 11 — уменьшался и в пяти — не изменился (см. рис. 3).

Таким образом, примерно в половине проб приток крови к правому предсердию был меньше выброса крови правым желудочком. Усиление выброса крови правым желудочком в результате прямого действия норадреналина на миокард ведет к увеличению кровотока в легочной артерии. По-видимому, это увеличение выброса крови правым желудочком происходило за счет уменьшения резервного объема сердца. Как показано в исследованиях на собаках, именно за счет резервного объема покрывается дефицит венозного возврата в первые секунды мышечной работы [12]. В группе животных с уменьшением кровотока в легочной артерии в четырех из семи проб наблюдалось также уменьшение кровотока по задней полой вене, в двух пробах кровоток увеличивался и в одной не изменился (см. рис. 3). Следовательно, в измене-

Н.
КОРОНАРНОЕ
ЭКСПЕРИМЕНТАЦИЯ

ниях выброса крови левым желудочком при введении норадреналина основная роль принадлежит емкостным свойствам легочных сосудов и прямому действию норадреналина на правый желудочек.

L. I. Osadchy, T. V. Balueva, I. V. Sergeev

CHANGES IN CARDIO-PULMONARY VOLUME AND THEIR
ROLE IN THE REGULATION OF BLOOD OUTPUT
BY LEFT VENTRICLE IN RESPONSE TO CATECHOLAMINES

The role of cardio-pulmonary blood volume in changes of the left ventricular output in response to epinephrine and norepinephrine was studied in anesthetized cats. In majority of observations the augmentation of the pulmonary artery blood flow was equal to the increase of the left ventricular output. In the cases with reduction of the left ventricular output the pulmonary blood flow increased in the half of the tests. The blockade of β -adrenoceptors resulted in a decrease of the pulmonary blood flow shifts in response to both epinephrine and norepinephrine.

I. P. Pavlov Institute of Physiology,
Academy of Sciences of the USSR, Leningrad

1. Дворецкий Д. П. Кровенаполнение легких при некоторых сдвигах общей гемодинамики // Физиол. журн. СССР.—1971.—57, № 5.—С. 728—735.
2. Лиссова О. И., Палец Б. Л., Береговский Б. А. Регуляция кровообращения: Эксперим. и мат. исслед.—Киев: Наук. думка, 1977.—159 с.
3. Мойбенко А. А., Грабовский Л. А., Бурый В. А. и др. Динамика изменений венозного возврата к сердцу под влиянием катехоламинов и ацетилхолина // Физиология сердечного выброса.—Киев: Наук. думка, 1970.—С. 101—107.
4. Овсянников В. И. Влияние катехоламинов на емкость коронарного русла сердца // Физиол. журн. СССР.—1971.—57, № 10.—С. 1481—1488.
5. Осадчий Л. И., Балуева Т. В., Сергеев И. В. Анализ факторов, влияющих на сердечный выброс при выключении синокаротидной рефлексогенной зоны // Там же.—1985.—71, № 4.—С. 500—505.
6. Осадчий Л. И. Работа сердца и тонус сосудов.—Л.: Наука, 1975.—188 с.
7. Самойленко А. В., Ткаченко Б. И. Роль венозного возврата в изменении кровотока и давления в аорте // Управление деятельностью висцеральных систем.—Л.: Наука, 1983.—С. 154—164.
8. Ткаченко Б. И. Венозное кровообращение.—Л.: Медицина, 1979.—222 с.
9. Braunwald E., Ross J., Kahler R. S. et al. Reflex control of the systemic venous bed. Effects on venous tone of vasoactive drugs and of baroreceptor and chemoreceptor stimulation // Circ. Res.—1963.—12, N 3.—P. 540—550.
10. Cellander C. The range of control exercised by the «sympathico-adrenal system» // Acta physiol. scand.—1954.—32, suppl. 116.—P. 1—132.
11. Colebatch H. J. H. Adrenergic mechanisms in the effect of histamine in the pulmonary circulation of the cat // Circ. Res.—1970.—26, N 3.—P. 379—396.
12. Gauer O. H. Volume changes of the left ventricle during blood pooling and exercise in the intact animal. Their effects on left ventricular performance // Physiol. Rev.—1955.—35, N 1.—P. 145—155.
13. Gighnnone M., Girling L., Prewitt R. M. Effect of increased pulmonary vascular resistance on right ventricular systolic performance in dog // Amer. J. Physiol.—1984.—246, N 3, pt 2.—P. H339—H343.
14. Imai Y., Satoh K., Tairo N. Role of the peripheral vasculature in changes in venous return caused by isoproterenol, norepinephrine, and methoxamine in anesthetized dog // Circ. Res.—1978.—43, N 6.—P. 553—561.
15. Mitzner W., Goldberg H., Lichtenstein S. Effect of thoracic blood volume changes on steady state cardiac output // Ibid.—1976.—38, N 4.—P. 255—261.
16. Rudolph A. M., Scarpelli E. M. Drug action on pulmonary circulation of unanesthetized dogs // Amer. J. Physiol.—1964.—206, N 6.—P. 1201—1206.
17. Shoukas A. A. Carotid sinus baroreceptor reflex control and epinephrine // Circ. Res.—1982.—51, N 1.—P. 95—101.

Ин-т физиологии им. И. П. Павлова
АН СССР, Ленинград

Поступила 08.07.85

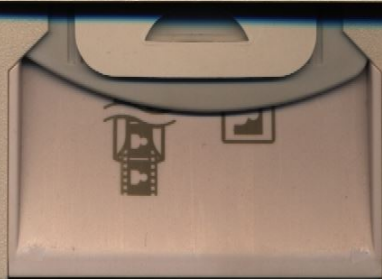
На функциональные изменения мера обеспечивается кровотоком. В физиологии кратительной функции реального объема коагуланов, обеспечивающих сердца к постоянно меняющимся, с одной стороны, потребностям на коронарная недостаточность сочетается с разными пертензиями, пороками сердца.

Выяснение механизма коронарного кратительного генеза, представляемые нарушения в условиях сердца, его потеря так и для возможных компенсаторно-приспособительных условиях доставке с кровотоком.

Мы изучали эффективность коронарных сосудов в условиях аорты.

Опыты проведены на под нембуталовым наркозом кой торакотомии и управлением восходящей части аорты манометрическим (ЕМТ-3 (САД и ЛЖД соответствующим) желудочкового давления сериях опытов использовалась яной частотной характеристики регистрации и дифференциальных измеряемых параметров, проведенных на разных жертвах и коронарного кровотока и расхождения (фирма «Джонсон и Джонсон» на корне легочной артерии и аорты).

Для оценки сократительной способности (максимального сердца и изометрическое производство) внутрижелудочковой и отрицательной dp/dt_{max} нарастания внутрижелудочковой физиологической меры пульсации в легочной артерии, использовали индекс «диастолической перфузии»



Н. П. Строганова, В. И. Коваленко

КОРОНАРНОЕ КРОВООБРАЩЕНИЕ ПРИ ХРОНИЧЕСКОЙ ЭКСПЕРИМЕНТАЛЬНОЙ КОАРКТАЦИИ АОРТЫ

На функциональное состояние миокарда решающее влияние оказывает мера обеспечения его сократительной функции коронарным кровотоком. В физиологических условиях имеется тесная взаимосвязь сократительной функции миокарда, его потребности в кровоснабжении, реального объема коронарного кровотока и широкого диапазона механизмов, обеспечивающих тонкое приспособление насосной функции сердца к постоянно меняющимся потребностям организма в кровоснабжении, с одной стороны, и оптимизации коронарного кровотока относительно функциональной активности сердца, с другой. В условиях патологии достаточно часто объем коронарной перфузии находится в пределах нормы, но оказывается недостаточно адаптированным относительно потребности сердца в кровоснабжении. Подобная относительная коронарная недостаточность характерна для сердечной патологии, сочетающейся с развитием гипертрофии миокарда (arterиальных гипертензий, пороков сердца, кардиомиопатий и пр.).

Выяснение механизмов, определяющих относительную недостаточность коронарного кровоснабжения при сердечной гипертрофии различного генеза, представляется важным как для понимания общей проблемы нарушения в условиях патологии взаимосвязи сократительной функции сердца, его потребности в кровоснабжении и реального кровотока, так и для возможного выделения лимитирующих звеньев в комплексе компенсаторно-приспособительных реакций, обеспечивающих в физиологических условиях соответствие потребности сердца в кислороде его доставке с кровотоком.

Мы изучали эффективность адаптивных реакций сердца и коронарных сосудов в условиях хронической экспериментальной коарктации аорты.

Методика

Опыты проведены на беспородных гепаринизированных собаках массой 15—25 кг под нембуталовым наркозом (25—30 мг/кг массы внутрибрюшинно). В условиях широкой торакотомии и управляемого искусственного дыхания (РО-2) проводили катетеризацию восходящей части грудной аорты и полости левого желудочка сердца с электроманометрическим (ЕМТ-311, фирма «Elema», Швеция) измерением в них давления (САД и ЛЖД соответственно в кПа) и первой производной (dp/dt в кПа·с⁻¹) внутрижелудочкового давления (дифференциатор ЕМТ-63, фирма Elema, Швеция). Во всех сериях опытов использовали одну и ту же катетерно-манометрическую систему с постоянной частотной характеристикой и одинаковой мерой фильтрации сигнала ЛЖД при его регистрации и дифференцировании, что позволяло проводить сравнение абсолютных значений измеряемых параметров не только в динамике одного опыта, но и в опытах, проведенных на разных животных. Измерение выброса крови сердцем (СВ в л/мин⁻¹) и коронарного кровотока (КК в мл/мин⁻¹) осуществляли с помощью электромагнитного расходомера (фирма «Nihon Kohden», Япония), накидные датчики которого помещали на корне легочной артерии и проксимальном участке огибающей ветви левой коронарной артерии.

Для оценки сократительной функции миокарда левого желудочка сердца использовали силовые (максимальное систолическое давление в полости левого желудочка сердца и изометрическое давление, соответствующее максимальному значению первой производной внутрижелудочкового давления $p - dp/dt_{max}$), скоростные (положительная и отрицательная dp/dt_{max}) и временные (время достижения максимальной скорости нарастания внутрижелудочкового давления $t - dp/dt_{max}$) параметры. В качестве физиологической меры насосной функции левого желудочка сердца использовали объем крови в легочной артерии. Для оценки потребности сердца в кровоснабжении (кислороде) использовали индекс «напряжение — время» — ТТИ [9], для характеристики условий диастолической перфузии миокарда — индекс «диастолическое давление — время» —

Поступила 08.07.85

введение норадреналина
ствам легочных сосудов
й желудочек.

. Sergeev

JME AND THEIR
OD OUTPUT
ATECHOLAMINES

es of the left ventricular output
l in anesthetized cats. In major
artery blood flow was equal to
ith reduction of the left ventrili-
lf of the tests. The blockade of
blood flow shifts in response

ных сдвигах общей гемодина-
28—735.
ия кровообращения: Экспе-

Динамика изменений венозного
стилхолина // Физиология сер-
—107.
коронарного русла сердца //
488.
факторов, влияющих на сер-
плексогенной зоны // Там же.—

: Наука, 1975.—188 с.
врата в изменении кровотока и
еральных систем.—Л.: Наука,

1979.—222 с.
rol of the systemic venous bed,
receptor and chemoreceptor
pathicoadrenal system // Acta
of histamine in the pulmonary
379—396.
ing blood pooling and exercise
performance // Physiol. Rev.—

eased pulmonary vascular resi-
g // Amer. J. Physiol.—1984.—

cular in changes in venous re-
oxamine in anesthetized dog //

racic blood volume changes on
P. 255—261.

ary circulation of unanestheti-
01—1206.

and epinephrine // Circ. Res.—

Поступила 08.07.85

пол. журн., 1986, т. 32, № 2.

DPTI [5], отношение DPTI/TTI рассматривали как косвенный показатель адекватности коронарного кровоснабжения функциональной активности сердца к трансмуральному распределению кровотока [5, 6, 8, 12].

Синхронную регистрацию САД, ЛЖД, dp/dt , ТТИ, DPTI, СВ и КК проводили на самописце 6 NEK 301 со скоростью 25 мм/с⁻¹.

Сопоставляли данные, полученные в контрольной серии опытов (21 собака) и в группе собак с экспериментальной гипертрофией миокарда (9 собак), развившейся в результате длительного (7–12 мес) и стойкого повышения нагрузки давлением на левый желудочек, которое моделировали путем оперативного воспроизведения коарктации брюшной аорты в области отхождения от нее почечных артерий. Сужение аорты характеризовали градиентом давления, соответствующим 2,25–3,38 кПа (30–45 мм рт. ст.).

Результаты и их обсуждение

Хроническая нагрузка сердца давлением приводила к развитию умеренно выраженной гипертрофии миокарда левого желудочка — отношение массы левого желудочка, включая перегородку, (в г) к массе тела в кг в группе животных со стойким и длительным повышением артериального давления увеличивалось (по средним данным) на 37,2 % по сравнению с контрольной группой животных.

Основные показатели общей гемо- и кардиодинамики в условиях экспериментальной гипертрофии миокарда

Измеряемый параметр	Контрольная группа животных	Животные с экспериментальной гипертрофией	P
n, число животных	21	9	
ЛЖД, кПа	16,69±1,21	19,67±0,87	<0,01
САД, кПа			
sistолическое	16,40±0,68	19,52±0,59	<0,01
диастолическое	11,30±0,85	11,74±0,64	<0,01
СВ, л·мин ⁻¹	1,16±0,12	1,09±0,14	ns
ЧСС, уд·мин ⁻¹	166,0±8,4	158,0±16,7	ns
СО, мл	6,9±0,3	6,93±0,95	ns
ОПС, кПа·мл ⁻¹ ·мин ⁻¹	678,8±37,5	875,8±21,9	<0,01
А, Дж	7,85±0,35	12,19±1,32	<0,01
Показатель эффективности работы левого желудочка	1,61±0,13	1,12±0,09	<0,01
p при dp/dt_{max} , кПа	6,01±0,34	7,14±0,46	<0,05
dp/dt_{max} , кПа·с ⁻¹	159,3±16,4	139,9±13,6	ns
t при dp/dt_{max} , мс	4,5±0,2	5,5±0,18	<0,01
ТТИ	49,8±11,2	111,15±13,3	<0,01
DPTI	62,3±7,1	85,66±11,7	<0,01
DPTI/TTI	1,21±0,04	0,77±0,03	<0,01

Результаты исследований показали, что в группе животных с экспериментальной гипертрофией миокарда наблюдаются некоторые гемодинамические сдвиги (таблица). Об этом свидетельствуют средние показатели САД, ЛЖД, ОПС, увеличение которых у животных с экспериментальной гипертрофией миокарда статистически достоверно по сравнению с контрольными. Изменения ритма сердечных сокращений, sistолического объема крови и выброса крови сердцем, если и наблюдались в отдельных опытах, то были незначительными и незакономерными. В группе животных с экспериментальной гипертрофией выявлено значительное повышение внешней работы левого желудочка, что сочеталось с увеличением ТТИ (индекса, являющегося энергетическим эквивалентом работы сердца, отражающим увеличение его потребности в кислороде) и снижением показателя эффективности работы сердца. Выявлены разнонаправленные изменения показателей, используемых для характеристики сократительной функции сердца. Так, в условиях гипертрофии миокарда отмечено увеличение силовых показателей — максимального sistолического давления в полости левого желудочка и изометрического давления, при котором регистрируется мак-

симальная скорость в виде dp/dt_{max} . Сократительная dp/dt_{max} изменения не достигла также, что удлинение малая dp/dt . Совать как свидетельство состояния гипертрофии развития за счет увеличение интенсивности устойчивой стадии для поддержания гемодинамики массой, на фоне, пассивности сократимых живущимся представителями миокарда в экспериментальных условиях [7, 10]. Повышение симметричной гипертрофии коронарного кровотока в 1,9 раза. Так, кровь составлял (в мл·мин⁻¹) в группе животных 88,8±11,7 ($P<0,01$) коронарных сосудов произведено $\times \text{мл}^{-1} \cdot \text{мин}^{-1}$) с 1,3±0,11 в группе животных ($P<0,01$), проводимой в контрольной и экспериментальной гипертрофии миокарда изменение сосудов и их проницаемости, индекса, позволяющей оценить перфузию миокарда благоприятствующими условиями его гипертрофии, повышение нагрузки сердца с данными [4, 8, 10], в условиях умеренного повышения левого желудочка, японской гипертрофии миокарда, арктикации аорты, либо гипертрофии миокарда. Следует отметить, что малые показатели сократимости миокарда¹. Увеличение (и более) гипертрофии миокарда умеренным снижением выраженным его уменьшением. Исследование доказывает, что состояние коронарного кровотока изменилось в соответствии с изменениями адекватности миокарда. Так, обоснование максимального давления — ТТИ) как показателя коронарного кровотока и возможность исследования интенсивности миокардии.

¹ Пересчет коронарного кровотока проводился, так как мы изучали ветви левой коронарной артерии.

свенный показатель адекватности сердца к трансмуральному I, DPTI, СВ и КК проводили на серии опытов (21 собака) и в сердце (9 собак), развивавшейся в ения нагрузки давлением на левого воспроизведения коарктации артерий. Сужение аорты ханющим 2,25—3,38 кПа (30—
м приводила к развитию а левого желудочка — отверстия, (в г) к массе ительным повышением ар- едним данным) на 37,2 %
условиях экспериментальной

животные с экспериментальной гипертрофией | Р

9		
19,67±0,87	<0,01	
19,52±0,59	<0,01	
11,74±0,64	<0,01	
1,09±0,14	ns	
158,0±16,7	ns	
6,93±0,95	ns	
875,8±21,9	<0,01	
12,19±1,32	<0,01	
1,12±0,09	<0,01	
7,14±0,46	<0,05	
139,9±13,6	ns	
5,5±0,18	<0,01	
111,15±13,3	<0,01	
85,66±11,7	<0,01	
0,77±0,03	<0,01	

в группе животных с экспериментальной гипертрофией изменения гидравлического сопротивления коронарных сосудов и их проницаемости в сочетании с увеличением DPTI (см. таблицу), индекса, позволяющего судить об условиях диастолической перфузии миокарда, могли бы рассматриваться как параметры, благоприятствующие адекватному кровоснабжению миокарда в условиях его гипертрофии, развивающейся вследствие хронического повышения нагрузки сердца давлением. Приведенные данные согласуются с данными [4, 8, 10, 12] об увеличении общего коронарного кровотока в условиях умеренно выраженной (27—49 %) гипертрофии миокарда левого желудочка, являющейся следствием хронического повышения нагрузки на левый желудочек сердца, моделируемого либо созданием коарктации аорты, либо воспроизведением реноваскулярной гипертензии. Следует отметить, что большинство авторов при этом отмечает нормальные показатели коронарного кровотока в пересчете на грамм массы миокарда¹. Увеличение длительности и выраженности (до 100 % и более) гипертрофии миокарда сочетается, по данным литературы, с умеренным снижением как общего коронарного кровотока, так и более выраженным его уменьшением на единицу массы ткани [7, 11].

Исследование дополнительных параметров, характеризующих состояние коронарного кровообращения, позволяет ближе подойти к анализу изменений адаптивных его возможностей в условиях гипертрофии миокарда. Так, обосновано использование отношения индекса «диастолическое давление — время» к индексу «напряжение — время» (DPTI/TTI) как показателя соответствия между потребностью миокарда в кислороде и возможностью его доставки с кровотоком [5, 12]. Сравнительное исследование информативной ценности отношения DPTI/TTI и отношения миокардиальных токов в субэндокардиальном и субэпикарди-

¹ Пересчет коронарного кровотока на грамм массы миокарда в наших опытах не проводился, так как мы измеряли объемную скорость кровотока в одной лишь огибающей ветви левой коронарной артерии.

альном слоях миокарда позволило установить высокую корреляцию этих отношений и показать, что падение отношения DPTI/TTI ниже 0,8–0,7 совпадает с уменьшением диастолической фракции коронарного кровотока и снижением отношения токов в субэндокардиальном и субэпикардиальном слоях миокарда (эндо/эпи) ниже 0,65, что отражает ухудшение перфузии главным образом его глубоких слоев [5, 6, 8].

В группе животных с экспериментальной гипертрофией миокарда выявлено статистически значимое снижение отношения DPTI/TTI (см. таблицу) по сравнению с контрольной группой животных, которое составляло (по средним данным) $0,77 \pm 0,03$, т. е. произошло снижение этого показателя до уровня, рассматриваемого как неадекватное трансмуральное распределение кровотока с возможным ухудшением перфузии глубоких слоев миокарда, несмотря на увеличение реального коронарного кровотока. Данные о трансмуральном распределении увеличенного в условиях экспериментальной умеренно выраженной (27–49 %) гипертрофии миокарда и общего коронарного кровотока, полученные путем сопоставления распределения меченых радиоизотопами микросфер в поверхностном и глубоком слоях стенки левого желудочка, свидетельствуют о снижении отношения эндо-/эпикровотока и появлении признаков субэндокардиальной ишемии особенно при физической нагрузке [4, 6, 7, 8] или вызванной фармакологическими воздействиями максимальной вазодилатации [7, 11, 12].

Сопоставление отношения коронарного кровотока (КК) к индексу, определяющему потребность сердца в кислороде (TTI), и обозначаемому как индекс адекватности кровоснабжения миокарда уровню функциональной активности сердца (КК/TTI) позволило выявить снижение этого соотношения в группе животных с экспериментальной гипертрофией миокарда ($0,79 \pm 0,05$) по сравнению с контрольной группой животных ($0,97 \pm 0,03; P < 0,01$).

Таким образом, несмотря на значительное возрастание коронарного кровоснабжения в условиях экспериментальной гипертрофии миокарда, развивающейся вследствие хронической нагрузки сердца давлением, адаптивные возможности венечной системы, вероятно, ограничены; сопоставление соотношений КК/TTI и DPTI/TTI выявляет непропорционально малый прирост коронарного кровотока относительно возросшей потребности сердца в кислороде и указывает на неадекватное трансмуральное распределение коронарного кровотока с возможной ишемией или повышением риска возникновения ишемии субэндокардиального слоя миокарда в условиях его гипертрофии.

N. P. Stroganova, V. I. Kovalenko

CORONARY CIRCULATION UNDER EXPERIMENTAL COARCTATION OF THE AORTA

Chronic pressure load of the heart simulated by an operational reproduction of the abdominal aorta coarctation with the 7-12-month developmental period results in a development of a moderately expressed myocardial hypertrophy. The myocardial hypertrophy is hemodynamically characterized by an increase of the left ventricle pressure, systolic arterial pressure, general peripheral resistance, external output as well as by a considerable growth of TTI, an index which is an energy equivalent of the output; the cardiac output and cardiac rate in this case do not practically vary. Rate indices of the contractile myocardial function tend to decrease. A pronounced increase of the blood flow in the circumflex branch of the left coronary artery reflecting an increase in the heart blood supply under conditions of its chronic pressure overload is observed. However the comparison of the CBF/TTI and DPTI/TTI relationships permits revealing a disproportionately small growth of the coronary blood flow relative to an increased oxygen demand of the heart, thus testifying to the nonadequate transmural distribution of the coronary blood flow with either possible ischemia or increased danger for the appearance of the ischemia of subendocardial layer of the myocardium under conditions of its hypertrophy.

Institute of Cardiology, Ministry of Public Health
of the Ukrainian SSR, Kiev

1. Капелько В. К. Медицинская кардиология. — 1974.
 2. Meersson F. Z. Ada. 1978.—343 с.
 3. Meersson F. Z. Латентивность испытаний. Кардиология. — 1977.
 4. Bache R. J., Vrobel J. W. In dogs with chronic hypertension. — P. 76—87.
 5. Buckberg G. D., Fix J. W. Fixed arterial hypertension in the dog. — P. 67—81.
 6. Hiltz J., Restorff W. The effect of arterial hypertension on coronary blood flow and coronary oxygen consumption. Basic Res. Cardiol. 1978.
 7. O'Keefe D. D., Hoffman J. L. Effect of arterial hypertension on left ventricular function. — P. 199—209.
 8. Rembert J. C., Klein J. C. Effect of arterial hypertension on left ventricular function. — P. 195—205.
 9. Sarnoff J. C., Braunwald E. The effect of arterial hypertension on left ventricular function. — P. 193—203.
 10. Steisch E. A., House J. W. Effect of arterial hypertension on left ventricular function. — P. 191—201.
 11. Wangler R., Peters J. W. Effect of arterial hypertension on left ventricular function. — P. 189—199.
 12. Wicker P., Tarazi R. Effect of arterial hypertension on left ventricular function. — P. 187—197.
- Киев. ин-т кардиологии

УДК 616.24—002.5—085.281.8

ГЕМОДИНАМИКА

В комбинированной модели аортальнойstenоза и венечной недостаточности изучено влияние хронического давления на гемодинамические показатели сердца. Установлено, что в условиях хронической нагрузки на сердце развивается выраженная гипертрофия миокарда, характеризующаяся увеличением давления в левом желудочке, системического артериального давления, общего периферического сопротивления, внешней выработки и т. д. Установлено, что индекс трансмурального распределения кровотока (TTI) в условиях хронической нагрузки на сердце значительно превышает индекс кровообращения (CBF). Установлено, что индекс кровообращения (CBF) в условиях хронической нагрузки на сердце не изменяется, в то время как индекс трансмурального распределения кровотока (TTI) значительно возрастает. Установлено, что индекс кровообращения (CBF) в условиях хронической нагрузки на сердце не изменяется, в то время как индекс трансмурального распределения кровотока (TTI) значительно возрастает.

Учитывая широкое применение ультразвука в диагностике сердечно-сосудистых заболеваний, было проведено изучение данного метода в диагностике аортальнойstenоза, вводимого в периферическую вену. Установлено, что ультразвуковая диагностика аортальнойstenоза является эффективным методом, позволяющим определить наличие и степень аортальнойstenоза.

Объектом исследования являлись крысы, находившиеся на обычном корме с добавлением дроперидола (доза 0,5 мг/кг). Регистрацию гемодинамических показателей осуществляли, используя различные методы: измерение артериального давления, измерение частоты сердечных сокращений, измерение объема сердечной выработки, измерение периферического сопротивления.

После регистрации

ить высокую корреляцию отношения DPTI/TTI ниже леской фракции коронарного в субэндокардиальном ини) ниже 0,65, что отражало глубоких слоев [5, 6, 8]. Гипертрофии миокарда отношения DPTI/TTI (см. пой животных, которое со- т. е. произошло снижение го как неадекватное транс- ожным ухудшением перфу- твление реального коро- ном распределении увели- нированной (27— миокардного кровотока, полу- меченных радиоизотопами ях стенки левого желудоч- эндо-/эпикровотока и по- мии особенно при физиче- армакологическими воздей- [12]. кровотока (КК) к индексу, орде (TTI), и обозначае- миокарда уровню функции позволило выявить снижение экспериментальной гипертро- контрольной группой жи-

льное возрастание коронар- иментальной гипертрофии еской нагрузки сердца дав- системы, вероятно, ограничено. DPTI/TTI выявляет непро- кровотока относительно воз- казывает на неадекватное кровотока с возможной ишемии субэндокарди- графии.

EXPERIMENTAL
DPTI/TTI

n operational reproduction of the- minal period results in a de- phy. The myocardial hypertrophy left ventricle pressure, systolic ar- tput as well as by a considerable of the output; the cardiac output te indices of the contractile myo- se of the blood flow in the cir- increase in the heart blood supply oberved. However the comparison s revealing a disproportionately increased oxygen demand of the distribution of the coronary blood or the appearance of the ischemia- tions of its hypertrophy.

1. Капелько В. К. Механические свойства гипертрофированной сердечной мышцы // Кардиология.— 1971.— № 11.— С. 89—96.
2. Мирсон Ф. З. Адаптация, дедаптация и недостаточность сердца.— М.: Медицина, 1978.— 343 с.
3. Мирсон Ф. З., Ларионов Н. П. Депрессия сократительной функции и снижение эффективности использования кислорода при компенсаторной гипертрофии сердца // Кардиология.— 1975.— № 4.— С. 107—114.
4. Bache R. J., Vrobel T. R., Bing W. S. Regional myocardial blood flow during exercise in dogs with chronic left ventricular hypertrophy // Circulat. Res.— 1981.— 48, N 1.— P. 76—87.
5. Buckberg G. D., Fixler D. E., Archie J. P., Hoffman J. I. E. Experimental subendocardial hypertension ischemia in dogs with normal coronary arteries // Ibid.— 1972.— 30, N 1.— P. 67—81.
6. Hiltz J., Restorff W. V., Bard P., Bassenge E. Transmural distribution of myocardial blood flow and coronary vascular reserve in canine left ventricular hypertrophy // Basic Res. Cardiol.— 1977.— 72, N 1.— P. 286—292.
7. O'Keefe D. D., Hoffman J. I. E., Cheitlin M. Coronary blood flow in experimental canine left ventricular hypertrophy // Circulat. Res.— 1978.— 43, N 1.— P. 43—51.
8. Rembert J. C., Kleiman L. H., Fedor J. M. Myocardial blood flow distribution in concentric left ventricular hypertrophy // J. Clin. Invest.— 1978.— 62, N 2.— P. 379.
9. Sarnoff J. C., Braunwald E., Welch G. H. Hemodynamic determinants of oxygen consumption of the heart with special reference to the time-tension index // Amer. Heart J.— 1958.— 49, N 1.— P. 143—154.
10. Steisch E. A., Housen S. R., Carey R. A. Myocardial blood flow and capillary density in chronic pressure overload of the canine left ventricle // Cardiovasc. Res.— 1980.— 14, N 3.— P. 469—475.
11. Wangler R., Peters K., Marcus M., Tamanek R. Effect of duration and severity of arterial hypertension and cardiac hypertrophy on coronary vascular reserve // Circulat. Res.— 1982.— 51, N 1.— P. 10—16.
12. Wicker P., Tarazi R. C. Coronary blood flow in left ventricular hypertrophy: a review of experimental data // Eur. Heart J.— 1982.— 3, suppl. A.— P. 111—118.

Киев. ин-т кардиологии МЗ УССР

Поступила 18.06.84

УДК 616.24—002.5—085.281.873.21:615.835.5:612.13/14

Р. Г. Процюк

ГЕМОДИНАМИКА И СОКРАТИТЕЛЬНАЯ ФУНКЦИЯ МИОКАРДА ПРИ ИНГАЛЯЦИИ ИЗОНИАЗИДА

В комбинированной химиотерапии больных туберкулезом легких и других органов ведущее значение занимает изониазид. Данные литературы о влиянии изониазида на функцию сердечно-сосудистой системы многочисленны и в то же время противоречивы. Отмечено как положительное [5, 7], так и отрицательное действие препарата на функцию сердца [9, 10, 12, 13—15]. После приема суточной дозы изониазида внутрь наступает улучшение периферического кровообращения за счет расширения капилляров и усиления циркуляции крови в них [11], после внутривенного и внутриартериального введения — повышение давления в легочной артерии [6, 8].

Учитывая широкое использование изониазида в ингаляциях с помощью ультразвука (УЗИ) при лечении больных туберкулезом легких и отсутствие в литературе данных о влиянии препарата при указанном способе введения на кардио- и гемодинамику, представляет интерес изучение данного вопроса. Цель нашей работы — оценка влияния изониазида, вводимого с помощью УЗИ на основные параметры внутрисердечной и периферической гемодинамики в эксперименте.

Методика

Объектом исследования были 10 беспородных собак обоего пола массой 10—12 кг, находившиеся на обычном режиме вивария. Собак наркотизировали внутримышечно дроперидолом (доза 0,5 мг/кг) и внутрибрюшинно гексеналом (доза 1 мл/кг; 20 %-ный раствор). Регистрацию основных параметров внутрисердечной и периферической гемодинамики осуществляли, используя методы катетеризации полостей сердца и магистральных сосудов и терморазведения [1].

После регистрации исходного фона кардио- и гемодинамики проводили ультразву-

ковую ингаляцию изониазида из расчета 20 мг/кг массы собаки в течение 20 мин, что соответствует терапевтической дозе для данного вида животных [2]. Препарат ингаляировали с помощью ингалятора TUR USI-50 и специально для собак сделанной нами маски, способствующей полному поступлению аэрозоля в дыхательные пути животного. Показатели внутрисердечной гемодинамики, электрокардиограмма (ЭКГ) и системное артериальное давление (САД) регистрировали через 30, 60 и 120 мин после проведения ингаляции.

Во всех опытах определяли САД в бедренной артерии, давление в левом и правом желудочках сердца по значениям максимального (p_{\max}), развивающегося ($p_{\text{разв}}$) и конечно-диастолического (КД) давлений. О сократительной функции и свойствах расслабления сердечной мышцы судили по сдвигам максимальной скорости нарастания (dp/dt_{\max}) и снижения (dp/dt_{\min}) внутрижелудочкового давления и по индексам сократимости [16] и расслабления [3] миокарда.

Индекс сократимости миокарда левого желудочка определяли путем деления dp/dt_{\max} , а расслабления dp/dt_{\min} на развивающее давление в левом желудочке. Индекс сократимости миокарда правого желудочка определяли путем деления dp/dt_{\max} , а расслабления — dp/dt_{\min} на развивающее давление в правом желудочке.

Минутный объем сердца (МОС) рассчитывали на основании кривых терморазведения, которые записывали до ингаляции изониазида, затем через 60 и 120 мин после нее. Ряд величин: ударный объем сердца (УОС), сердечный индекс (СИ), ударный индекс (УИ), общее периферическое сопротивление (ОПС), рабочий индекс левого желудочка (РИЛЖ), рабочий ударный индекс левого желудочка (РУИЛЖ), секундный объем (СО) определяли расчетным путем, частоту сердечных сокращений (ЧСС) — по электро-кардиограмме (ЭКГ). Давление в легочной артерии (систолическое, диастолическое, пульсовое) измеряли прямым методом, катетеризируя сосуд через яремную вену. Для регистрации ЭКГ, давления в полостях сердца и сосудах использовали «Мингограф-34» (фирма «Elema», Швеция).

Полученные данные обрабатывали методом вариационной статистики.

Результаты и их обсуждение

Анализ проведенных исследований показал (таблица), что после УЗИ изониазида каких-либо сдвигов в ЧСС не отмечено. Обнаружена тенденция к снижению системного артериального давления через 60—120 мин после ингаляции: систолического на 7—12 % ($P > 0,05$), диастолического на 9—11 % ($P > 0,05$) и пульсового на 6—12 % ($P > 0,05$).

При изучении максимальной скорости нарастания давления в левом желудочке не обнаружены существенные изменения внутрижелудочкового и КД давлений в течение всего периода исследования. Отмечена только некоторая тенденция к повышению dp/dt_{\max} (6%; $P > 0,1$) и снижению dp/dt_{\min} (9—15%; $P > 0,05$) после ингаляции. Индексы сократимости и расслабления левого желудочка сердца в динамике наблюдения существенно не изменились.

Анализ показателей гемодинамики правого желудочка позволил обнаружить следующие изменения: после ингаляции через 30 и 60 мин p_{\max} снизилось на 6—13 % ($P > 0,05$), а через 120 мин — на 19 % ($P > 0,05$); $p_{\text{разв}}$ через 30—120 мин также снизилось на 12—26 % ($P < 0,05$) по сравнению с исходным. Значение dp/dt_{\max} сразу после ингаляции повысилось на 14 % ($P > 0,05$) и продолжало оставаться высоким до конца исследования. Важная особенность внутрисердечной гемодинамики правого желудочка — тенденция к повышению (4—6%; $P > 0,05$) dp/dt_{\min} , что свидетельствует о повышении интенсивности диастолического расслабления. Увеличение эффективности диастолической паузы приводит к повышению индекса сократимости (50—60%; $P < 0,01$) и расслабления (23—50%; $P < 0,05$), что может быть обусловлено следующими двумя факторами: стимулирующим влиянием изониазида на сократительную активность и релаксационные свойства миокарда правого желудочка и снижением систолического давления в легочной артерии, за счет снижения сопротивления сосудов малого круга кровообращения. Такая направленность изменений характерна для улучшения сократительной способности миокарда правого желудочка.

Особое внимание
32%; $P < 0,001$),
ния в легочной ар-
Пульсовое давлени-
($P > 0,05$), а через

Показатели карди-

Показатель

ЧСС, мин
Сердечный индекс, л/мин·м ²
Ударный индекс, мл/м ²
ОПС, кПа
РИЛЖ, л/мин·м ² ·кПа
РУИЛЖ, мл/м ² ·кПа
СО, л/мин·с

Давление, кПа
Систолическое
Диастолическое
Пульсовое

Давление максимальное кПа
Индекс сократимости, с ⁻¹
Индекс расслабления, с ⁻¹

Давление максимальное кПа
Индекс сократимости, с ⁻¹
Индекс расслабления, с ⁻¹

Давление, кПа
Систолическое
Диастолическое
Пульсовое

¹ Достоверность различий

Показатели на-
ции изониазида сни-
жение (хотя стати-
проводится увели-
снижению МОС и
и РУИЛЖ (21%; $P < 0,05$).

Таким образом,
яние на кардио- и
ная способность хим-
правого желудочка
сматриваться как по-
ном пути введения.
дио- и гемодинамик-
венно и внутриарт-

ы собаки в течение 20 мин, что животных [2]. Препарат ингаляционно для собак сделанной нами в дыхательные пути животного. Эндоцартия (ЭКГ) и системное 60 и 120 мин после проведения

Показатели кардио- и гемодинамики под влиянием ультразвуковых ингаляций изониазида ($M \pm m$)

Показатель	Исходное значение	Время исследования после ингаляций, мин		
		30	60	120
ЧСС, мин	180,0 ± 16,23	188,5 ± 9,74	184,0 ± 10,82	184,6 ± 10,82
Сердечный индекс, л/мин·м ²	2,42 ± 0,91	...	2,41 ± 0,78	2,42 ± 0,86
Ударный индекс, мл/м ²	15,8 ± 2,36	...	14,61 ± 2,34	13,9 ± 4,08
ОПС, кПа	463,5 ± 33,25	...	499,57 ± 20,41	556,98 ± 50,8
РИЛЖ, л/мин·м ² ·кПа	427,8 ± 28,7	...	421,32 ± 0,53	412,39 ± 27,94
РУИЛЖ, мл/м ² ·кПа	2,51 ± 0,40	...	2,13 ± 0,33	1,98 ± 0,69
СО, л/мин/с	29,05 ± 6,08	...	28,56 ± 4,27	27,41 ± 4,23
Бедренная артерия				
Давление, кПа				
Систолическое	11,86 ± 0,87	11,81 ± 1,04	11,0 ± 0,95	10,51 ± 1,05
Диастолическое	10,0 ± 0,95	9,48 ± 0,91	9,1 ± 0,68	8,86 ± 0,74
Пульсовое	1,94 ± 0,23	1,91 ± 0,23	1,82 ± 0,18	1,70 ± 0,29
Левый желудочек				
Давление максимальное, кПа	12,81 ± 1,05	11,87 ± 1,23	11,92 ± 1,33	11,93 ± 1,48
Индекс сократимости, с ⁻¹	3,48 ± 0,51	3,44 ± 0,15	3,67 ± 0,22	3,53 ± 0,14
Индекс расслабления, с ⁻¹	3,43 ± 0,43	3,27 ± 0,45	3,38 ± 0,3	3,36 ± 0,55
Правый желудочек				
Давление максимальное, кПа	3,39 ± 0,39	3,19 ± 0,37	2,95 ± 0,35	2,73 ± 0,22
Индекс сократимости, с ⁻¹	3,04 ± 0,41	5,05 ± 0,89 ¹	4,66 ± 0,6 ¹	5,46 ± 0,65 ¹
Индекс расслабления, с ⁻¹	2,71 ± 0,35	3,34 ± 0,44	4,07 ± 0,49 ¹	3,95 ± 0,43 ¹
Легочная артерия				
Давление, кПа				
Систолическое	3,22 ± 0,14	2,51 ± 0,01 ¹	2,25 ± 0,13 ¹	2,17 ± 0,12 ¹
Диастолическое	1,56 ± 0,17	1,04 ± 0,18 ¹	0,95 ± 0,19 ¹	1,3 ± 0,15
Пульсовое	1,52 ± 0,17	1,48 ± 0,11	1,29 ± 0,15	1,0 ± 0,12 ¹

¹ Достоверность различия ($P < 0,05$) по сравнению с исходными значениями.

Показатели насосной функции сердца (МОС, УОС) после ингаляции изониазида снижались на 11 и 9 % соответственно ($P > 0,05$). Снижение (хотя статистически недостоверное) значений этих величин сопровождается увеличением ОПС на 20 % ($P > 0,05$). Соответственно снижению МОС и УОС происходит уменьшение УИ (19,5 %; $P > 0,05$) и РУИЛЖ (21 %; $P > 0,05$). СИ и РИЛЖ существенно не изменяются.

Таким образом, УЗИ изониазида не оказывает отрицательное влияние на кардио- и гемодинамику у собак в остром опыте. Обнаруженная способность химиопрепарата увеличивать сократительную функцию правого желудочка и снижать давление в легочной артерии может рассматриваться как положительное действие изониазида при ингаляционном пути введения. Указанные особенности влияния изониазида на кардио- и гемодинамику заслуживают особое внимание, поскольку внутривенное и внутриартериальное введение препарата, как следует из ли-

рии, давление в левом и правом, развиваемого ($p_{\text{прав}}$) и конечфункции и свойствах расслабляемой скорости нарастания зного давления и по индексам

а определяли путем деления ление в левом желудочке. Инциденты путем деления dp/dt_{max} , авом желудочке. основании кривых терморазведеним через 60 и 120 мин после нее. индекс (СИ), ударный индекс бочечный индекс левого желудочка (РУИЛЖ), секундный объем сокращений (ЧСС) — по электросистолическое, диастолическое, сосуд через яремную вену. Для использования «Минграф-34»

ионной статистики.

ение

зал (таблица), что после не отмечено. Обнаружена ного давления через 60—7—12 % ($P > 0,05$), диастоличного на 6—12 % ($P > 0,05$). аростания давления в левом изменении внутрижелудочного исследования. Отметено dp/dt_{max} (6 %; $P > 0,1$) в ингаляции. Индексы со сердца в динамике наб

о желудочка позволил об- пользование через 30 и 60 мин через 120 мин — на 19 % снизилось на 12—26 %. dp/dt_{max} сразу после родолжало оставаться вы- бенность внутрисердечной я к повышению (4—6 %; овышении интенсивности эффективности диастолической сократимости (50—60 %;), что может быть обус- лирующим влиянием изониазидные свойства миолитического давления в левом сосудов малого круга менений характерна для арда правого желудочка.

тературы [6, 8], сопровождается гипертензивным действием на малый круг кровообращения больных туберкулезом легких. Учитывая данные о том [4], что легочная гипертензия встречается у 74—83 % больных распространенными формами туберкулеза легких, УЗИ изониазида может быть рекомендована в комплексном лечении даже при наличии синдрома гипертензии малого круга кровообращения у данного контингента больных. В связи с тем, что с понижением давления в легочной артерии происходит повышение ОПС, можно считать целесообразным сочетание ингаляции изониазида с вазодилататорами.

R. G. Protsyuk

HEMODYNAMICS AND CONTRACTILE FUNCTION OF THE MYOCARDIUM UNDER ISONIAZID INHALATION

Effect of isoniazid administered by ultrasonic inhalation (USI) on the basic parameters of intracardiac and peripheral hemodynamics was studied on 10 mongrel dogs of both sexes (mass of 10-22 kg) under droperidol-hexenal anesthesia. Indices of the intracardiac hemodynamics, ECG and system arterial pressure (SAP) were registered prior to the inhalation and 30, 60, 120 min after it. A tendency to a decrease of SAP, systolic and diastolic pressure in the pulmonary arteries and to an increase of the contractility index and relaxation of the left ventricle after isoniazid inhalation is revealed. Isoniazid is established to enhance a contractile ability of the right ventricle myocardium. Regarding the above the USI of isoniazid may be recommended in a complex treatment of the patients even in case of the hypertension syndrome in the lesser circulation.

Medical Institute, Ministry of Public Health of the
Ukrainian SSR, Kiev

- Гуревич М. И., Берштейн С. А., Голов Д. А. и др. Определение сердечного выброса методом термодилюции // Физиол. журн. СССР.—1967.—№ 3.—С. 350—354.
- Западнюк И. П., Западнюк В. И., Захария Е. А., Западнюк Б. В. Лабораторные животные : Разведение, содержание, использ. в эксперименте: Учеб. пособие.—3-е изд., перераб.—Кiev : Вища шк., 1983.—383 с.
- Капелько В. И., Новикова Н. А., Пшенникова М. Г., Меерсон Ф. З. Соотношение параметров сокращения и расслабления сердечной мышцы при компенсаторной гипертрофии сердца // Кардиология.—1979.—№ 9.—С. 88—91.
- Кулачковский Ю. В. Хроническое легочное сердце при туберкулезе.—Кiev : Здоров'я, 1981.—213 с.
- Машковский М. Д., Полежаева А. И. К фармакологии нового противотуберкулезного средства — фтивазида // Химия и медицина: Фтивазид.—М. : Медицина, 1954.—С. 52—58.
- Мельник В. П. Давление в легочной артерии и электромеханическая активность миокарда у больных туберкулезом и неспецифическими воспалительными заболеваниями легких : Автореф. дис. ... канд. мед. наук.—Кiev, 1981.—18 с.
- Пилипчук Н. С., Иванюта О. М. Внутриенная антибактериальная терапия больных туберкулезом и нагноительными заболеваниями легких.—Кiev : Здоров'я, 1975.—136 с.
- Пилипчук Н. С. О лечении больных хроническим деструктивным туберкулезом легких // Врачеб. дело.—1982.—№ 3.—С. 53—58.
- Стукало И. Т., Кулачковский Ю. В. Система кровообращения и туберкулез легких.—М. : Медицина, 1967.—198 с.
- Сумбатов Г. Я. Лечение больных туберкулезом фтивазидом // Химия и медицина: Фтивазид.—М. : Медицина, 1954.—С. 74—84.
- Харків А. А. Влияние фтивазида на сердечно-сосудистую систему больных туберкулезом легких // Пробл. туберкулеза.—1956.—№ 2.—С. 21—23.
- Ященко В. П. Побочное действие специфической химиотерапии на сердечно-сосудистую систему больных туберкулезом легких пожилого и старческого возраста // Профилактика и лечение туберкулеза.—Кiev, 1971.—Вып. 4.—С. 113—115.
- Яблоков Д. Д. Побочные явления при антибактериальной терапии больных туберкулезом легких // Тр. 6-го Всесоюз. съезда фтизиатров.—М., 1959.—С. 25—26.
- Dettlaff Z. Wplyw INH na naczynia wiencowe i czynnosc serca // Gružl. i chorobu plic.—1969.—37, N 8. S. 759—766.
- Mitchell T. R., Thorgerisson U. P., Black M. et al. Increased incidence of isoniazid hepatitis in rapid acetylators: possible relation to hydrazine metabolites // Clin. Pharmacol. and Ther.—1975.—18, N 1. P. 70—75.
- Veragut U. P., Kragenbuehl H. P. Estimation and quantification of myocardial contractility in the closed chest dog // Cardiologia.—1965.—47, N 1.—P. 96—112.

Киев. мед. ин-т им. А. А. Богомольца
МВССО УССР

Поступила 21.06.84

Физиол. журн., 1986, т. 32, № 2

Вопрос о ...
представляет ос...
исследование ге...
работка методо...
3, 11, 13]. Уста...
состояния изоли...
[9], тотальное в...
рушает нормал...
ния [9]. Одни...
изучали ритм д...
чество модели ...
попытались выя...
ются они в сам...

Проведены дв...
цию ритма сердца...
Инктактную лягушку...
стандартном отведе...
гера — Локка по о...
или изолированного...
после этих процедур...
с полиграфа япон...
батывали на управ...
формирования врем...
тико-статистическог...
анализ временного...
считали среднее ар...
усредненный слой ...
слой вариабельности...
токорреляционную ...
использованием рас...
оценок равной 95 %...
тод полосовой циф...
АКФ исследуемого ...
ется в следующем. ...
Ширину полосы оп...
в каждой полосе —
цифрового фильтра ...
$$= \frac{1}{2m+1} \sum_{j=-m}^m x_j$$

нал, m — длина ос...

Данный фильтр име...

передаточная функци...
ным вычитанием от ...
 $Z_t = Y_{t+m} - X_t$, где ...
корреляционный ана...
информативные пар...
стижению нулевого ...
га. Кроме того, в ка...
максимумами флюк...
этого ряда.

Физиол. журн., 198...

УДК 615.12—073.97

Э. Н. Лернер, В. И. Бондарчук

ВРЕМЕННАЯ ОРГАНИЗАЦИЯ РИТМА ИЗОЛИРОВАННОГО СЕРДЦА ЛЯГУШКИ

Вопрос о временной организации ритма изолированного сердца представляет особый интерес как в теоретическом плане (в частности, исследование генеза биоритмов), так и в прикладном (например, разработка методов и программ управления искусственным сердцем) [1, 3, 11, 13]. Установлено [7], что электрокардиографические показатели состояния изолированного сердца собаки при перфузии не меняются [9], тотальное выключение экстракардиальных нервных влияний не нарушает нормальных гомеостатических реакций аппарата кровообращения [9]. Одни исследователи [5] на изолированном сердце лягушки изучали ритм деятельности сердца, другие [12] использовали его в качестве модели для определения приспособительных возможностей. Мы попытались выяснить ряд вопросов происхождения биоритмов: образуются они в самом сердце или «навязываются» нервной системой.

Методика

Проведены две серии опытов на 12 лягушках. Исследовали временную организацию ритма сердца интактных лягушек (I серия) и изолированного сердца (II серия). Интактную лягушку фиксировали. Электрокардиограмму (ЭКГ) регистрировали во II стандартном отведении. Изолированное сердце лягушки перфузировали раствором Рингера — Локка по общепринятой методике. С целью адаптации фиксированной лягушки или изолированного сердца к экспериментальным условиям опыт начинали через 20 мин после этих процедур. ЭКГ регистрировали в течение 30 мин на ферромагнитной ленте с полиграфа японской фирмы «Nihon Kohden». Кардиологическую информацию обрабатывали на управляющей вычислительной машине (УВМ) «ACBT-M 6000». Алгоритм формирования временных рядов кардиоинтервалов описан ранее [6]. Алгоритм математико-статистического анализа заключается в следующем. Проводили статистический анализ временного ряда интервалов $R - R$ ЭКГ, т. е. кардиоинтервалограммы (КИГ), считали среднее арифметическое массива (m), среднее квадратическое уклонение (σ), усредненный слой вариабельности (σ/m), дисперсию (D), вариационный размах (ΔX), слой вариабельности ($\Delta X/m$), моду (M_0), амплитуду моды (AM_0), гистограмму и автокорреляционную функцию (АКФ). Расчет доверительных интервалов производился с использованием распределения Стьюдента при заданной доверительной надежности оценок равной 95 %. Для выявления скрытых биоритмов в КИГ был использован метод полосовой цифровой фильтрации с вычислением статистических характеристик и АКФ исследуемого сигнала в каждой из выделенных полос. Сущность метода заключается в следующем. Исследуемый сигнал КИГ разбивали на несколько полос по частоте. Ширину полосы определяли параметрами АКФ КИГ [4]. При этом дисперсия сигнала в каждой полосе — усредненное значение спектральной функции. В качестве линейного цифрового фильтра использовали метод простого скользящего среднего [10] $Y_t = \frac{1}{2m+1} \sum_{j=-m}^m X_{t+j}$, где Y_t — отфильтрованный сигнал, t — время, X_t — исходный сигнал, m — длина осреднения, дающая амплитудно-частотную характеристику фильтра.

Данный фильтр имеет передаточную функцию вида $s(\omega) = \frac{\sin\left(m + \frac{1}{2}\right)\omega}{(2m+1)\sin\left(\frac{\omega}{2}\right)}$, где s —

передаточная функция фильтра, ω — угловая частота. Полосу выделяли последовательным вычитанием отфильтрованного сигнала из исходного с учетом сдвига фазы так, что $Z_t = Y_{t+m} - X_t$, где Z_t — искомая полоса. Далее осуществляли статистический и автокорреляционный анализ каждой из выделенных полос. При этом определяли наиболее информативные параметры АКФ, а именно: число кардиоциклов, соответствующих достижению нулевого уровня АКФ, и числовую характеристику АКФ после первого сдвига. Кроме того, в каждой полосе строили временной ряд по числу кардиоциклов между максимумами флюктуирующей функции и проводили полный статистический анализ этого ряда.

Поступила 21.06.84

ным действием на малый легких. Учитывая данныеется у 74—83 % больных легких, УЗИ изониазида мочевин даже при наличии бращения у данного конжением давления в легочном можно считать целесообразными.

E FUNCTION
ZID INHALATION

lation (USI) on the basic para-studied on 10 mongrel dogs of anesthesia. Indices of the intra-(SAP) were registered prior to a decrease of SAP, systolic and increase of the contractility index alation is revealed. Isoniazid is ventricle myocardium. Regarding a complex treatment of the pa-
ser circulation.

Определение сердечного выброса 67.— № 3.— С. 350—354.

шаднюк Б. В. Лабораторные жи-

менете: Учеб. пособие.— 3-е изд.,

Меерсон Ф. З. Соотношение па-
щи при компенсаторной гипер-
—91.

и туберкулезе.— Киев : Здоров'я,

огии нового противотуберкулез-
изавид.— М. : Медицина, 1954.—

ромеханическая активность ми-
оспалительными заболеваниями

1.—18 с.

бактериальная терапия больных

гих.— Киев : Здоров'я, 1975.—

структурным туберкулезом лег-
обращения и туберкулез лег-
изавидом // Химия и медицина :

динистую систему больных тубер-
— С. 21—23.

имиотерапии на сердечно-сосу-
зового и старческого возраста //
-Вып. 4.— С. 113—115.

альной терапии больных тубер-
— М., 1959.— С. 25—26.

уппосе serca // Gružl. i choroby-

reased incidence of isoniazid he-
razine metabolites // Clin. Phar-

quantification of myocardial cont-
5.—47, N 1.— P. 96—112.

Физиол. журн., 1986, т. 32, № 2

Результаты такого анализа позволяют получить количественные данные о динамике периодов реальных колебаний в полосе, а также дают возможность адекватно корректировать параметры очередного фильтра, определяющие ширину полосы. Такой подход отличается простотой технической реализации и возможностью визуальной оценки эффективности отдельных этапов анализа. В процессе исследований наиболее информативными оказались фильтры с параметрами осреднения 7, 31 и 91. Первые фильтры использовали для выделения высокочастотных колебаний. С помощью последующих — определяли частотные полосы сигнала КИГ, содержащие более медленные составляющие. Анализ АКФ сигнала КИГ в каждой из полученных полос позволил достаточно точно подсчитать имеющиеся кардиоциклы за один период выделенной медленной волны. Для оценки амплитудной характеристики, а также значимости выделенной полосы по отношению ко всему сигналу определяли параметры слоя вариабельности, как для всего исходного сигнала, так и для каждой полосы, процентное отношение мощности каждой полосы к суммарной мощности всех выделенных полос. Мощность определяли по дисперсии сигнала. Разделение сложного исходного сигнала на ряд более простых составляющих позволяет корректно (с математической точки зрения) оценить количественные характеристики переходных процессов (трендов), колебаний (биоритмов) и случайной составляющей процесса.

Результаты и их обсуждение

Полученные результаты двух серий экспериментов приведены в табл. 1 и 2. Анализ статистических характеристик КИГ интактных лягушек (контрольная группа, серия I) и изолированного сердца (серия II) показал значительные изменения параметров ЭКГ (см. табл. 1). Так, у изолированного сердца лягушки, по сравнению с интактными лягушками, длительность кардионтервала увеличилась в среднем на 978,2 мс при 796,8 мс в I серии, т. е. более чем в 2 раза ($P < 0,05$). При этих условиях мода также увеличилась в среднем на 991,3 мс при 792,0 мс в I серии, т. е. более чем в 2 раза ($P < 0,05$), амплитуда моды — на 36,0 % при 40,3 % в I серии, т. е. в 2 раза ($P < 0,05$), усредненный слой вариабельности — на 3,25 % при 1,4 % в I серии, т. е. в 3 раза ($P < 0,05$), слой вариабельности — на 31,4 % при 6,0 % в I серии, т. е. в 6 раз ($P < 0,05$). Эти данные свидетельствуют о том, что после изоляции сердца ритм сердечных сокращений становится не только замедленным, но и менее регулярным. Это согласуется с описанными ранее данными [5], которые указывают, что частота сердечных сокращений у изолированного сердца ниже, чем у интактных лягушек. Однако подобная реакция зависит от вида биообъекта. Так, например, установлено [8], что ритм сердца у собак после полной экстракардиальной его денервации умеренно учащается. В этих условиях авторы отмечают также большую разбросанность крайних значений ритма сердцебиения, связанного с денервацией сердца.

Таблица 1. Статистические характеристики кардионтервалограмм

Серия	Среднее значение кардионтервала, мс	Мода, мс	Амплитуда моды, %	Слой вариабельности, %	Усредненный слой вариабельности, %
I	796,8±35,6	792,0±26,8	40,3±2,3	6,0±2,5	1,4±0,9
II	1775,0±519,1	1783,3±480,1	76,3±4,1	37,4±20,3	4,65±2,0

Параллельно проведенные исследования скрытых биоритмов (см. табл. 2) показали, что при изоляции сердца волна II порядка по длительности мало изменяется, но интенсивность ее (по сравнению с интактными лягушками) увеличивается в среднем на 18,7 % при 10,2 % в I серии, т. е. примерно в 3 раза ($P < 0,05$). Волна III порядка по длительности также мало изменяется, но интенсивность ее, по сравнению с интактными лягушками, увеличивается в среднем на 24 % при 4,6 % в I серии, т. е. примерно в 6 раз ($P < 0,05$). Волна IV порядка по длительности незначительно увеличивается, но интенсивность ее, по срав-

нению с интактным

85,3 % в I серии, т.

Наши исследов

али, что полная д

ритма. Наряду с эт

илированного сердца

Табли

Серия	II	
	Число кардиоциклов	Мощ
I	2,8±0,9	10,2
II	3,7±0,8	28,9

менее регулярна. Об

дит перестройка ск

биоритмов во време

значительно перес

раз увеличиваются,

раженности биоритм

о том, что они генер

изоляция сердца, ве

мов. В целом же орг

июю нейрогуморальне

— ОННОСТИ ОГРАНИЧЕНЫ

ОД. КОТОРЫЕ TEMPORAR

ИУФ МОЛН ОЖИДАЮЩИ

СМАЗКА И ПОМОДОРОВ

The statistical charac

frogs and their isolated he

machine by means of alg

complete isolation the card

of its latent biorhythms.

A. N. Severtsov Institute of

Ecology of Animals, Academ

1. Антропов В. И. Матем

нение математических м

1982.—Ч. 1.—С. 15.

2. Баевский Р. М., Бонда

сердца в эволюционном

1981.—С. 204—206.

3. Баллюзек Ф. М. Прогр

ки.—1975.—Ч. 1, вып.

4. Воскресенский А. Д. Ве

казателей гемодинамики

гии.—1974.—26.—С. 38.

5. Зикс В. С., Комкова О.

войной лягушки в раз

тельной электрокардиол

6. Калантар В. А. Многоп

прикладные аспекты вре

72.

7. Карпель Е. Г. Электрок

ца // Материалы 5 Всесо

С. 440—441.

8. Клевцов В. А. Изменени

ной денервации сердца

кар, 1979.—С. 171.

9. Косицкий Г. И. Афферен

количественные данные о динамике ширину полосы. Такой подъемом возможностью визуальной оценки исследований наиболее информативен. Первые фильтры исключают помехи последующих — не более медленные составляющие полосы позволили достаточно отчетливо выделенной медленной волны. Частоты выделенной полосы показывают вариабельность, как для всего ее отношения мощности каждой. Мощность определяли по дисперсии на ряд более простых составляющих (биоритмов) и случайной

спецификации приведены в методике КИГ интактных лягушек сердца (серия ЭКГ (см. табл. 1). Сравнению с интактными лягушками в среднем на 2 раза ($P < 0,05$). При среднем на 991,3 мс при ($P < 0,05$), амплитуда мощности 2 раза ($P < 0,05$), усредненная 1,4% в I серии, т. е. в 31,4% при 6,0% в I серии. Доказано, что волны II и III становятся не только согласуется с описанными частотами сердечных сокращений интактных лягушек. Однаково. Так, например, в условиях экстракардиальной среды авторы отмечают изменения ритма сердца.

кардиоинтервалограмм

Слой вариабельности, %	Усредненный слой вариабельности, %
6,0 ± 2,5	1,4 ± 0,9
37,4 ± 20,3	4,65 ± 2,0

скрытых биоритмов (см. табл. 1). Волна II порядка по длительности ее, по сравнению с интактной на 18,7% при 10,2%. Волна III порядка по длительности ее, по сравнению с интактной на 24% при 4,6%. Волна IV порядка по длительности ее, по сравнению с интактной на 44,9% при 85,3% в I серии, т. е. примерно в 2 раза ($P < 0,05$).

Наши исследования, как и наблюдения других авторов [5], показали, что полная денервация сердца лягушки приводит к замедлению ритма. Наряду с этим, статистический анализ выявил, что работа изолированного сердца более дезорганизована во времени, т. е. ритмика

Таблица 2. Скрытые биоритмы кардиоинтервалограмм

Серия	Порядок волны							
	II		III		IV		V	
	Число кардиоциклов	Мощность, %						
I	2,8 ± 0,9	10,2 ± 7,1	12,0 ± 1,1	4,6 ± 3,6	66,3 ± 20,5	85,3 ± 10,8		
II	3,7 ± 0,8	28,9 ± 8,0	12,2 ± 5,4	28,6 ± 6,8	71,3 ± 30,3	40,4 ± 5,1		

менее регулярна. Обнаружено также, что при изоляции сердца происходит перестройка скрытых биоритмов. При этом, если периодичность биоритмов во времени существенно не меняется, то их выраженность значительно перераспределяется: волны II и III порядков в несколько раз увеличиваются, а волна IV порядка — уменьшается. Усиление выраженности биоритмов, предположительно, может свидетельствовать о том, что они генерируются внутрисердечными механизмами. Полная изоляция сердца, вероятно, приводит к высвобождению этих механизмов. В целом же организме они подвержены регулирующему воздействию нейрогуморальной системы [2].

E. N. Lerner, V. I. Bondarchuk

TEMPORARY ORGANIZATION OF AN ISOLATED HEART RHYTHM OF THE FROG

The statistical characteristics and latent biorhythms of the intervalograms of intact frogs and their isolated hearts were studied by an ACBT-M 6000 computational control machine by means of algorithms and programs devised. It was discovered that under complete isolation the cardiac output got decelerated and less regular with redistribution of its latent biorhythms.

A. N. Severtsov Institute of Evolutionary Morphology and Ecology of Animals, Academy of Sciences of the USSR, Moscow

1. Антропов В. И. Математическая модель регуляции искусственного сердца // Применение математических методов и ЭЦВМ в медико-биологических исследованиях. — Л., 1982. — Ч. 1. — С. 15.
2. Баевский Р. М., Бондарчук В. И., Чернышев М. К. Временная организация ритма сердца в эволюционном аспекте // Сравнительная электрокардиология. — Л.: Наука, 1981. — С. 204—206.
3. Баллюзек Ф. М. Программа управления искусственным сердцем // Вопр. кибернетики. — 1975. — Ч. 1, вып. 24. — С. 65—71.
4. Воскресенский А. Д., Вентцель М. Д. Статистический анализ сердечного ритма и показателей гемодинамики в физиологических исследованиях // Пробл. косм. биологии. — 1974. — 26. — С. 38—44.
5. Зикс В. С., Комкова О. А. Влияние температуры на частоту сокращений сердца травяной лягушки в различных экспериментальных условиях // Проблемы сравнительной электрокардиологии. — Сыктывкар, 1979. — С. 34.
6. Калантар В. А. Многоплановый анализ биологических процессов // Теоретические и прикладные аспекты временной организации биосистем. — М.: Наука, 1976. — С. 55—72.
7. Карпель Е. Г. Электрокардиологические показатели состояния изолированного сердца // Материалы 5 Всесоюз. конф. по пересадке органов и тканей. — Горький, 1970. — С. 440—441.
8. Клевцов В. А. Изменение электрокардиограммы собак после полной экстракардиальной денервации сердца // Проблемы сравнительной электрокардиологии. — Сыктывкар, 1979. — С. 171.
9. Косяцкий Г. И. Афферентные системы сердца. — М.: Наука, 1975. — 208 с.

10. Отнес Р., Эноксон Л. Конструкции цифровых фильтров // Прикладной анализ временных рядов.— М.: Мир, 1982.— С. 104—160.
11. Петровский Б. В., Шумаков В. И. Пути развития искусственного сердца в СССР // Материалы сов.-амер. симпоз. по пробл. искусств. сердца и вспомогат. кровообращения.— Тбилиси, 1979.— № 1.— С. 5—12.
12. Пирогова Г. В., Прилуцкий В. И., Меделяновский А. Н. и др. Приспособительные возможности сердца лягушки при изменениях частоты сокращений и уровня артериального и венозного давления // Проблемы сравнительной электрокардиологии.— Сыктывкар, 1979.— С. 143.
13. Сумин А. В., Соколов А. И., Иткин Г. П. и др. Автоматическое управление искусственным сердцем с автономным источником энергии // Мед. техника.— 1980.— № 2.— С. 44—48.

Ин-т эволюц. морфологии и экологии животных
им. А. Н. Северцова АН СССР, Москва

Поступила 05.06.84

УДК 612.32:616.33

С. Д. Гройсман, Т. А. Хоменко, С. С. Швыдченко, С. И. Швыдченко
НОВЫЕ ДАННЫЕ О РЕТРОДИФФУЗИИ ИОНОВ ВОДОРОДА
В СЛИЗИСТОЙ ОБОЛОЧКЕ АНТРАЛЬНОГО ОТДЕЛА
ЖЕЛУДКА СОБАКИ

Проблема ретродиффузии ионов водорода в слизистую оболочку желудка имеет большое значение, так как, с одной стороны, с ней связана одна из двух главных теорий механизма желудочной секреции — теория Теоррля [16], с другой — ей придается важное значение в патологии гастрита и язвы желудка.

Вместе с тем, несмотря на относительно длительную историю исследования данного вопроса и внимание, которое ему уделяется, до настоящего времени нет, во-первых, единого мнения даже о таком фундаментальном факте, как само существование этого феномена в норме [3, 7, 17]. Такое положение объясняется тем, что прямое доказательство ретродиффузии ионов водорода представляет большие трудности. Основной факт, из которого исходят сторонники теории ретродиффузии, — это повышение pH раствора соляной кислоты, вводимого в полость желудка. Однако точный анализ получаемых результатов усложняется тем, что на изменение pH в испытуемом растворе, кроме ретродиффузии, влияют также секреция соляной кислоты слизистой оболочки желудка, нейтрализация и разбавление кислоты желудочной слизью и щелочным компонентом желудочного сока.

Во-вторых, у сторонников ретродиффузии нет ясности в том, куда деваются ионы водорода, которые проникают в слизистую оболочку желудка. Одни авторы считают, что эти ионы водорода могут проходить через слизистую оболочку и, достигая кровеносного русла, нейтрализоваться благодаря большому щелочному резервуу крови [1]; по мнению других, эти ионы, попадая в структуры слизистой оболочки, вызывают некроз клеточных элементов [9] или окклюзию капилляров [7, 13], т. е. выступают как серьезный патогенный фактор. Исследуя механизм перехода краски нейтральрот из кровеносного русла в полость желудка, мы обнаружили, что этот переход в покоящемся желудке начинается при pH желудочного содержимого не выше 2,5 [2]. Если исходить из теории полупроницаемых мембран Рубинштейна [6], следует, что переход краски должен начинаться при pH 7.

Для объяснения наблюдавшегося феномена мы высказали предположение, что Д. Л. Рубинштейн, создавая свою теорию на основе экспериментов, проводившихся на коже лягушки, не учитывал того, что в реальных условиях вещества, по физико-химическим свойствам подобные краске нейтральрот, находятся в крови связанными с белками крови [15]. При наличии в желудке раствора кислоты с pH не выше 2,5

ретродиффузия ионо-проводятся изменениями в прочной химической структуре, это предположение подтверждается наличием рентгенологической достоверности.

Исследования проводились на собаках. Для этого использовались оральные перистальтические насосы с маленькими фистулами со склеритом, выделяющимся из дистальной части насоса. Анализу подвергали растворы, полученные из отдела перфузии раствором нейтральрота. Кроме того, определяли концентрацию водородных ионов в концентрации 42 (кувета № 3, светофильтр 83,5 см) и в концентрации 45,2 (кувета № 2, светофильтр 2,4).

Показатель pH перфузии является отрицательным, он не может подвергаться изменениям в концентрации, так как это приводит к среднему результату вно-

Концентрацию краски определяли по показателю экстинкции, 42 (кувета № 3, светофильтр 83,5 см) и 45,2 (кувета № 2, светофильтр 2,4). Исходная концентрация краски.

Перфузию антракаланом проводили на фоне действия иназидрина или серотонина.

Опыты первой серии показали, что в желудочном содержимом полученные результаты отличаются от тех, что были получены на начале перфузии, т. е. на фоне отсутствия краски.

Было установлено, что при pH 4 и 3,5 в растворе HCl pH 4 и 3,5, а также при pH 6,5. Нейтрализация краски происходит в растворе pH 2,4. Раствор кислоты pH 2,4. Раствор кислоты pH 2,4. Такой pH раствора определяется факторами, увеличивающими его концентрацию, а именно раствору pH 2,4 (нейтрализацию краски нейтральрот), по сравнению с краской pH 4,5,2% (рис. 1).

С увеличением концентрации краски при исходном уровне она не меняется в пределах 45,2%. Увеличение концентрации краски в растворе pH 2,4, достигая значений 45,2%, не изменяет концентрацию желудочного содержимого, что позволяет отделению гастроинтестинального отдела гастроинтестинального отдела.

«Физиол. журн.», 1986, т. 32, № 2

тров // Прикладной анализ временного сердца в СССР // Сердца и вспомогат. кровообращение. А. Н. и др. Приспособительные оты сокращений и уровня артериальной электрокардиологии.—

матическое управление искусственным сердцем. — Мед. техника.— № 2.—

Поступила 05.06.84

ченко, С. И. Швыдченко
ИОНОВ ВОДОРОДА
ЛЬНОГО ОТДЕЛА

да в слизистую оболочку одной стороны, с ней связана желудочная секреция — важное значение в пато-

длительную историю исто-
рое ему уделяется, до-
инения даже о таком фун-
не этого феномена в норме
что прямое доказательство
яет большие трудности.
ники теории ретродиффу-
кислоты, вводимого в по-
лемых результатов услож-
ром растворе, кроме ретро-
нислоты слизистой оболоч-
кислоты желудочной слизью

нет ясности в том, куда
в слизистую оболочку
водорода могут прохо-
кровеносного русла, нейт-
ту резерву крови [1]; по-
ры слизистой оболочки,
ти окклюзию капилляров
енный фактор. Исследуя
ровеносного русла в по-
ход в покоящемся же-
кислоты не выше 2,5 [2].
ембран Рубинштейна [6],
я при pH 7.
мы высказали предполо-
теорию на основе экспе-
не учитывал того, что в
ческим свойствам подоб-
язанными с белками кро-
кислоты с pH не выше 2,5

ретродиффузия ионов водорода и переход их в кровеносное русло со-
провождаются изменением щелочного резерва крови и нарушением не-
прочной химической связи молекул краски с белками крови. Однако
это предположение нуждается в дополнительных фактах, подтверждаю-
щих как наличие ретродиффузии ионов водорода в норме, так и веро-
ятность достижения протонами кровеносного русла.

Методика

Исследования проводили на 4 собаках, у которых на желудок были наложены две фистулы: одна — на границе между фундальным и антральным отделами, вторая — на расстоянии 1 см оральнее пилорического сфинктера. Во время эксперимента с помощью перистальтического насоса осуществляли подачу тестируемого раствора через прокси-
мальную фистулу со скоростью 1,8 мл/мин с непрерывным дренированием перфузата, выделяющегося из дистальной фистулы. Длительность эксперимента составляла 4 ч. Анализу подвергали порции перфузата, выделяющиеся каждые 15 мин. Антральный отдел перфузировали растворами HCl (pH 4,3 и 2), приготовленными на физиологическом растворе. Кроме того, в эти растворы добавляли невасасывающийся краситель фенолрот. По сдвигу концентрации фенолрота в перфузате по сравнению с исходным раствором судили о его разбавлении секретом антрального отдела.

Показатель pH перфузата определяли на pH-метре модели 340. Ввиду того, что он является отрицательной логарифмической функцией концентрации ионов водорода и не может подвергаться обычной статистической обработке, полученные данные переводили в концентрацию ионов водорода в растворе (моль в 1 л) и только затем рассчи-
тывали среднее значение и квадратичное отклонение. В случае необходимости по суммарным результатам вновь рассчитывали усредненное значение pH перфузата.

Концентрацию краски фенолрот в исходном растворе и перфузате определяли по показателю экстинкции, получаемому на фотоэлектролориметре модели ФЭК 56 МУ 42 (кувета № 3, светофильтр № 6). Перед измерением пробы центрифугировали при частоте вращения 83,5 с⁻¹ в течение 20 мин. В кювету заливали надосадочную жидкость. Исходная концентрация фенолрота составляла 9,0 мкг/мл.

Перфузию антрального отдела осуществляли с помощью растворов HCl pH 4, 3 и 2; pH 2 на фоне действия метацина (дозы 0,025; 0,05; 0,15; 0,20 и 0,30 мл/кг); pH 2 на фоне совместного действия метацина (доза 0,15 мг/кг) и папаверина (4 мг/кг), изадрина или серотонина (по 0,5 мг/кг) соответственно.

Результаты

Опыты первой серии экспериментов начинали при щелочной реакции желудочного содержимого, выделяющегося из желудка. Представленные результаты отражают pH проб перфузата через 30—45 мин после начала перфузии, т. е. после смыва содержимого антрального отдела и на фоне относительной стабилизации диффузионных процессов.

Было установлено, что при перфузии антрального отдела растворами HCl pH 4 и 3 реакция дренируемого раствора не опускалась ниже 6,5. Нейтрализация раствора HCl pH 1,6 доходила только до pH 2,2—2,4. Раствор кислоты pH 2 нейтрализовался до значений pH 5,4—5,8. Такой pH раствора способствовал выявлению результатов действия факторов, увеличивающих и понижающих уровень ретродиффузии. Поэтому раствор pH 2 был избран в качестве исходного при изучении влияния метацина и сосудистоактивных веществ. Концентрация краски (фенолрот), по сравнению с исходной, в последнем случае уменьшалась на 45,2% (рис. 1).

С увеличением длительности перфузии до 2—3 ч pH перфузата при исходном уровне pH вводимого раствора 2 не изменялся, т. е. оставался в пределах 5,4; при исходном уровне pH растворов 3 и 4 реакция дренируемого раствора со временем обычно начинала понижаться, достигая значений 3 и даже 2. Это, вероятно, было следствием секреции желудочного сока, стимулированной освобождавшимся в антральном отделе гастрином. Перфузионный раствор pH 2, как известно, тормозит отделение гастрина.

Подкожное введение собакам 0,025 мг/кг метацина в большинстве случаев сопровождалось появлением в перфузате желчи. Это могло быть проявлением холиномиметической реакции, вызываемой сверхнизкими дозами *M*-холинолитиков [4]. Наличие в перфузате желчи делало невозможным выявление влияния указанной дозы метацина на ощелачивание перфузата внутрижелудочными факторами и на интенсивность антравальной секреции.

Введение собакам 0,05 мг/кг метацина сопровождалось по сравнению с фоновыми экспериментами увеличением концентрации ионов водорода в дренируемом растворе в 1,6 раза, 0,15 мг/кг — в 4,5 раза, а

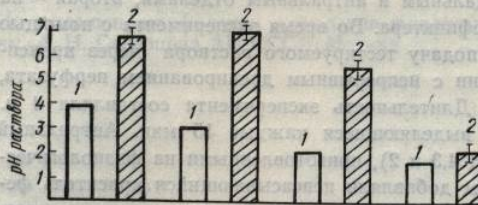


Рис. 1. Зависимость pH перфузата, выделяющегося из антравальной фистулы от pH вводимого в желудок раствора:
1 — исходное значение pH перфузата; 2 — pH опытной пробы (представлены усредненные данные, полученные на 4 животных).

0,3 мг/кг — ее понижением (по сравнению с последней) в 2,6 раза (рис. 2). Концентрация краски фенолрот в перфузате при тех же дозах метацина составляла 70, 95 и 80 % исходной. Все приведенные показатели соответствовали периоду максимального действия метацина, при-

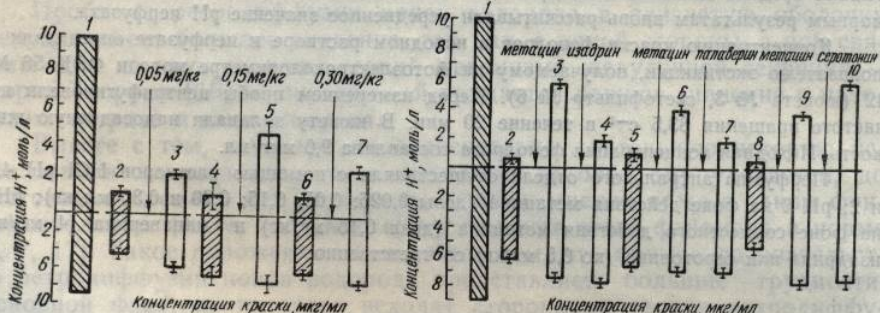


Рис. 2. Влияние метацина на концентрацию водородных ионов (моль/л) и краски фенолрот (мкг/мл) в перфузате, выделяющемся из антравальной фистулы:
1 — параметры исходного раствора; 2—7 — параметры перфузата на выходе из антравальной фистулы перед введением метацина.

Рис. 3. Влияние изадрина (0,5 мг/кг), папаверина (4,0 мкг/кг) и краски фенолрот в перфузате, выделяющемся из антравальной фистулы у животных, которым был введен метацин (0,15 мг/кг):

1 — параметры исходного раствора; 2—10 — параметры перфузата на выходе из антравальной фистулы перед введением метацина и вазоактивных лекарственных средств.

ходившемуся на второй 15-минутный сбор перфузата после введения холинолитика. Несмотря на то, что применявшимся дозы метацина по результату их влияния на ощелачивание и разбавление красителя существенно различались, длительность действия 0,05 и 0,3 мг/кг метацина была приблизительно одинаковой и составляла 60—90 мин.

Использование веществ, обладающих вазоактивным действием, в качестве фона опытов, в которых желудок перфузировали раствором HCl pH 2 и вводили 0,15 мг/кг метацина, способствовало обеспечению относительно стабильного ощелачивания перфузата в антравальном отделе и практически полностью исключало возможность опосредованного влияния испытуемых веществ, в частности на секрецию соляной кислоты и слизи. При этом было обнаружено, что подкожное введение изадрина (0,5 мг/кг) и папаверина (4 мг/кг) понижало концентрацию ионов водорода в перфузате в 2,7 и 1,6—2 раза соответственно; серотонина (0,5 мг/кг), напротив, повышало в 1,3—1,5 раза. Все эти изме-

нения концентрации химически достоверны (ляла около 90, папани одно из испытывавшие краски фе-

Как свидетельство происходит существование кислого содер- лудка фенолрот почти разбавляющего и о дела. Линар [5] при дочного содержимого лочки двенадцатиперстного кишечника.

Блокада секреторной функции сопровождалась ростом и повышением в ночных опыта намала раствор краски с 94 % исходной, мы случаев блокадой *in vivo* не удается полностью. Поэтому для снижение в антравальном отделе или в этом отделе концентрации ионов водорода, необъяснимо.

Согласно полученным данным (0,05 мг/кг) концентрация ионов водорода на выходе из антравального отдела одновременно в первые 1,15×10⁻³ до 4,359×10⁻³ пропонов к изменению концентрации 1,15×10⁻³ : (7,933×10⁻³) — рота в перфузате на от исходной концентрации (9 мкг/мл на 1,067 мкг/мл) в выходном растворе pH (4,359×10⁻³ моль/л) этого значения к 1,067 мкг/мл) составления по сравнению с исходным концентрацией позволяет предположить сдвиг pH перфузата, вызывающему действию того, теоретическим образом одно из основных по- го компонентов желудка — Холлантера о по- метацином свидетельствуясь в естественных опытах, в которых изадрина и папаверина) — живящих (в частности перфузата без изменения концентрации реализуется через

изменению концен- трации, позволяющее предположить сдвиг pH перфузата, вызывающий действию того, теоретическим образом одно из основных по- го компонентов желудка — Холлантера о по- метацином свидетельствуясь в естественных опытах, в которых изадрина и папаверина) — живящих (в частности перфузата без изменения концентрации реализуется через

изменению концен- трации, позволяющее предположить сдвиг pH перфузата, вызывающий действию того, теоретическим образом одно из основных по- го компонентов желудка — Холлантера о по- метацином свидетельствуясь в естественных опытах, в которых изадрина и папаверина) — живящих (в частности перфузата без изменения концентрации реализуется через

и метацина в большинстве разделяется желчи. Это могло вызвать сверхнизкую концентрацию краски фенолрота в перфузате желчи, делая дозы метацина на ощелачиванием и на интенсивность

сопровождалось по сравнению с концентрацией ионов водорода 0,15 мг/кг — в 4,5 раза, а

1. Зависимость pH перфузата, выделяющегося из антравальной фистулы, от pH вводимого в желудок раствора:

исходное значение pH перфузата; 2 — концентрация краски фенолрота в перфузате при тех же дозах, полученные на 4 животных.

с последней) в 2,6 раза перфузате при тех же дозах. Все приведенные показания действия метацина, при-



ионов (моль/л) и краски фенолрота в антравальной фистуле:

на выходе из антравальной фистулы

и краски фенолрота в первых, которым был введен ме-

та на выходе из антравальной фистулы

перфузата после введения шицеси дозы метацина по разбавление красителя су- я 0,05 и 0,3 мг/кг мета- давляла 60—90 мин.

активным действием, в перфузировали раствором собствовало обеспечению перфузата в антравальном от- боянность опосредованного секрецию соляной кис- поджогное введение изапонило концентрацию из соответственно; серо- 1,5 раза. Все эти изме-

нения концентрации кислоты в антравальном перфузате были статистически достоверны ($P < 0,05$). Длительность эффекта изадрина составляла около 90, папаверина — 15, серотонина — 45 мин. В то же время ни одно из испытывавшихся сосудорасширяющих веществ не влияло на разбавление краски фенолрот (рис. 3).

Обсуждение

Как свидетельствуют представленные данные, в антравальном отделе происходит существенное ощелачивание поступающего из тела желудка кислого содержимого. Понижение исходной концентрации краски фенолрот почти в 2 раза указывает на существенную роль в этом разбавляющего и ощелачивающего действия секреции антравального отдела. Линар [5] придает важное значение ощелачиванию кислого желудочного содержимого в антравальном отделе в защите слизистой оболочки двенадцатиперстной кишки от агрессивного желудочного содержимого.

Блокада секреторной функции желудка большими дозами метацина сопровождалась резким уменьшением разбавления краски фенолрот и повышением кислотности перфузата. Несмотря на то, что в одиночных опытах нам удавалось получить на выходе из антравального отдела раствор краски фенолрот, концентрация которого составляла более 94% исходной, мы все же можем констатировать, что в большинстве случаев блокадой холинорецепторов слизистой оболочки желудка *in vivo* не удается получить полного угнетения секреции антравального отдела. Поэтому для того, чтобы утверждать, происходит ли ощелачивание в антравальном отделе за счет одного разбавления щелочным секретом или в этом процессе принимает участие также ретродиффузия ионов водорода, необходимы экстраполяционные расчеты.

Согласно полученным данным, под влиянием метацина (доза 0,15 мг/кг) концентрация краски фенолрот в перфузационном растворе на выходе из антравального отдела увеличилась с 6,900 до 7,933 мкг/мл. Одновременно в перфузате повышалась концентрация протонов с $1,155 \times 10^{-3}$ до $4,359 \times 10^{-3}$ моль/л. Отношение изменения концентрации протонов к изменению концентрации краски составляло $(4,359 \times 10^{-3} - 1,155 \times 10^{-3}) : (7,933 - 6,900 \text{ мкг/мл}) = 3,1 \times 10^{-3}$. Концентрация фенолрота в перфузате на фоне действия метацина (7,933 мкг/мл) отличается от исходной концентрации раствора, вводимого в антравальный отдел (9 мкг/мл на 1,067 мкг/мл). Соответственно концентрация протонов в исходном растворе pH 2 (10×10^{-3} моль/л) и дренируемом перфузате ($4,359 \times 10^{-3}$ моль/л) различаются на $5,641 \times 10^{-3}$ моль/л. Отношение этого значения к значению сдвига концентрации фенолрот (к 1,067 мкг/мл) составляет 53×10^{-3} . Существенное превышение этого отношения по сравнению с отношением изменения концентрации протонов к изменению концентрации краски, вызванному метацином ($P < 0,05$), позволяет предположить, что остающийся на фоне действия метацина сдвиг pH перфузата нельзя целиком свести к разбавляющему и ощелачивающему действию остаточной секреции в антравальном отделе. Кроме того, теоретическим основанием проведенной экстраполяции является одно из основных положений двухкомпонентной теории секреции Павлова—Холландера о постоянстве химического состава кислого и щелочного компонентов желудочного сока. Следовательно, результаты опытов с метацином свидетельствуют в пользу ретродиффузии при значении pH, встречающемся в естественных условиях. Об этом же говорят результаты опытов, в которых с помощью сосудорасширяющих веществ (изадрина и папаверина) было получено усиление, а с помощью сосудосуживающих (в частности серотонина) — уменьшение щелочного сдвига перфузата без изменения концентрации краски фенолрот.

Однотипность эффектов двух сосудорасширяющих веществ, различающихся по механизму действия, свидетельствует о том, что их влияние реализуется через изменение кровотока, а не через какое-то неспе-

цифическое воздействие на проницаемость клеточных мембран. В литературе есть подтверждение того, что фармакологическое усиление или угнетение кровотока в слизистой оболочке желудка у крыс и собак увеличивает или уменьшает соответственно ретродиффузию ионов водорода [8, 12, 13].

Вопрос о том, как влияют холиноблокаторы на кровоток в слизистой оболочке желудка — предмет длительной и еще не завершенной дискуссии [11]. Все же большинство исследователей склоняется к тому, что в условиях исходно неактивной слизистой желудка холиноблокаторы не влияют на ее кровоток. Поэтому мы можем принять, что до введения сосудорасширяющих веществ слизистая оболочка желудка в наших экспериментах получала нормальное количество крови и оба сосудорасширяющих средства давали гиперволюметрический эффект. В связи с этим наблюдавшееся усиление ощелачивания перфузационного раствора соляной кислоты трудно рассматривать как проявление нормализации кровоснабжения ранее ишемизированной слизистой оболочки, т. е. как следствие усиления активного процесса. Мы представляем, что происходит чисто физическая диффузия ионов водорода, которые (хотя бы частично) попадают в кровеносное русло. Увеличение и уменьшение кровотока, как это следует из энтропийных отношений, должны увеличивать или уменьшать (соответственно) переход ионов водорода, а значит — изменять меру ощелачивания раствора кислоты. Возвращаясь к высказанному ранее предположению о том, почему краска нейтральрот переходит в полость желудка при наличии в нем раствора кислоты pH не выше 2,5, мы можем сделать вывод, что представленные в работе факты свидетельствуют в пользу возможного перехода ионов водорода из полости желудка в кровеносное русло — причины, способствующей освобождению красителя от связи с белками крови.

Вероятно, пределы ретродиффузии ионов водорода как естественного процесса ограничены и при выходе за них не исключено, что ретродиффузия может стать причиной деструктивных явлений в слизистой оболочке. Однако в тех случаях, когда рассматриваются условия при которых ретродиффузия ионов водорода усиливается (например, действие на слизистую оболочку желчных кислот, аспирина и алкоголя) и когда ретродиффузия трактуется как причина деструктивных явлений, нельзя исключить и другое объяснение наблюдавшихся фактов — усиление ретродиффузии протонов есть следствие поражения слизистой оболочки, облегчающей процесс физической диффузии, т. е. вхождение ионов водорода в слизистую оболочку является не причиной, а следствием ее поражения. В пользу этого предположения говорит то, что первичное поражение слизистой оболочки желудка могут вызвать как фармакологические факторы [10], так и шок [12] без изменения уровня ретродиффузии ионов водорода.

Выводы

1. При перфузии антрального отдела желудка собаки растворами соляной кислоты pH 4 и 3 (скорость перфузии — 1,8 мл/мин) происходит практически полная нейтрализация этих растворов; раствор pH 2 ощелачивается до pH 5,5.

2. Блокады M -холинорецепторов большими дозами метацина (0,15—0,3 мг/кг) вызывает глубокое, но не полное угнетение секреторных процессов в слизистой оболочке антрального отдела и увеличение в 2,6—4,5 раза концентрации ионов водорода в перфузате, дренируемом из антральной фистулы.

3. Экстраполяционное сопоставление вызываемых метацином сдвигов кислотности и разбавления антрального перфузата указывает на то, что повышение pH перфузата нельзя целиком свести к ощелачивающему действию антрального желудочного сока. Таким образом, в желудке при физиологическом уровне внутривеностного pH должна происходить ретродиффузия ионов водорода в слизистую оболочку желудка.

4. Фармакологией оболочки желудка кислоты в антропотонин, который у этих данных свидетельствует в слизистую оболочку, причем протоны час-

S. D. Groisman, T. A.

NEW DATA ON THE MUCOUS MEMBRANE IN THE MUCOUS M

It was shown in the present work that the mucous membrane of the stomach part with HCl solutions neutralized almost completely. The neutralized almost half of metacaine (0.3 mg/kg) could not be accounted for by the increase in blood flow in gastric mucosa. This confirms such a stand point and the protons can reach

Institute of Physiology of the National Academy of Sciences of Ukraine

1. Бабкин Б. П. Секреторные процессы в желудке. М.: Гл. мед. книж. изд-во, 1977. с.
2. Гроисман С. Д., Хомяков А. А. О влиянии метацина на кровоток в слизистой оболочке желудка. Журн. физиологии и экспериментальной биологии. 1981.—97, № 4.—С. 5.
3. Дьяброва П. Е. О синтезе метацина. Журн. физиологии и экспериментальной биологии. 1958.—44, № 5.—С. 4.
4. Иващенко В. Т. Метаболизм метацина. Журн. физиологии и экспериментальной биологии. 1974.—214 с.
5. Линар Е. Ю. Подходы к изучению гастрической секреции. Журн. физиологии и экспериментальной биологии. 1976.—Ч. I.—С. 257—264.
6. Рубинштейн Д. Л. Образование метацина в желудке. Журн. физиологии и экспериментальной биологии. 1970.—П. 42.
8. Fromm D. Drug induced changes in the blood flow in the mucosa of the rat stomach // Stratton, 1970.—P. 199—208.
9. Grossman M. I. Controlling the blood flow in the mucosa of the rat stomach // Slesinger, J. S. 1978.—P. 640—659.
10. Ivey K. J. Invited communication. World J. Surg.—1981.
11. Jacobson E. D. The circulatory response to acid secretion. P. 85—109.
12. Merseran W. A., Hindmarsh R. C. Effect of hydrogen ion back diffusion on blood flow in the rat stomach. J. Physiol. 1983, N 3.—P. 248—251.
13. Moody F. C., McGreevy J. P. Effect of acid on blood flow in experimenter. J. Physiol. 1984, N 355.—P. 35—42.
14. Olbe L. Gastroduodenal and duodenal blood flow. In: Gastroduodenal and duodenal blood flow. Eds. L. Olbe and G. W. Davenport. Stratton, 1977.—P. 77—112.
15. Singer M. Factor which stimulates the blood flow in the rat stomach. J. Physiol. 1970, N 207.—P. 111—112.
16. Teorell T. Untersuchungen über die Blutversorgung des Magens. Scand. J. Physiol. 1933.—66, N 2.—S. 22—25.
17. Thjodleifsson B., Worsaae K. Blood flow in the rat stomach. Scand. J. Physiol. 1955, N 1.—P. 53—72.

Институт физиологии НАНУ

клеточных мембран. В литеакологическое усиление или келудка у крыс и собак увеличение диффузии ионов водорода на кровоток в слизистой и еще не завершенной дователей склоняется к тонизированной желудка холиноблокаторы можем принять, что доисторическая оболочка желудка в количестве крови и оба социометрический эффект. В делачивания перфузационного явления как проявление нормализации слизистой оболочки процесса. Мы представляем, что ионов водорода, которые в русло. Увеличение и уменьшение отношений, должно) переход ионов водорода раствора кислоты. Возможности о том, почему краска при наличии в нем растворять вывод, что представляемому возможному переходу веносное русло — причины, от связи с белками крови. О водорода как естественных не исключено, что ретивых явлений в слизистой сматриваются условия при иливается (например, дейст. аспирина и алкоголя) и на деструктивных явлений, людящихся фактов — усиление поражения слизистой диффузии, т. е. вхождение является не причиной, а следование говорит то, что келудка могут вызвать как [12] без изменения уровня

желудка собаки растворами (1—1,8 мл/мин) происходит в растворах; раствор pH 2 ощущениями дозами метацина полное угнетение секреторного отдела и увеличение в перфузате, дренируемых метацином сдвигом перфузата указывает на ником свести к ощелачиванию. Таким образом, в желудка pH должна пропустить слизистую оболочку же-

4. Фармакологические факторы, усиливающие кровоток в слизистой оболочке желудка (папаверин и изадрин), повышают ощелачивание кислоты в антральном отделе; противоположный эффект дает серотонин, который угнетает кровоток в слизистой оболочке желудка. Эти данные свидетельствуют в пользу того, что переход ионов водорода в слизистую оболочку желудка — обычный диффузионный процесс, причем протоны частично достигают кровеносного русла.

S. D. Groisman, T. A. Khomenko, S. S. Shvydchenko, S. I. Shvydchenko

NEW DATA ON THE RETRODIFFUSION OF HYDROGEN IONS IN THE MUCOUS MEMBRANE OF THE ANTRAL PART IN DOG STOMACH

It was shown in chronic experiments on dogs that during perfusion of the antral part with HCl solutions (pH 2-4; the perfusion — 1.8 ml/min) the last two solutions were neutralized almost completely and pH of the first solution increased to 3. The initial solutions were almost half diluted by the juice from the antral part of stomach. Injection of metacine (0.3 mg/kg) increased acidity of the perfusate and decreased its dilution, that could not be accounted for only the residual secretion effect. Stimulation of the blood flow in gastric mucosa increases alkalinization and its inhibition decreases it. These data confirm such a standpoint that retrodiffusion of hydrogen ions is a normal phenomenon and the protons can reach the mucosa blood vessels.

Institute of Physiology of the University, Kiev

1. Бабкин Б. П. Секреторный механизм пищеварительных желез.— Л.: Медгиз, 1960.— 777 с.
2. Гроисман С. Д., Хоменко Т. А., Шишова С. В. Механизмы транспорта нейтральрот через слизистую оболочку желудочно-кишечного тракта // Физiol. журн. СССР.— 1981.— 97, № 4.— С. 578—585.
3. Дьялова П. Е. О синергизме антропина и антихолинэстеразных средств // Там же.— 1958.— 44, № 5.— С. 491—495.
4. Ивашин В. Т. Метаболическая организация функций желудка.— Л.: Наука, 1981.— 214 с.
5. Линар Е. Ю. Подход к оценке динамики изменения внутрижелудочного pH // Актуальные вопросы гастроэнтерологии и сердечно-сосудистой хирургии.— Таллин.— 1976.— Ч. 1.— С. 257—262.
6. Рубинштейн Д. Л. Общая физиология.— М.: Медгиз, 1947.— 647 с.
7. Davenport H. W. Back diffusion of acid through the gastric mucosa and its physiological consequences // Progress in gastroenterology. Vol. 2.— New York: Grune and Stratton, 1970.— P. 42—56.
8. Fromm D. Drug induced gastric mucosal injury // World J. Surg.— 1981.— 5, N 2.— P. 199—208.
9. Grossman M. I. Control of gastric secretion // Gastrointestinal disease / Eds by M. R. Slesinger, J. S. Fordtran, F. I. Ingelfinger.— Philadelphia etc.: Saunders Co., 1978.— P. 640—659.
10. Ivey K. J. Invited commentary: Fromm D. Drug induced gastric mucosal injury // World J. Surg.— 1981.— 5, N 2.— P. 199—208.
11. Jacobson E. D. The circulation of the stomach // Gastroenterology.— 1965.— 48, N 1.— P. 85—109.
12. Merseran W. A., Hinckley E. J. Interactions of gastric blood flow, barrier breaker and hydrogen ion back diffusion during ulcer formation in the rat // Surgery.— 1978.— 83, N 3.— P. 248—251.
13. Moody F. C., McGreevy J., Zalewsky C. et al. The cytoprotective effect of mucosal blood flow in experimental erosive gastritis // Acta physiol. scand.— 1978.— 103, spec. suppl.— P. 35—43.
14. Olbe L. Gastrooduodenal physiology and pathophysiology // Surgery of the stomach and duodenum / Eds by L. M. Nyhus, C. Wastell.— Boston: Little Brown and Co.,— 1977.— P. 77—112.
15. Singer M. Factor which controls the staining of tissue secretions with acid and basic dyes // Internat. Rev. Cytol.— 1952.— N 1.— P. 211—255.
16. Teorell T. Untersuchungen über die Magensaftsekretion // Skand. Arch. Physiol.— 1933.— 66, N 2.— S. 225—317.
17. Thjodleifsson B., Wormsley K. G. Back-diffusion fact or fiction. // Digestion.— 1977.— 15, N 1.— P. 53—72.

Ин-т физиологии Киев. ун-та

Поступила 11.11.84

В. П. Загороднюк, Э. В. Вовк, Б. Д. Черпак, М. Ф. Шуба

ИССЛЕДОВАНИЕ СИНАПТИЧЕСКИХ ПОТЕНЦИАЛОВ В ГЛАДКИХ МЫШЦАХ ТОНКОГО КИШЕЧНИКА ЧЕЛОВЕКА

В связи с тем, что большинство заболеваний желудочно-кишечного тракта человека обусловлено нарушениями, прежде всего, его нервной регуляции, изучение синаптических процессов в гладких мышцах (ГМ) кишечника человека имеет большое значение для практической медицины. Однако основные исследования в этой области, как правило, ведутся на ГМ желудочно-кишечного тракта экспериментальных животных. Известно, что электрические проявления деятельности ГМ пищеварительного тракта животных, его нервная регуляция имеют видоспецифические особенности, поэтому перенесение результатов этих работ на ГМ человека представляется некорректным. До настоящего времени изучение синаптических потенциалов в ГМ тонкого кишечника человека не проводилось. В данной работе исследовали синаптические потенциалы ГМ продольного и кольцевого слоев тонкой кишки человека.

Методика

Исследования проводили с помощью модифицированного метода одинарного сахарозного мостика [1] на изолированных полосках ГМ начального отдела тощей кишки и дистального отдела подвздошной, взятых при операциях (28 человек) по поводу заболеваний поджелудочной железы (панкреато-дуodenальной резекции) или неспецифического язвенного колита. В опыт брали визуально нормальные мышечные полоски. Синаптические потенциалы вызывали раздражением интрамуральных нервных образований ГМ прямоугольными импульсами электрического тока длительностью 0,5—1 мс.

Результаты и их обсуждение

При одиночном интрамуральном раздражении мышечной полоски кольцевого слоя тонкого кишечника человека всегда генерируется тормозящий синаптический потенциал (ТСП), амплитуда которого растет с увеличением силы раздражения. В ответ на супрамаксимальное раздражение амплитуда ТСП достигает 7—15 мВ, латентный период составляет 0,15—0,25 с, общая продолжительность — 1,2—2,3 с, время достижения максимума и спада соответственно 0,4—0,8 с и 0,8—1,5 с (рис. 1, а). Кроме того, в ответ на супрамаксимальный стимул после ТСП в спонтанно активных мышечных полосках развивается посттормозное возбуждение в виде медленной следовой волны деполяризации, потенциал действия (ПД) которой вызывает сокращение ГМ. Во время ТСП генерация ПД и сокращения спонтанно активной мышечной полоски тормозится. ТСП не вызывает расслабления молчащих ГМ (рис. 1, б). При интрамуральном раздражении на ТСП может оказывать влияние активация других двигательных нервных волокон, находящихся в толще мышечной полоски. Введение атропина (*M*-холиноблокатора; 10^{-6} моль/л) в раствор Кребса в большинстве случаев не изменяет амплитуду ТСП, что может свидетельствовать о небольшой плотности холинергической иннервации кольцевых мышц, маскируемой, вероятно, мощной тормозящей иннервацией. Кроме того, атропин не оказывает влияние на посттормозное возбуждение, которое, очевидно, аналогично нехолинергическому возбуждению ГМ тонкого кишечника морской свинки [4]. ТСП были устойчивы также к действию α - и β -адреноблокаторов—фентоламина и индерала (концентрации $3,1 \times 10^{-6}$ и $3,4 \times 10^{-6}$ моль/л соответственно), что говорит об их неадренергической природе.

Таким образом, отсутствие заметных изменений в синаптической передаче под влиянием атропина, фентоламина и индерала свидетельствует о том, что ГМ находятся под преимущественно холинергической регуляцией.

Находятся под преимущественно холинергической регуляцией. Эти данные со временем были получены на ГМ, использовавшими методом миографии. Недавно [4] на ГМ было показано, что в

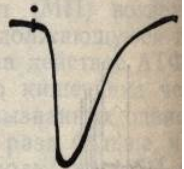


Рис. 1. Неадренергические Т

a — ТСП в ответ на одиночное раздражение на ГМ; *b* — ТСП и посттормозное возбуждение в ответ на раздражение с ПД, вызывающим сокращение ГМ. Здесь и далее

дующие два компонента (последний — наиболее выраженный) в ответ на одиночное раздражение на ГМ. Наиболее выраженный компонент — это посттормозное возбуждение в виде медленной следовой волны деполяризации, потенциал действия (ПД) которой вызывает сокращение ГМ. Во время ТСП генерация ПД и сокращения спонтанно активной мышечной полоски тормозится. ТСП не вызывает расслабления молчащих ГМ (рис. 1, б).

При интрамуральном раздражении на ТСП может оказывать влияние активация других двигательных нервных волокон, находящихся в толще мышечной полоски. Введение атропина (*M*-холиноблокатора; 10^{-6} моль/л) в раствор Кребса в большинстве случаев не изменяет амплитуду ТСП, что может свидетельствовать о небольшой плотности холинергической иннервации кольцевых мышц, маскируемой, вероятно, мощной тормозящей иннервацией. Кроме того, атропин не оказывает влияние на посттормозное возбуждение, которое, очевидно, аналогично нехолинергическому возбуждению ГМ тонкого кишечника морской свинки [4]. ТСП были устойчивы также к действию α - и β -адреноблокаторов—фентоламина и индерала (концентрации $3,1 \times 10^{-6}$ и $3,4 \times 10^{-6}$ моль/л соответственно), что говорит об их неадренергической природе.

На ГМ кольцевого слоя тонкого кишечника морской свинки было п

оказано, что ГМ находятся под преимущественно холинергической регуляцией. Эти данные со временем были получены на ГМ, использовавшими методом миографии. Недавно [4] на ГМ было показано, что в

Черпак, М. Ф. Шуба

ИХ ПОТЕНЦИАЛОВ КИШЕЧНИКА ЧЕЛОВЕКА

жаний желудочно-кишечного и, прежде всего, его нервных процессов в гладких мышцах значение для практической в этой области, как правила тракта экспериментальных проявления деятельности ГМ нервная регуляция имеет перенесение результатов этих корректировок. До настоящего времени в ГМ тонкого кишечника исследовали синаптические зоны слоев тонкой кишки

нованного метода одинарного сахарочального отдела тощей кишки и их (28 человек) по поводу забоиной резекции или неспецифические мышечные полоски. Синаптические образования длительностью 0,5—1 мс.

дение

ажении мышечной полоски всегда генерируется тормозная амплитуда которого зависит на супрамаксимальное -15 мВ, латентный период длительность — 1,2—2,3 с, время между 0,4—0,8 с и 0,8—1,5 с. Максимальный стимул после сокращения развивается посттормозной волны деполяризации, сокращение ГМ. Во временно активной мышечной слабления молчащих ГМ и на ТСП может оказаться нервных волокон, нахождение атропина (*M*-холином). Кроме того, атропин не действует, которое, очевидно, на ГМ тонкого кишечника также к действию α - и β - (концентрации $3,1 \times 10^{-6}$ моль/л) об их неадренергиче-

менений в синаптической и индерала свиде-

тельствует о том, что ГМ кольцевого слоя тонкого кишечника человека находится под преимущественным влиянием тормозящих неадренергических нервных волокон, как это было показано и для ГМ кольцевого слоя тонкого кишечника морской свинки и пищевода опоссума [4, 6, 12, 13]. Эти данные согласуются также с результатами других авторов, полученными на ГМ дистального отдела тонкого кишечника человека, использовавшими методику регистрации сократительной активности мышечной полоски при интрамуральном раздражении [8].

Недавно [4] на ГМ желудочно-кишечного тракта морской свинки было показано, что в неадренергических ТСП можно выделить сле-

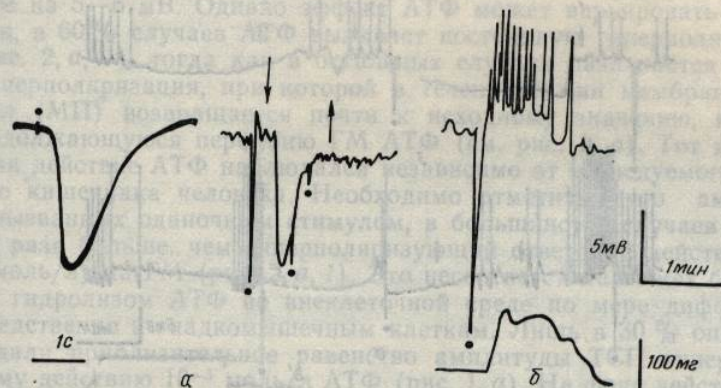


Рис. 1. Неадренергические ТСП и действие АТФ в ГМ кольцевого слоя тонкого кишечника человека:

а — ТСП в ответ на одиночное раздражение мышечной полоски начального отдела тощей кишки человека и эффект АТФ (10^{-3} моль/л); показан один и тот же ТСП, снятый при разной скорости развертки; б — ТСП и посттормозное возбуждение ГМ в виде медленной волны деполяризации с ПД, вызывающими сокращение мышечной полоски дистального отдела подвздошной кишки человека. Здесь и далее точкой обозначено одиночное интрамуральное раздражение, стрелками — начало и конец действия АТФ.

дующие два компонента: первый — быстрый и второй — медленный (последний — наиболее выражен в ГМ дистального отдела толстого кишечника морской свинки). В ГМ кольцевого слоя тонкого кишечника человека (начального отдела тощей кишки и дистального отдела подвздошной) в ответ на интрамуральное раздражение возникают однокомпонентные (быстрые) ТСП (см. рис. 1, а).

Известно, что апамин (нейротоксин пчелиного яда концентрацией 5×10^{-7} моль/л) полностью угнетает ТСП на протяжении всего желудочно-кишечного тракта морской свинки (кроме дистальных отделов толстого кишечника, где он угнетает первый компонент ТСП) [3, 4], блокируя при этом Ca^{2+} -зависимую K^+ -проводимость мембранны ГМ [5]. Вместе с тем апамин (концентрация 10^{-7} — 10^{-5} моль/л) не оказывала влияние на неадренергическое торможение в ГМ кольцевого слоя пищевода опоссума и шейки мочевого пузыря свиньи [13, 16]. Исследования, проведенные на 32 мышечных полосках кольцевого слоя тонкого кишечника человека, показали, что апамин (концентрация 5×10^{-7} моль/л) в среднем лишь на 40 % уменьшает амплитуду ТСП (рис. 2, а, 2). Увеличение концентрации апамина до 10^{-6} — 5×10^{-6} моль/л не угнетает, а лишь незначительно уменьшает дополнительную амплитуду ТСП в ГМ тонкого кишечника человека. Тот же апамин (5×10^{-7} моль/л), который использовался на ГМ человека, полностью угнетал ТСП в наших проверочных опытах на КМ кольцевого слоя тонкого кишечника и слепой кишки морской свинки.

На ГМ кольцевого слоя дистального отдела толстого кишечника морской свинки было показано, что после блокирования апамином первого компонента ТСП второй угнетается ионами тетраэтиламмония (TЭA^+) [4], которые, как показано на нейронах моллюсков, являются блокаторами потенциало- и Ca^{2+} -зависимых K^+ -каналов [15]. Следует отметить, что при действии на ГМ тонкого кишечника морской свинки

ионов ТЭА⁺ (10—15 моль/л) уменьшались неадренергические ТСП в среднем на 60 %, несмотря на деполяризацию и увеличение сопротивления мембранны ГМ [6]. В наших опытах добавление в раствор Кребса ионов ТЭА⁺ (6—10 моль/л) деполяризует мембрану ГМ кольцевого слоя тонкого кишечника человека в среднем на 3—4 мВ, увеличивает амплитуду ТСП, вызванных супрамаксимальным раздражением, на 40 % ($n=5$) (рис. 2, б). Увеличение концентрации ионов ТЭА⁺ до 15—20 моль/л наряду с указанными выше эффектами, как правило, вызывает интенсивную спайковую активность ГМ, сопровождающуюся уве-

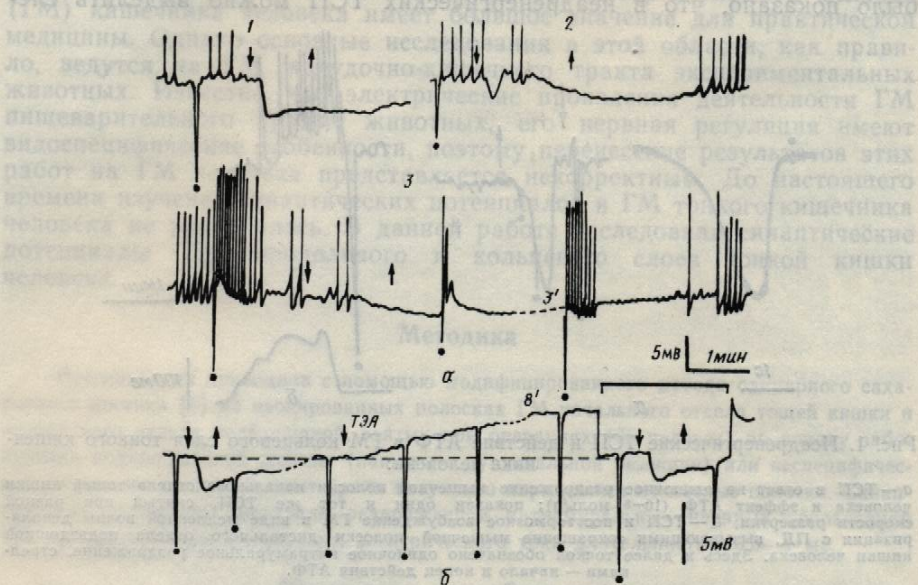


Рис. 2. Влияние апамина и ТЭА на ТСП и действие АТФ в ГМ кольцевого слоя тонкого кишечника человека:

а — ТСП и эффект АТФ (10^{-3} моль/л) в ГМ дистального отдела подвздошной кишки человека в растворе Кребса (1), на 35-й минуте действия 5×10^{-7} моль/л апамина (2), на 25-й минуте после добавления в раствор Кребса с апамином 20 моль/л ионов ТЭА⁺ (3' — третья минута после действия АТФ в этом растворе Кребса); б — эффект ТЭА (10 моль/л) на ТСП и действие АТФ (10^{-3} моль/л) в ГМ начального отдела тощей кишки человека. Здесь и на рис. 3 и 4 сверху квадратными скобками отмечена продолжительность действия гиперполяризующего тока, смещающего МП к исходному уровню.

личением амплитуды, а с течением времени и продолжительности ПД. Кроме того, в наших исследованиях ТЭА⁺ (10—20 моль/л) не блокировал следовую гиперполяризацию после ПД в ГМ тонкого кишечника человека, по сравнению с ГМ тонкого кишечника морской свинки [6]. Введение ионов ТЭА⁺ (10—20 моль/л) на фоне действия апамина ($n=14$) вызывало увеличение амплитуды ТСП в ГМ кольцевого слоя тонкого кишечника человека (см. рис. 2, а, 3). Под влиянием ионов ТЭА⁺ повышается возбудимость двигательных нервных волокон, находящихся в толще мышечной полоски, о чем свидетельствует уменьшение порога интрамурального раздражения. Увеличение ТСП при супрамаксимальном раздражении может быть связано с вовлечением в ответ на раздражение новых дополнительных нервных окончаний. Известно, что ионы ТЭА⁺ способны повышать эффективность синаптической передачи путем увеличения количества освобожденного медиатора, вследствие удлинения ПД пресинаптического волокна [9]. По-видимому, увеличение ТСП ГМ тонкого кишечника человека при действии ТЭА⁺ (10—20 моль/л) в ответ на супрамаксимальное раздражение обусловлено (наряду с деполяризацией и увеличением сопротивления мембранны ГМ) повышением освобождения неадренергического передатчика из пресинаптических двигательных нервных терминалей.

На сегодняшний день один из наиболее вероятных кандидатов в

медиаторы неадренергической активности ГМ — это апамин (апамин), ионный механизм действия которого обусловлены [2, 14, 18]. В связи с тем что АТФ на ГМ тонкого кишечника человека вызывает гиперполяризацию мембранны ГМ, апамин (5 $\times 10^{-7}$ моль/л) не оказывает гиперполяризующего действия на ГМ тонкого кишечника человека [14].

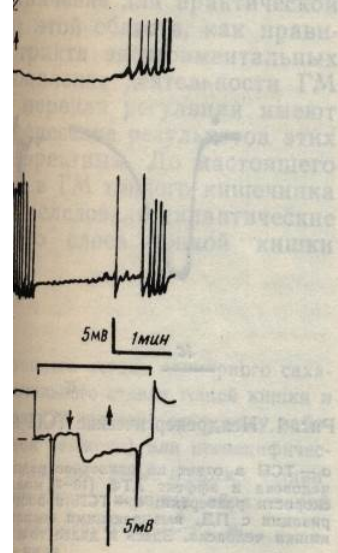
Апликация апамина на ГМ тонкого кишечника человека вызывает гиперполяризацию мембранны ГМ в среднем на 5—6 мВ. Так, в 60 % случаев (см. рис. 2, а, 1), действие апамина гиперполяризует мембранны ГМ на 5—6 мВ. Амплитуда гиперполяризации (ГП) в ГМ тонкого кишечника человека зависит от продолжительности действия апамина (рис. 2, а, 2). Амплитуда ГП в ГМ тонкого кишечника человека зависит от продолжительности действия апамина (рис. 2, а, 2). Амплитуда ГП в ГМ тонкого кишечника человека зависит от продолжительности действия апамина (рис. 2, а, 2).

В связи с тем что апамин не влияет на ГМ тонкого кишечника человека наряду с апамином (5 $\times 10^{-7}$ моль/л) не оказывает гиперполяризующего действия на ГМ тонкого кишечника человека [14]. В связи с тем что апамин (5 $\times 10^{-7}$ моль/л) не оказывает гиперполяризующего действия на ГМ тонкого кишечника человека [14].

Таким образом, апамин не влияет на ГМ тонкого кишечника человека наряду с апамином (5 $\times 10^{-7}$ моль/л) не оказывает гиперполяризующего действия на ГМ тонкого кишечника человека [14].

О калиевой пресинаптической передаче известно, что калиевые пресинаптические передачи имеют различные характеристики, в том числе и амплитуду (рис. 4, а). В большинстве случаев амплитуда калиевых пресинаптических передач зависит от концентрации калия в растворе Кребса и от продолжительности действия калиевого градиента. При возвращении калиевого градиента в раствор Кребса до исходного уровня амплитуда калиевых пресинаптических передач восстанавливается.

ись неадренергические ТСП цию и увеличение сопротивления в раствор Кребса к мембранны ГМ кольцево-нам на 3—4 мВ, увеличива-мальным раздражением, на-трации ионов ТЭА⁺ до 15—ектами, как правило, вызы-М, сопровождающуюся уве-



Ф в ГМ кольцевого слоя тонкого

ца подвздошной кишки человека в апамине (2), на 25-й минуте после ТЭА⁺ (3^а — третья минута после 5 моль/л) на ТСП и действие АТФ. Здесь и на рис. 3 и 4 сверху гиперполяризующего тока, смещаю-

и продолжительности ПД. (0—20 моль/л) не блоки-Д в ГМ тонкого кишечни-ицелия морской свинки на фоне действия апами-ГСП в ГМ кольцевого слоя 3). Под влиянием ионов х нервных волокон, наход-свидетельствует уменьше-/увеличение ТСП при суб-ано с вовлечением в ответ-ных окончаний. Известно, вность синаптической пе-обожденного медиатора, волокна [9]. По-видимо-человека при действии аксимальное раздражение с увеличением сопротивления адренергического передат-ных терминалей.

вероятных кандидатов в

медиаторы неадренергического торможения — аденоциантифосфорная кислота (АТФ) или родственные ей соединения [4, 10]. Кроме того, ионный механизм гиперполяризующего действия АТФ и генерации неадренергических ТСП в ГМ желудочно-кишечного тракта морской свинки обусловлены увеличением проводимости мембранны для ионов K⁺ [2, 14, 18]. В связи с этим представляло интерес исследовать действие АТФ на ГМ тонкого кишечника человека и влияние на него апамина и ТЭА⁺.

Аппликация ($n=30$) АТФ (10^{-3} моль/л) вызывает гиперполяризацию мембранны ГМ кольцевого слоя тонкого кишечника человека в среднем на 5—6 мВ. Однако эффект АТФ может варьировать по форме. Так, в 60 % случаев АТФ вызывает постоянную гиперполяризацию (см. рис. 2, а, 1), тогда как в остальных случаях развивается временная гиперполяризация, при которой в течение 1 мин мембранный потенциал (МП) возвращается почти к исходному значению, несмотря на продолжающуюся перфузию ГМ АТФ (см. рис. 1, а). Тот или иной ответ на действие АТФ наблюдался независимо от исследуемого отдела тонкого кишечника человека. Необходимо отметить, что амплитуда ТСП, вызванных одиночным стимулом, в большинстве случаев примерно в 2 раза больше, чем гиперполяризующий ответ при действии АТФ (10^{-3} моль/л) на ГМ (рис. 2, а, 1). Это несоответствие может быть связано с гидролизом АТФ во внеклеточной среде по мере диффузии ее непосредственно к гладкомышечным клеткам. Лишь в 30 % опытов мы наблюдали приблизительное равенство амплитуды ТСП гиперполяризующему действию 10^{-3} моль/л АТФ (рис. 1, а). На фоне действия апамина (5×10^{-7} моль/л) наблюдается уменьшение гиперполяризации, вызванной АТФ (рис. 2, а, 2). Ионы ТЭА⁺ (10—20 моль/л) незначительно уменьшают действие АТФ (рис. 2, б). При добавлении ТЭА⁺ в раствор Кребса с апамином (на фоне их совместной аппликации) наблюдается еще большее угнетение эффекта АТФ, что связано, вероятно (наряду с незначительным блокирующим действием ТЭА⁺), с долгой перфузией ГМ кольцевого слоя тонкого кишечника человека в апамине (рис. 2, а, 3).

В связи с тем, что в отличие от ТСП ГМ кольцевого слоя тонкого кишечника морской свинки, ТСП ГМ тех же отделов тонкого кишечника человека не полностью блокируется апамином и не угнетается ТЭА⁺, представляется важным исследовать ионный механизм генерации неадренергических ТСП в ГМ тонкого кишечника человека. При удалении ионов K⁺ из раствора Кребса или замене стандартного раствора Кребса на раствор, содержащий сниженную их концентрацию (1—3 моль/л), наблюдается значительное увеличение амплитуды ТСП ГМ кольцевого слоя тонкого кишечника человека, вне зависимости от МП (рис. 3, б). Наоборот, увеличение концентрации ионов K⁺ в растворе Кребса до 10 моль/л вызывает их уменьшение, наблюдаемое при возвращении МП к исходному уровню (рис. 3, а).

Таким образом, амплитуда ТСП отчетливо зависит от концентрационного градиента ионов K⁺. Поэтому, вероятно, гиперполяризация во время ТСП связана с увеличением проводимости мембранны ГМ для ионов K⁺.

О калиевой природе ТСП в ГМ тонкого кишечника человека свидетельствуют результаты наших опытов по смещению МП в условиях фиксации тока ($n=5$). Так, кондиционирующая деполяризация увеличивает амплитуду ТСП, тогда как гиперполяризация уменьшает ее (рис. 4, а). В большинстве случаев зависимость амплитуды ТСП от МП носит линейный характер в области небольших сдвигов МП (рис. 4, б). ТСП исчезают при гиперполяризации мембранны на 15—20 мВ. В условиях сахарозного мостика трудно получить реверсию ТСП при большой кондиционирующей гиперполяризации мембранны вследствие увеличения при этом общей ионной проводимости мембранны и ограничения силы раздражения большим последовательным сопротивлением ГМ в сахарозном участке [18]. Нам удалось получить реверсию ТСП

ГМ кольцевого слоя тонкого кишечника человека при добавлении в раствор Кребса 10–15 ммол/л ионов K^+ и деполяризации мембранны на 20 мВ (рис. 4, в). Таким образом, потенциал реверсии данного си-

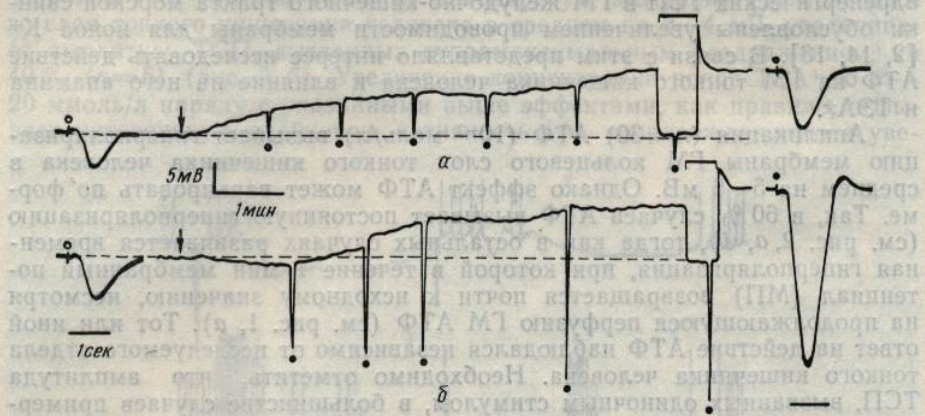


Рис. 3. Влияние изменения концентрации ионов K^+ в растворе Кребса на ТСП в ГМ кольцевого слоя начального отдела тощей кишки человека:

а — увеличение концентрации до 10 ммол/л; б — уменьшение концентрации до 1 ммол/л. Начало действия растворов Кребса с измененным содержанием ионов K^+ показано стрелками.

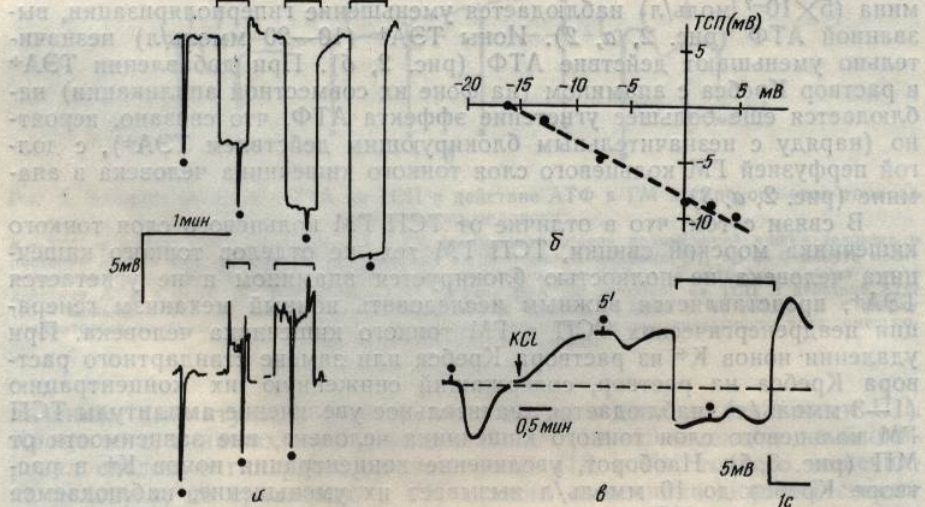


Рис. 4. Влияние изменения МП на ТСП в ГМ кольцевого слоя тонкого кишечника человека:

а — влияние кондиционирующей гиперполяризации и деполяризации (отмечено сверху квадратными скобками) на ТСП в ГМ подвздошной кишки человека; б — график зависимости амплитуды ТСП (ось ординат) от смещений МП (ось абсцисс), показанных на а; в — реверсия ТСП гиперполяризующим током в ГМ начального отдела тощей кишки человека на 5-й минуте действия раствора Кребса, содержащего 20 ммол/л ионов K^+ . Следует обратить внимание на разные скорости развертки: 1 с — для ТСП и 0,5 мин — для действия раствора Кребса с повышенным содержанием ионов K^+ .

наптического потенциала будет на 15–20 мВ или (учитывая шунтирующий эффект сахарозы [7]) на 30–40 мВ ниже МП, что примерно соответствует значению K^+ -равновесного потенциала.

Относительно участия ионов Cl^- в генерации ТСП, следует заметить, что исходя из значения равновесного потенциала для ионов Cl^- в ГМ, увеличение проводимости мембранны ГМ для ионов Cl^- приводило бы к уменьшению амплитуды ТСП (возможное уменьшение проницаемости мембранны ГМ для ионов Cl^- во время действия неадренер-

гического передатчика как оно шунтирует ионам K^+). Тогда, проникающие анионы ТСП. Однако в на градиента для ионов тионат или Na -ацетатом же уменьшены фактором — измене-

Приведенные ре чта генерация неад

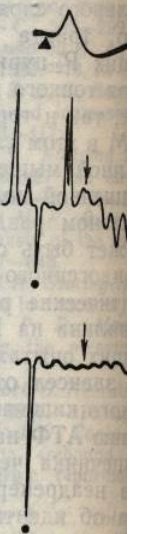


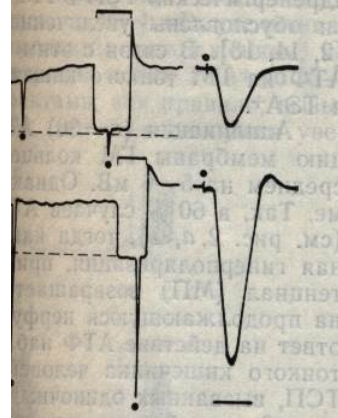
Рис. 5. Синаптические по

а — ВСП и ТСП в ответ на 10^{-6} моль/л атропина (I); б — новение при атропинизации мышечных пол

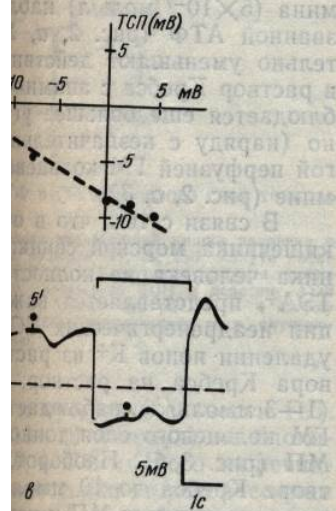
кишечника человека — для ионов K^+ , кольцевого слоя тона ма [3, 12, 13, 18].

Исследования, п го слоя тонкого киш ном ритмическом ра возбуждающий сина да как в остальных полоски (10^{-6} моль/л) его холинергической ном слое тонкого ки ным раздражением. цевого слоя тонкого дольных мышц дости шей плотности этой исследований других продольного слоя то ло сокращение, устр ях мышечные полос нергических нервов.

человека при добавлении в и реполяризации мембранный потенциал реверсии данного си-



растворе Кребса на ТСП в ГМ кишечника человека:
концентрации до 1 ммол/л. Начало ионов K^+ показано стрелками.



ого слоя тонкого кишечника че-

ловека (отмечено сверху квадратными графиками зависимости амплитуды ТСП в *a*; *b* — реверсия ТСП гиперполяризации на 5-й минуте действия раствора Кребса с повышенным содержанием

или (учитывая шунтирующее МП, что примерно соизмеримо с амплитудой ТСП), следует заменить концентрацию ионов Cl^- для ионов Cl^- приводящее к уменьшению проводимости мембранных потенциала для ионов Cl^- и приводящее к уменьшению действия неадрено-

гического передатчика не приводило бы к заметным изменениям МП, так как оно шунтировалось увеличением проводимости мембранных ионам K^+). Тогда, в случае замены внеклеточных ионов Cl^- на слабопроникающие анионы, следовало бы ожидать увеличение амплитуды ТСП. Однако в наших опытах ($n=6$) реверсия концентрационного градиента для ионов Cl^- путем эквимолярной замены $NaCl$ на Na -изотонат или Na -acetat существенно не сказывается на ТСП. Наблюданное же уменьшение ТСП может быть полностью объяснено вторичным фактором — изменением МП.

Приведенные результаты исследований позволяют сделать вывод, что генерация неадрено-нейральных ТСП в ГМ кольцевого слоя тонкого

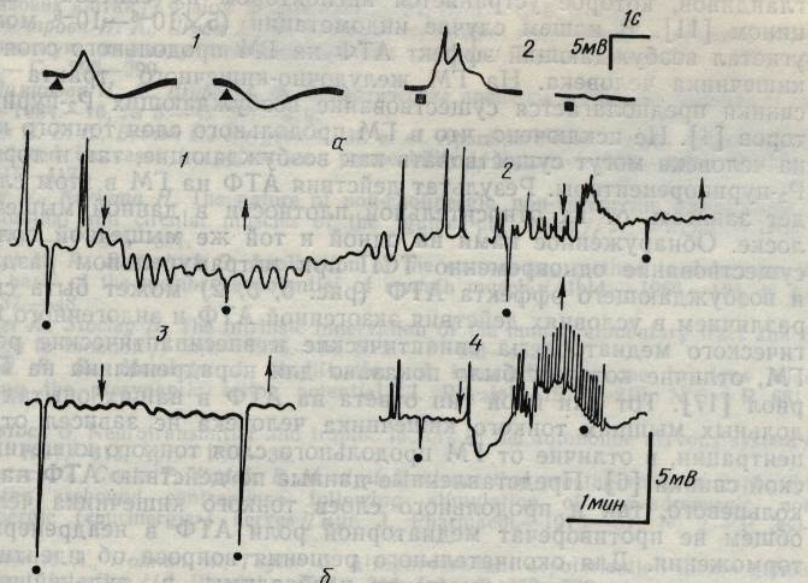


Рис. 5. Синаптические потенциалы и эффект АТФ в ГМ продольного слоя начального отдела тощей кишки человека:

a — ВСП и ТСП в ответ на ритмическое (100 Гц) раздражение и исчезновение ВСП при действии 10^{-6} моль/л атропина (1); ВСП и ПД, вызванные ритмическим (10 Гц) раздражением и их исчезновение при атропинизации ГМ (2); *b* — ТСП и типы ответов ГМ к АТФ (10^{-3} моль/л) в разных мышечных полосках продольного слоя тонкого кишечника человека (1—4).

кишечника человека обусловлена увеличением проводимости мембранных ионов K^+ , аналогично таковой для ТСП в ГМ *taenia coli*, кольцевого слоя тонкого кишечника морской свинки, пищевода опоссума [3, 12, 13, 18].

Исследования, проведенные на 24 мышечных полосках продольного слоя тонкого кишечника человека, показали, что при интрамуральном ритмическом раздражении (10 Гц) в 50 % случаев генерируется возбуждающий синаптический потенциал (ВСП) или ВСП и ТСП, тогда как в остальных случаях только ТСП. Атропинизация мышечной полоски (10^{-6} моль/л) приводит к исчезновению ВСП, что говорит о его холинергической природе (рис. 5, *a*, 1, 2). ТСП вызывали в продольном слое тонкого кишечника человека как ритмическим, так и одиночным раздражением. Их параметры были аналогичны ТСП ГМ кольцевого слоя тонкого кишечника человека. Однако амплитуда ТСП продольных мышц достигла 2—7 мВ, что может свидетельствовать о меньшей плотности этой иннервации по сравнению с кольцевым слоем. В исследованиях других авторов [8] интрамуральное раздражение ГМ продольного слоя тонкого кишечника человека в 65 % случаев вызывало сокращение, устранимое атропином, тогда как в остальных случаях мышечные полоски расслаблялись вследствие стимуляции неадрено-нейральных нервов.

Влияние апамина и ТЭА⁺ на неадренергические ТСП и ГМ продольного слоя тонкого кишечника человека было аналогично влиянию на ТСП в ГМ кольцевого слоя. Действие же АТФ на ГМ продольного слоя было более сложным. Аппликация АТФ (10^{-3} моль/л) на разные мышечные полоски продольного слоя тонкого кишечника человека ($n=23$) в 50 % случаев вызывает гиперполяризацию или в 20 % деполяризацию мембранны, тогда как в остальных случаях наблюдается двухфазный ответ (начальная гиперполяризация, сменяющаяся деполяризацией) или не проявляет заметного эффекта (рис. 5, б, 1—4). На ГМ желудочно-кишечного тракта животных было показано, что возбуждающий эффект АТФ может быть опосредован действием простагландинов, которое устраняется ингибитором их синтеза — индометацином [11]. В нашем случае индометацин (5×10^{-6} — 10^{-5} моль/л) не угнетал возбуждающий эффект АТФ на ГМ продольного слоя тонкого кишечника человека. На ГМ желудочно-кишечного тракта морской свинки предполагается существование возбуждающих P_2 -пуринорецепторов [4]. Не исключено, что в ГМ продольного слоя тонкого кишечника человека могут существовать как возбуждающие, так и тормозящие P_2 -пуринорецепторы. Результат действия АТФ на ГМ в этом случае будет зависеть от их относительной плотности в данной мышечной полоске. Обнаруженное нами на одной и той же мышечной полоске со-существование одновременно ТСП при интрамуральном раздражении и возбуждающего эффекта АТФ (рис. 5, б, 2) может быть связано с различием в условиях действия экзогенной АТФ и эндогенного пуринергического медиатора на синаптические и внесинаптические рецепторы ГМ, отличие которых было показано для норадреналина на ГМ артериол [17]. Тот или иной тип ответа на АТФ в наших опытах на продольных мышцах тонкого кишечника человека не зависел от ее концентрации, в отличие от ГМ продольного слоя тонкого кишечника морской свинки [6]. Представленные данные по действию АТФ на ГМ как кольцевого, так и продольного слоев тонкого кишечника человека в общем не противоречат медиаторной роли АТФ в неадренергическом торможении. Для окончательного решения вопроса об идентификации передатчика данного торможения необходимы в дальнейшем новые подходы.

Таким образом, резюмируя полученные данные, можно сделать вывод, что неадренергическая тормозящая передача более представлена в кольцевом слое ГМ тонкого кишечника человека, тогда как холинергическая возбуждающая — в продольном. Результаты исследований не противоречат пуринергической гипотезе неадренергических ТСП ГМ тонкого кишечника человека, генерация которых, как и в ГМ желудочно-кишечного тракта морской свинки, обусловлена увеличением проводимости мембранны для ионов K^+ . В отличие от ТСП ГМ тонкого кишечника морской свинки, ТСП ГМ тонкого кишечника человека не блокируются апамином и ТЭА. Так как эти вещества являются неспецифическими блокаторами ТСП в ГМ тонкого кишечника морской свинки, то, вероятно, отличие скорее всего будет заключаться в особенностях калиевых каналов мембранны ГМ, а не в медиаторе неадренергического торможения.

V. P. Zagorodnyuk, E. V. Vovk, V. D. Cherpak, M. F. Shuba

INVESTIGATION OF THE SYNAPTIC POTENTIALS IN SMOOTH MUSCLES OF THE HUMAN SMALL INTESTINE

The modified sucrose-gap method was used to study synaptic potentials in human smooth muscle of the longitudinal and circular layers of the distal jejunum and terminal ileum. It is shown that inhibitory non-adrenergic nerve-muscle transmission is more presented in the circular layer of smooth muscles whereas excitatory cholinergic transmission — in the longitudinal one. Inhibitory synaptic potentials of the human small intestine smooth muscle are not blocked by apamine and tetraethylammonium unlike those of the

guinea-pig. Results of the adrenergic inhibition. G muscles of human small ce for K^+ ions.

A. A. Bogomoletz Institute Medical Institute, Kiev

1. Артеменко Д. П., Бутова одинарного сах 380.
2. Владимирова И. А. В ком'язовых клитин //
3. Владимирова И. А. Синаптическую переда № 3. — С. 295—299.
4. Владимирова И. А. же.—1984.—16, № 3.
5. Banks B. E. C., Brower-induced increases P. 415—417.
6. Bauer V., Kurlyma H longitudinal and circ 332, Nov.—P. 375—39.
7. Bennet M. R., Burnst ionic basis of the me P. 637—648.
8. Bennet A., Stocley H. relation to function //
9. Benoit P. R., Mam prolong the presynap 695.
10. Burnstock G. Neurotra Ibid.—1981.—313, Apr.
11. Burnstock G., Cooks T for the «rebound» cholinergic («puriner 362.
12. Bywater R. A., Holme pig small intestine //.
13. Daniel E. E., Helmy-E is the mediator of inh 1983.—336, March.—P.
14. Den Hertog A. Calcium bichol on guinea-pig t
15. Hermann A., Gorman in a molluscan neuron
16. Hills J., Meldrum L. linergic nerve-mediate neurotransmitter can 293.
17. Hirst G. P. S., Neild noradrenaline on arter 768.
18. Tomita T. Conductanc coli // J. Physiol.—197

Ин-т физиологии им. А. П. Киев. мед. ин-т МВСО

ергические ТСП и ГМ про-
было аналогично влиянию
ке АТФ на ГМ продольного
Ф (10^{-3} моль/л) на разные
кого кишечника человека
мляризацию или в 20 % де-
тальных случаях наблюдается
изация, сменяющаяся депо-
фекта (рис. 5, б, 1—4). На-
х было показано, что воз-
средован действием проста-
ом их синтеза — индомета-
(5×10^{-6} — 10^{-5} моль/л) не
и продольного слоя тонкого
ищающих Р₂-пуринорецеп-
ного слоя тонкого кишечни-
дающие, так и тормозящие
Ф на ГМ в этом случае бу-
ги в данной мышечной по-
же мышечной полоске со-
граммуральном раздражении
, 2) может быть связано с
АТФ и эндогенного пуринер-
несинаптические рецепторы
адреналина на ГМ арте-
Ф в наших опытах на про-
еке не зависел от ее кон-
оя тонкого кишечника мор-
действию АТФ на ГМ как
ого кишечника человека в
АТФ в неадренергическом
вопрос об идентификации
мы в дальнейшем новые

данные, можно сделать вы-
редача более представлена
ловека, тогда как холинер-
езультаты исследований не
адренергических ТСП ГМ
ных, как и в ГМ желудоч-
овлена увеличением прово-
е от ТСП ГМ тонкого ки-
шечника человека не блок-
ства являются неспецифи-
кического кишечника морской свинки,
аключаться в особенностях
медиаторе неадренергическо-

guinea-pig. Results of the studies do not contradict the purinergic hypothesis of the non-adrenergic inhibition. Generation of the inhibitory synaptic potentials in the smooth muscles of human small intestine are induced by an increase in the membrane conductance for K⁺ ions.

A. A. Bogomoletz Institute of Physiology, Kiev;
Medical Institute, Kiev

1. Артеменко Д. П., Бурый В. А., Владимирова И. А., Шуба М. Ф. Модификация ме-
тода одинарного сахарозного мостика // Физiol. журн.— 1982.— 28, № 3.— С. 374—
380.
2. Владимирова И. А. Вплив різних іонів на гальмівні постсинаптичні потенціали глад-
ком'язових клітин // Фізіол. журн.— 1975.— 21, № 5.— С. 624—627.
3. Владимирова И. А., Шуба М. Ф. Влияние стрихнина, гидрастина и апамина на си-
наптическую передачу в гладкомышечных клетках // Нейрофизиология.— 1978.— 10,
№ 3.— С. 295—299.
4. Владимирова И. А., Шуба М. Ф. Синаптические процессы в гладких мышцах // Там
же.— 1984.— 16, № 3.— С. 307—319.
5. Banks B. E. C., Brown C., Burgess G. M. et al. Apamine blocks certain neurotransmitter-induced increases in potassium permeability // Nature.— 1979.— 282, N 5707.—
P. 415—417.
6. Bauer V., Kurijma H. The nature of non-cholinergic, non-adrenergic transmission in longitudinal and circular muscles of the guinea-pig ileum // J. Physiol.— 1982.—
332, Nov.— P. 375—391.
7. Bennet M. R., Burnstock G. Application of the sucrose-gap method to determine the
ionic basis of the membrane potential of smooth muscle // Ibid.— 1966.— 183, N 3.—
P. 637—648.
8. Bennet A., Stocley H. The intrinsic innervation of the human alimentary tract and its
relation to function // Gut.— 1975.— 16, N 3.— P. 443—453.
9. Benoît P. R., Mambrini J. Modification of transmitter release by ions which
prolong the presynaptic action potential // J. Physiol.— 1970.— 210, N 3.— P. 681—
695.
10. Burnstock G. Neurotransmitter and trophic factors in the autonomic nervous system //
Ibid.— 1981.— 313, Apr.— P. 1—35.
11. Burnstock G., Cooks T., Paddle B. M. et al. Evidence that prostaglandin is responsible
for the «rebound contraction» following stimulation of non-adrenergic, non-
cholinergic («purinergic») nerves // Eur. J. Pharmacol.— 1975.— 31, N. 2.— P. 360—
362.
12. Bywater R. A., Holman M., Taylor G. Atropin-resistant depolarization in the guinea-
pig small intestine // J. Physiol.— 1981.— 316, Jul.— P. 369—379.
13. Daniel E. E., Helmy-Elkholy A., Jager L. P., Kannan M. S. Neither a purine nor VIP
is the mediator of inhibitory nerves of opossum oesophageal smooth muscle // Ibid.—
1983.— 336, March.— P. 243—260.
14. Den Hertog A. Calcium and the action of adrenaline, adenosine triphosphate and car-
bachol on guinea-pig taenia coli // Ibid.— 1982.— 325, Apr.— P. 423—439.
15. Hermann A., Gorman A. L. F. Effects of tetraethylammonium on potassium currents
in a molluscan neurone // J. Gen. Physiol.— 1981.— 78, N 1.— P. 87—110.
16. Hills J., Meldrum L. A., Klarskow P., Burnstock G. A novel non-adrenergic, non-cho-
linergic nerve-mediated relaxation of pig bladder neck: an examination of possible
neurotransmitter candidates // Eur. J. Pharmacol.— 1984.— 99, N 2.— P. 287—
293.
17. Hirst G. P. S., Neild T. O. Evidence for two populations of excitatory receptors for
noradrenaline on arteriolar smooth muscle // Nature.— 1980.— 283, N 5711.— P. 767—
768.
18. Tomita T. Conductance change during the inhibitory potential in the guinea-pig taenia
coli // J. Physiol.— 1972.— 225, N 3.— P. 693—703.

Ин-т физиологии им. А. А. Богомольца АН УССР, Киев;
Киев. мед. ин-т МВСО УССР

Поступила 21.11.84

hengak, M. F. Shuba

S POTENTIALS SMALL INTESTINE

Study synaptic potentials in human
of the distal jejunum and terminal
muscle transmission is more pre-
excitatory cholinergic transmis-
sions of the human small intestine
tymmonium unlike those of the

С. В. Тимченко, С. В. Покровская, Л. П. Бабенко

ВЛИЯНИЕ ПОЛИГЛЮКИНА НА ТКАНЕВЫЕ БАЗОФИЛЫ КРЫС

Результаты экспериментальных исследований показали, что введение крысам декстрана — вещества, способствующего высвобождению вазоактивных медиаторов [8], вызывает массивную дегрануляцию тканевых базофилов и образование отека [7], который используется в качестве модели быстро возникающей отечной реакции [6]. В то же время имеются данные о различной выраженности действия его *in vitro* и *in vivo* [12]. Это послужило основанием для проведения нашей работы с целью углубленного изучения особенностей механизма воздействия полиглюкина (декстрана молекулярной массой $60\ 000 \pm 10\ 000$ Д) на клетки-мишени. Для этого с помощью комплекса методик (биохимической, гистологической и патофизиологической) было изучено его влияние на функциональную активность тканевых базофилов различной локализации в зависимости от способа и дозы введенного вещества.

Методика

Опыты проведены на крысах линии Вистар. В экспериментах *in vivo* использованы крысы обоего пола массой 65—150 г. Более крупных (массой 350 г) крыс-самцов использовали при постановке опытов *in vitro*, в которых спектрофлюориметрическим методом изучали высвобождение гистамина тканевыми базофилами после обработки их растворами полиглюкина различной концентрации. Взвесь базофилов из тканей грудной и брюшной полостей получали путем создания градиента плотности фикола (построение опытов, приготовление буферных растворов и определение высвободившегося гистамина осуществляли согласно описанным ранее методикам [2, 3]). В полученной взвеси базофилы составляли 85—95 % всех клеточных элементов. Тканевые базофилы инкубировали в течение 15 мин при 37 °C в фосфатном буфере Sörensen (20 мкг; pH 7,4) с добавлением сывороточного альбумина человека (1 мг/мл; фирма «Reanal», Венгрия) и кальция (1 ммол).

В инкубационную среду опытных проб добавляли также полиглюкин, концентрация которого составляла 0,05—6 %. После внесения в среду вещества 48/80 клетки инкубировали еще 5 мин при тех же условиях. Реакцию останавливали помещением пробирок на лед. Порции клеток центрифугировали (400 g) в течение 10 мин при 4 °C, надосадочную жидкость отделяли и клетки разрушали добавлением дистиллированной воды и встряхивания в супермиксере. Надосадочную жидкость и клеточные лизаты (по 200 мкл) использовали для определения гистамина, меру высвобождения которого выражали в процентах его общего содержания в порции клеток. Спонтанное высвобождение гистамина в опытах составляло 4,15 %. Полиглюкин в использованных концентрациях не влиял на реакцию определения гистамина.

В одной серии экспериментов *in vivo* изучали влияние внутрибрюшинного и внутривенного способов введения полиглюкина на тканевые базофилы различной локализации. Исследование проведено на 4 группах крыс по 6 животных в каждой. Препарат (6 %-ный его раствор) вводили внутрибрюшинно и внутривенно по 1 мл. Крысам контрольных групп вместо раствора полиглюкина вводили 0,9 %-ный раствор хлористого натрия. Через 15 мин после введения препаратов животные получали легкий эфирный наркоз, затем их декапитировали, вводили внутрибрюшинно 4 мл Sörensen-фосфатного буфера (pH 6,0) без добавления ионов кальция и сывороточного альбумина человека, производили массаж брюшной стенки в течение 1 мин, вскрывали брюшную полость, собирали взвесь перитонеальных клеток. Для гистологического исследования готовили препараты из тканей брыжек, а также передней и задней лапок. Часть перитонеальных клеток, непосредственно после получения, окрашивали 0,3—0,5 %-ным спиртовым раствором нейтрального красного и определяли процент дегранулировавших тканевых базофилов. Достоверность полученных результатов оценивали по среднему квадратическому отклонению данных [1]. Материал, взятый на гистологическое исследование, фиксировали 10 %-ным раствором формалина, забуференным по Lyllie, обезвоживали с помощью спиртов восходящей концентрации, заключали в парафин. Гистологические срезы окрашивали азуром и эозином [5]. Микроскопическое исследование тканевых базо-

филов осуществляли при 50 — на препаратах брыжек.

В другой серии эксперимента полиглюкина на различные растворы. Для сравнения изученного раствора серотонина 405,43 Д; фирма «Reanal», дей, на которых испытывались. Препараты (по 0,05 мг) вводили на лапки животных. О мере реагирования относительно исходной. Тогда через 15, 30 и 60 мин по полученных данных проводили

Результаты исследований (0,05—6 %-ная концентрация) свойствами при 15 перитонеальных и плевральных базофилов не оказывали на их способность выделения гистамина.

Однако 6 %-ный раствор полиглюкина *in vivo* вызывает достоверное повышение концентрации базофилов в плевральной жидкости при внутрибрюшинном введении. Внутривенное введение 0,05 %-ного раствора полиглюкина не вызывает изменения концентрации базофилов в плевральной жидкости.

Сходная закономерность наблюдается и в отношении тканевых базофилов раствором полиглюкина. Повышение концентрации базофилов (по сравнению с контролем) в плевральной жидкости при внутрибрюшинном введении, но не при внутрибрюшинном введении, не вызывает изменения концентрации базофилов в плевральной жидкости.

Как видно из рисунка, вызываемой раствором полиглюкина закономерностей. Так, концентрация 0,005—0,01 %-ной раствора полиглюкина достоверно вызывает отека, но не изменяет концентрацию базофилов в плевральной жидкости. В дальнейшем концентрация раствора полиглюкина 0,005—0,05 %-ной концентрации базофилов в плевральной жидкости, но не изменяет концентрацию базофилов в плевральной жидкости. Только 0,1 %-ная концентрация раствора полиглюкина не вызывает отека, но не изменяет концентрацию базофилов в плевральной жидкости.

По данным литературы, введение раствора полиглюкина в плевральную полость вызывает отек плевральной полости. Отек плевральной полости возникает с увеличенным объемом. Максимальный отек достигается при концентрации 0,1 мг, а для серотонина концентрации 0,01 мг. Для исследования эти концентрации являются достаточными для вызвания отека.

ЗЫЕ БАЗОФИЛЫ КРЫС

ваний показали, что введенного высвобождению сивную дегрануляцию тканевый используется в ка-реакции [6]. В то же время действия его *in vitro* для проведения нашей разности механизма воздей-массой $60\ 000 \pm 10\ 000$ Д) омплекса методик (биохи-нической) было изучено его гиевых базофилов различ-дозы введенного вещества.

ериментах *in vivo* использованы (ссы 350 г) крыс-самцов используя профилюориметрическим методом ами после обработки их раствор-азофилов из тканей грудной и плотности фикола (построение ие высвободившегося гистамина [3]). В полученной взвеси базо-каневые базофилы инкубировали (20 мкл; pH 7,4) с добавле-ром «Reanal» (Венгрия) и каль-

акже полиглюкин, концентрация вещества 48/80 клетки инкубир-авливали помещением пробирок ние 10 мин при 4 °C, надсадоч-ием дистиллированной воды и сть и клеточные лизаты (по вы-свобождения которого вы-слеток. Спонтанное высвобожде-в использованных концентраци-

ние внутрибрюшинного и внут-базофилы различной локализа-животных в каждой. Препарат привенно по 1 мл. Крысам конт-0,9 %-ный раствор хлористого получали легкий эфирный ино 4 мл Sörensen-фосфатного проточного альбумина человека, скрывали брюшную полость, со-леского исследования готовили дней лапок. Часть перитонеаль-вали 0,3—0,5 %-ным спиртовым т дегранулировавших тканевых авали по среднему квадратичес-тологическое исследование, фик-м по Lyllie, обезвоживали с по-парфин. Гистологические сре-е исследование тканевых базо-

Выходы

филов осуществляли при увеличении 40×7 в 20 полях зрения на препаратах лапок, а в 50 — на препаратах брыжейки.

В другой серии экспериментов *in vitro* исследовали влияние 0,005—6 %-ного раствора полиглюкина на развитие отека стоп, обусловленного медиаторами тканевых базофилов. Для сравнения изучали реакцию, возникающую после введения 0,0001—0,05 %-ного раствора серотонина (серотонин-креатинин сернокислый молекулярной массой 405,43 Д; фирма «Reanal», Венгрия). Было взято 7 групп животных по 10 крыс в каждой, на которых испытывали действие растворов изучаемых веществ разной концентрации. Препараторы (по 0,05 мл) вводили под подошвенный апоневроз в правые и левые лапки животных. О мере развития отечной реакции судили по увеличению толщины стоп относительно исходной. Толщину стоп измеряли с помощью микрометра до начала опыта и через 15, 30 и 60 мин после введения изучаемых растворов. Статистическую обработку полученных данных проводили разностным методом [1].

Результаты и их обсуждение

Результаты исследования *in vitro* показали, что полиглюкин (0,05—6 %-ная концентрация) не обладает гистамин-высвобождающими свойствами при 15-минутной инкубации в нем тканевых базофилов перитонеальных и плевральных полостей крыс. Обработка клеток полиглюкином не оказывает также статистически достоверного влияния на их способность высвобождать гистамин под действием вещества 48/80.

Однако 6 %-ный раствор полиглюкина через 15 мин после инъекции *in vivo* вызывает достоверное ($P < 0,01$) повышение процента дегранулировавшихся тканевых базофилов во взвеси перитонеальных клеток опытных животных (по сравнению с контролем) в среднем на 27,49 % при внутрибрюшинном и на 30,43 % при внутривенном введении. Внутривенное введение полиглюкина достоверно ($P < 0,05$) повышает процент дегранулировавшихся клеток в брыжейке в среднем на 14 %, внутрибрюшинная — не проявляет дегранулирующего действия на тканевые базофилы брыжейки.

Сходная закономерность отмечена и при гистологическом исследовании тканевых базофилов соединительной ткани лапок. Так, 6 %-ный раствор полиглюкина через 15 мин вызывает достоверное ($P < 0,01$) повышение процента дегранулировавшихся клеток у опытных животных (по сравнению с контролем) в среднем на 24,8 % при внутривенном введении, но не оказывает достоверного воздействия на этот процесс при внутрибрюшинном.

Как видно из рисунков 1 и 2, динамика развития отечной реакции, вызываемой растворами полиглюкина и серотонина, имеет ряд общих закономерностей. Так, введение в стопы животным растворов полиглюкина 0,005—0,01 %-ной концентрации, а серотонина 0,0001—0,001 %-ной достоверно вызывает максимальный прирост толщины стоп на 15-й минуте. В дальнейшем отек уменьшается в течение всего времени исследования или сохраняется в пределах значения, достигнутого к 30-й минуте. Введение растворов полиглюкина и серотонина 0,5—6,0 %-ной и 0,005—0,05 %-ной концентраций соответственно приводит к развитию отека, достоверно достигающего максимального значения к 15-й и 30-й минутам, но не изменяющегося затем до момента окончания исследования. Только 0,1 %-ная концентрация полиглюкина вызывает отек, который начинает спадать спустя 30 мин после введения дегранулятора.

По данным литературы провоспалительное действие декстрана при местном введении связывается с повреждением тканевых базофилов и высвобождением из них гистамина и серотонина, причем интенсивность отека возрастает с увеличением массы вводимого вещества в определенном объеме. Максимальная масса вводимых препаратов, при которых еще сохраняется эта закономерность, для декстрана составляет 0,1 мг, а для серотонина — 0,5 мг в 0,1 мл [6]. По результатам наших исследований эти значения составляют для полиглюкина 0,05 мг (0,1 %-ный раствор), а для серотонина (в пересчете на чистый серото-

нин) $\sim 0,004$ мг (0,001 %-ный раствор серотонин-креатинина сернокислого) в 0,05 мл. Последнее согласуется с результатами, полученными другими авторами [11]. При превышении этих концентраций отек, достигнув своего максимального размера, не проявляет тенденцию к снижению в течение 1 ч исследования. Наряду с этим известно, что сами по себе медиаторы воспаления действуют в течение 10—20 мин [4]. Исходя из этого, можно предположить, что полиглюкин (значительная его концентрация) не успевает выводиться из места введения за време-

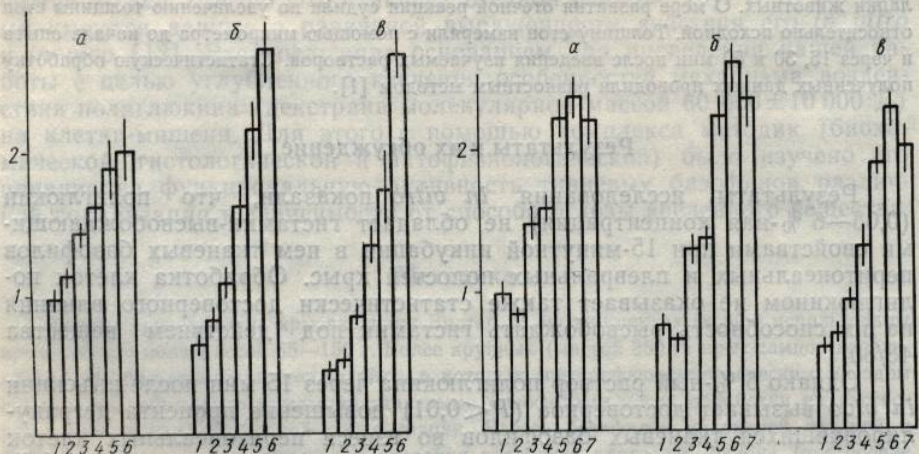


Рис. 1. Прирост толщины стоп (в миллиметрах) через:
а — 15, б — 30, в — 60 мин после введения 0,005 %-ного (1), 0,01 %-ного (2), 0,1 %-ного (3),
0,5 %-ного (4), 1 %-ного (5), 5 %-ного (6) и 6 %-ного (7) раствора полиглюкина.

Рис. 2. Прирост толщины стоп (в миллиметрах) через:
а — 15 мин, б — 30, в — 60 мин 0,0001 %-ного (1), 0,0005 %-ного (2), 0,001 %-ного (3), 0,005 %-ного
(4), 0,01 %-ного (5), 0,05 %-ного (6) раствора серотонина.

мя эксперимента и своим присутствием стимулирует воспалительную реакцию. Однако имеется выраженный параллелизм динамики дексстранового и серотонинового отеков. Известно, что высвободившийся из депо серотонин быстро подвергается инактивации: за 3 ч обновляется половина всего циркулирующего серотонина [10], и это происходит при том, что только в 1×10^6 перitoneальных тканевых базофилах крыс его содержание составляет 0,2—6 мкг [9]. Следовательно, вероятнее связать изменение динамики серотонинового и полиглюкинового отеков при высокой концентрации введенных веществ с включением каких-то дополнительных механизмов развития отечной реакции. Это предположение подтверждается полученными нами данными, показывающими, что 6 %-ный раствор полиглюкина по-разному влияет на тканевые базофилы перitoneальной жидкости при применении его *in vitro* и *in vivo*. Кроме того, внутривенное введение этого же раствора препарата вызывает дегрануляцию тканевых базофилов, локализованных в различных тканях, в то время как внутрибрюшинное — только в одной. На основании этих результатов правомочным будет предположение, что действие полиглюкина на тканевые базофилы осуществляется не прямо, а опосредованно, причем в этом, вероятно, участвуют какие-то компоненты, содержащиеся в крови. Учитывая динамику развития отечной реакции, при изучении влияния полиглюкина на тканевые базофилы крыс *in vivo* необходимо использовать растворы препарата не выше 0,1 %-ной концентрации, так как несоблюдение этого условия может привести к искажению полученных результатов.

- Полиглюкин (0,5 %) вызывает дегрануляцию тканевых базофилов в опытах *in vitro*.
- Динамика разрастания тканевой базофильной популяции на таковой, обусловленной введением полиглюкина, не зависит от концентрации полиглюкина.
- При внутривенном введении полиглюкина в концентрации, обуславливающей дегрануляцию тканевых базофилов, в опытах *in vitro* не наблюдается дегрануляции тканевых базофилов.
- Внутрибрюшинное введение полиглюкина вызывает дегрануляцию тканевых базофилов.

S. V. Timchenko

THE EFFECT

0,05 %-6 % dextran M activity of tissue basophils injected intravenously relatively to the control. This preparation has such a dynamics of feet edematization. It is possible to suggest that

A. I. Kolomiichenko Institut of Endocrinology

- Бирюкова Р. Н. Статистическая усовершенствование метода измерения толщины кожи // Докторская диссертация. М., 1975.
- Гущин И. С., Фредхольм Е. А. Воздействие вызванного веществом Патол. физиологии и экспериментальной гипертензии на тканевые базофилы // Арх. патол. 1974. — № 1. — С. 103—107.
- Гущин И. С. Действие вызванного веществом Патол. физиологии и экспериментальной гипертензии на тканевые базофилы // Докторская диссертация. М., 1975.
- Мовэт Г. Острое воспаление. М.: Медицина, 1975. — С. 103—107.
- Твердышин М. С., Чернявский А. С. Кровь и ее срезы // Арх. патол. 1974. — № 1. — С. 103—107.
- Тринус Ф. П. Механизмы воспаления. Киев: Здоровье, 1975. — С. 103—107.
- Юсин В. А., Шкалина Т. А. Сосудисто-тканевую пролиферацию // Докторская диссертация. М., 1975.
- Hedin H. Dextran induced edema in vivo studies // — UpToDate, 1974. — Vol. 14. — P. 141—161.
- Levy D. A. Histamine and the vascular permeability // Arch. Intern. Med. 1974. — Vol. 134. — P. 1616—1619.
- Ravins A. La serotonine et la vascular permeability // Rev. Physiol. Biochim. Biophys. 1974. — Vol. 134. — P. 1387.
- West G. B. Ethylenediamine-induced vascular permeability // Int. Arch. Allerg. Immunol. 1974. — Vol. 55. — P. 103—107.

Киев. ин-т отоларингологии им. А. И. Коломийченко МЗ УССР. Киев. ин-т эндокринологии им. А. И. Коломийченко МЗ УССР.

Физиол. журн., 1986, т. 32, № 2

Выводы

1. Полиглюкин (0,05—6 %-ная концентрация) не является веществом, высвобождающим гистамин из перитонеальных и плевральных тканевых базофилов крыс и не изменяет их реакцию на вещество 48/80 в опытах *in vitro*.

2. Динамика развития полиглюкинового отека стоп у крыс подобна таковой, обусловленной серотонином.

3. При внутривенном введении 6 %-ная концентрация полиглюкина обуславливает дегрануляцию тканевых базофилов соединительной ткани, брыжейки и перitoneальной жидкости крыс.

4. Внутрибрюшинное введение 6 %-ного раствора полиглюкина вызывает дегрануляцию только перитонеальных тканевых базофилов.

S. V. Timchenko, S. V. Pokrovskaya, L. P. Babenko

THE EFFECT OF POLYGLUCINE ON THE TISSUE BAZOPHILS IN RATS

0,05 %-6 % dextran M 60 000±10 000 concentration has no effect on the functional activity of tissue basophils in Wistar rats *in vitro*. 6 % concentration of polyglucine injected intravenously reliably increases the amount of degranulated mast cells in the peritoneal liquid, mesentary and connective tissue of feet. Being intraperitoneally injected this preparation has such an effect only on tissue basophils in the peritoneal liquid. Dynamics of feet edematization depends on the amount of dextran and serotonin injected. It is possible to suggest that dextran indirectly affect mast cells *in vitro*.

A. I. Kolomiichenko Institute of Otorhinolaryngology, Kiev;
Institute of Endocrinology and Metabolism, Kiev

- Бирюкова Р. Н. Статистика в клинических исследованиях.—М.: МЗ СССР и Центр. ин-та усовершенствования врачей, 1964.—130 с.
- Гущин И. С., Фредхольм Б., Увнаас Б. Действие папаверина и простогландина Е₁ на вызванное веществом 48/80 высвобождение гистамина из тучных клеток крыс// Патол. физиология и эксперим. терапия.—1975.—№ 6.—С. 3—12.
- Гущин И. С. Действие простагландин Е₁ и папаверина на анафилактическое высвобождение гистамина из тучных клеток// Там же.—1977.—№ 1.—С. 32—35.
- Мовэт Г. Острое воспаление // Воспаление, иммунитет и гиперчувствительность.—М.: Медицина, 1975.—С. 9—128.
- Твердынин М. С., Чернышева Е. С. К методике окраски азур-эозином гистологических срезов // Арх. патологии.—1972.—№ 6.—С. 80—81.
- Тринус Ф. П., Мохорт Н. А., Клебанов Б. М. Нестероидные противовоспалительные средства.—Кiev: Здоров'я, 1975.—240 с.
- Юсин В. А., Шкапина В. А., Костенко М. С. Действие декстрана на тучные клетки и сосудисто-тканевую проницаемость // Тр. Смолен. мед. ин-та.—1968.—Т. 26.—С. 39—41.
- Hedin H. Dextran induced anaphylactoid reactions in man. Immunological *in vitro* and *in vivo* studies //.—Uppsala.—1977.—44 p.
- Levy D. A. Histamine and serotonin // Mediators of Inflammation.—New York; London, 1974.—P. 141—161.
- Ravins A. La serotonin et ses antagoniste // La Presse Med.—1962.—70, N 33.—P. 1616—1619.
- Udaka K., Takeuchi Y., Movat H. Z. Simple Method for Quantitation of Enhanced Vascular Permeability // Proc. Soc. Exp. Biol. and Med.—1970.—133, N 4.—P. 1384—1387.
- West G. B. Ethylenediamine tetraacetic acid and histamine release from rat mast cells // Int. Arch. Allergy and Appl. Immunol.—1982.—68, N 4.—P. 399—401.

Киев. ин-т отоларингологии
им. А. И. Коломииченко МЗ УССР;
Киев. ин-т эндокринологии
и обмена веществ МЗ УССР

Поступила 03.12.84

Ю. П. Шорин, В. Г. Селятицкая,
Н. Г. Колосова, В. Ю. Куликов

О МЕХАНИЗМЕ АДАПТОГЕННОГО ЭФФЕКТА ТОКОФЕРОЛА ПРИ ДЛИТЕЛЬНОМ ДЕЙСТВИИ ХОЛОДА

В последние 10 лет заметно возрос интерес к новой группе адапто-генов — антиоксидантам. Защитное действие этих веществ обнаружено при лучевом поражении [2], интоксикации органическими ядами [15], гипоксии [14] и т. д. Анализируя литературу, можно заметить, что далеко не всегда и не все препараты, обладающие антиоксидантными свойствами, оказывают терапевтический эффект. Вероятно, для уточнения показаний к их применению необходимы дополнительные исследования механизмов действия этих веществ.

Считается, что в основе биологического действия антиоксидантов лежит их способность тормозить реакции перекисного окисления липидов (ПОЛ) [2, 7]. На уровне организма эти первичные эффекты антиоксидантов могут приобретать характер сложных системных изменений, важных для адаптации организма и реализуемых не только за счет торможения реакций ПОЛ. Так, в результате наших исследований установлено, что токоферол влияет на уровень секреции адаптивных гормонов [9]. В плане развития этих исследований мы изучали показатели реакции ПОЛ и функционального состояния надпочечников у животных, адаптированных к условиям низких температур на фоне включения в рацион токоферола.

Методика

Эксперименты проводили в зимний сезон на крысах-самцах линии Вистар массой тела 180—220 г (по 18—22 животных в группе). Воздействию холода (7 нед при +5 °C) подвергали интактных животных и крыс, получавших в течение всего времени опыта в рационе токоферол (α -токоферол ацетат) по 4 мг в сутки на крысу. Животных содержали в индивидуальных клетках. Режим освещения: 12 ч свет — 12 ч темнота (свет с 7 до 19 ч). Крысы получали пищу один раз в сутки в 16 ч при свободном доступе к воде. Для содержавшихся при +20 °C животных рацион составляли в соответствии с приказом № 1179 МЗ СССР от 10 октября 1983 г. Для животных, подвергавшихся действию холода, количество корма увеличивали в 1,5 раза [13].

О динамике реакций ПОЛ в печени судили по содержанию диеновых конъюгатов [8], фосфолипидов (ФЛ) [12] и холестерина (Х) 1 в липидах, восстановленного глутатиона [12] и токоферола [17], по активности НАДФН-зависимых глутатионпероксидазы и глутатионредуктазы [6]. Скорость аскорбат-зависимого переокисления (АЗП) липидов в 5 %-ном гомогенате печени оценивали по накоплению малонового диальдегида (МДА) [16]. Одновременно изучали продукцию кортикостероидов надпочечниками *in vitro*. Срезы надпочечников четырех крыс объединяли в две параллельные пробы и инкубировали при +37 °C в 4 мл бикарбонатного буфера Кребса—Рингера с 200 мг% глюкозы, насыщенного смесью O₂ (95 %) и CO₂ (5 %). В одну из параллельных проб добавляли кортикотропин (АКТГ; 6 ЕД на 1 г ткани). Через 2 ч инкубаты сливали, а к надпочечникам приливали свежий буфер с добавкой во все пробы прогестерона (80 мкг в каждую), а в одну из параллельных проб — АКТГ, и инкубировали еще 2 ч. Кортикоэстериоиды разделяли методом тонкослойной хроматографии и затем определяли их количество [10]. Кортикоэстерон в плазме крови определяли сатурационным методом [4]. Достоверность различия групп рассчитывали по *t*-критерию Стьюдента.

Результаты и их обсуждение

Через 7 нед постоянного пребывания в условиях низкой температуры (+5 °C) у адаптированных к холоду животных повышается специфическая резистентность к действующему фактору. В наших опытах показателем холодовой адаптации служило повышение выживаемости крыс при тестирующем охлаждении (—27 °C, табл. 1).

Активность реакций стабилизирована держание диеновых конъюгатов к холоду крыс несмотря на снижение токоферола (ТФ) несмотря на снижение пероксидазы (см. табл. 1). Чувствительность крыс к сопровождению липидов печени: увеличение показателя Х в общей вероятно, отражает уменьшение специальные исследования.

Таблица 1. Выживаемость и получавших

Показатель	контроль (+20 °C)	группа
Выживаемость, ч	2,6	2,6
Достоверность отличий (<i>P</i>)		

Таблица 2. Активность адаптации к холоду

Показатель	контроль (+20 °C)	группа
Диеновые конъюгаты, 0,56 ± 0,02		
E _{233m} /мг липидов		
МДА, нмоль/г печени	32,0 ± 0,5	
Скорость АЗП, нмоль МДА/г печени в мин	8,3 ± 0,2	
ТФ, мг/100 г печени	1,39 ± 0,05	
ФЛ, мкг/г липидов	526 ± 18	
Х, мкг/г липидов	144 ± 3	
Х/ФЛ	0,26	
Восстановленный глутатион, мкг/г печени	5,28 ± 0,1	
Активность глутатионредуктазы, нмоль НАДФН ₂ на мг белка	7,4 ± 1,2	
Активность глутатионпероксидазы, нмоль НАДФН ₂ на мг белка	30,5 ± 2,5	

Физиол. журн., 1986, т. 32, № 2

ОГО ЭФФЕКТА
ДЕЙСТВИИ ХОЛОДА

рес к новой группе адаптогенных веществ обнаружено органическими ядами [15], можно заметить, что дающие антиоксидантными свойствами. Вероятно, для уточнения дополнительные исследования

действия антиоксидантов беликового окисления липидов первичные эффекты антиоксидантных системных изменений, уемых не только за счет наших исследований усекреции адаптивных горьким мы изучали показатели надпочечников у животных на фоне температур на фоне включе-

ниях самцах линии Вистар массой 200 г. Действие холода (7 нед) приводило в течение всего времени к сокращению массы печени: 12 ч свет — 12 ч темноты в 16 ч при свободном доступе составляли в соответствии с нашими исследованиями [13]. Для животных, подвергавшихся воздействию холода, были измерены конъюгаты липидов, восстановленного глютатиона, глютатионпероксидазы и АЗП липидов альбуминового диальдегида (МАД) с надпочечниками *in vitro*. Параллельные проба и инкубации с Рингера с 200 мкг% глюкозы, параллельных проб добавляли кубаты сливали, а к надпочечникам прогестерона (80 мкг в каждой пробе) еще 2 ч. Кортикостероиды определяли их количественным методом [4]. Достоверность

ние

условиях низкой температуры повышается спектратору. В наших опытах повышение выживаемости при температуре -27°C , табл. 1).

Активность реакций ПОЛ в печени адаптированных к холоду животных стабилизирована на уровне, близком к контролю (табл. 2). Содержание диеновых конъюгатов, МДА, скорость АЗП у адаптированных к холоду крыс не отличаются от контроля. Не отличается содержание токоферола (ТФ) и восстановленного глютатиона в печени, несмотря на снижение активности глютатионредуктазы и глютатионпероксидазы (см. табл. 2). Адаптивное повышение холодовой устойчивости крыс сопровождалось характерными изменениями в составе липидов печени: увеличением удельной массы ФЛ и снижением этого показателя Х в общей липидной фракции. Снижение отношения Х/ФЛ, вероятно, отражает уменьшение вязкости липидов. Это подтверждают специальные исследования микроповерхности липосом, приготовленных из

Таблица 1. Выживаемость при тестирующем охлаждении (-27°C) контрольных и получавших токоферол (ТФ) крыс после холодовой адаптации

Показатель	Группа животных			
	контрольная (+20 °C)		холодовая адаптация (7 нед при +5 °C)	добавка ТФ в рацион (7 нед при +20 °C)
	I	II	III	IV
Выживаемость, ч	2,6±0,3	4,8±0,7	2,9±0,2	8,5±1,5
Достоверность отличий (P)	I-II <0,01	II-IV <0,05	III-IV <0,001	

Таблица 2. Активность реакций ПОЛ и систем их регуляции в печени крыс при адаптации к холоду контрольных и получавших токоферол (ТФ) животных

Показатель	Группа животных				Достоверность отличий (P)
	I	II	III	IV	
контрольная (+20 °C)	холодовая адаптация (7 нед при +45 °C)	добавка ТФ в рацион (7 нед при +20 °C)	холодовая адаптация на фоне добавок ТФ в рацион (7 нед при +5 °C)		
Диеновые конъюгаты, Е _{233nm} /мг липидов	0,56±0,02	0,58±0,03	0,60±0,03	0,43±0,02	III-IV <0,001
МДА, нмоль/г печени	32,0±0,4	34,8±1,2	23,0±0,4	19,4±0,3	I-III <0,001 II-IV <0,001
Скорость АЗП, нмоль МДА/г печени в мин	8,3±0,93	7,3±0,60	0,96±0,08	0,96±0,03	I-IV <0,001 II-IV <0,001
ТФ, мг/100 г печени	1,39±0,11	1,31±0,18	1,84±0,15	2,57±0,32	I-IV <0,01 II-IV <0,01 I-III <0,05
ФЛ, мкг/г липидов	526±15	687±30	586±22	657±31	I-II <0,001 III-IV <0,05
Х, мкг/г липидов	144±3	99±8	161±14	70±5	I-II <0,001 III-IV <0,001
Х/ФЛ	0,26	0,14	0,27	0,11	
Восстановленный глютатион, мкг/г печени	5,28±0,39	5,40±0,36	5,90±0,30	5,70±0,78	
Активность глютатионредуктазы, нмоль НАДФ _H на мг белка	7,4±1,80	4,5±0,88	9,7±2,20	4,2±0,96	III-IV <0,05
Активность глютатионпероксидазы, нмоль НАДФ _H на мг белка	30,5±2,8	17,1±4,0	27,4±4,0	17,1±0,23	I-II <0,001 II-IV <0,01

липидов печени крыс: в контроле она составляла 1,13 П, а у адаптированных к холода — 0,85 П (исследовали с помощью флюоресцентного зонда пирена по ранее описанной методике [3]).

В кортикостероидной регуляции у адаптированных к холоду крыс наблюдались сложные изменения. Следует отметить увеличение массы надпочечников и высокое содержание кортикоэстера в плазме крови. В то же время биосинтез этого гормона в ткани надпочечников имеет тенденцию к снижению (табл. 3). Выраженное снижение продукции дезоксикортикоэстера (ДОК) и отсутствие реакции на АКТГ *in vitro* свидетельствуют о торможении ранних АКТГ-зависимых этапов биогенеза стероидов у адаптированных к холоду крыс. Активность последующих этапов, как видно из опытов с добавкой прогестерона, у контрольных и опытных крыс одинакова (см. табл. 3).

Таблица 3. Содержание кортикоэстера в плазме крови крыс, массах их надпочечников и продукция стероидов срезами надпочечников контрольных и получавших токоферол (ТФ) животных при холодовой адаптации

Показатель	Группы животных				Достоверность отличий (Р)
	контрольная (+20 °C)	холодовая адаптация (7 нед при +5 °C)	добавка ТФ в рацион (7 нед при +20 °C)	холодовая адаптация на фоне добавок ТФ в рацион (7 нед при +5 °C)	
	I	II	III	IV	
Содержание кортикоэстера в плазме, мкг/100 мл	8,8±0,7	18,6±1,6	9,4±1,5	8,2±1,3	I-II <0,01
Масса надпочечников, мг/100 г массы тела	15,9±0,7	19,6±1,4	15,9±0,6	18,8±0,4	I-II <0,05 III-IV <0,01
Продукция стероидов ¹ в инкубационной среде					
1. Альдостерон	0,94±0,19	0,74±0,23	1,15±0,10	0,86±0,35	I-III <0,01
2. Кортикоэстерон	4,19±0,38	3,30±0,17	2,84±0,16	2,85±0,29	I-II <0,05
3. Дезоксикортикоэстерон	1,00±0,22	0,35±0,07	0,18±0,02	0,20±0,04	I-III <0,01
Продукция стероидов при внесении в среду инкубации АКТГ					
4. Альдостерон	1,02±0,17	1,09±0,23	1,26±0,46	1,16±0,29	I-II <0,05
5. Кортикоэстерон	5,64±0,55	3,48±0,47	5,93±0,20	5,48±0,35	I-II <0,05
6. Дезоксикортикоэстерон	1,51±0,32	0,40±0,15	0,50±0,18	0,56±0,12	I-III <0,05
Продукция стероидов при внесении в среду инкубации прогестерона					
7. Альдостерон	1,64±0,20	2,08±0,36	0,97±0,16	1,23±0,20	
8. Кортикоэстерон	5,03±0,71	4,52±0,78	4,98±1,23	4,13±0,09	
9. Дезоксикортикоэстерон	5,33±0,77	6,07±0,10	5,36±0,40	4,78±0,98	
Достоверность отличий (Р)	3-9 <0,01 6-7 <0,01	1-7 <0,05 3-9 <0,001	2-5 <0,001 3-9 <0,001	4-7 <0,001 2-8 <0,05 6-9 <0,001 6-9 <0,01	3-6 <0,05 3-9, 6-9 <0,01

¹ Продукция стероидов выражена в микрограммах на 100 мг (ткани)-час

Длительное включение токоферола в рацион животных, содержащихся в условиях температурного комфорта, вызвало отчетливое снижение активности ПОЛ. Об этом свидетельствовало снижение уровня МДА в печени. Скорость АЗП липидов в гомогенате значительно снизилась, остальные показатели практически не отличались от таковых у контрольных крыс, несмотря на увеличение содержания ТФ в печени (см. табл. 2).

В изменении гормональной регуляции наиболее существенно снижение биосинтеза дезоксикортикоэстера и кортикоэстера в инкуба-

тых надпочечников. Хомонов после добавлении или регуляторном за (см. табл. 3). Важно лом сдвиги в системе ности ПОЛ, устойчивое уровне контроля (см. т. Наибольший интерес животных, содержащихся в холоде, снижение активности щиты. К числу первичной адаптации, след (см. табл. 2). Длительное привело к тому было снижено содержание коньюгатов в липидах крысы было значительно температуре, и в два животных (см. табл. 2). ТФ крыс практически клонения вызваны, очевидно массы надпочечник

Полученные данные положения о механизме для использования служили данные о чрезреакций организма. В данной защите стали различных адаптаций. Однотойчивости к холода мантиоксидантных системы, содержания ТФ, а пидов [5]. В то же время вождающееся торможение крыс при остром что показатели активности могут быть использованы организма.

Протекторные свойства также с их способностью к последствиям биосинтеза кортикоэстера, содержащихся в холоде, иниции АКТГ повышается действием ТФ формируя регуляции, частное просорное действие ТФ. И не повышает устойчивость его применяют однажды.

Подводя итог, можно сказать, что расход антиоксидантного процесса, формирования специал

авляла 1,13 П, а у адаптируемых помостью флюоресцентной [3].
тированных к холоду крыс отметить увеличение массы икостерона в плазме крови. Ткани надпочечников имеетное снижение продукции де-реакции на АКТГ *in vitro* АКТГ-зависимых этапов био-ду крыс. Активность послед-авкой прогестерона, у конт-бл.3).

змеи крови крыс, массах их надпочечников контрольных при холодовой адаптации

ТФ	холодовая адаптация на фоне добавок ТФ в рацион (7 нед при +5 °C)	Достоверность отличий (Р)
		IV

8,2±1,3	I-II <0,01
18,8±0,4	I-II <0,05 III-IV <0,01

10	0,86±0,35	I-III <0,01
16	2,85±0,29	I-III <0,01
22	0,20±0,04	I-II <0,05 I-III <0,01

16	1,16±0,29	I-II <0,05
20	5,48±0,35	I-II <0,05
18	0,56±0,12	I-III <0,05

16	1,23±0,20	I-II <0,05
23	4,13±0,09	I-II <0,05
10	4,78±0,98	I-II <0,05
20	4—7 <0,001	I-II <0,05
20	2—8 <0,05	I-II <0,05
1	3—6 <0,05	I-II <0,05
3—9, 6—9 <0,01		I-II <0,05

100 мг (ткани)-час	

цион животных, содержащих, вызвало отчетливое снижение уровня прогестерона значительно снизившиеся от таковых содержания ТФ в печени

наиболее существенно снижение прогестерона в инкуба-

тах надпочечников. Хорошо выраженный прирост продукции этих гормонов после добавления АКТГ и прогестерона говорит о функциональном или регуляторном характере торможения фонового стероидогенеза (см. табл. 3). Важно отметить, что, несмотря на благоприятные в целом сдвиги в системе гормональной регуляции и снижение интенсивности ПОЛ, устойчивость животных этой серии к холodu оставалась на уровне контроля (см. табл. 1).

Наибольший интерес представляют данные, полученные на группе животных, содержавшихся на холоде и получавших ТФ. Как и у адаптированных к холоду контрольных животных, в их печени произошло снижение активности ферментативных факторов антиперекисной защиты. К числу перестроек, характеризующих специфичность холодовой адаптации, следует отнести и уменьшение коэффициента Х/ФЛ (см. табл. 2). Длительное включение ТФ в рацион, как и в предыдущей группе, привело к торможению ПОЛ. Причем помимо уровня МДА было снижено содержание первичных продуктов ПОЛ — дневных коньюгатов в липидах печени. Накопление ТФ в печени этой группы крыс было значительнее, чем у тех, что содержались при комнатной температуре, и в два раза превышало выявленное у контрольных животных (см. табл. 2). Гормональная реакция на холод у получавших ТФ крыс практически отсутствовала. Выявленные функциональные отклонения вызваны, очевидно, влиянием токоферола, и только увеличение массы надпочечников связано с действием холода.

Полученные данные позволяют высказать некоторые общие предположения о механизмах действия токоферола. Как известно, основанием для использования антиоксидантов в качестве адаптогенов послужили данные о чрезмерной активации ПОЛ в динамике стрессорных реакций организма. В связи с этим активацию механизмов антиоксидантной защиты стали рассматривать как необходимый компонент различных адаптаций. Однако, как показали наши данные, увеличение устойчивости к холоду может не сопровождаться возрастанием мощности антиоксидантных систем: активности ферментов антиперекисной защиты, содержания ТФ, а также общей антиокислительной активности липидов [5]. В то же время длительное включение ТФ в рацион, сопровождающееся торможением ПОЛ, не привело к повышению выживаемости крыс при остром охлаждении (см. табл. 1). Из этого следует, что показатели активности антиоксидантных систем организма не всегда могут быть использованы в качестве критерия адаптивной устойчивости организма.

Протекторные свойства антиоксидантов некоторые авторы связывают также с их способностью тормозить развитие стресса и его патологических последствий [7]. Наши данные показывают, что снижение биосинтеза кортикоидов под влиянием ТФ происходит как у адаптированных к холоду крыс, так и у тех, которые содержались в условиях термокомфорта. При этом чувствительность надпочечниковой ткани к АКТГ повышается. Эти данные позволяют говорить о том, что под действием ТФ формируется более экономный тип кортикоидной регуляции, частное проявление которого — так называемое «антистрессорное» действие ТФ. Как видно из результатов исследования, сам ТФ не повышает устойчивость к холоду. Он эффективен только тогда, когда его применяют одновременно с действием фактора адаптации — холода.

Подводя итог, можно предположить, что мобилизация и повышенный расход антиоксидантов характерны лишь для ранней фазы адаптационного процесса. Длительность этой фазы соответствует периоду формирования специализированных адаптивных перестроек.

ON THE MECHANISM OF ADAPTOGENIC TOCOPHEROL
EFFECT DURING PROLONGED ACTION OF COLD

Inclusion of tocopherol into the diet of rats (daily 4 mg for 7 weeks) does not change the survival rate of rats at -27°C and raises it in cold-adapted rats as compared with the corresponding animals of the control group without tocopherol. Tocopherol decreases the liver lipid peroxidation and the corticosteroid biosynthesis in both the rats maintained under comfort conditions and cold-adapted ones and increases adrenal tissue sensitivity to ACTH and progesterone. It is supposed that tocopherol induces the formation of more economical type of corticosteroid regulation which manifests, for example, in the so-called «anti-stress» effect of tocopherol; the antioxidant system activity is not directly associated with adaptive stability and cannot always serve as a criterion of its increase. It is very important that tocopherol raises the specific organism resistance when it is used simultaneously with the action of cold as an adaptive factor.

Institute of Clinical and Experimental Medicine, Siberian Branch of the Academy of Sciences of the USSR, Novosibirsk

1. Балаховский С. Д., Балаховский И. С. Методы химического анализа крови.—М.: Медгиз, 1953.—752 с.
2. Бурлакова Е. Б., Алексенко А. В., Молочкина Е. М. и др. Биоантоксиданты в лучевом поражении и злокачественном росте.—М.: Наука, 1975.—211 с.
3. Владимиров Ю. А., Добрецов Г. Е. Флуоресцентные зонды в исследовании биологических мембран.—М.: Наука, 1980.—320 с.
4. Волчек А. Г. Определение микроколичеств кортикостерона в плазме крыс методом сатурационного анализа // Науч. докл. высш. шк. Сер. Биол. науки.—1973.—1, № 10.—С. 124—129.
5. Колосова Н. Г., Шорин Ю. П., Селятицкая В. Г. Реакции перекисного окисления липидов и особенности эндокринной регуляции при адаптации крыс к холоду // Физиологические проблемы адаптации: Тез. докл. IV Всесоюз. симпоз. по физиол. пробл. адаптации (Таллин, 22—24 мая 1984 г).—Тарту, 1984.—С. 68—69.
6. Ланкин В. З., Гуревич С. М. Ингибирование переокисления липидов и детоксикация липоперекисей защитными ферментными системами (супероксид-дисмутаза, глутатион-пероксидаза и глутатион-редуктаза) при экспериментальном злокачественном росте // Докл. АН СССР.—1976.—226, № 3.—С. 705—708.
7. Меерсон Ф. З. Адаптация, стресс и профилактика.—М.: Наука, 1981.—260 с.
8. Меерсон Ф. З., Казан В. Е., Прилипко Л. Л. и др. Активация перекисного окисления липидов при эмоционально-болевом стрессе // Бюл. эксперим. биологии и медицины.—1979.—№ 10.—С. 404—406.
9. Шорин Ю. П., Колосова Н. Г., Папафилова О. В. и др. Состояние нейро-эндокринной системы у животных при введении фармакологических доз про- и антиоксидантов // Клинические и экспериментальные аспекты общей патологии: Науч. труды СО АМН СССР.—Новосибирск, 1980.—С. 83—89.
10. Angelico R., Cavina G., D'Antona A., Giocoli Y. Fractionation and determination of the lipid and steroid // J. Chromatogr.—1965.—18, N 1, p. 57—68.
11. Fiske C. H., Subbarow I. The colorimetric determination of phosphorus // J. Biol. Chem.—1925.—66, N 3.—P. 375—400.
12. Kay W. W., Marfitt K. C. The determination of blood glutathione // Biochem. J.—1960.—74, N 1.—P. 203—208.
13. Kuroshima A., Doi K., Ohno T. Role of glucagon in metabolic accumulation to cold and heat // Life Sci.—1978.—23, N 13.—P. 1405—1410.
14. Mengel C. E. The effects of hyperoxia in red cells as related to tocopherol deficiency // Erythrocyte: Structure and function.—Amsterdam; Oxford, 1975.—P. 163—167.
15. Reynolds E. S., Moslem M. T. Free-radical damage in liver // Free Radicals Biol.—1980.—N 4.—P. 49—94.
16. Staelin R. S., Williams M. A., Utsumi K. et al. Essential fatty acid deficiency and mitochondrial function // Arch. Biochem. and Biophys.—1969.—131, N 5, p. 629—642.
17. Taylor S. L., Laniden M. P., Tappel A. L. Sensitive fluorometric method for tissue tocopherol analysis // Lipids.—1976.—11, N 7.—P. 530—538.

Институт клинической и экспериментальной медицины СО АМН СССР

Поступила 03.11.84

Установлено, что длительное действие химико-биологических агентов на организм крыс, несмотря на увеличение содержания ТФ в печени (см. табл. 2)

В изменении гормональной регуляции наиболее существенно снижено биосинтез дезоксикортикоэстера и кортикоэстера в инкуба-

МИКРОЦИРКУЛЯЦИЯ
ИХ ГОЛОДА
АЗОТИ

Микроциркуляция тесно взаимосвязана и играет интимную роль в метаболизме организма. Установлено, что ганго-тканевом, субъектом исследования является голоданием при токсическом действии азотистыми препаратами.

Паренхиматозный голод (4 сут) под кожным введением содержали на безбелковое питание проводили в течение (на 100 г массы тела) скопии. Этот метод, применив воспаления и миграции лейкоцитов, одним из основных методов кишечную инфекцию через небольшой параллельно помешают в камеры из плексигласа, смонтированного на лика осуществляется автоматическое держание постоянной температуры брызгов, а также погружаются раствором Рингера, наблюдать и фотографировать.

Было поставлено 6 белкового голодания (10 животных (8 крыс), после бывшим парентеральным методом ЦОЛИПК (13 крыс).

Брызговая миграция, существующих участках микрососудов, людьми наблюдалось изменений в конфигурации некоторое сравнительных ляров и учащение перипиллярах (рисунок, а).

У животных, которых обнаружили значительное уменьшение

1. Kolosova, V. Yu. Kulikov

GENIC TOCOPHEROL
ACTION OF COLD

aily 4 mg for 7 weeks) does not it in cold-adapted rats as compared without tocopherol. Tocopherol de- teroid biosynthesis in both the rats d ones and increases adrenal tissue that tocopherol induces the formation which manifests, for example, in antioxidant system activity is not always serve as a criterion of its specific organism resistance when adaptive factor.

ан
сибирск
химического анализа крови.—М.:
4. и др. Биоантоксиданты в лече-
ку, 1975.—211 с.
ые зонды в исследовании биологии-

костерона в плазме крыс методом
шк. Сер. Биол. науки.—1973.—1,

Реакции перекисного окисления
и адаптации крыс к холоду // Фи-
V Всесоюз. симпоз. по физиол.
Тарту, 1984.—С. 68—69.

желчных липидов и детоксикация
ми (супероксид-дисмутаза, глюта-

специфическом злокачественном
05—708.

—М.: Наука, 1981.—260 с.
Активация перекисного окисления
л. эксперим. биологии и медицины

др. Состояние нейро-эндокринной
жизни доз про- и антиоксидантов //
патологии: Науч. труды СО АМН
57—68.

ation and determination of the
ation of phosphorus // J. Biol.

lood glutathione // Biochem. J.—
n metabolic accumulation to cold
H0.

related to tocopherol deficiency //
Oxford, 1975.—P. 163—167.

e in liver // Free Radicals Biol.—

ssential fatty acid deficiency and
s.—1969.—131, N 5, p. 629—642.
Fluorometric method for tissue to-
—538.

Поступила 03.11.84

УДК 616.15—008.1:616.36—002.099:615.857.3

Р. М. Гланц, А. Ф. Вавринюк

МИКРОЦИРКУЛЯЦИЯ В БРЫЖЕЙКЕ КРЫС ПРИ БЕЛКОВОМ
ИХ ГОЛОДАНИИ И ПАРЕНТЕРАЛЬНОМ ПИТАНИИ
АЗОТИСТЫМИ ПРЕПАРАТАМИ НА ФОНЕ
ТОКСИЧЕСКОГО ГЕПАТИТА

Микроциркуляторные изменения в печени при развитии гепатита тесно взаимосвязаны с метаболическими и морфологическими нарушениями и играют инициирующую роль в патогенезе этого заболевания [1, 4, 7, 8, 9, 10]. Одним из эффективных методов коррекции нарушенного метаболизма, особенно белкового, является парентеральное питание. Установлено, что основные процессы при этом происходят на органо-тканевом, субклеточном и молекулярном уровнях [2, 3, 5]. В комплексе исследований, направленных на изучение механизма коррекционной терапии нарушения белкового метаболизма при белковом голодании при токсическом паренхиматозном гепатите, мы уделили внимание брыжечной микроциркуляции при парентеральном питании азотистыми препаратами в эксперименте на белых крысях.

Методика

Паренхиматозный гепатит у крыс вызывали четырехкратным (с интервалами в 3—4 сут) подкожным введением 0,5 мл четыреххлористого углерода, после чего животных содержали на безбелковом рационе в течение 8 сут [2, 5]. Парентеральное азотистое питание проводили в течение 8 сут белкового голодания (из расчета 0,3 г условного белка на 100 г массы тела) [2]. Брыжечную микроциркуляцию изучали методом биомикроскопии. Этот метод, примененный впервые Конгеймом в 1867 г. для изучения процессов воспаления и миграции лейкоцитов, в настоящее время усовершенствован [6] и является одним из основных методов приживленного исследования микроциркуляции. Согласно этому методу кишечную петлю крысы, находящуюся под уретановым наркозом, извлекают через небольшой парамедиальный разрез справа на уровне нижней трети живота и быстро помещают в камеру для кишечной петли специального нагревательного столика из плексигласа, смонтированного на предметном столике микроскопа. Подогревание столика осуществляется автоматическим нагревательным элементом, обеспечивающим поддержание постоянной температуры (37 °C) площадки световода, на которой помещается брыжейка, а также петли кишки. Брыжейка и извлеченная кишка постоянно орошаются раствором Рингера, нагретым до 37 °C, что дает возможность длительно визуально наблюдать и фотографировать микрососудистую сеть брыжейки.

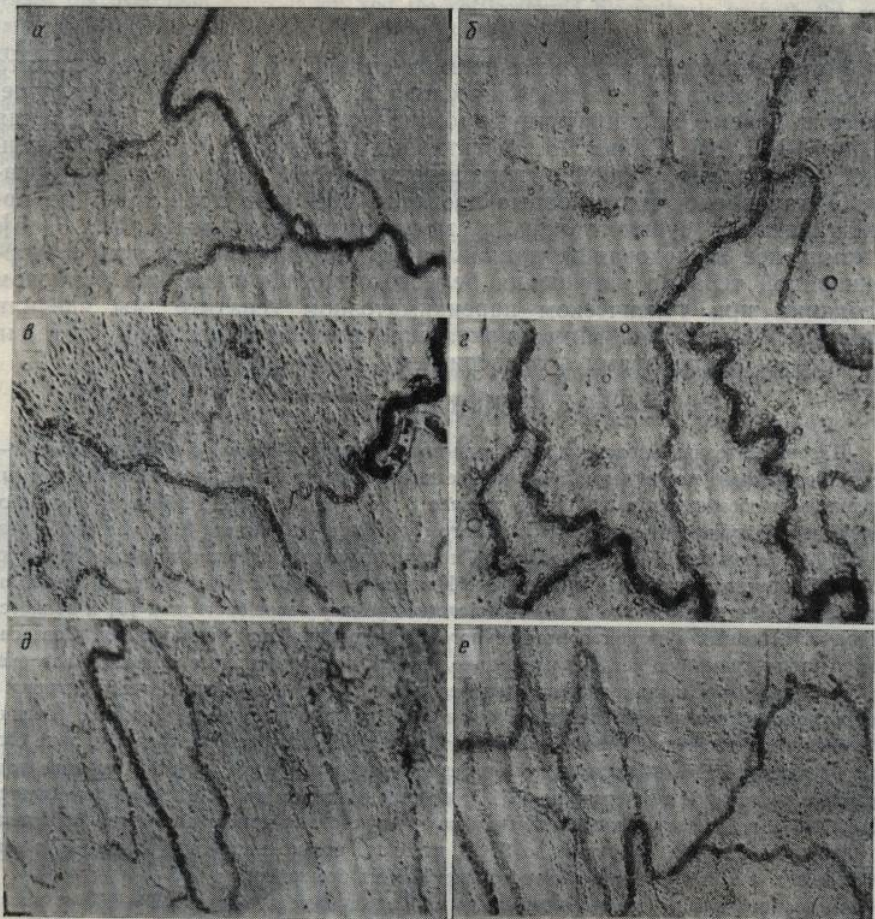
Было поставлено 6 серий опытов на 64 белых крысях массой 180—230 г: после белкового голодания (10 крыс), после четырехкратного введения CCl_4 контрольным животным (8 крыс), после белкового голодания и введения CCl_4 (10 крыс), то же с последующим парентеральным питанием аминосолом шведской фирмы (12 крыс), полинамилом ЦОЛИПК (13 крыс) и улучшенным гидролизатом казеина ЦОЛИПК (11 крыс).

Результаты и их обсуждение

Брыжечная микроциркуляция у крыс, содержащихся на безбелковой диете, существенно не отличалась от таковой контрольных животных. Как характер кровотока, так и дисперсность крови во всех участках микрососудистой сети оставались в пределах нормы, не наблюдалось изменений морфологического порядка в стенках микрососудов или их конфигурации патологического характера. Отмечалось лишь некоторое сравнительное уменьшение числа функционирующих капилляров и учащение периодов плазматического кровотока в длинных капиллярах (рисунок, а).

У животных, которым вводили CCl_4 , в брыжечной микроциркуляции обнаружили значительные патологические изменения. Прежде всего заметно уменьшилось число действующих капилляров в большей

части поля зрения, особенно в участках, далеко отстоящих от магистральных брыжеечных артерий. Во многих участках в области терминальных приносящих артериол наблюдались сосуды со значительно расширенным просветом (до 150—200 мкм). В отдельных участках микроциркуляторного ложа кровоток замедлен, особенно в тех собирательных венулах, просвет которых был расширен до 50—60 мкм. Замедление кровотока в них сопровождалось агрегацией форменных



Брыжечная микроциркуляция у белых крыс:

a — после 8-суточного белкового голодания; *б* — при токсическом гепатите, вызванном CCl_4 ; *в* — при белковом голодании и токсическом гепатите; то же после парентерального питания: *г* — аминосолом; *д* — полиамином, *е* — гидролизатом казеина (прижизненные микрофотограммы; об. 8, гом. 5).

элементов, которые выключали из кровотока часть капилляров. Во многих местах брыжейки встречались точечные кровоизлияния в очагах стаза и деструктивные изменения стенок отдельных микрососудов. Стенки многих капилляров набухшие, сами капилляры извилистой формы (рисунок, *б*). Выключение функции значительной части капилляров осуществлялось также и за счет периодического сжатия пре-капиллярных сфинктеров на длительный (20—30 с) срок, что свидетельствовало о приспособительной реакции на замедление кровотока в отводящих сосудах. Подтверждением этого было усиление активации артериоло-венуллярных анастомозов.

У животных, которых после введения им CCl_4 содержали на безбелковой диете, микроциркуляторные нарушения были еще более выражены. Наряду с описанными выше изменениями во многих участках

микроциркуляторной сре-ренные капилляры (дпросвета, но и стенок неи форменными элемдельных микрососудах легающих капиллярах воток прерывистый, с элементов, причем пер. Значительная часть ка-дельных артериолах и особыенно в тех, в кото-ным расширением про-слоистый вид, что сви. Кроме мелких, точеч-более обширные, глав-жа» сопровождались ческие и функциональ-свидетельствуют о зна-шения при токсическо-том, что эти нарушен-некоторые типические

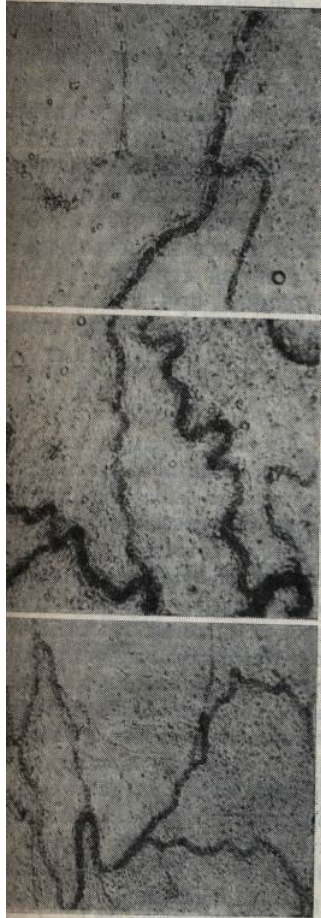
В серии опытов, г. применяли парентераль-ное уменьшение описа-ния. Так, наблюдалось в части капилляров и нее продолжительными клеточными элементами, предовалось с равномер-которых в основном слялись порции сплош-ную нормализацию фу-дезагрегации клеточных чаились очаги стаза и у-но меньше было ми-набухания сосудистых ров и выносящих венул.

Применение для к еще более заметному же встречались капил-деркки прохождения с В артериалах и венулах рактер, периодические были редкими и крат-встречались сосуды с-ния и извилистые кап-териолы и венулы сох-

Аналогичные изме-ну улучшения внутрит-ных, которым для паре-зина. Прежде всего кровообращения за сче-стков микросудистой уменьшению тех расст-ли место в разгаре раз-голодания. Также реже-ками, капилляры изви-воизлияния и скоплени- (рисунок, *е*).

Проведенные иссле-голодания и токсическо-

далеко отстоящих от магистральных участках в области терялись сосуды со значительно (до 50—60 мкм). В отдельных участках сдавлен, особенно в тех сдавлен расширен до 50—60 мкм. Илось агрегацией форменных



белых крыс:
ком гепатите, вызванном CCl_4 ; в — при
парентеральном питании; г — амино-
низенные микрофотограммы; об. 8,

ока часть капилляров. В очагах кровоизлияния в очагах отдельных микрососудов, ми капилляры извилистой значительной части капилляров периодического сжатия пре- ~ 30 с) срок, что свидетельствует о замедление кровотока в отдельных участках было усиление активации

им CCl_4 содержали на без-
зародыша были еще более вы-
ражены во многих участках

микроциркуляторной сети брыжейки встречались значительно расширенные капилляры (до 14—16 мкм) не только в связи с увеличением просвета, но и стенок сосудов. Просвет в таких капиллярах был заполнен форменными элементами, продвигавшимися толчкообразно. В отдельных микрососудах наблюдался «сладж», вызывающий стаз в прилегающих капиллярах и мелких артериолах. В части капилляров кровоток прерывистый, с резкой сменой скорости продвижения форменных элементов, причем период замедления кровотока составлял 10—25 с. Значительная часть капилляров — с плазматическим кровотоком. В отдельных артериолах и венулах кровоток имел турбулентный характер, особенно в тех, в которых утолщение стенок сочеталось с неравномерным расширением просвета. Набухшие стенки таких сосудов имели слоистый вид, что свидетельствовало о нарушениях их проницаемости. Кроме мелких, точечных кровоизлияний, в брыжейке встречались и более обширные, главным образом в тех участках, где явления «сладжа» сопровождались стазом (рисунок, в). Наблюдаемые морфологические и функциональные изменения брыжечной микроциркуляции свидетельствуют о значительных нарушениях нутритивного кровообращения при токсическом гепатите на фоне белкового голодаания, и о том, что эти нарушения включаются как важное патогенное звено в некоторые типичные патологические процессы.

В серии опытов, где на фоне данной экспериментальной патологии применяли парентеральное питание аминосолом, было отмечено заметное уменьшение описанных выше нарушений брыжечной микроциркуляции. Так, наблюдавшие ранее периодические замедления кровотока в части капилляров и собирательных венул были более редкими и менее продолжительными (не более 12 с), беспорядочное продвижение клеточных элементов крови в расширенных артериолах и венулах чередовалось с равномерным, ламинарным. В капиллярах, кровоток в которых в основном сохранялся плазматическим, периодически появлялись порции сплошного ряда эритроцитов, что указывало на некоторую нормализацию функции прекапиллярных сфинктеров и усиление дезагрегации клеточных элементов в артериолах. Заметно реже встречались очаги стаза и участки с извилистыми капиллярами, сравнительно меньше было микрокровоизлияний. Сохранялось, однако, явление набухания сосудистых стенок и увеличение просвета в части капилляров и выносящих венул (рисунок, г).

Применение для парентерального питания полиамина приводило к еще более заметному улучшению брыжечной микроциркуляции; реже встречались капилляры с плазматическим кровотоком, периоды задержки прохождения форменных элементов были кратковременными. В артериолах и венулах кровоток имел в основном ламинарный характер, периодические замедления продвижения крови в микрососудах были редкими и кратковременными (не более 8 с). Заметно меньше встречались сосуды с утолщенными стенками, единичные кровоизлияния и извилистые капилляры, хотя часть капилляров, отдельные артериолы и венулы сохраняли увеличенный диаметр (рисунок, д).

Аналогичные изменения микроциркуляторных нарушений в сторону улучшения нутритивного кровообращения наблюдались у животных, которым для парентерального питания применяли гидролизат казеина. Прежде всего отмечалось заметное оживление капиллярного кровообращения за счет восстановления проходимости почти всех участков микросудистой сети брыжейки, что, очевидно, способствовало уменьшению тех расстройств транскапиллярного обмена, которые имели место в разгаре развития токсического гепатита на фоне белкового голодаания. Также реже встречались микрососуды с утолщенными стенками, капилляры извилистой конфигурации, участки стаза, микрокровоизлияния и скопления клеточных агрегатов находили только изредка (рисунок, е).

Проведенные исследования показали, что в условиях белкового голодаания и токсического поражения печени нарушения белкового ме-

таболизма сопровождаются существенными сдвигами нутритивного кро-вообращения, что свидетельствует о том, что нарушение микроциркуляции — одно из важных звеньев в развитии патологических процессов, в том числе и в патогенезе белковой недостаточности. Коррекция метаболических нарушений такими азотистыми препаратами, как полиамин, аминосол и гидролизат казеина, в существенной мере устраняет их, что, в частности, проявляется в прогрессирующем улучшении транс-капиллярного обмена, морфологических и реологических показателей системы микроциркуляции.

УДК 612.46—084:616—005.1—615.

ИЗУЧЕНИЕ В НЕФРОНЕ МЕ ПРИ КРОВОI КОМПЛЕКСНЫМИ

Нарушения функции осложнений кровопотери чина развития необратимы экспериментальны что огромное значение почек имеют сроки свойства переливаемо вано использование в состав которых, на способных на определение восстанавливать гемодинамику, но способны улучшать функционирование

Цель нашей работы — изучение кровопотери при возмещении растворами на основе глюкозы — полиглюкина и личной, янтарной и эти соединения обладают способностью улучшать функционирование

R. M. Glants, A. F. Vavrinuk

MICROCIRCULATION IN THE MESENTERY OF RATS IN THE CASE OF THEIR PROTEIN DEFICIENCY AND PARENTERAL FEEDING ON THE NITROGEN DRUGS AGAINST A BACKGROUND OF TOXIC HEPATITIS

Results obtained from biomicroscopic investigations of the mesentery microcirculation in the albino rats with the protein deficiency, toxic hepatitis induced by carbon tetrachloride, and in the case of parenteral feeding on nitrogen drugs are presented. In the case of toxic hepatitis (especially against a background of protein deficiency) considerable disturbances in the microcirculation are observed: extasia of arterioles, swelling of vascular walls, embolism by aggregates, stasis, disturbance of the capillary blood flow, punctate hemorrhages. The parenteral feeding on aminosol, polyamine and casein hydrolysate considerably decreases these disturbances delaying the development of morphological and functional changes of the pathologic character.

Institute of Hematology and Blood Transfusion, Lvov

1. Абдулаев Н. Х., Каримов Х. Я., Иргашев М. К. Сопоставление метаболических показателей и микроциркуляции печени при ее различных токсических поражениях // Патол. физиология и эксперим. терапия.— 1976.— № 4.— С. 29—33.
2. Гланц Р. М. Нейрогуморальное направление в трансфузиологии.— Л.: Наука, 1983.—239 с.
3. Гланц Р. М., Усиков Ф. Ф. Парентеральное питание больных.— М.: Медицина, 1979.— 240 с.
4. Селезнев С. А., Вашетина С. М., Мазуркевич Г. С. Комплексная оценка кровообращения в экспериментальной патологии.— Л.: Медицина, 1976.—207 с.
5. Ткач Е. А., Яковенко А. Н., Вавринюк А. Ф. и др. Взаимосвязь между изменениями белкового метаболизма, его коррекцией и функциональным состоянием тканевого звена системы гемостаза // I Всесоюз. съезд гематологов и трансфузиологов.— М.: Медицина, 1979.— С. 342—345.
6. Чернух А. М., Александров П. Н., Алексеев О. В. Микроциркуляция.— М.: Медицина, 1984.—429 с.
7. Чернух А. М., Коваленко Н. Я. Нарушения микроциркуляции и сосудисто-тканевой проницаемости при остром диффузном экспериментальном гепатите // Бюл. эксперим. биологии и медицины.— 1973.—66, № 5.— С. 12—15.
8. McCluskey S. G., McCuskey R. S. «In vivo» microscopic study of the response of the hepatic microvascular system to carbon tetrachloride poisoning // Microvasc. Res.— 1971.—3, N 4.— P. 354—360.
9. Jacobziner H., Raybin H. W. Carbon tetrachloride poisoning // N. Y. State J. Med.— 1962.—15.— P. 2991—2992.
10. Rappaport A. M. The microvascular hepatic unit // Microvasc. Res.— 1973.—6, N 2.— P. 212—228.

Львов, ин-т гематологии и переливания крови
МЗ УССР

Поступила 13.11.84

Исследование локализации остановленного тока мочи из различных частей канальца

Опыты выполнены на крысах с помощью гексенала (доза 45 мг/кг), введенного в вену. На животных вводили 20 %-ный раствор гексенала в 5 % (0,3 мл/кг) растворе глюкозы. После чего катетер для анализа. За 2 мин до введения гексенала вводили 35 % (0,3 мл/кг) гиосульфита

После снятия зажима на катете в течение 2,5 мин (после открытия зажима) мы получали промежуточные пробы мочи из различных частей канальца. Для этого из каждого канальца отбирали по 100 мкг мочи, смешивали с 100 мкг гексенала и наконец, в промежуточных пробах определяли концентрацию гексенала в моче. Затем, наложив зажим на канальцы, мы определяли концентрацию гексенала в моче из канальца, в котором зажим был наложен. Время наложения зажима на канальцы было 2,5 мин.

Остановку тока мочи осуществляли на 50 % общей массы канальца в течение 1 часа инфузии плазмозаменителя внутривенно струйно с переходом на капельную инфузию. Время наложения зажима на канальцы было 2,5 мин.

В плазме крови и пробах мочеотделения, определяли концентрацию гексенала в моче из канальца, в котором зажим был наложен.

Физиол. журн., 1986, т. 32, № 2

В. И. Федоров

**ИЗУЧЕНИЕ ПРОЦЕССОВ МОЧЕОБРАЗОВАНИЯ
В НЕФРОНЕ МЕТОДОМ ОСТАНОВЛЕННОГО ТОКА МОЧИ
ПРИ КРОВОПОТЕРЕ И ИНФУЗИОННОЙ ТЕРАПИИ
КОМПЛЕКСНЫМИ ПЛАЗМОЗАМЕЩАЮЩИМИ РАСТВОРАМИ**

сдвигами нутритивного кро-
что нарушение микроцирку-
ции патологических процессов,
остаточности. Коррекция ме-
ми препаратами, как полиа-
успешственной мере устраняет
сирующем улучшении транс-
реологических показателей

гипук
OF RATS IN THE CASE
ARENTERAL FEEDING
ROUND OF TOXIC HEPATITIS

ons of the mesentery microcircula-
tic hepatitis induced by carbon tet-
itrogen drugs are presented. In the
l of protein deficiency) considerable
asia of arterioles, swelling of vas-
ence of the capillary blood flow,
sol, polyamine and casein hydroly-
ving the development of morpholo-

поставление метаболических пока-
ных токсических поражениях // Па-
4.— С. 29—33.

в трансфизиологии.— Л.: Наука,
е больных.— М.: Медицина, 1979.—

2. Комплексная оценка кровообра-
щины, 1976.—207 с.

Взаимосвязь между изменениями
циональным состоянием тканевого
тологов и трансфизиологов.— М.:

Микроциркуляция.— М.: Медици-
циркуляции и сосудисто-тканевой
альном гепатите // Бюл. эксперим.

copic study of the response of the
de poisoning // Microvasc. Res.—
poisoning // N. Y. State J. Med.—
init // Microvasc. Res.— 1973.—6,

Поступила 13.11.84

Нарушения функции почек представляют собой одно из тяжелых осложнений кровопотери и нередко фигурируют в литературе как причина развития необратимого состояния при шоке [8]. Многочисленными экспериментальными и клиническими исследованиями показано, что огромное значение в восстановлении функциональной активности почек имеют сроки возмещения кровопотери, объем трансфузии и свойства переливаемой среды [3, 7, 11, 14]. Патогенетически обосновано использование комбинированных плазмозамещающих растворов, в состав которых, наряду с препаратами высокомолекулярной природы, способных на определенный срок удерживаться в сосудистом русле и восстанавливать гемодинамику, входили бы вещества, близкие организму, но способные активно включаться в обменные процессы, улучшать функционирование важнейших органов.

Цель нашей работы — изучение процессов мочеобразования в нефронах при возмещении острой массивной кровопотери комплексными растворами на основе плазмозаменителей гемодинамического действия — полиглюкина и желатиноля, содержащих натриевые соли молочной, янтарной и кетоглютаровой кислот. По данным литературы эти соединения обладают высокой терапевтической эффективностью при лечении различных патологических процессов [2, 4, 10].

Методика

Исследование локализации транспорта веществ в нефронах проводилось методом остановленного тока мочи [17], позволяющим для анализа получить пробы жидкости из различных частей канальцевой системы почек.

Опыты выполнены на 16 беспородных собаках массой $14,6 \pm 1,1$ кг, наркотизированных гексеналом (доза 45 мг/кг). Подопытных животных фиксировали на операционном столе, вскрывали брюшную полость под внутривенным гексеналовым наркозом и в мочеточник до лоханки вводили катетер. С целью форсирования диуреза внутривенно вводили 20 %-ный раствор маннитола (доза 10 мл/кг). Затем собирали исходную порцию мочи, после чего катетер пережимали на 8 мин, а из вены брали 7—10 мл крови для анализа. За 2 мин до снятия зажима с мочеточника в вену вводили кардиотраст 35 % (0,3 мл/кг) и тиосульфат натрия 30 % (0,2 мл/кг).

После снятия зажима быстро вытекающую из катетера мочу собирали в 30 пробирок в течение 2,5 мин (по 5 с на каждую пробирку). Анализируя каждую порцию в отдельности, мы получали представление о работе различных участков нефрона по переносу интересующих нас веществ. Учитывалось, что первые порции мочи соответствовали моче лоханок, затем шла моча, обработанная в собираемых трубках, дистальных канальцах и, наконец, в проксимальных канальцах. Причем, вытекающая под давлением моча проксимальных канальцев существенно не меняет свой состав в других отделах нефрона, а идентифицировать ее позволяет кардиотраст, секретируемый клетками проксимальных канальцев. Заключительные порции мочи узнавали по появлению в них гипосульфита, так как его фильтрация начинается с момента снятия зажима и поступления свежих порций ультрафильтрата в нефрон.

Остановку тока мочи осуществляли в исходном состоянии, через 1 ч после кровопотери 50 % общей массы крови, после кровопотери и проводимой в течение последующего часа инфузии плазмозамещающих растворов. Плазмозамещающие растворы вводили внутривенно струйно с переходом на капельное введение (60—80 капель в минуту) в объеме утраченной крови.

В плазме крови и пробах мочи, полученных до пережатия мочеточника и после задержки мочеотделения, определяли концентрацию креатинина [5], кардиотраста [1], мо-

чевины [9], хлора (по Левинсону), тиосульфата (путем титрования 0,001 н раствором иода). Натрий и калий определяли методом пламенной фотометрии на приборе ФПЛ-1, рН измеряли с помощью лабораторного рН-метра — милливольтметра рН-340.

Для каждой из 30 порций мочи, полученной после остановки мочеотделения рассчитывали коэффициент и (K) по формуле $K = \frac{U_x}{P_x} : \frac{U_{cr}}{P_{cr}}$ (где U_x — концентрация вещества в порции мочи, P_x — в плазме крови, а U_{cr} и P_{cr} — концентрация креатинина в той же порции мочи и плазме крови соответственно). Этот коэффициент позволяет судить об истинном перемещении веществ через канальцевую стенку, так как концентрация вещества в порции мочи подвержена колебаниям и при всасывании воды. Если вещество реабсорбируется из просвета канальцев, то $K < 1$; при его секреции $K > 1$.

Результаты и их обсуждение

В результате проведенных исследований установлено, что у интактных животных на фоне осмотического диуреза (5 мл/мин) появление введенного во время остановки мочеотделения тиосульфата наблюдалось (усредненные данные) в 22—25 порции мочи. Объем жидкости, предшествующий появлению гипосульфита, т. е. объем «остановленной мочи» был принят за 100 %, а жидкость (75—100 % задержанного объема) содержала кардиотраст, что позволяло идентифицировать ее как жидкость, обработанную во время остановки мочеотделения в проксимальных канальцах.

Таблица 1. Показатели функции различных отделов нефрона почек ($M \pm m$; $n=5$)

Наименование показателя	Объем мочи, соответствующий задержанному в почке объему, %	Значение			
		исходное		после кровопотери и инфузии комплексного раствора	
		после кровопотери	с желатинолем	с полиглюкином	
K_{Na^+}	75—100	$0,0335 \pm 0,0076$	$0,0281 \pm 0,0064$	$0,143 \pm 0,0017^{1,2}$	$0,072 \pm 0,049$
	25—55	$0,0090 \pm 0,0012$	$0,0104 \pm 0,0017$	$0,058 \pm 0,007^{1,2}$	$0,017 \pm 0,012$
Na^+ , ммоль/л	75—100	$42,9 \pm 17,1$	$20,7 \pm 5,3$	$76,6 \pm 9,5^2$	$51,1 \pm 27,5$
	25—55	$10,2 \pm 2,8$	$6,8 \pm 0,9$	$28,9 \pm 1,6^{1,2}$	$18,4 \pm 7,4^2$
KCl^-	75—100	$0,133 \pm 0,014$	$0,261 \pm 0,079$	$0,432 \pm 0,021$	$0,081 \pm 0,045$
	25—55	$0,074 \pm 0,014$	$0,198 \pm 0,080$	$0,122 \pm 0,006^2$	$0,058 \pm 0,008^2$
pH	75—100	$7,34 \pm 0,29$	$7,31 \pm 0,35$	$7,39 \pm 0,32$	$7,47 \pm 0,08$
	25—55	$6,96 \pm 0,23$	$7,01 \pm 0,30$	$6,86 \pm 0,13$	$7,06 \pm 0,15$
Мочевина, ммоль/л	75—100	$35,3 \pm 12,8$	$32,7 \pm 18,0$	$23,7 \pm 4,2$	$28,5 \pm 2,9$
	25—55	$45,7 \pm 13,0$	$36,2 \pm 7,3$	$30,1 \pm 3,9$	$33,9 \pm 1,9$

¹ $P < 0,05$ — изменения достоверны по отношению к исходным значениям; ² $P < 0,05$ — изменения достоверны по отношению к значениям кровопотери.

У интактных животных концентрация натрия в моче дистальных отделов (25—55 % задержанного объема) была в 4 раза ниже, чем в проксимальных, а снижение отношения концентрационного индекса натрия к концентрационному индексу креатинина до $0,0092 \pm 0,0017$ свидетельствует о более интенсивной реабсорбции натрия в этом отделе нефрона. После задержки мочеотделения максимальное снижение значений K_{Na^+} и K_{Cl^-} наблюдалось в пробах мочи, соответствующих выделению 25—40 % задержанного объема. Концентрация хлора в дистальном сегменте была в 2,5 раза ниже, чем в проксимальном и составляла соответственно ($25,9 \pm 3,7$) ммоль/л и ($60,5 \pm 7,3$) ммоль/л. В дистальных сегментах происходило подкисление мочи (рН снижался с $7,34 \pm 0,29$ до $6,96 \pm 0,23$), уменьшение содержания калия и увеличение мочевины.

Результаты эксперимента полностью соответствуют представлениям о том, что градиент концентраций, создаваемый клетками дисталь-

ных канальцев, значительнее и процессы требуют соответствующей активностью гликоли

Реабсорбции натрия ведущая роль в регулировании вырабатываемой мочи кровообращения и переноса коркового слоя приводит к активных извитых канальцах нефрона, наибольших опытах через которые в моче, соответствующим ментам, снижалась, а абсорбция натрия в ($K_{Na^+} = 0,0281 \pm 0,0006$) снижался по сравнению с натрием. В отличие от натрия после кровопотери 1,4 раза, а в дистальном показателя K_{Cl^-} указанный при этом более выраженный в сегменте (K_{Cl^-} увеличился на 167 %, в то время как думать, что кровопотеря транспорта хлора, равна [13, 15].

После кровопотери на достоверно увеличенных и дистальных сегментах, что, наряду с мочевиной в среднем на 27 % об изменении проницаемой способности п

Инфузии комплексным сопровождались снижением концентрации натрия. В связи с этим, соответственно, в у. $\pm 3,0$ ммоль/л. Повышение комплексных растворов приводила к достоверных сегментах (см. также табл. 1) перенос натрия от дистального отдела канальцевой системы комплексными плазмозажимами, чем после кровопотери при расширении канала, дающееся увеличением с микропункцией канала.

Возмещение кровопотери увеличивало в центрационный индекс мочевины во всех опытах. Увеличение коэффициента единицы при введении воротянтарнокислого и этого катиона через каналы.

По мнению некоторых авторов, секреция калия в канальцах, зависящая от K^+ -каналов клеток. Известно,

ем титрования 0,001 и раствором фотометрии на приборе ФПЛ-1, милливольтметра pH-340.

ле остановки мочеотделения рас-
 $\frac{U_{cr}}{P_{cr}}$ (где U_x — концентрация ве-
 P_{cr}
 P_{cr} — концентрация креатинина в

Этот коэффициент позволяет су-
 <1 ; при его секреции $K>1$.

дение

установлено, что у интак-
 \times еза (5 мл/мин) появление
 \times ния тиосульфата наблюда-
 \times ли. Объем жидкости,
 \times г. е. объем «остановленной»
 \times (75—100 % задержанного
 \times ляло идентифицировать ее
 \times становки мочеотделения в

нефронов почек ($M \pm m$; $n=5$)

значение

	после кровопотери и инфузии комплексного раствора	
	с желатинолем	с полиглю- кином
54	$0,143 \pm 0,0017^{1,2}$	$0,072 \pm 0,049$
17	$0,058 \pm 0,007^{1,2}$	$0,017 \pm 0,012$
	$76,6 \pm 9,5^2$	$51,1 \pm 27,5$
	$28,9 \pm 1,6^{1,2}$	$18,4 \pm 7,4^2$
	$0,432 \pm 0,021$	$0,081 \pm 0,045$
	$0,122 \pm 0,006^2$	$0,058 \pm 0,008^2$
	$7,39 \pm 0,32$	$7,47 \pm 0,08$
	$6,86 \pm 0,13$	$7,06 \pm 0,15$
	$23,7 \pm 4,2$	$28,5 \pm 2,9$
	$30,1 \pm 3,9$	$33,9 \pm 1,9$

ходным значениям; $^2 P<0,05$ —
 \times опотери.

атрия в моче дистальных
 \times была в 4 раза ниже, чем
 \times онцентрационного индекса
 \times атинина до $0,0092 \pm 0,0017$
 \times бции натрия в этом отде-
 \times максимальное снижение
 \times ах мочи, соответствующих
 \times онцентрация хлора в дис-
 \times м в проксимальном и со-
 \times ли ($60,5 \pm 7,3$) ммоль/л.
 \times ление мочи (рН снижал-
 \times держания калия и увели-
 \times твствуют представле-
 \times заемый клетками дисталь-

ных канальцев, значительно выше, чем клетками проксимальных ка-
 \times нальцев и процессы реабсорбции, происходящие в этом отделе нефронов, требуют соответствующих энергетических затрат, восполняемых высокой активностью гликогенитических энзимов и ферментов цикла Кребса.

Реабсорбции натрия в дистальных отделах нефронов принадлежит ведущая роль в регуляции конечного объема и электролитного состава вырабатываемой мочи. Развивающиеся при кровопотере расстройства кровообращения и перераспределение почечного кровотока с ишемией коркового слоя приводят к нарушению энергетического обмена в дистальных извитых канальцах и восходящей части петли Генле, т. е. отделах нефронов, наиболее чувствительных к недостатку кислорода. В наших опытах через 60 мин после кровопотери концентрация натрия в моче, соответствующей как проксимальным, так и дистальным сегментам, снижалась, а соотношение между ними составляло 3:1. Реабсорбция натрия в проксимальных отделах нефронов возрастала ($K_{Na^+} = 0,0281 \pm 0,0006$), а процент дистальной реабсорбции натрия снижался по сравнению с исходными величинами.

В отличие от натрия, концентрация хлора в обоих отделах нефронов после кровопотери повышалась: в проксимальных канальцах в 1,4 раза, а в дистальных сегментах — в 2,5. Наблюдавшееся увеличение показателя K_{Cl^-} указывало на нарушение транспорта хлора в нефроне, причем более выраженное изменение этого показателя в дистальном сегменте (K_{Cl^-} увеличивался по отношению к исходным данным на 167 %, в то время как в проксимальном отделе — на 97 %) позволяет думать, что кровопотеря приводит к нарушению системы активного транспорта хлора, расположенной в восходящем отделе петли Генле [13, 15].

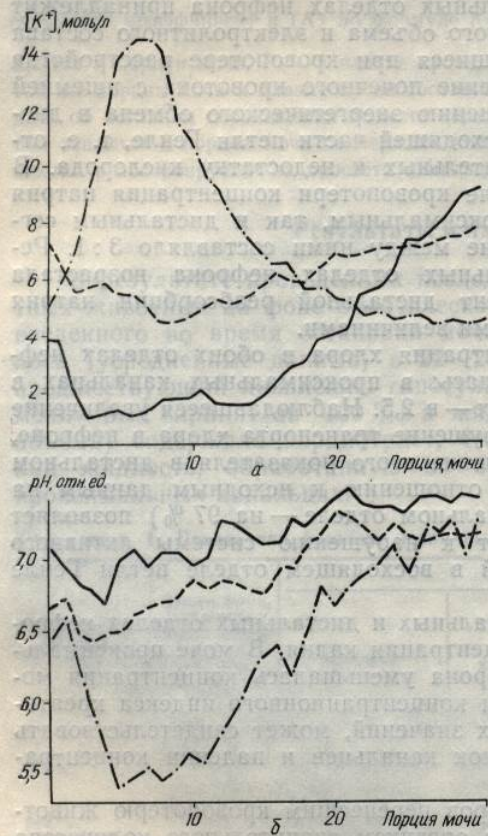
После кровопотери в проксимальных и дистальных отделах нефронов достоверно увеличивалась концентрация калия. В моче проксимальных и дистальных сегментов нефронов уменьшалась концентрация мочевины, что, наряду со снижением концентрационного индекса креатинина в среднем на 27 % исходных значений, может свидетельствовать об изменении проницаемости стенок канальцев и падении концентрационной способности почек.

Инфузии комплексных растворов перенесшим кровопотерю животным сопровождались введением в организм значительного количества натрия. В связи с этим увеличивалась концентрация натрия в плазме и, соответственно, в ультрафильтрате: с ($142 \pm 0,6$ ммоль/л) до ($155 \pm 3,0$) ммоль/л. Повышенная загрузка нефронов натрием после инфузии комплексных растворов на основе полиглюкина и желатинолия приводила к достоверному увеличению концентрации натрия в дистальных сегментах (см. табл. 1), что, по-видимому, облегчало энергозависимый перенос натрия, так как градиент концентрации натрия в этом отделе канальцевой системы почек после возмещения кровопотери комплексными плазмозамещающими растворами был на 7—14 % ниже, чем после кровопотери. Увеличение реабсорбции в дистальном сегменте при расширении объема внеклеточной жидкости, не сопровождающееся увеличением потребления кислорода, отмечено и в опытах с микропункцией канальцев нефронов крысы [19].

Возмещение кровопотери изучаемыми плазмозамещающими растворами увеличивало выделение калия с мочой. Концентрация и концентрационный индекс этого электролита в дистальных сегментах нефронов во всех опытах были выше, чем в проксимальных отделах. А увеличение коэффициента K_{K^+} в моче дистальных сегментов выше единицы при введении комплексного раствора с желатинолем или раствора янтарнокислого натрия свидетельствовало об активной секреции этого катиона через канальцевую стенку (табл. 2).

По мнению некоторых авторов [18], регулирующий фактор скорости секреции калия в дистальных канальцах — активность K^+ в клетках, зависящая от Na^+ — K^+ -обменного механизма на базальной мембране клеток. Известно, что секреция калия возрастает при увеличении

притока жидкости и натрия к дистальным канальцам и ингибируется при метаболическом ацидозе [6]. Результаты наших выполненных ранее исследований показали, что введением комплексных плазмозамещающих растворов достигается полная коррекция метаболического ацидоза и увеличение щелоч-



Активация секреции калия дистальными отделами нефрона в наших опытах сопровождалась снижением рН канальцевой жидкости, более выраженным при использовании солевых плазмозамещающих растворов, содержащих сукцинат. Так, после введения комплексного раствора на основе желатиноля рН в пробах мочи, соответствующих выделению 25–55 % задержанного объема, составлял 6.86 ± 0.13 ; после введения комплексной добавки, разведенной физиологическим раствором — 5.85 ± 0.15 , а после введения 1 %-ного раствора янтарнокислого натрия — 5.36 ± 0.44 ($P < 0.05$). Изменения концентрации ка-

лия (а) и рН (б), определяемые в жидкости различных отделов нефрона почек в исходном состоянии (—), после кровопотери (— —) и после инфузии 1 %-ного раствора янтарнокислого натрия (— · —).

лия и рН канальцевой жидкости по ходу нефрона после введения янтарнокислого натрия демонстрирует рисунок.

Наблюдавшаяся у собак (интактных и перенесших кровопотерю) тенденция к снижению концентрации хлора в канальцах нефрона по мере приближения к дистальным сегментам сохранялась и после проведения инфузционной терапии. Причем, как следует из представленных в табл. 1 результатов, дистальный транспорт хлора при временной задержке мочеотделения в опытах с введением комплексных плазмозаменителей, происходил более интенсивно, чем после кровопотери. Наиболее низкие значения K_{Cl^-} наблюдались после инфузии комплексного раствора с полиглюкином. Использование этого препарата приводило к снижению концентрации хлора в дистальных сегментах на 21 % по сравнению с исходной и в 2,6 раза по сравнению с концентрацией после кровопотери.

Увеличение интенсивности реабсорбции хлора в нефрона способствует восстановлению объема внеклеточной жидкости, так как ион хлора совместно с ионом натрия — основной фактор, определяющий размер ее осмотического давления.

Известно, что клетки проксимальных канальцев активно метаболизируют сукцинат, глютамат, глютарат и малат, а в толстом восходящем колене петли Генле происходит преимущественное окисление глюкозы, лактата и 2-оксоглютарата [16]. Возможно, что увеличение интенсивности реабсорбции хлора после возмещения кровопотери комплексными плазмозамещающими растворами, содержащими важней-

шие субстраты окисленных кислот, — связано с

Таким образом, исследования позвол

Таблица 2. Транспорт

после ост

этап набл

До кровопотери и инфуз (n=5)

После кровопотери (n=

После инфузии комплек

тическим раствором (n=3)

После инфузии комплек

тическим раствором (n=3)

После инфузии 1 %-ного

натрия (n=3)

После инфузии полиглю

ким раствором (n=3)

1; 2 Объяснение см. в таб

приводит к преимуществам канальцевой системы плазмозамещающих натрием, стимулируя выведение хлора в дистальных сегментах почек для использования янтарнокислых кислот в комплексной терапии.

THE STUDY OF THE TRANSPORT BY THE METABOLIC LOSS AND IN THE THERAPY

The urthropoiesis process flow in the experiments on infusion therapy of plasma substitutes containing lactic acid and chlorides of lactic, succinic and glutamic acids. The complex plasma substitution system and stimulated secretion of chloride ions in the distal segments of the nephron after the correction of metabolic acidosis.

Medical Institute, Kiev

- Берхин Е. Б., Иванов И. А. Установление соотношения концентраций ионов хлора и натрия в плазме и моче. Вестник АМН СССР, № 1, 1978.
- Кондрашова М. Н. Выявление роли янтарной кислоты в коррекции метаболического ацидоза. Докторская диссертация. КГМА, 1983.
- Кочетыков Н. И., Гербенец В. А. Гемокорректоры в лечении метаболического ацидоза. Вестник АМН СССР, № 1, 1978.
- Малюк В. И. Энергетическая коррекция его нарушенного обмена. Докторская диссертация. КГМА, 1983.

Физиол. журн., 1986, т. 32, № 2

канальцам и ингибируется нашими выполненными комплексных плазмозаменяющей метаболического доза и увеличение щелочного резерва плазмы [12]. Активация секреции калия нашими отделами нефрона наших опытах сопровождалась снижением pH канальной жидкости, более выраженным при использовании соих плазмозамещающих растворов, содержащих сукцинат, после введения комплексного раствора на основе же-ноля pH в пробах мочи, соответствующих выделению 55 % задержанного объема, составлял $6,86 \pm 0,13$; пос-введения комплексной дозы, разведенной физиологическим раствором — $5,85 \pm 0,15$, а после введения 1 %-ного раствора янтарнокислого натрия — $5,36 \pm 0,44$ ($P < 0,05$). Уменьшение концентрации ка-

концентрация калия (a) и pH (b), изляемые в жидкости различных сегментов нефронов почек в исходном состоянии (—), после кровопотери (—) и после инфузии раствора янтарнокислого натрия (—).

нефронов после введения янтарнокислого натрия (a) и pH (b), изляемые в жидкости различных сегментов нефронов почек в исходном состоянии (—), после кровопотери (—) и после инфузии раствора янтарнокислого натрия (—).

перенесших кровопотери) в канальцах нефронов сохранялась и после про-следует из представленных данных хлора при временной замене комплексных плазмозаменяющих растворов после кровопотери. После инфузии комплексного препарата приводило к снижению концентрации пос-тавленных сегментах на 21 % по-сравнению с концентрацией пос-тавленных сегментах на 21 % по-

снижение концентрации хлора в нефроне способ-
ности, так как ионный фактор, определяющий

активность метаболизма, а в толстом вос-
емищественное окисление. Возможно, что увеличение
влияния кровопотери компенсируется сокращающими важней-

изол. журн., 1986, т. 32, № 2

шие субстраты окисления — соли молочной, янтарной, кетоглютаровой кислот, — связано с нормализацией обменных процессов в нефронах.

Таким образом, проведенные методом остановленного тока мочи исследования позволили установить, что острая массивная кровопотеря

Таблица 2. Транспорт калия в проксимальных и дистальных сегментах нефронах после острой кровопотери и инфузционной терапии ($M \pm m$)

Этап наблюдения	K_{K+} для жидкости	
	соответствующей 75–100 % задержанного объема мочи	соответствующей 25–55 % задержанного объема мочи
До кровопотери и инфузционной терапии ($n=5$)	$0,180 \pm 0,034$	$0,108 \pm 0,014$
После кровопотери ($n=5$)	$0,409 \pm 0,064^1$	$0,251 \pm 0,038^1$
После инфузии комплексного раствора с полиглюкином ($n=3$)	$0,358 \pm 0,125$	$0,363 \pm 0,084^1$
После инфузии комплексного раствора с желатинолем ($n=3$)	$0,870 \pm 0,072^{1,2}$	$1,277 \pm 0,080^{1,2}$
После инфузии комплексного раствора с физиологическим раствором ($n=3$)	$0,540 \pm 0,093$	$1,627 \pm 0,132$
После инфузии 1 %-ного раствора янтарнокислого натрия ($n=3$)	$0,594 \pm 0,072^{1,2}$	$1,180 \pm 0,095^{1,2}$
После инфузии полиглюкина с физиологическим раствором ($n=3$)	$0,249 \pm 0,016$	$0,236 \pm 0,095$

^{1,2} Объяснение см. в табл. 1

приводит к преимущественному нарушению функции дистальных отделов канальцевой системы почек. Возмещение кровопотери комплексными плазмозамещающими растворами увеличивает загрузку нефрона натрием, стимулирует секрецию калия и увеличивает реабсорбцию хлора в дистальных сегментах нефрона. Полученные данные дают основание для использования солей молочной, янтарной и кетоглютаровой кислот в комплексной терапии нарушений функции почек при кровопотере.

V. I. Fedorov

THE STUDY OF THE UROPOIESIS PROCESSES IN A NEPHRON BY THE METHOD OF STOPPED UREA FLOW AFTER BLOOD LOSS AND INFUSION THERAPY BY COMPLEX PLASMA SUBSTITUTION SOLUTIONS

The uropoiesis processes in a nephron were studied by the method of stopped urea flow in the experiments on healthy dogs and those after acute massive loss of blood and infusion therapy of plasma substitution solutions (polyglucine and gelatinol) with sodium chlorides of lactic, succinic and ketoglutaric acids. Intravenous injection of the complex plasma substitution solutions increased Na-load, activated distal chloride reabsorption and stimulated secretion of potassium in the distal tubules of kidney nephron.

Medical Institute, Kiev

- Берхин Е. Б., Иванов Ю. И. Методы экспериментального исследования почек и водно-солевого обмена. — Барнаул: Алт. кн. изд-во, 1972. — 199 с.
- Кондрашова М. Н. Выяснение и наметившиеся вопросы на пути исследования регуляции физиологического состояния янтарной кислоты // Терапевтическое действие янтарной кислоты. — Пущино, 1976. — С. 8–30.
- Кочетыков Н. И., Гербут К. А., Селиванов Е. А. и др. Кровезамещающие растворы и гемокорректоры в лечении экстремальных состояний // I Всесоюз. съезд гематологии и трансфузиологии (Баку, 1979 г.): Тез. докл. — М.: Медицина, 1979. — С. 240–242.
- Малюк В. И. Энергетический обмен миокарда при пороках сердца и метаболическая коррекция его нарушений: Автореф. дис. ... д-ра мед. наук. — Киев, 1976. — 29 с.

5. Мерzon A. K., Титаренко О. Т., Андреева Е. К. Сравнительная оценка методов химической индикации креатинина // Лаб. дело.—1970, № 7.—С. 416—448.
6. Наточин Ю. В. Ионорегулирующая функция почек.—Л.: Наука, 1976.—267 с.
7. Недошивина Р. В., Горбунова Н. Л., Чикина Н. А. Функции почек и межзубочный водный обмен при «синдроме массивных трансфузий» в эксперименте // Патол. физиология и эксперим. терапия.—1979, № 5.—С. 30—36.
8. Петров И. Р., Васадзе Г. Ш. Необратимые изменения при шоке и кровопотере.—Л.: Медицина, 1972.—255 с.
9. Петрунь М. Н., Литвинчук Н. К. Использование диметилглиоксамида для определения мочевины в моче и крови колориметрическим методом // Лаб. дело.—1970.—№ 7.—С. 414—415.
10. Федоров И. И., Ткач Е. А., Федорова З. П., Едкина В. Д. О механизме действия раствора молочнокислого натрия при сниженном кровяном давлении // Переливание крови и кровезамещающих растворов направленного действия.—Львов, 1958.—С. 326—340.
11. Федорова З. П. Материалы о механизме действия молочнокислого натрия, полиглюкина и БК-8 при кровопотере, ожоговой болезни и гипотермии: Автореф. дис. ... д-ра мед. наук.—Л., 1970.—33 с.
12. Федоров В. И. Влияние комплексного плазмозамещающего раствора на показатели системной гемодинамики и состояние кислотно-щелочного баланса при кровопотере // I Укр. съезд гематологов и трансфузиологов, Харьков, 10—12 дек. 1980 г.: Тез. докл.—Киев, 1980.—С. 278—282.
13. Burg M., Green N. Function of the thick ascendens limb of Henle's loop // Amer. J. Physiol.—1973.—244, N 4.—P. 659—668.
14. Danielson G., Grangsjö G., Karlmark B. et al. Kidney function and intravenous blood flow distribution after bleeding and infusion of mannitol and dextran // Acta anaesthet. scand.—1983.—17, N 1.—P. 8—21.
15. Yorgensen P. L. Function and mechanism of the sodium pump in mammalian kidney // Proc. Int. Union Physiol. Sci. 27th Int. Congr. (Paris, 1977).—Paris, 1977.—Vol. 12.—P. 269.
16. Klein K. L., Wang Maw-Song, Toricai Sh. et al. Substrate oxidation by isolated single nephron segments of the rat // Kidney Int.—1981.—20, N 1.—P. 29—35.
17. Malvin R., Wilde W., Sullivan L. Localization of nephron transport by stop flow analysis // Amer. J. Physiol.—1958.—194, N 1.—P. 135—142.
18. Stanton B. A., Giebisch G. Effects of pH on potassium transport by renal distal tubule.—Ibid.—1982.—242, N 5.—P. 544—551.
19. Weinstein S. W., Szyjewicz J. Single nephron function and adrenal oxygen consumption during rapid volume expansion // Amer. J. Physiol.—1976.—231, N 4.—P. 1166—1172.

Киев. мед. ин-т им. А. А. Богомольца
МЗ УССР

Поступила 16.11.84

УДК 612.621:636.4.082.4

MORFO FOLLI

Имеющиеся у млекопитающих, в личинках. Однако неизвестны. Однако неизвестны. Представляют объект исследования во всем мире рабочими. Использования генетики животных.

Популяция фагоцитов цикла представления двух параллельных (созревания) биологических (функциональных) стадий.

При массовом дальнейшего культивирования, каких из них, а какие в большом изменении.

О способах от сообщают многие исследователи объем, цвет, компактность с физиологическими стадиями. Так, данная яичников митохондрий представлена яичником — кумулюсом и яйцеклеткой.

Цель настоящего состава популяции яичников животных. В качестве модели кумулюса, который увеличивается.

Материалом служат животных разного возраста по состоянию желудка в физиологическом распределении фолликулов зоны бритвы в часах фосфатно-солевым буфером. Измерения проводили в стадии развития фолликулов 56 — яичник доспелости не формируется развитая антральная полость.

Физиол. журн., 1986, т. 32, № 2

КРАТКИЕ СООБЩЕНИЯ

УДК 612.621:636.4.082.4

В. А. Лобченко

МОРФО-ФУНКЦИОНАЛЬНОЕ РАЗНООБРАЗИЕ ФОЛЛИКУЛЯРНЫХ ЯЙЦЕКЛЕТОК СВИНЫ

Имеющиеся литературные данные о фолликулярных яйцеклетках млекопитающих, в том числе свиньи (*Sus scrofa*), довольно многочисленны. Однако незрелые яйцеклетки (ооциты), выделенные из фолликула, представляют в настоящее время особый, чрезвычайно важный, объект исследования в связи с получившими широкое распространение во всем мире работами, связанными с культурой ооцитов и их оплодотворением вне организма в целях трансплантации для максимального использования генетического потенциала выдающихся по продуктивности животных.

Популяция фолликулярных ооцитов на разных стадиях эстрального цикла представляется довольно разнообразной. Это вызвано наличием двух параллельно протекающих в яичниках процессов: роста (и созревания) биологически полноценных фолликулов и гистологической (и функциональной) перестройки атрезирующих.

При массовом получении фолликулярных ооцитов с целью их дальнейшего культивирования перед исследователем неизбежно встает вопрос, какие из них представляют собой ту или иную стадию развития, а какие в большей или меньшей мере уже подверглись атретическим изменениям.

О способах отбора фолликулярных ооцитов для культивирования сообщают многие авторы [1, 8, 9], описания которых довольно сходны. Исследователи обычно ориентируются на такие показатели, как размер, цвет, компактность и форма кумулюса, но это делается вне связи с физиологическим состоянием яичников вообще и фолликулов в частности. Так, данные, полученные при изучении нативных фолликулярных ооцитов мыши [12], хомяка [13], коровы [2, 7] не дают полного представления о характере и особенностях изменения комплекса ооцит — кумулюс в зависимости от физиологического состояния фолликула.

Цель настоящего исследования — изучение морфо-функционального состава популяции фолликулярных ооцитов свиньи, выделяемых из яичников животных, находящихся на разных стадиях эстрального цикла. В качестве морфологического критерия служили такие особенности кумулюса, которые могут быть легко обнаружены при небольшом увеличении.

Методика

Материалом служили яичники свиньи, получаемые на конвейере мясокомбината от животных разного возраста и на разных стадиях эстрального цикла, который определяли по состоянию желтых тел и фолликулов. Яичники транспортировали в лабораторию в физиологическом растворе при температуре 20—24 °С. Яйцеклетки выделяли из везикулярных фолликулов путем аспирации или рассечения стенки фолликула лезвием безопасной бритвы в чашке Петри. После промывания физиологическим раствором или фосфатно-солевым буфером Дюльбекко ооциты исследовали под микроскопом МБС-9. Измерения проводили окулярной линейкой или окуляр-микрометром МОВ-1 на МКУ-1. Стадии развития фолликулов оценивали, исходя из общепринятой классификации [10]: стадия 5б — ооцит достигает максимального размера, стенка фолликула многослойна, полость не формируется; стадия 6 — начало формирования полости; стадия 7 — хорошо развитая антравальная полость; стадия 8 — преовуляторный фолликул.

Результаты

В популяции фолликулярных ооцитов, получаемых из яичников животных, находящихся на разных стадиях эстрального цикла, можно выделить следующие группы, характеризующиеся определенными особенностями.

Первая группа. Ооциты без кумулюса или с отдельными клетками такового. Диаметр собственно яйца колеблется от 82,5 до 143,7 мкм, однако крайние значения встречаются редко. По результатам измерения 109 клеток $M \pm m = 119,1 \pm 1,0$; $\sigma = 0,01$. Коэффициент вариабельности достаточно низкий: $C_v = 8,07\%$. Обычно — самая многочисленная группа в популяциях ооцитов яичников всех типов.

Внутригрупповые различия определяются состоянием ооплазмы, в частности равномерной гранулярностью ооплазмы темного цвета (рис. 1, а); увеличенной гранулярностью или разной мерой вакуолизации ооплазмы (рис. 1, б); уплотнением ооплазмы в комок.

Вторая группа. Ооциты с редуцированной кумулюсной массой, как правило в один—два слоя клеток. Ооплазма темная, гранулярная, часто крупногранулярная, иногда с признаками вакуолизации (рис. 1, в).

Третья группа. Ооциты с кумулюсной массой среднего размера — три—четыре слоя клеток. Внутригрупповые различия определяются состоянием кумулюса, в частности его плотностью, компактностью и сферической формой (рис. 1, г); наметившимся разрастанием кумулюсных клеток (рис. 1, д); рыхлостью и отслаиванием. Иногда могут быть выделены ооциты с частью *theca interna* (рис. 1, е). Ооплазма темная, гранулярная, несколько маскируется кумулюсом.

Четвертая группа. Ооциты с увеличенной кумулюсной массой — более пяти—шести слоев. Диаметр комплекса обычно составляет 210—350 мкм. Комплексы округлые, чаще — неправильной формы. Ооплазма просматривается плохо. Обычно комплексы этой группы содержатся в средних и крупных фолликулах.

Внутри группы ооциты могут быть дифференцированы как по размеру кумулюсной массы, так и по ее компактности: плотно прилегающие клетки (рис. 1, ж) и редко дряблый отслаивающийся кумулюс.

Пятая группа. Ооциты со значительно увеличенной слизистой массой кумулюсных клеток и межклеточного матрикса. Комплекс ооцит — кумулюс обычно вытянутой формы (от 400—500 до 1800 мкм и более). Окружающая ооцит масса очень тягучая, с большим трудом удаляется механически, но довольно быстро — ферментами (гиалуронидаза), после чего обнажаются клетки лучистого венца, непосредственно прилегающие к прозрачной оболочке (рис. 1, з). Интактная масса большого размера сильно маскирует ооцит, затрудняет определение состояния ооплазмы. Иногда встречаются уплотнившиеся слизистые массы с дегенерирующим ооцитом или без него, но с вкрапленными пикнотизированными кумулюсными клетками. Эта группа ооцитов происходит из фолликулов, подвергшихся преовуляторным изменениям.

Представленные группы в основном охватывают многообразие фолликулярных комплексов ооцит — кумулюс свиньи.

Обсуждение

Рассмотренные группы ооцитов представляют, в основном, антальные фолликулы разного физиологического состояния. Нормально развивающимся фолликулам соответствуют комплексы ооцит — кумулюс, отличающиеся достаточным размером и компактностью кумулюсной массы или ее ослизленностью, а также равномерно гранулярной темной ооплазмой ооцита. Сюда могут быть отнесены ооциты из третьей, четвертой и пятой групп.

Морфологические изменения комплекса ооцит — кумулюс нормально развивающегося фолликула представляются нам в такой последовательности. В стадии образования антальной полости происходит

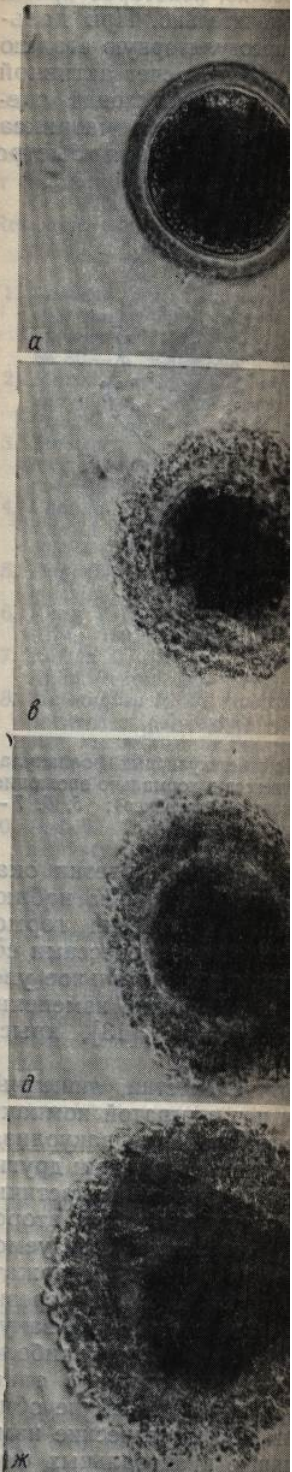


Рис. 1. Ооциты антальных фолликульных комплексов свиньи.
а, б — первая; в — вторая

ИТАЛ

получаемых из яичников эстрального цикла, можно, имея определенными осо-

бами с отдельными клетками — от 82,5 до 143,7 мкм. По результатам измерений Коеффициент вариабельности — самая многочисленная группа всех типов.

Я состоянием оплазмы, в оплазмы темного цвета и разной мерой вакуолизацией в комок.

Кумулюсной массой, как оплазма темная, гранулярные признаками вакуолизации

ассой среднего размера — различия определяются со- бью, компактностью и сферо-разрастанием кумулюсных яиц. Иногда могут быть вы-
1, e). Оплазма темная, ом.

кой кумулюсной массой — комплекс обычно составляет — неправильной формы. Комплексы этой группы со-

перенесены как по раз-
личности: плотно прилегаю-
щая к кумулюсу. Комплекса ооцит — величиной слизистой мас-
грикса. Комплекс ооцит —
600 до 1800 мкм и более).
Большим трудом удаляется
ми (гиалуронидаза), пос-
непосредственно прилега-
антактическая масса большого
определение состояния
и слизистые массы с де-
взрывающимися пикнотизи-
упа ооцитов происходит
изменениям.

хватают многообразие
свиньи.

и структурно макроэстради-
льное состояние химиков до-
вляют, в основном, анти-
гормонального состояния. Нормально
комплексы ооцит — куму-
люсной массой кумулюс-
равномерно гранулярной
отнесены ооциты из тре-

ооцит — кумулюс нормаль-
ся нам в такой последо-
вой полости происходит

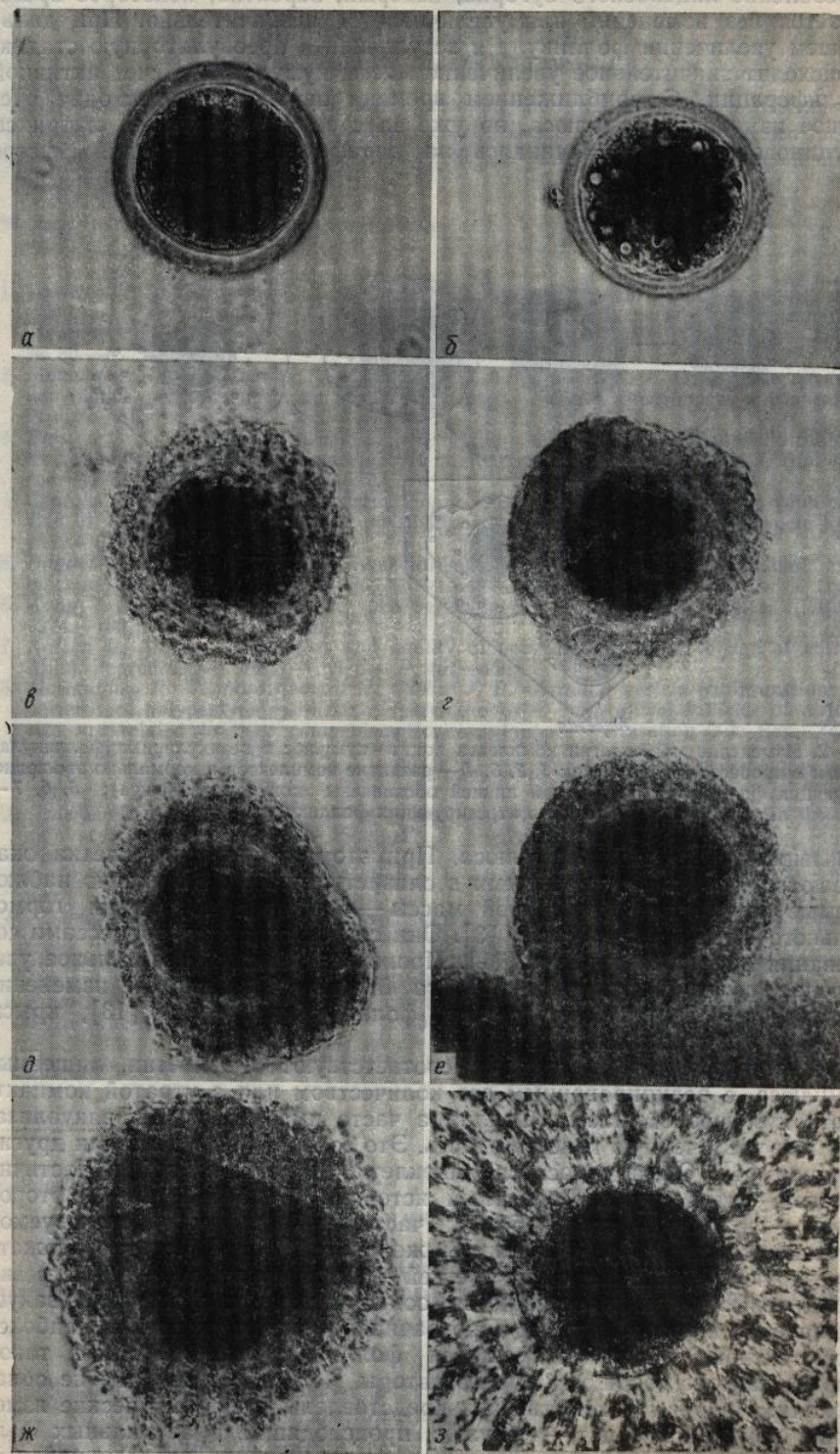


Рис. 1. Ооциты антральных фолликулов яичника свиньи разных групп функционального состояния:
а, б — первая; в — вторая; г, д, е — третья; ж — четвертая; з — пятая группы.

обособление яйценосного бугорка, который, вероятно, некоторое время остается без изменений или увеличивается незначительно. При дальнейшем увеличении фолликула и вступлении в преовуляторную стадию происходит значительное увеличение массы кумулюса за счет активной пролиферации. С приближением времени овуляции, происходит очередное изменение кумулюса, но уже за счет межклеточного матрикса (муциновой массы). Начинаясь на периферии, муцинизация быстро

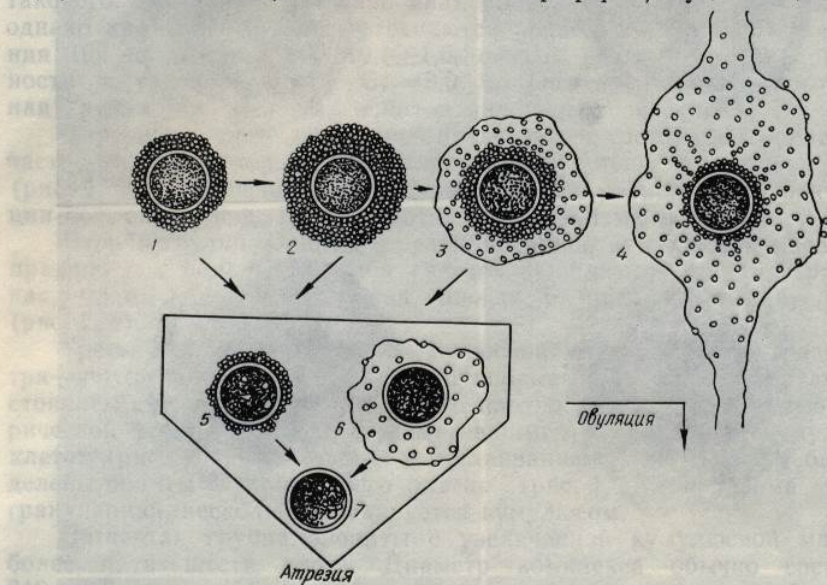


Рис. 2. Изменение морфологии комплекса ооцит—кумулюс в везикулярных фолликулах свиньи в процессе их эволюции: 1, 2, 3, 4 — развитие комплексов в нормально эволюционирующих фолликулах (сплошной линией обозначены контуры матрикса); 5, 6, 7 — ооциты в атрезирующихся фолликулах.

охватывает всю массу кумулюса. При этом кумулюсные клетки оказываются как бы вкрапленными в слизистую массу. Визуально наблюдаемые изменения кумулюсной массы — следствие изменения гормонального фона в фолликулах [3]. Они сопровождаются процессами созревания самой яйцеклетки [11]. Происходит также значительное увеличение объема гранулезы и *theca interna* [5]. Похожие изменения наблюдаются и в преовуляторных фолликулах хомяка [13], крысы [6], а также человека [14].

Атрезиющим фолликулам соответствуют яйцеклетки, лишенные кумулюса, с редуцированным его количеством или с утратой компактности кумулюсной массы. Ооплазма часто имеет признаки вакуолизации или увеличенную гранулярность. Это согласуется с данными других авторов [4]. Сюда относятся яйцеклетки первой, второй и частично третьей — пятой групп. Вероятный источник ооцитов первой и второй групп — фолликулы стадий 5б, 6 и частично 7 (согласно используемой классификации [10]). Фолликулы же стадий 7 и 8 могут содержать атрезиющие яйцеклетки из третьей — пятой групп, т. е. при атрезии кумулюсные клетки рассеиваются, ооцит оголяется, а ооплазма вакуолизируется и резорбируется. Прозрачная оболочка выглядит наиболее резистентной. Фрагментирующиеся фолликулярные ооциты в такой форме, как это сообщают другие авторы [12], для мыши мы не обнаружили. На рис. 2 схематически представлены морфологические изменения комплекса ооцит — кумулюс, происходящие в антральных фолликулах яичников свиньи. Хотя популяция ооцитов из везикулярных фолликулов свиньи — гетерогенна по своему морфофункциональному состоянию, предлагаемая схема позволяет дифференцировать ооциты, происходящие из нормально развивающихся (созревающих) и атрезиующих фолликулов.

ется повышенной
Потому суммарные
одинаковы
Oocytes-cumulus complexe
ries at different stages o
ferentiating the oocyte po
ir cumulus and cytoplasm
Research Institute of Pig

1. Галиева Л. Д., Свиридов С. А. Свирьловы вне органов генетических методов № 30. — С. 101—103.
2. Михайленко А. В., Популяции ооцитов *in vitro* // Биол. наук.
3. Ainsworth L., Tsankov levels, gonadotrophic rod. — 1980.—23, N 3.
4. Centola G. Light microcida of porcine follicles. — 1982.—6, N 4.—P. 29.
5. Daguet M.-C. Some biochim. and biophys.
6. Kang Y.-H. Developm. — 1974.—139, N 4.—P. 1.
7. Katska L., Smorag Z. Anim. Reprod. Sci.—
8. McGaughey R. W. M. patterns of polypeptide size are related to 1979.—209, N 2.—P. 1.
9. Motlik J. Cultivation 349.
10. Pedersen T., Peters H. se ovary // J. Reprod.
11. Spalding J. F., Berry during normal and i 620.
12. Swartz W. J., Schue adult mouse ovary //
13. Talbot P., DiCarlo Gamete Res.—1984.—
14. Tesarik K. J., Dvora Ultrastruct. Res.—198

Полтав. ин-т свиноводст

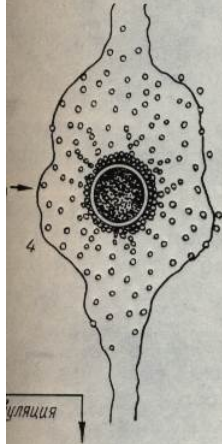
УДК 612—092.3—001.1/3—053

ОСОБЕННОСТИ ПИЩЕВОГО КАНЦЕЛЕЙ СТРИДОРОВЫХ

В процессе старения организма ограничиваются вибрации экстремальных частот.

В целях дальнейшей адаптации при острой работе изучено крыс при обычном и недостаточности у с

вероятно, некоторое время незначительно. При дальнейшем преовуляторной стадии кумулюса за счет активной овуляции, происходит очертание межклеточного матрикса яйцеклетки, музинизация быстро



люс в везикулярных фолликулах (макроскопические контуры матрикса); 5, 6, 7 — в антравиальных фолликулах.

кумулюсные клетки оказываются в массе. Визуально наблюдение изменения гормонов — это процессами сопровождается также значительное увеличение [5]. Похожие изменения в яйцеклетках хомяка [13], крысы

и яйцеклетки, лишенные яйцеклеток, или с утратой компактности, имеют признаки вакуолизации, сопровождающиеся с данными других яйцеклеток первой и второй групп. Яйцеклетки 5, 6, 7 и 8 могут содержать яйцеклетки из группы, т. е. при атрезии яйцеклетки, а яйцеклетка вакуолюса выглядит наиболее яйцеклетками в таком виде, для мыши мы не обнаружили морфологические изменения в антравиальных фолликулах из везикулярных яйцеклеток из морфофункциональному дифференцированию яйцеклеток, созревающих и атрези-

V. A. Lobchenko

MORPHO-FUNCTIONAL VARIETY OF THE FOLLICULAR OOCYTES IN PIG

Oocyte-cumulus complexes from normally developing and atretic follicles of the pig ovaries at different stages of oestral cycle are characterized. A scheme is suggested for differentiating the oocyte population into the atretic and normal ones (as to the state of their cumulus and cytoplasm).

Research Institute of Pig Husbandry, Poltava

- Галиева Л. Д., Свиридов Б. Е., Янушка А. Л. Культивирование фолликулярных ооцитов свиньи вне организма // Биологические основы совершенствования селекционно-генетических методов в животноводстве. Сб. науч. трудов ВНИИРГЖ.—1980.—№ 30.—С. 101—103.
- Михайленко А. В., Пулина Г. А., Языков А. А., Газарян К. Г. Отдельные группы в популяции ооцитов коров, их цитогенетический анализ и способность к созреванию *in vitro* // Биол. науки.—1983.—№ 9(237).—С. 57—62.
- Ainsworth L., Tsank B., Downey B. Interrelationships between follicular fluid steroid levels, gonadotrophic stimuli and oocyte maturation of porcine follicles // Biol. Reprod.—1980.—23, N 3.—P. 621—627.
- Centola G. Light microscopic observations of alterations in staining of the zona pellucida of porcine follicular oocytes: possible early indication of atresia // Gamete Res.—1982.—6, N 4.—P. 293—304.
- Daguet M.-C. Some aspects of final follicle growth in the sow // Ann. biol. anim., biochim., and biophys.—1978.—28, N 6.—1343—1349.
- Kang Y.-H. Development of the zona pellucida in the rat oocyte // Amer. J. Anat.—1974.—139, N 4.—P. 535—566.
- Katska L., Smorag Z. Number and quality of oocytes in relation to age of cattle // Anim. Reprod. Sci.—1984.—7, N 5.—P. 451—460.
- McGaughey R. W., Montgomery H., Richer J. D. Germinal vesicle configurations and patterns of polypeptide synthesis of porcine oocytes from antral follicles of different size are related to their competency for spontaneous maturation // J. Exp. Zool.—1979.—209, N 2.—P. 239—254.
- Motlik J. Cultivation of pig oocytes *in vitro* // Folia biol.—1972.—28, N 5.—P. 345—349.
- Pedersen T., Peters H. Proposal for a classification of oocytes and follicles in the mouse ovary // J. Reprod. Fertil.—1968.—17, N 3.—P. 555—557.
- Spalding J. F., Berry R. O., Moffit J. G. The maturation process of the ovum of swine during normal and induced ovulation // J. Anim. Sci.—1955.—14, N 3.—P. 609—620.
- Swartz W. J., Schuetz A. W. Morphological diversity of oocytes released from the adult mouse ovary // Amer. J. Anat.—1975.—144, N 3.—P. 365—372.
- Talbot P., DiCarantonio G. Architecture of the hamster oocyte-cumulus complex // Gamete Res.—1984.—9, N 3.—P. 261—272.
- Tesarik K. J., Dvorak M. Human cumulus oophorus preovulatory development // J. Ultrastruct. Res.—1982.—78, N 1.—P. 60—72.

Полтав. ин-т свиноводства ЮО ВАСХНИЛ

Поступила 21.05.85

Л. М. Тарасенко, Т. А. Девяткина

ОСОБЕННОСТИ РЕАКЦИИ НЕКОТОРЫХ ОТДЕЛОВ ПИЩЕВОГО КАНАЛА НА ОСТРЫЙ ЭМОЦИОНАЛЬНО-БОЛЕВОЙ СТРЕСС У ЗРЕЛЫХ И СТАРЫХ КРЫС

В процессе старения изменяется нейрогуморальная регуляция функций, что ограничивает адаптивные возможности организма при действии экстремальных факторов [13, 14].

В целях дальнейшего исследования роли возраста в формировании адаптации при остром эмоционально-болевом стрессе (ЭБС) в настоящей работе изучено состояние желудка и пародонта у зрелых и старых крыс при обычном рационе питания, а также на фоне антиоксидантной недостаточности у старых крыс.

Методика

Объектом исследований служили пародонт и желудок 38 белых крыс-самок двух возрастных групп: зрелых (6—7 мес) и старых (24 мес).

Острый ЭБС воспроизводили ранее описанным методом [16]. Крыс забивали через 2 ч после окончания ЭБС продолжительностью 5 ч. Контролем служили животные аналогичного возраста, не подвергшиеся стрессу.

Для изучения влияния понижения антиоксидантной защиты организма на ход стресса часть крыс получала в течение 10 сут до воздействия ЭБС безантиоксидантную диету [3]. Группировка опытов представлена в таблице.

Состояние пародонта оценивали по следующим показателям: содержанию малонового диальдегида (МДА) [12] — конечного продукта перекисного окисления липидов (ПОЛ) — в мягких тканях и степени минерализации (процентное отношение золы к сухому остатку кости), содержанию кальция и фосфора в костной ткани пародонта [6], а также степени резорбции альвеолярного края челюстных костей [10].

Состояние слизистой желудка учитывали визуально с помощью лупы. Тяжесть поражений (ТП) при наличии нескольких эрозий оценивали в 1 балл, наличие одной-двух язв оценивали в 2 балла, наличие 3—5 язв — в 3 балла, наличие более 5 язв — в 4 балла, прободение стенки желудка — в 5 баллов. Частоту поражений (ЧП) определяли по отношению числа крыс с язвами к общему числу животных в группе, множественность поражений (МП) — по отношению числа язв у всех крыс к числу животных в группе [1].

О процессах ПОЛ судили по уровню ацилгидроперекисей β - и пре- β -липопротеинов сыворотки крови, которые определяли спектрофотометрически при 232 нм [2]. Результаты экспериментов статистически обработаны [9].

Результаты и их обсуждение

Результаты проведенных исследований отражены в таблице, из которой видно, что острый ЭБС у старых крыс протекал значительно тяжелее, чем у зрелых. Обращает на себя внимание, что у части интактных старых крыс в возрасте двух лет наблюдались эрозии и язвенные поражения стенки желудка (см. таблицу).

У старых крыс, подвергшихся стрессу, язвенные поражения возникали в 100 % случаев, тогда как у зрелых в аналогичных условиях частота поражений составляла лишь 40 %. Наблюдалось также увеличение тяжести и множественности поражений стенки желудка старых крыс; в 20 % случаев отмечалось прободение стенки желудка. Нередко язвенные поражения сочетались с множественными эрозиями и кровоизлияниями в слизистую желудка. Следовательно, резистентность желудка старых крыс к острому стрессу понижена. В механизме ее ослабления, вероятно, важную роль играет возрастное уменьшение функциональных резервов желудка [5].

Содержание животных на безантиоксидантной диете в течение 10 сут не вызывало существенных изменений стенки желудка, так как, по-видимому, возникала лишь скрытая антиоксидантная недостаточность. Однако в условиях сочетания диеты с острым ЭБС множественность поражений желудка возросла более чем в четыре раза по сравнению с животными, у которых острый стресс развивался при обычном рационе. Аналогичным образом изменялся другой показатель стрессорного повреждения желудка — тяжесть поражения. При комплексном воздействии диеты и острого ЭБС ТП составляла 3,71 балла против 2,6 баллов у крыс, подвергшихся стрессу в обычных условиях питания. Нарастании тяжести стрессорного повреждения желудка у старых крыс в условиях стресса на фоне антиоксидантной недостаточности свидетельствует также учащение прободения желудка по сравнению с контролем (28,5 % и 20 % соответственно). Некоторое снижение частоты поражений желудка у старых крыс при сочетании диеты и стресса по сравнению с острым ЭБС объяснить трудно. Как известно, в механизме стрессорного повреждения тканей существенную роль отводят активации процессов ПОЛ [8]. В то же время стареющий организм отличается повышенной чувствительностью к стрессу.

Поэтому суммирование ней недостаточности р

О закономерной с при сочетанном воздей товерное повышение у ед. экст./мл) ($8,9 \pm 0,26$ ния применяли раздель

Влияние острого ЭБС на

№ группы и характер опыта	Же		
	ЧП, %	ср	бл
1. Зрелые интактные крысы (7)	0		
2. Старые интактные крысы (7)	28	0,7	
3. Острый ЭБС — зрелые крысы (5)	40	0,8	
4. Острый ЭБС — старые крысы (5)	100	2,6	0
5. Диета — старые крысы (7)	43	1,0	0
6. Диета+острый ЭБС старые крысы (7)	86	3,7	0

Примечание. * Достовер между 4 и 6 группами ($P < 0,05$).

Анализ состояния и старых крыс острый, однако, при сочетанном ткань старых крыс стра тери кальция кости (ра зации костной ткани па ция к усилиению резо животных под влияние диеты. Следовательно, организма потенцирует пародонт.

Таким образом, во адаптивных возможност сорные воздействия.

Тот факт, что нарастание стресса у крыс не сопровождается активацией ПОЛ, входит из данных Meersto сорного повреждения паской регуляции. Анти стрессе не только за счет ления самого стресс-син

Полученные данные ной диеты на стрессоры системы подтверждают эти

желудок 38 белых крыс-самок двух с.)

етодом [16]. Крыс забивали через контролем служили животные ана-

тной защиты организма на ход действия ЭБС безантиоксидантную е.

показателям: содержанию малого перекисного окисления липидов (процентное отношение золы к фора в костной ткани пародонта листных костей [10].

льно с помощью лупы. Тяжесть нивали в 1 балл, наличие одной-3 балла, наличие более 5 язв — Частоту поражений (ЧП) определили в числе животных в группе, мно-на язв у всех крыс к числу жи-

перекисей β - и пре- β -липопротеинометрически при 232 нм [2]-9].

дение

тражены в таблице, из ко-
с протекал значительно тя-
мание, что у части интакт-
одались эрозии и язвенные

извенные поражения возни-
анalogичных условиях час-
блюдалось также увеличе-
стенки желудка старых
стенки желудка. Нередко-
енными эрозиями и крово-
тельно, резистентность же-
гена. В механизме ее ослаб-
тное уменьшение функцио-

дантной диете в течение
стенки желудка, так как,
иоксидантная недостаточ-
острым ЭБС множествен-
и в четыре раза по сравне-
развивался при обычном
угой показатель стрессор-
жения. При комплексном
авляла 3,71 балла против
бычных условиях питания.
дения желудка у старых
итной недостаточности сви-
туда по сравнению с кон-
которое снижение частоты
тании диеты и стресса по
Как известно, в механизме
ную роль отводят активи-
рующий организм отлича-

ется повышенной чувствительностью к дефициту антиоксидантов [11]. Поэтому суммирование двух факторов — острого ЭБС и антиоксидантной недостаточности резко усиливает ультерогенный эффект стресса.

О закономерной связи повреждения желудка с активацией ПОЛ при сочетанном воздействии диеты и острого ЭБС свидетельствует достоверное повышение уровня ацилгидроперекисей сыворотки крови (в ед. экст./мл) ($8,9 \pm 0,26$) по сравнению с опытами, где указанные влияния применяли раздельно (диета — $7,4 \pm 0,45$; острый ЭБС — $7,6 \pm 0,40$).

Влияние острого ЭБС на язвообразование желудка и состояние тканей пародонта

№ группы и характер опытов	Желудок			Пародонт			
	ЧП, %	ТП, средний балл	МП	Мягкие ткани		Костная ткань***	
				МДА, ед. экст./100 мг	Кальций	Фосфор	Степень минерализации, %
1. Зрелые интактные крысы (7)	0	0	0	0,142+0,002	30,2±1,21	18,9±0,25	62,5±1,84
2. Старые интактные крысы (7)	28	0,71±0,57±0,150±0,025	0,52	32,4±0,43	18,9±0,79	63,9±0,67	
3. Острый ЭБС — зрелые крысы (5)	40	0,80±0,40±0,181±0,004	0,35	28,7±1,44	19,2±0,98	62,1±0,57	
4. Острый ЭБС — старые крысы (5)	100	2,60±1,40±0,147±0,013*	0,45*	29,8±0,67	19,2±0,79	64,4±0,87	
5. Диета — старые крысы (7)	43	1,0±0,85±0,139±0,023	0,51	32,5±0,76	18,7±0,42	63,1±1,88	
6. Диета+острый ЭБС старые крысы (7)	86	3,71±5,80±0,148±0,019	0,90	29,1±1,19	18,3±0,58	61,4±0,37*	

Примечание. * Достоверные различия между 3 и 4 группами ($P < 0,05$), ** — между 4 и 6 группами ($P < 0,05$); *** кальций, фосфор определяли в золе, $1 \cdot 10^{-5}$.

Анализ состояния костной ткани пародонта показал, что у зрелых и старых крыс острый ЭБС вызывает понижение содержания кальция, однако, при сочетанном воздействии диеты и острого ЭБС костная ткань старых крыс страдает сильнее, что выражается в увеличении потери кальция кости (различия достоверны). С изменениями минерализации костной ткани пародонта хорошо согласуется отчетливая тенденция к усилию резорбции альвеолярного края кости у старых животных под влиянием острого ЭБС на фоне безантиоксидантной диеты. Следовательно, пониженная антиоксидантная обеспеченность организма потенцирует повреждающее влияние острого стресса на пародонт.

Таким образом, возрастные изменения сопряжены со снижением адаптивных возможностей пищеварительной системы в ответ на стрессорные воздействия.

Тот факт, что нарастание тяжести повреждения пародонта старых крыс не сопровождается параллельным повышением уровня МДА в мягких тканях, позволяет предполагать участие иного механизма, кроме активации ПОЛ, в патогенезе стрессорной реакции пародонта. Исходя из данных Meersona [8], наиболее вероятным механизмом стрессорного повреждения пародонта может быть возбуждение адренергической регуляции. Антиоксиданты реализуют защитный эффект при стрессе не только за счет ограничения ПОЛ, но также вследствие ослабления самого стресс-синдрома [8].

Полученные данные о потенцирующем влиянии безантиоксидантной диеты на стрессорное повреждение органов пищеварительной системы подтверждают это положение.

**PECULIARITIES OF THE RESPONSE OF CERTAIN PARTS
OF THE ALIMENTARY CANAL TO THE ACUTE EMOTIONAL-PAINFUL
STRESS IN MATURE AND OLD RATS**

The study of the age significance in formation of adaptation in albino rats with acute emotional-painful stress on their parodont and stomach has shown that age changes are induced by a decrease in the potentialities of the digestive system adaptation to stress. An increase in the parodont lesion gravity is not followed by a parallel rise in the malonic dialdehyde content in soft tissues. It permits supposing that besides lipid peroxidation there is another mechanism participating in pathogenesis of stress parodont response.

Medical Stomatologic Institute, Ministry of Public Health
of the Ukrainian SSR, Poltava

1. Виноградов В. А., Полонский Б. М. Влияние нейтропептидов на экспериментальную дуоденальную язву у крыс.—Патол. физиология и эксперим. терапия, 1983, № 1, с. 3—6.
2. Воскресенский О. Н., Левицкий А. П., Витт В. В., Маценко Б. И. Участие свободно-радикального окисления и недостаточности антиоксидантной системы (АС) в развитии атеросклероза.—В кн.: III Междунар. биохим. конгр. М., 1972, т. 4, с. 203—204.
3. Воскресенский О. Н., Бобырев В. Н. Влияние аскорбиновой кислоты и рутину на развитие экспериментального перекисного атеросклероза.—Фармакология и токсикология, 1979, 42, № 4, с. 378—382.
4. Воскресенский О. Н., Туманов А. А. Ангиопротекторы.—Киев: Здоров'я, 1982.—120 с.
5. Коркошко О. В., Якименко Д. М., Терещенко В. П. Функция желудка и поджелудочной железы при старении.—В кн.: Физиологические механизмы старения. Л.: Наука, 1982, с. 132—143.
6. Леонтьев В. К., Петрович Ю. А. Биохимические методы исследования в клинической и экспериментальной стоматологии.—Омск: Б. и., 1976.—93 с.
7. Meerzon Ф. З., Коэн В. Е., Прилипко Л. Л. и др. Активация перекисного окисления липидов при эмоционально-боловом стрессе.—Бюл. эксперим. биологии и медицины, 1979, 39, № 10, с. 404—406.
8. Meerzon Ф. З. Адаптация, стресс и профилактика.—М.: Наука, 1981.—278 с.
9. Монцевич-Эрингене Е. В. Упрощенные математико-статистические методы медицинских исследований.—Патол. физиология и эксперим. терапия, 1964, № 4, с. 71—77.
10. Николаева А. В., Розовская Е. С. Экспериментальные дистрофии тканей пародонта.—Бюл. эксперим. биологии и медицины, 1965, 60, № 7, с. 46—49.
11. Паранич А. В. Сезонные изменения содержания витамина Е в организме белых крыс разного возраста.—Физiol. журн., 1984, 30, № 2, с. 217—222.
12. Стальная И. Д., Гаршишики Т. Г. Метод определения малонового диальдегида с помощью тиобарбитуровой кислоты.—В кн.: Современные методы в биохимии. М., 1977, с. 66—68.
13. Фролькис В. В. Регулирование, приспособление и старение.—Л.: Наука, 1970.—458 с.
14. Фролькис В. В. Нейротрофические механизмы старения.—Физiol. журн., 1984, 30, № 1, с. 73—80.
15. Эмануэль Н. М. Антиоксиданты и увеличение продолжительности жизни.—Там же, с. 1—8.
16. Desidevato O., Mac Kinnon I. R. Development of gastric ulcerous in rats following stress termination.—J. Comp. Physiol. Psychol., 1974, 87, N 2, p. 208—214.

Полтав. мед. стомат. ин-т
МЗ УССР

Поступила 26.04.84

**ОСОБЕННОСТИ
ХОРИОГОНАДОТРОПНОГО
И ГИПОФИЗЭКТОМА
И РА**

Гиппокамп оказывает и изменяет функцию шинство исследований тельности яичников. Очи мужских половых тературе нет данных о хориогонадотропине.

Задача исследований отдела гиппокампа взрослых самцов белых жения вентро-медиаль датки, семенные пузьры хориогонадотропин ин

Опыты проведены на 1 массой 35—50 г. Крысы были введены электродов в гипп производства оптического зажигающих координат [12]. Электроды покрывали стеклянной изоляции электрический ток силой 10 от генератора ИСЭ-01 (прямая полярность, частота 60 Гц, дл. [2]. Контролем служили крысы либо вмешательств. Место определяли по уже описанной зоне электролитического очага.

Гипофизэктомию производили применяли препарат хориогонадотропин (Будапешт, Венгрия). Каждый раствор хлористого натрия 4 ч) в течение 5 сут. Контроль 0,2 мл 0,9 %-ного раствора гиппокампа в опыте находил хлороформом, вскрывали брызги пузырьки и простату. Экстрактом формалина для прокрашивали гематоксилином, а также высоту клеточных зон.

О сперматогенной функции, картине сперматозоидов семенников; о гормообразовании активности придатков.

Цифровые данные, поливариационной статистики состояния [4].

Л. Н. Крещук

ОСОБЕННОСТИ РЕАКЦИИ СЕМЕННИКОВ НА ВВЕДЕНИЕ ХОРИОГОНАДОТРОПИНА У НЕПОЛОВОЗРЕЛЫХ ИНТАКТНЫХ И ГИФОФИЗЭКТОМИРОВАННЫХ КРЫС ПОСЛЕ РАЗРУШЕНИЯ И РАЗДРАЖЕНИЯ ГИППОКАМПА

Гиппокамп оказывает заметное влияние на половое поведение [3] и изменяет функцию половых желез [13]. Однако до сих пор большинство исследований посвящено изучению роли гиппокампа в деятельности яичников. Опыты по изучению действия гиппокампа на функции мужских половых желез немногочисленны и противоречивы. В литературе нет данных о влиянии гиппокампа на реакцию семенников на хориогонадотропин.

Задача исследования состояла в выяснении роли вентро-медиального отдела гиппокампа в регуляции функций половых желез у неполовозрелых самцов белых крыс. Изучали влияние разрушения и раздражения вентро-медиального отдела гиппокампа на семенники, их придатки, семенные пузырьки и простату, а также реакцию семенников на хориогонадотропин интактных и гифофиэктомированных животных.

Методика

Опыты проведены на 150 неполовозрелых самцах белых крыс в возрасте 5—6 нед, массой 35—50 г. Крысы были разделены на 15 серий по 10 животных в каждой. Для введения электродов в гиппокамп применяли стереотаксический прибор типа МВ-4101 производства оптического завода г. Будапешт и пользовались атласом стереотаксических координат [12]. Электроды изготавливали из никромовой проволоки диаметром 0,05 мм и покрывали стеклянной изоляцией. Для разрушения гиппокампа применяли постоянный электрический ток силой 10 мА в течение 10 с, а для раздражения — электрический ток от генератора ИСЭ-01 (прямоугольные импульсы электрического тока положительной полярности, частота 60 Гц, длительность импульса 1 мс, напряжение 6 В) в течение 10 с [2]. Контролем служили крысы с вживленными в гиппокамп электродами без каких-либо вмешательств. Место расположения электродов в ткани мозга после раздражения определяли по уже описанному методу [1], а после разрушения — по месту локализации электролитического очага.

Гифофиэктомию производили трансаурикулярно [5]. Из гонадотропных гормонов применяли препарат хориогонадотропина (в частности, хориогонин «Гедеон Рихтер», Будапешт, Венгрия). Каждой крысе вводили по 5 ед хориогонина в 0,2 мл 0,9 %-ного раствора хлористого натрия два раза в день (промежуток между введениями составлял 4 ч) в течение 5 сут. Контрольным животным в те же сроки вводили соответственно по 0,2 мл 0,9 %-ного раствора хлористого натрия. Все животные после воздействия на гиппокамп в опыте находились 5 сут. По окончании опыта их взвешивали, усыпляли хлороформом, вскрывали брюшную полость и извлекали семенники, их придатки, семенные пузырьки и простату. Эти органы взвешивали, фиксировали 10 %-ным нейтральным раствором формалина для последующих гистологических исследований. Гистологические срезы окрашивали гематоксилином и эозином. На окрашенных срезах измеряли с помощью окуляр-микрометра диаметр семенных канальцев и канала придатка семенников, а также высоту клеток эпителия, канала придатка семенников и семенных пузырьков.

О сперматогенной функции семенников судили по их массе, гистологическому строению, картине сперматогенеза, диаметру семенных канальцев и канала придатков семенников; о гормонообразовательной — по массе, гистологическому строению и секреционной активности придаточных частей мужского полового аппарата.

Цифровые данные, полученные в результате исследований, обрабатывали методом вариационной статистики с вычислением степени достоверности по таблице Стьюдента [4].

уаткина
F CERTAIN PARTS
JTE EMOTIONAL-PAINFUL
OLD RATS
of adaptation in albino rats with
stomach has shown that age
of the digestive system adapta-
y is not followed by a parallel ri-
It permits supposing that besides
ting in pathogenesis of stress pa-

тропептидов на эксперименталь-
ология и эксперим. терапия, 1983,

Маценко Б. И. Участие свободно-
радикальной системы (АС) в раз-
вим. конгр. М., 1972, т. 4, с. 203—

орбиновой кислоты и рутинна на
терапии.— Фармакология и токси-
кторы.— Киев : Здоров'я, 1982.—

7. Функция желудка и поджелу-
дочные механизмы старения. Л. :
методы исследования в клиничес-
ке, 1976.—93 с.

Активация перекисного окисле-
Бюл. эксперим. биологии и ме-

— М. : Наука, 1981.—278 с.
ико-статистические методы меди-
рим. терапия, 1964, № 4, с. 71—

ные дистрофии тканей пародон-
№ 7, с. 46—49.

витамина Е в организме белых
2, с. 217—222.

ния малонового диальдегида с
менные методы в биохимии. М.,

старение.— Л. : Наука, 1970.—

ния.— Физиол. журн., 1984, 30,

олжительности жизни.— Там же,

gastric ulcers in rats following

87, N 2, p. 208—214.

Поступила 26.04.84

Результаты и их обсуждение

У неполовозрелых самцов белых крыс (табл. 1) разрушение вентро-медиального отдела гиппокампа не вызывало изменений массы семенников и придаточных частей мужского полового аппарата, но вызывало уменьшение высоты эпителия в канале придатка и семенных пузырьках. Последнее может быть расценено как угнетение гормонобразовательной функции семенников. В определенной степени это соответствует данным других авторов о том, что разрушение гиппокампа у неполовозрелых крыс сопровождалось по достижении ими половозрелого возраста уменьшением массы семенников [9] и снижением их функции [10].

Раздражение вентро-медиального отдела гиппокампа стимулирующее влияло на половые железы неполовозрелых самцов крыс. Увеличивались масса семенников, их придатков, семенных пузырьков и простаты; число рядов сперматогенных клеток, а в некоторых извитых

канальцах семенного эпителия семенных покамп, чем без него. Вероятно, на может служить за редь способствует на половое поведение.

В литературе сказано о влиянии органов мужчины, что введение стимулирует у них.

Как показали неполовозрелым самальным отделом гиппокампа семенников на

Таблица 1. Влияние разрушения и раздражения вентро-медиального отдела гиппокампа на чувствительность семенников

№ серии	Воздействие	Средняя масса тела в конце опыта, г	Средняя масса, приходящаяся на 100 г массы тела животного, мг			Ср
			семенников	придатков семенников	семенных пузырьков и простаты	
1	Контроль	44,5±0,6	830,2±59,2	106,8±5,8	116,8±5,8	150,8±
2	Вживление электродов в гиппокамп без воздействий	42,8±0,5	828,0±44,9	106,0±6,3	112,2±5,0	152,7±
3	Разрушение гиппокампа	43,5±0,8	885,2±27,3	106,0±3,9	P ₁ >0,5	P ₁ >0,
4	Раздражение гиппокампа	45,7±0,8	1402,1±65,0	171,9±7,6	P ₂ >0,5	P ₂ >0,
5	Введение изотопического раствора NaCl	41,8±1,9	863,5±80,6	102,9±7,2	P ₂ <0,001	P ₂ <0,0
6	Введение ХГ	44,4±0,9	909,8±97,2	166,9±7,5	323,8±23,1	172,8±
7	Разрушение гиппокампа и введение ХГ	47,6±2,0	814,7±24,7	132,5±3,3	P ₆ >0,5	P ₆ <0,0
8	Раздражение гиппокампа и введение ХГ	48,9±2,0	1354,7±56,2	195,7±9,3	P ₆ <0,001	230,5±10,5
						144,2±3,0
						420,0±13,0
						P ₆ <0,002
						195,3±3,0
						P ₆ <0,001

Примечание. P₁, P₂...P₆—показатель статистической достоверности с номером серии, с которой проводилось сравнение.

Таблица 2. Влияние разрушения и раздражения вентро-медиального отдела гиппокампа на чувствительность семенников хориогон

№ серии	Воздействие	Средняя масса тела в конце опыта, г	Средняя масса, приходящаяся на 100 г массы тела животного, мг			Ср
			семенников	придатков семенников	семенных пузырьков и простаты	
9	«Ложная» ГЭ	47,2±1,0	858,1±58,9	112,7±7,5	115,1±3,1	152,7±
10	ГЭ	48,9±2,2	327,1±24,3	P ₁ >0,5	P ₁ >0,5	P ₁ >0,
11	Разрушение гиппокампа после ГЭ	40,1±0,4	282,0±5,3	P ₉ <0,001	65,8±4,3	60,9±1,6
12	Раздражение гиппокампа после ГЭ	42,5±1,0	653,5±13,9	P ₁₀ >0,05	64,6±1,2	P ₉ <0,001
13	ГЭ и введение ХГ	42,1±1,4	492,9±23,1	P ₁₀ <0,001	139,6±6,5	57,6±1,9
14	Разрушение гиппокампа после ГЭ и введение ХГ	43,4±0,9	469,9±36,1	P ₁₀ >0,5	130,9±23,8	P ₁₀ >0,5
15	Раздражение гиппокампа после ГЭ и введение ХГ	45,8±0,5	517,8±21,1	P ₁₃ >0,5	144,3±7,3	73,5±2,4
						P ₁₃ <0,001
						219,4±12,9
						P ₁₀ <0,001
						193,3±24,2
						305,1±32,2
						P ₁₃ >0,25
						112,5±
						P ₁₃ >0,02
						115,6±
						P ₁₃ >0,001

Примечание. P₉, P₁₀...P₁₃—показатель статистической достоверности с номером серии, которой проводилось сравнение.

кление

(табл. 1) разрушение вен вызывало изменений массы о полового аппарата, но вынуждало приатка и семенных ено как угнетение гормонов определенной степени это том, что разрушение гиппокампа по достижении ими семенников [9] и снижение гиппокампа стимулирующих самцов крыс. Увеличение семенных пузырьков и просток, а в некоторых извитых

канальцах семенников формирование сперматозоидов. Высота клеток эпителия семенных пузырьков была больше при воздействии на гиппокамп, чем без него. Полость семенных пузырьков содержала секрет, которого, как правило, не было у интактных неполовозрелых животных. Вероятно, на ранних стадиях полового созревания гиппокамп может служить запуском высвобождения ФСГ, который в свою очередь способствует росту половых желез и их секреции [7, 13], влияя на половое поведение [8, 11].

В литературе отсутствуют данные о влиянии гиппокампа на реакцию органов мужской половой системы на хориогонадотропин. Известно, что введение хориогонадотропина неполовозрелым самцам крыс стимулирует у них сперматогенез и гормообразование [6].

Как показали наши исследования, введение хориогонадотропина неполовозрелым самцам белых крыс после разрушения вентро-медиального отдела гиппокампа снижает, а раздражение — усиливает реакцию семенников на хориогонадотропин. Гипофизэктомия у неполовозрелых

и вентро-медиального отдела гиппокампа

Средняя масса, приходящаяся на 100 г массы

семенников	приатков семенников
830,2 ± 59,2	106,8 ± 5,8
828,0 ± 44,9	106,0 ± 6,3
$P_1 > 0,5$	$P_1 > 0,5$
885,2 ± 27,3	106,0 ± 3,9
$P_2 > 0,5$	$P_2 > 0,5$
1402,1 ± 65,0	171,9 ± 7,6
$P_2 < 0,001$	$P_2 < 0,001$
863,5 ± 80,6	102,9 ± 7,2
909,8 ± 97,2	166,9 ± 7,5
$P_5 > 0,5$	$P_6 < 0,001$
814,7 ± 24,7	132,5 ± 3,3
$P_6 > 0,25$	$P_6 < 0,001$
1354,7 ± 56,2	195,7 ± 9,3
$P_6 < 0,001$	$P_6 < 0,001$

и достоверности с номером серии, с кото-

рой проводилось сравнение.

и вентро-медиального отдела гиппокампа хориогонадотропину (ХГ)

Средняя масса, приходящаяся на 100 г массы

семенников	приатков семенников
858,1 ± 58,9	112,7 ± 7,5
$P_1 > 0,5$	$P_1 > 0,5$
327,1 ± 24,3	65,8 ± 4,3
$P_9 < 0,001$	$P_9 < 0,001$
282,0 ± 5,3	64,6 ± 1,2
$P_{10} > 0,05$	$P_{10} > 0,5$
653,5 ± 13,9	90,9 ± 2,2
$P_{10} < 0,001$	$P_{10} < 0,001$
492,9 ± 23,1	139,6 ± 6,5
$P_{10} < 0,001$	$P_{10} < 0,001$
469,9 ± 36,1	130,9 ± 23,8
$P_{13} > 0,5$	$P_{13} > 0,5$
517,8 ± 21,1	144,3 ± 7,3
$P_{13} > 0,5$	$P_{13} > 0,5$

ской достоверности с номером серии, с

кото-рой проводилось сравнение.

льных самцов белых крыс вызывает атрофические изменения семенников и придаточных частей мужского полового аппарата (табл. 2).

После разрушения вентро-медиального отдела гиппокампа вслед за гипофизэктомией масса семенников и придаточных частей мужского полового аппарата оставалась такой же, как после удаления гипофиза. Однако гистологическая картина показала, что разрушение гиппокампа углубляло дегенеративные изменения семенников и придаточных частей, вызванные гипофизэктомией. Раздражение вентро-медиального отдела гиппокампа значительно уменьшало дегенеративные изменения мужской половой системы, вызванные гипофизэктомией.

Известно, что введение хориогонадотропина стимулирует гормонообразовательную функцию семенников у неполовозрелых самцов крыс, лишенных гипофиза. У таких крыс разрушение вентро-медиального отдела гиппокампа не изменяло реакцию семенников на хориогонадотропин. После раздражения гиппокампа и введения хориогонадотропина деструктивные изменения семенников, вызванные гипофизэктомией, становятся менее выраженным.

Результаты исследований дают основание считать, что при интактном гипофизе разрушение гиппокампа снижает, а раздражение — повышает реакцию семенников на хориогонадотропин. Вероятно, гиппокамп может оказывать влияние на гормонообразовательную и сперматогенную функции семенников парагипофизарно. Один из механизмов такого влияния — изменение чувствительности семенников гипофизэктомированных животных к гонадотропинам. В частности, активное состояние гиппокампа гипофизэктомированных крыс сопровождается повышенной реакцией семенников на гонадотропины.

Выводы

1. Раздражение вентро-медиального отдела гиппокампа повышает, а его разрушение понижает реакцию семенников на хориогонадотропин.

2. После удаления гипофиза разрушение гиппокампа не изменяет, а раздражение — повышает реакцию семенников на хориогонадотропин.

L. N. Kreshchuk

PECULIARITIES OF THE TESTIS RESPONSE TO THE ADMINISTRATION OF CHORIOGONADOTROPIN IN PREADOLESCENT INTACT AND HYPOPHYSECTOMIZED RATS AFTER DESTRUCTION AND STIMULATION OF THE HIPPOCAMP

Influence of the destruction and stimulation of the ventromedial hippocamp area (VMHA) on testes of the intact and hypophysectomized animals as well as response of their testes to choriogonadotropin (CG) are studied. Destruction of the VMHA inhibits endocrine function of testes and irritation stimulates this function and spermatogenesis. After ablation of the hypophysis the destruction and stimulation of the VMHA affect the degree of atrophic changes in testes. Stimulation of the VMHA increases the response of testes to CG and its destruction decreases it. After ablation of the hypophysis the VMHA destruction does not change this response, while the VMHA stimulation increases it.

Medical Institute, Chernovtsi

- Гусельникова К. Т., Гусельников В. И. Методика определения места локализации вживленных электродов // Журн. высш. нервн. деятельности. — 1960. — 10, № 4. — С. 637—638.
- Коваль И. Н. К вопросу об электростимуляции гиппокампа // Биол. журн. Армении. — 1972. — 25, № 4. — С. 93—95.
- Макарова Т. М. Влияние разрушения и удаления ряда структур лимбической системы на протекание полового поведения // Крат. тез. к 3-й науч. конф. молодых ученых мед. ин-та. Петроград. р-на. — Л., 1972. — С. 155.
- Мерков А. М., Поляков Л. Е. Санитарная статистика. — Л.: Медицина, 1974. — 295 с.
- Федотов В. П., Баграмян Э. Р., Аleshina Л. В. Методика трансаурикулярного удаления гипофиза у крыс разного веса // Пробл. эндокринологии. — 1971. — 17, № 2. — С. 102—106.

- Harman S. M., Danner to chorionic gonadotropho P. 540—544.
- Kawakami M., Terasawa in the female pre-
- Kawakami M., Kimura , ves in endocrine psycho
- Kling A., Grove O. Del neonatal rat // Fed. Pro
- Kling A. Effects of rh the rat // Amer. J. Phys
- Kurtz R. G., Adler N. male rat: Evidence for s 84, N 2. — P. 225—239.
- Massopust L. C. Stereotaxic section of the brain. — Tex.
- Terasawa E., Kawakami function in the female

Черновиц. мед. ин-т МЗ У

УДК 612.17.014.31:616.34

И. Г. Г

МЕХАНИЗМЫ БРЫЖЕЙКИ КИ

Проблема висцеральных рефлексов в современной медицине недостаточно выяснена [3, 5, 8]. Цель настоящего исследования — изучение механизма действия гипофизэктомии на центральную нервную систему.

Проведено две серии опытов на крысах массой 140—160 г. Проведено на зимних лягушках декапитированы по уроцищу брюшную полость, покишики на частоту сердечных лягушек после разрушения медуллярных лягушек. Для применения фармакологических препаратов наносили непосредственно. Запись сокращений сердца проводилась методом вариан-

тографии. В опытах на миокарде частота сокращений сердца уменьшалась в результате действия гипофиза на сердце. Ошибка средней (S_x) в 100% опыта в среднем на $(9,8 \pm 5,0)$ [8]. После разрушения сердца у спинальных условиях подвергивание сердечных сокращений не влияло на частоту сокращений сердца.

Физиол. журн., 1986, т. 32,

ие изменения семенников-ппарата (табл. 2).
дела гиппокампа вслед за
гипофизом, что разрушение гиппо-
меников и придаточных
жние вентро-медиально-
дегенеративные измене-
нофизэктомией.
на стимулирует гормоно-
взрослых самцов крыс,
в вентро-медиального от-
ников на хориогонадотро-
ния хориогонадотропина
анные гипофизэктомией,

считать, что при интак-
ет, а раздражение — по-
тропин. Вероятно, гиппо-
бразовательную и спер-
арно. Один из механиз-
ности семенников гиппо-
кам. В частности, актив-
ных крыс сопровожда-
адотропины.

а гиппокампа повышает,
в на хориогонадотропин.
гиппокампа не изменяет,
ников на хориогонад-

THE ADMINISTRATION
ESCENT INTACT
DESTRUCTION
OCAMP

ventromedian hippocamp area
imals as well as response of
ction of the VMHA inhibits en-
ction and spermatogenesis. Af-
action of the VMHA affect the
MHA increases the response of
the hypophysis the VMHA
HA stimulation increases it.

ределения места локализации
ельности.— 1960.—10, № 4.—
локампа // Биол. журн. Арме-
и структур лимбической систе-
и науч. конф. молодых ученых
— Л.: Медицина, 1974.—295 с.
ка трансаурикулярного удале-
иологии.— 1971.—17, № 2.—

юл. журн., 1986, т. 32, № 2

6. Harman S. M., Danner R. L., Roth G. S. Testosterone secretion in the rat in response to chorionic gonadotropin: Alterations with age // Endocrinology.— 1978.—102, N 2.— P. 540—544.
7. Kawakami M., Terasawa Ei. Electrical stimulation of the brain on gonadotropin secretion in the female prepuberal rat // Endocrinol. Jap.— 1972.—19, N 4.— P. 335—347.
8. Kawakami M., Kimura F. The limbic forebrain structures and reproduction // Perspectives in endocrine psychobiology.— Budapest, 1978.— P. 101—156.
9. Kling A., Grove O. Delayed vaginal opening following lesions of the olfactory in the neonatal rat // Fed. Proc.— 1963.—22, N 5.— P. 573.
10. Kling A. Effects of rhinencephalic lesions on endocrine and somatic development in the rat // Amer. J. Physiol.— 1964.—206, N 6.— P. 1395—1400.
11. Kurtz R. G., Adler N. T. Electrophysiological correlates of copulatory behavior in the male rat: Evidence for sexual inhibitory process // J. Comp. Physiol. Psychol.— 1973.— 84, N 2.— P. 225—239.
12. Massopust L. C. Stereotaxic atlases. A. Diencephalon of the rat // Electrical stimulation of the brain.— Texas: University Texas press, 1961.— P. 181—202.
13. Terasawa E., Kawakami M. Effects of limbic forebrain ablation on pituitary gonadal function in the female rat // Endocrinol. Jap.— 1973.—20, N 3.— P. 277—289.

Черновиц. мед. ин-т МЗ УССР

Поступила 05.10.84

УДК 612.17.014.31:616.34

И. Г. Паламарчук, Ю. А. Кривохацкая

МЕХАНИЗМЫ ВЛИЯНИЯ РАЗДРАЖЕНИЯ БРЫЖЕЙКИ КИШЕЧНИКА НА ДЕЯТЕЛЬНОСТЬ СЕРДЦА

Проблема висцеро-кардиального влияния занимает важное место в современной медицине. Однако механизмы этого влияния остаются недостаточно выясненными [2, 6 и др.]. Установлено, что поражение внутренних органов нередко существенно оказывается на работе сердца [3, 5, 8]. Цель настоящего исследования — изучение механизмов энtero-кардиального рефлекторного влияния путем разрушения отделов центральной нервной системы (ЦНС) и фармакологического анализа.

Методика

Проведено две серии исследований в условиях острого эксперимента на лягушках-самцах массой 140—160 г при 18°C. I серия включает 21 опыт. При этом 10 опытов проведено на зимних лягушках и 11 — на весенних. Во всех опытах данной серии лягушек декапитировали по уровню наружных слуховых мембранны, обнажали сердце и вскрывали брюшную полость, после чего изучали влияние трехкратного подергивания толстой кишки на частоту сердечных сокращений последовательно у медуллярной и спинальной лягушек после разрушения спинного мозга. II серия включает 15 опытов на весенних медуллярных лягушках. Для анализа механизмов энtero-кардиального рефлекса мы применили фармакологические вещества синаптического действия: атропин сульфат — 1,4 ммоль/л, бензогексоний — 48,4 ммоль/л, орnid — 6 мг/кг массы. Атропин и бензогексоний наносили непосредственно на сердце (2 капли). Орnid вводили внутрибрюшинно. Запись сокращений сердца осуществляли кимографически. Полученные данные обрабатывали методом вариационной статистики.

Результаты и их обсуждение

В опытах на медуллярных препаратах зимних лягушек средняя частота сокращений сердца в 1 мин (\bar{x}) и средняя квадратическая ошибка средней ($S_{\bar{x}}$) составляли $55,4 \pm 1,7$. Подергивание толстой кишки (в 100 % опытов) вызывало остановку сердца в диастоле в среднем на $(9,8 \pm 5,0)$ с, т. е. проявлялся типичный рефлекс Гольца [8]. После разрушения продолговатого мозга частота сокращений сердца у спинальных лягушек составляла в 1 мин $42,3 \pm 2,2$. В этих условиях подергивание толстой кишки вызывало в 90 % опытов учащение сердечных сокращений в среднем на 6,17 в 1 мин ($P < 0,001$). Пос-

ле разрушения спинного мозга средняя частота сокращений сердца составляла в 1 мин $41,5 \pm 1,7$, т. е. существенно не изменялась по сравнению со средней частотой сокращений сердца спинальной лягушки. Подергивание толстой кишки на таком препарате дало следующие результаты: в 50 % опытов отмечено уменьшение частоты сердечных сокращений, в 30 % — не обнаружено эффекта, в 20 % — отмечен положительный хронотропный эффект.

В опытах на медуллярных препаратах весенних лягушек получены аналогичные данные: подергивание толстой кишки (как и в опытах на медуллярных зимних лягушках) в 100 % опытов приводило к остановке сердца на несколько секунд (в среднем на $8,4 \pm 0,9$).

После разрушения продолговатого мозга подергивание толстой кишки на препаратах весенних лягушек приводило к результатам, противоположным тем, которые отмечены на соответствующих препаратах зимних лягушек: в 91 % опытов наблюдали выраженный отрицательный хронотропный эффект — остановку сердца в среднем на $(7,9 \pm 0,8)$ с. После разрушения спинного мозга подергивание толстой кишки весенних и зимних лягушек приводило к различным эффектам: в 63,6 % опытов отмечен отрицательный хронотропный эффект, в 9,1 % — эффекта не наблюдалось, в 27,3 % наблюдался положительный хронотропный эффект.

Кардиографический анализ энtero-кардиального рефлекса на медуллярных препаратах весенних лягушек показал, что вслед за кратковременной остановкой сердца, вызванной подергиванием толстой кишки, отмечается значительное и продолжительное (около 30 с) увеличение амплитуды сокращений сердца (на 18—20 %). Следует отметить, что начальная фаза энtero-кардиального рефлекса при определенной силе подергивания могла проявляться лишь в урежении сокращений сердца без его остановки, однако и в этом случае последующее усиление сокращений было значительным и продолжительным. Повторное подергивание толстой кишки в интервалах времени меньше 3 мин сопровождалось слабо выраженной тормозной фазой рефлекса, фаза же последующего усиления сокращений была достаточно выраженной. Этот эффект, а также различие латентных периодов тормозной и усиливающей фаз энtero-кардиального рефлекса, позволяют предполагать различные механизмы происхождения этих фаз. Проведенный фармакологический анализ это подтвердил. Так, М-холинолитик атропин, нанесенный на сердце, уже через 3 мин значительно ослаблял первую, тормозную, фазу энtero-кардиального рефлекса. Вторая — усиление сокращений, — по-прежнему четко проявлялась. Симпатолитик орнид исключал вторую фазу проявления энtero-кардиального рефлекса. Фаза торможения (уменьшение амплитуды сокращений) при этом слабо проявлялась. Дальнейшее нанесение на сердце Н-холинолитика бензогексания в дополнение к ранее нанесенному атропину к особым изменениям не приводило.

Таким образом, наши исследования показали, что влияние подергивания толстой кишки на сердце лягушки осуществляется рефлекторно с вовлечением центральных и периферических элементов как парасимпатического, так и, вероятно, симпатического отделов вегетативной нервной системы, что и обуславливает двухфазность реакции.

Выраженная двухфазность рефлекторной реакции, а также отличие латентных периодов тормозной и усиливающей фаз энtero-кардиального рефлекса, различное отношение к холино- и симпатолитикам свидетельствуют о разных механизмах происхождения этих фаз. Обращает на себя внимание значительный латентный период и большая продолжительность второй, усиливающей, фазы энtero-кардиального рефлекса, что наводит на мысль о вовлечении в рефлекторный процесс симпато-адреналовой системы. Однако большая продолжительность латентного периода второй фазы энtero-кардиального рефлекса может быть связана с тормозным влиянием первой фазы. Сравнительно большую продолжительность симпатических влияний некоторые исследователи объясняют ме-

реналинением [7]. Имеющиеся, фазы эндокринные и гормональные механизмы регуляции ЦНС менее выражены, чем в опытах на медуллярных препаратах. Наши опыты показали, что в аорте и нижних конечностях у лягушек с остановкой сердца на несколько секунд (в среднем на $8,4 \pm 0,9$) имеются гипотония и замедление пульса, что свидетельствует о гипотонии и замедлении пульса. Отмеченные нарушения в ЦНС у лягушек с остановкой сердца на несколько секунд (в среднем на $8,4 \pm 0,9$) являются следствием гипотонии и замедления пульса.

Различие результатов опытов на весенних и зимних лягушках определяется различием состояния ЦНС у весенних лягушек и зимних лягушек. У весенних лягушек ЦНС более активен, чем у зимних лягушек, что способствует более выраженным гипотоническим и замедлительным явлениям.

I. G. Раков
MECHANISMS OF ENTERO-CARDIAL REFLEXES IN RANA ARVALIS

Mechanisms of enterocardial reflexes induced by stimulation of the central nervous system in Rana arvalis have shown that they produce different effects in spring and winter frogs. The results of experiments on spring frogs indicate that the central nervous system of spring frogs is more active than that of winter frogs, which facilitates more pronounced hypotension and bradycardia.

Medical Institute, Zaporozhye, Ukraine

- Алипов Н. Н., Кузнецова Е. А. Инерто-рефлексы на спинном мозге лягушки. Физиол. журн. СССР, 1960, № 1, с. 15—18.
- Воронцов Д. С. К вопросу о механизмах рефлексов на спинном мозге лягушки. Тр. Спб. о-ва естествоиспытателей им. И. Е. Сеченова, 1960, № 1, с. 1513—1519.
- Ганелина И. Е. Интеро-рефлексы на спинном мозге лягушки. Изд-во АН СССР, 1960, с. 1513—1519.
- Косицкий Г. И. Внутричерепные гидродинамические явления. Л.: Наука, 1984, с. 1513—1519.
- Митрев Ю. Г. О рефлексах на сердце. Болгария, 1962, с. 57—62.
- Смирнов В. М., Рогузинский А. А. Сердечные рефлексы. Сердечные рефлексы. Болгария, 1962, с. 1513—1519.
- Фрольчик В. В. Эффекты на сердце. Л.: Наука, 1980, с. 1513—1519.
- Goltz Fr. Vagus und Herz. Berlin, 1928.

Запорож. мед. ин-т МЗ УССР

УДК 611—013.8+576.8.097.1

ХАРАКТЕРИСТИКА

Нарушениям материнской деятельности, связанные с нарушением материнского обращения в настоящий момент из ведущих меха-

Физиол. журн., 1986, т. 32, № 2

астота сокращений сердца не изменялась по сравнению с спинальной лягушкой. На препарате было следующее изменение частоты сердечных сокращений в 20 % — отмечен по-

весенних лягушек получены кишки (как и в опытах на опытах приводило к остаточному на $8,4 \pm 0,9$).

На подергивание толстой кишки приводило к результатам, соответствующим препаратах и выраженный отрицательный в среднем на $(7,9 \pm 0,8)$ с. действие толстой кишки весенним эффектам: в 63,6 % — отрицательный, в 9,1 % — эффект положительный хронотропного рефлекса на мозг показал, что вслед за кратким подергиванием толстой кишки (около 30 с) увеличение (18—20 %). Следует отметить отрицательного рефлекса при определении лишь в урежении сокращений в этом случае последующее продолжительным. Повторяющихся времени меньше 3 минутой фазой рефлекса, фаза A достаточно выраженной. Периоды тормозной и усиления, позволяют предполагать этих фаз. Проведенный Так, М-холинолитик атропин значительно ослаблял рефлекса. Вторая — усиливаясь. Симпатолитик энtero-кардиального рефлекса (сокращений) применение на сердце Н-холиноблокатору нанесенному атропину показали, что влияние подействует рефлекторных элементов как парасимпатического отдела вегетативной разности реакции.

реакции, а также отличие фаз энtero-кардиального и симпатолитиков схождения этих фаз. Обратный период и большая база энtero-кардиального и в рефлекторный процесс продолжительность латентного рефлекса может фазы. Сравнительно больший некоторые исследований

телы объясняют медленным распадом норадреналина в сердце и адреналином [7]. Не исключено, что в происхождении второй, усиливающей, фазы энtero-кардиального рефлекса играют роль внутрисердечные нервные и центральные вагусные влияния [1, 5].

Отмеченные нами энtero-кардиальные влияния после разрушения ЦНС менее выражены, порог их возникновения более высокий, как показали наши контрольные исследования с надавливанием на крупные сосуды брюшной полости, возможно, связаны с колебаниями давления в аорте и нижней полой вене при подергивании брыжейки кишки с последующим вовлечением (гидродинамически) внутрисердечных механизмов регуляции деятельности сердца.

Различие результатов, полученных нами на спинальных препаратах зимних и весенних лягушек, вероятно, — следствие различия функционального состояния сердца, его пейсмекера и медиаторных систем: у весенних лягушек могут оказываться проявления энергетического и медиаторного истощения.

I. G. Palamarchuk, Yu. O. Krivokhatskaya

MECHANISMS OF THE EFFECT OF THE INTESTINE MESENTERY SIMULATION ON CARDIAC ACTIVITY

Mechanisms of entero-cardiac reflexive effects have been studied by destruction of the central nervous system (CNS) areas and by pharmacological analysis. The entero-cardiac effects induced by CNS destruction are observed. The threshold of their emergence is higher and control tests with the pressure on large vessels of the abdominal cavity have shown that they probably depend on the pressure variations in the aorta and vena cava inferior during twitching of the intestine mesentery with the subsequent involvement (hydrodynamically) of intracardiac mechanisms of the cardiac activity regulation.

Medical Institute, Zaporozhie

- Алипов Н. Н., Кузнецова Т. Е., Израильян И. М. Положительные хронотропные и инотропные эффекты раздражения центров блуждающих нервов на сердце лягушки // Физiol. журн. СССР. — 1985. — 71, № 3. — С. 273—278.
- Воронцов Д. С. К вопросу о тормозящем влиянии блуждающего нерва на сердце // Тр. Спб. о-ва естествоиспытателей. — 1913. — 43, № 4. — С. 68—79.
- Ганелина И. Е. Интерцептивные влияния желудочно-кишечного тракта на сердце. — М.; Л.: Изд-во АН СССР, 1963. — 178 с.
- Косицкий Г. И. Внутрисердечные периферические рефлексы // Руководство по физиологии. — Л.: Наука, 1980. — Гл. 26. — С. 472.
- Митрев Ю. Г. О рефлекторных инфарктах миокарда // Сов. медицина. — 1959. — № 1. — С. 57—62.
- Смирнов В. М., Рогузин К. К., Чунаева М. З. Анализ механизмов регуляции частоты сердцебиений блуждающим нервом // Физiol. журн. СССР. — 1979. — 65, № 10. — С. 1513—1519.
- Фрольчик В. В. Эффекты раздражения сердечных нервов // Руководство по физиологии. — Л.: Наука, 1980. — Гл. 19. — С. 365.
- Goltz Fr. Vagus und Herz // Virchows Arch. — 1963. — 26, N 1/2. — S. 1—3.

Запорож. мед. ин-т МЗ УССР

Поступила 22.07.85

УДК 611—013.8+576.8.097.1

А. Г. Цыпкин

ХАРАКТЕРИСТИКА РЕЦЕПТОРОВ СОСУДОВ ПЛАЦЕНТЫ ЧЕЛОВЕКА

Нарушениям маточно-плацентарного и фето-плацентарного кровообращения в настоящее время придается все большее значение как одному из ведущих механизмов повреждения плода при различных видах

акушерской и экстрагенитальной патологии [3, 4]. Для рациональной фармакотерапии этих нарушений существенное значение имеет анализ механизмов регулирования тонуса сосудов плаценты. К настоящему времени в литературе имеются лишь единичные сообщения об изучении отдельных видов рецепторов в плацентарных сосудах [12]. Подобный анализ позволит более обоснованно использовать соответствующие классы лекарственных средств в акушерской практике для нормализации нарушений маточно-плацентарного и фето-плацентарного кровообращений.

В данной работе для характеристики рецепторов сосудов плаценты человека изучено влияние некоторых синтетических аналогов медиаторов и их антагонистов на тонус изолированных сосудов.

Методика

В экспериментах использованы сосуды плаценты женщин с нормальным течением беременности и родов. Не позднее 10 мин после отделения последа плаценту перфузировали изотоническим раствором хлорида натрия для удаления из нее сгустков крови. Сосуды диаметром 2–3 мм выделяли из плаценты на расстоянии 20–30 мм от места отхождения пуповины. Сосудистые препараты длиной 20–22 мм помещали в перфузционную камеру объемом 150 мл, через которую с постоянной скоростью перфузировали оксигенированный раствор Кребса (рН в пределах $7,4 \pm 0,05$, температура $37,0 \pm 0,1^\circ\text{C}$). Механическую активность гладких мышц сосудов изучали в изометрическом режиме с помощью механотрона 6MXIC. Запись механограммы проводили на самописце Н030А со скоростью движения ленты 1 мм/с.

Для стимулирования α -адренорецепторов использовали норадреналин и адреналин ($1 \cdot 10^{-7}$ – $1 \cdot 10^{-4}$ г/мл). В качестве β_2 -адреномиметика использовали партусистен ($1 \cdot 10^{-6}$ – $1 \cdot 10^{-5}$ г/мл). Для блокирования α -адренорецепторов использовали тропафин ($1 \cdot 10^{-6}$ г/мл) [3]. Блокаду α -адренорецепторов сосудистой стенки вызывали анаприлином ($3 \cdot 10^{-6}$ г/мл), который вводили в камеру за 3 мин до агониста. При анализе серотонинореактивных структур использовали серотонин ($1 \cdot 10^{-9}$ – $1 \cdot 10^{-7}$ г/мл). Для блокады Т-серотониновых рецепторов применяли новокаин ($5 \cdot 10^{-4}$ г/мл); для блокады М-серотониновых рецепторов — морфин ($1 \cdot 10^{-5}$ г/мл); для блокады Д-серотониновых рецепторов — метилэргометрин ($1 \cdot 10^{-6}$ г/мл) [2]. Для блокирования биосинтеза эндогенных простагландинов использовали индометацин ($5 \cdot 10^{-7}$ г/мл) [11]. Сосудистые препараты инкубировали с индометацином на протяжении 30 мин.

Всего проведено 137 исследований на 78 сосудистых препаратах.

Результаты и их обсуждение

Из числа исследованных соединений серотонин, адреналин, норадреналин, простагландины E_2 и $F_{2\alpha}$, аденоzin вызывали сокращение полосок изолированных сосудов плаценты человека. Наиболее выраженным действием обладал серотонин, который вызывал сосудосуживающий эффект уже при концентрации $1 \cdot 10^{-9}$ г/мл. Увеличение его концентрации до $1 \cdot 10^{-7}$ г/мл сопровождалось усилением контрактильного эффекта. Предварительная инкубация сосудов с морфином или метилэргометрином уменьшала стимулирующее влияние серотонина, а инкубация одновременно с морфином и метилэргометрином полностью устранила влияние серотонина на тонус плацентарных сосудов (рис. 1), в то время как новокаин не оказывал существенного влияния на сосудосуживающий эффект серотонина. Адреналин и норадреналин повышали тонус плацентарных сосудов, начиная с концентрации $1 \cdot 10^{-5}$ и $5 \cdot 10^{-6}$ г/мл соответственно (рис. 2). Блокирование α -адренорецепторов сосудистого препарата с помощью тропафена приводило к снижению тонуса сосудов. На фоне предварительного инкубирования сосудов с тропафеном норадреналин не изменял тонус сосудов.

В отличие от α -адреномиметиков, β_2 -адреномиметик партусистен в диапазоне исследованных концентраций ($1 \cdot 10^{-6}$ – $1 \cdot 10^{-5}$ г/мл) приводил к расслаблению сосудов (рис. 3). Подобный эффект не регистрировали после инкубации сосудистого препарата с анаприлином. Аце-

тилхолин ($1 \cdot 10^{-7}$ – $1 \cdot 10^{-5}$ г/мл) вызывал сокращение плаценты человека. Простагландины E_2 и $F_{2\alpha}$ в несколько раз сильнее простагландина E_2 оказывают сокращающее действие.

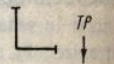


Рис. 1. Угнетение морфином

C — введение серотонина ($1 \cdot 10^{-9}$ – $1 \cdot 10^{-7}$ г/мл). Здесь и на рисунках самописца, по вертикальной оси отложены тонусы в процентах от исходного.

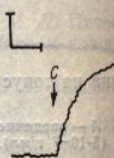


Рис. 2. Влияние тропафена

HA — введение норадреналина.

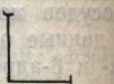


Рис. 3. Влияние партусистена

P — введение партусистена.

Как простагландин E_2 и ацетилхолин, партусистен вызывает сокращение плаценты человека и на аденоzin.

Полученные данные показывают, что морфин и метилэргометрин не оказывают сокращающего действия на плацентарные сосуды человека. Серотонинореактивные вещества, обладающие сокращающим действием на плацентарные сосуды, уменьшаются в концентрации, соответствующей метилэргометрину и полностью блокируются этими веществами.

Анализ адренорецепторов, обладающих тонусом, показывает, что адреналин, вызывающий сокращение плацентарных сосудов, блокируется адреноблокатором тропафином. Аденозин, обладающий сокращающим действием на плацентарные сосуды, блокируется анаприлином.

Физиол. журн., 1986, т. 32, № 2

[3, 4]. Для рациональной оценки имеет анализ плаценты. К настоящему времени сообщения об изучении сосудов [12]. Подобное соответствие практике для нормализации фето-плацентарного кро-

репторов сосудов плацентарных аналогов мертвенных сосудов.

женщин с нормальным течением цепи последа плаценту перфузировали из удаления из нее густков крови. на расстоянии 20–30 мм от места 20–22 мм помещали в перфузационной скоростью перфузированы ± 0,05, температура 37,0 ± 0,1 °C. были в изометрическом режиме с проводили на самописце Н030А

вали норадреналин и адреналин. Для использования парусистен центров использовали тропафен. дистальной стенки вызывали анапримин до агониста. При анализе се- (1 · 10⁻⁹–1 · 10⁻⁷ г/мл). Для блокады М₁ блокады Д-серотониновых ре- локирования биосинтеза эндоген- 0⁻⁷ г/мл) [11]. Сосудистые пре- 30 мин. в препаратах.

дение

ротонин, адреналин, норадреналин вызывали сокращение человека. Наиболее выраженный вызывал сосудосуживающий 10⁻⁹ г/мл. Увеличение его с усилием контракции сосудов с морфином илиющее влияние серотонина, и метилэргометрином полно- нус плацентарных сосудов вал существенного влияния Адреналин и норадреналин начиная с концентрации 2). Блокирование α-адре- щью тропафена приводило крительного инкубирования менял тонус сосудов.

дреномиметик парусистен (1 · 10⁻⁶–1 · 10⁻⁵ г/мл) при- добный эффект не регистрируется с анаприлином. Аце-

тилхолин (1 · 10⁻⁷–1 · 10⁻⁴ г/мл) не оказывал влияние на тонус сосудов плаценты человека. В более высоких концентрациях (1 · 10⁻³–5 · 10⁻³ г/мл) он вызывал слабое сокращение сосудистых препаратов. Простагландин E₂ и F_{2a} (1 · 10⁻⁷–1 · 10⁻⁸ г/мл) оказывали сосудосуживающее действие, причем по мере этого эффекта простагландин F_{2a} в несколько раз превосходил E₂, в то время как простагландин F_{2a} вызывал сокращение полосок сосудов уже при 1 · 10⁻⁸ г/мл, простагландин E₂ оказывал подобное действие только при 1 · 10⁻⁷ г/мл.

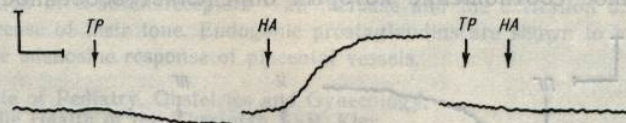


Рис. 1. Угнетение морфином и метилэргометрином вызванного серотонином сокращения изолированного сосуда плаценты:

C — введение серотонина (1 · 10⁻⁹ г/мл); MP — морфина (1 · 10⁻⁴ г/мл); МЭ — метилэргометрина (1 · 10⁻⁴ г/мл). Здесь и на рис. 2, 3, 4 калибровка: по горизонтали — 1 мин (скорость движения ленты самописца), по вертикали 200 мг (механическое напряжение сосудистого препарата).

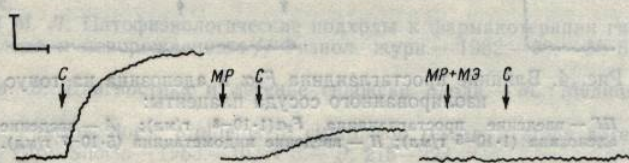


Рис. 2. Влияние тропафена и норадреналина на тонус изолированного сосуда плаценты:

HA — введение норадреналина (1 · 10⁻⁵ г/мл). TP — тропафена (5 · 10⁻⁵ г/мл).

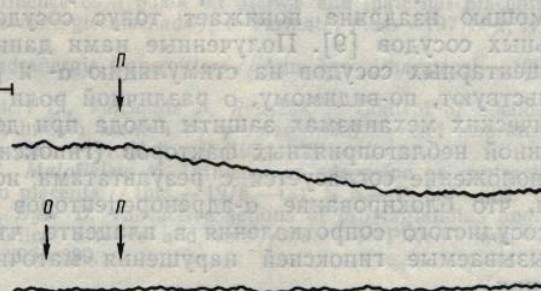


Рис. 3. Влияние парусистена на тонус изолированного сосуда плаценты:

P — введение парусистена (2 · 10⁻⁵ г/мл) в рабочую камеру; O — введение в рабочую

камеру обсидана/анаприлина (3 · 10⁻⁶ г/мл).

Как простагландин E₂, так и простагландин F_{2a} не оказывал существенного влияния на тонус сосудов после их предварительной инкубации с индометацином: отсутствовала реакция плацентарных сосудов человека и на аденоцин (рис. 4).

Полученные данные позволили уточнить рецепторные свойства сосудов плаценты человека. В них выявлено наличие как M-, так и D-серотониновых рецепторов, поскольку сосудосуживающий эффект серотонина уменьшался после инкубации сосудов с морфином и метилэргометрином и полностью блокировался при комплексном применении этих веществ.

Анализ адренорецепторов плацентарных сосудов показал, что агонисты, обладающие только α- или α- и β-адреномиметическим действием, вызывают сокращение сосудов, причем предварительное введение α-адреноблокатора тропафена не только устраняет сосудосуживающее действие агониста, но и сопровождается расслаблением гладкомышечных клеток сосудистой стенки. В сопоставлении с данными о сосудо-

расширяющем действии партусистена и устранении его эффекта при предварительном введении анаприлина, можно предположить, что в сосудах плаценты человека имеются как α -, так и β -адренорецепторы. Их избирательное возбуждение приводит к качественно различным реакциям сосудов. Если при возбуждении α -адренорецепторов наблюдается выраженное сокращение сосудов, то при использовании β_2 -адреномиметика партусистена — снижение их тонуса.

Как известно, все гладкие мышцы имеют α - и β -адренорецепторы, количественное соотношение которых определяет особенности влияния

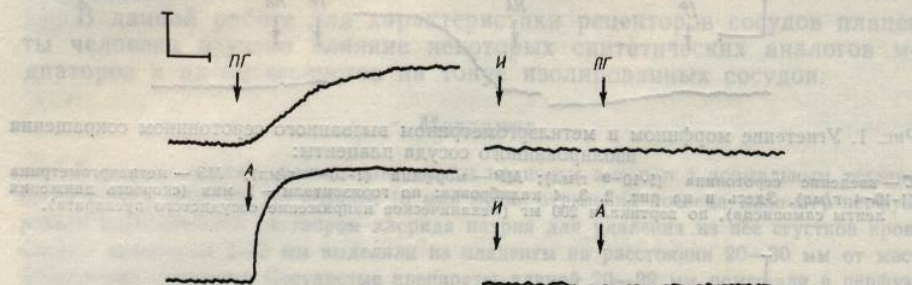


Рис. 4. Влияние простагландинов $F_2\alpha$ и аденозина на тонус изолированного сосуда плаценты:

ПГ — введение простагландинов $F_2\alpha$ ($1 \cdot 10^{-8}$ г/мл); А — введение аденозина ($1 \cdot 10^{-5}$ г/мл); И — введение индометацина ($5 \cdot 10^{-7}$ г/мл).

catecholaminов на тонус сосудов различных органов [1]. Так, норадреналин повышает тонус гладких мышц аорты, кожных, мезентериальных, почечных сосудов. В то же время стимуляция β -адренорецепторов с помощью изадрина понижает тонус сосудов кожи, мышц, мезентериальных сосудов [9]. Полученные нами данные о различиях реакций плацентарных сосудов на стимуляцию α - и β -адренорецепторов свидетельствуют, по-видимому, о различной роли этих рецепторов в филогенетических механизмах защиты плода при действии на организм беременной неблагоприятных факторов (гипоксии, стресса). Подобное предположение согласуется с результатами исследований [8], показавшими, что блокирование α -адренорецепторов сопровождается снижением сосудистого сопротивления в плаценте, что может предупреждать вызываемые гипоксией нарушения маточно-плацентарного кровообращения.

Результаты изучения влияния модификаторов (простагландинов E_2 и $F_2\alpha$, аденозина) на тонус сосудов плаценты показали, что нарушение биосинтеза эндогенных простагландинов на уровне простагландин-синтетазы с помощью индометацина блокировало сократительную реакцию сосудов не только на простагландины, но и на аденозин. Эти данные позволяют предположить, что эндогенные простагландинны играют существенную роль в реакции плацентарных сосудов на аденозин. Об этом же свидетельствуют и результаты исследований [6, 10], установивших изменение уровня ц-АМФ и активности аденозин-дифосфатазы, в ткани плаценты под влиянием простагландинов. Следует отметить, что по мнению некоторых авторов [7] подавление биосинтеза эндогенных простагландинов приводит к извращению реакции сосудов плаценты на норадреналин.

Полученные данные позволили охарактеризовать наличие в сосудах плаценты человека различных видов рецепторов, что может быть использовано в клинической практике при решении вопроса о назначении различных лекарственных средств во время беременности.

Эндогенные простагландинны могут вызывать различные изменения в плаценте, включая изменения тонуса сосудов, изменения концентрации гемоглобина, подвижности эритроцитов, изменения концентрации глюкозы, изменения концентрации кислорода и других веществ. Они могут влиять на различные процессы в организме, такие как кровообращение, дыхание, обмен веществ и т. д.

CHARACTERISTIC OF
Certain synthetic analog
serotonin) and modifiers (pro
on the tone of human isolated
They are found to be M
excitation of α - or β -adrenorec
sels: the excitation of α -adre
ceptors — a decrease of their
for providing the adenosine re

Research Institute of Pediatrics,
Ministry of Public Health of the

- Комиссаров И. В. Лекарс
Здоров'я, 1976.—112 с.
- Пидевич И. Н. Фармако
1977.—280 с.
- Тараховский М. Л. Патоф
состояний плода и новоро
535.
- Федорова М. В. Диагнос
209 с.
- Adams H. R. Pharmacolog
king drugs // Circ. Shock.—
- Barradas M., Khokher M.
vity in placenta // Clin. Sci.
- Berssenbrugge A., Anderso
 E_2 and indometacin on
Soc. Exp. Biol. and Med.—
- Karlsson K. The influence
and the effect of α -adrenerg
184.
- Kopin J. H. False adrenerg
P. 377—394.
- Kirkpatrick C., Bogaert C.
phosphate level in human
J. Obstet. Gynecol.—1981.—
- Krygicz J., Urban J., Malo
ted vessels of human placen
12. Park M., Rishor C., Dyer J.
isolated human umbilical v
1972.—50, N 3.—P. 393—39

Киев. ин-т педиатрии, акушерс
им. П. М. Буйко МЗ УССР

ИЗМЕНЕНИЕ ПРИ ОСТРЫХ И НЕКОТОРЫХ

По имеющимся в лит
свертывание крови [6, 11],
лическими осложнениями
развития гипоксии.

В результате наших из
изменения системы сверт

ранении его эффекта при
жно предположить, что в
так и β -адренорецепторы.
к качественно различным
-адренорецепторам наблю-
при использовании β_2 -ад-
онуса.

т α - и β -адренорецепторы,
ляет особенности влияния

аденозина на тонус
нты:
г/мл); A — введение
ацина (5·10⁻⁷ г/мл).

органов [1]. Так, нора-
рты, кожных, мезентери-
имуляция β -адренорецеп-
с сосудов кожи, мышц,
ами данные о различиях
по α - и β -адренорецепто-
вой роли этих рецепторов
(а при действии на органы
(гипоксии, стресса). По-
татами исследований [8],
епторов сопровождается
чене, что может преду-
маточно-плацентарного

иторов (простагландинов
нты показали, что нару-
в на уровне простаглан-
ировало сократительную
и, но и на аденозин. Эти
ные простагландины иг-
рных сосудов на аено-
ты исследований [6, 10],
ивности аденозин-дифос-
ростагландинов. Следует
] подавление биосинтеза
щению реакции сосудов

изовать наличие в сосу-
иторов, что может быть
шении вопроса о назна-
ремя беременности.

жел. журн., 1986, т. 32, № 2

A. G. Tsyurkin

CHARACTERISTIC OF VASCULAR RECEPTORS OF HUMAN PLACENTA

Certain synthetic analogs of mediators (epinephrine, norepinephrine, partusystene, serotonin) and modifiers (prostaglandin E₂, F₂, adenosine) were studied for their effect on the tone of human isolated placental vessels in experiments in vitro.

They are found to be M- and D-serotonin, α - and β -adrenoreceptors. The selective excitation of α - or β -adrenoreceptors leads to the qualitatively different responses of vessels: the excitation of α -adrenoreceptors — an increase and the excitation of β -adrenoreceptors — a decrease of their tone. Endogenous prostaglandins are shown to be significant for providing the adenosine response of placental vessels.

Research Institute of Pediatry, Obstetrics and Gynecology,
Ministry of Public Health of the Ukrainian SSR, Kiev

1. Комиссаров И. В. Лекарственная регуляция адренергических процессов // — Киев : Здоров'я, 1976.—112 с.
2. Пидевич И. Н. Фармакология серотонинореактивных структур // М. : Медицина, 1977.—280 с.
3. Тараховский М. Л. Патофизиологические подходы к фармакотерапии гипоксических состояний плода и новорожденного // Физiol. журн.—1982.—28, № 5.—С. 530—535.
4. Федорова М. В. Диагностика и лечение гипоксии плода.—М. : Медицина, 1982.—209 с.
5. Adams H. R. Pharmacologic problems in circulation research: alpha adrenergic blocking drugs // Circ. Shock.—1983.—10, N 3.—P. 215—223.
6. Barradas M., Khokher M., Hutton R., Graft J. Adenosine diphosphate-degrading activity in placenta // Clin. Sci.—1983.—64, N 2.—P. 239—241.
7. Berssenbrugge A., Anderson D., Pernettet T., Rankin J. The effect of prostaglandin E₂ and indomethacin on the placental vascular response to norepinephrine // Proc. Soc. Exp. Biol. and Med.—1978.—159, N 2.—P. 281—285.
8. Karlsson K. The influence of hypoxia on uterine and maternal placental blood flow and the effect of α -adrenergic blockade // J. Perinatal Med.—1977.—2, N 3.—P. 176—184.
9. Kopin J. H. False adrenergic transmitters // Ann. Rev. Pharmacol.—1965.—8, N 3.—P. 377—394.
10. Kirkpatrick C., Bogaert C., Vansande J., Rodesch F. Control of adenosine-3,5-monophosphate level in human amnion by prostaglandin E₁ and isoproterenol // Amer. J. Obstet. Gynecol.—1981.—141, N 2.—P. 195—198.
11. Krygicz J., Urban J., Matofiejew M. Influence of adenosine on contractility of isolated vessels of human placenta // Ibid.—1978.—131, N 5.—P. 587—589.
12. Park M., Rishor C., Dyer D. Vasoactive actions of prostaglandins and serotonin on isolated human umbilical arteries and vein // Can. J. Physiol. and Pharmacol.—1972.—50, N 3.—P. 393—399.

Киев. ин-т педиатрии, акушерства и гинекологии
им. П. М. Буйко МЗ УССР

Поступила 20.08.84

УДК 612.115:616—001.8—085:547:458+615.242.3

В. В. Баканская

ИЗМЕНЕНИЕ СИСТЕМЫ ГЕМОКОАГУЛЯЦИИ ПРИ ОСТРОЙ ГИПОКСИИ У КРОЛИКОВ И НЕКОТОРЫЕ СПОСОБЫ ЕЕ КОРРЕКЦИИ

По имеющимся в литературе сведениям, острая гипоксия повышает свертывание крови [6, 11, 12, 19] и может сопровождаться тромбоэмбологическими осложнениями [16], которые определяют тяжесть и исход развития гипоксии.

В результате наших предыдущих исследований [2] установлено, что изменения системы свертывания крови при острой кислородной недо-

статочности зависят от степени ее развития. Выяснено, что гипоксия I степени¹ не оказывает существенного влияния на свертывающую и фибринолитическую системы крови. Гипоксия II степени повышает свертываемость крови у крыс, кроликов и собак, увеличивает фибринолитическую активность и не оказывает влияние на содержание свободного гепарина в крови. Гипоксия III степени приводит к более выраженной гиперкоагуляции крови, сопровождающейся снижением содержания свободного гепарина в крови, увеличением количества фибриногена и отсутствием повышения фибринолитической активности, что указывает на депрессию функции противосвертывающей системы [9], способствующую внутрисосудистому свертыванию крови и возникновению тромбоэмбологических осложнений. Процесс превращения внутрисосудистого свертывания крови в тромбоз происходит под влиянием факторов сосудистых стенок, в эндотелии которых образуется простациклин, обладающий антиагрегационным действием и другие факторы, участвующие в процессе свертывания крови. В механизме развития тромбофилических состояний большое значение имеет дисбаланс между простациклин-генерирующей системой стенки сосудов и тромбоксан-генерирующей системой тромбоцитов [3]. Разработка способов профилактики возникновения тромбоэмболии при гипоксии — актуальный вопрос современной медицины.

Для предупреждения внутрисосудистого свертывания крови и тромбообразования в условиях кислородного голодания необходимы средства, активирующие функцию противосвертывающей системы, улучшающие реологические свойства крови, снижающие агрегационную активность форменных элементов крови. Такими свойствами в условиях нормоксии обладает низкомолекулярный препарат декстрана — реополиглюкин [7, 13, 14]. Кроме того, необходимы препараты, ингибирующие синтез тромбоксана в тромбоцитах и не угнетающие синтез простациклина сосудистой стенкой. Таким свойством обладает никотиновая кислота [10].

Задача настоящей работы — изучение возможностей предупреждения гиперкоагуляции крови и внутрисосудистого тромбообразования в условиях острой гипоксии путем предварительного комплексного применения реополиглюкина и никотиновой кислоты.

Методика

Исследование выполнено на 20 кроликах и состоит из четырех серий опытов. В первой серии опытов изучали состояние системы гемокоагуляции в условиях нормоксии у контрольных кроликов, получавших на 1 кг массы животного 5 мл (внутривенно) и 2,0—2,5 мл (внутримышечно) в течение трех дней 0,9 %-ного раствора хлорида натрия. Во второй серии изучали влияние острой гипоксической гипоксии III степени на систему гемокоагуляции контрольных кроликов, получавших в течение трех дней внутривенно и внутримышечно 0,9 %-ный раствор хлорида натрия. Острую гипоксию вызывали путем «подъема» животных в барометрической камере на «высоту» 8 000 м на 1 ч. Скорость «подъема» и «спуска» составляла 20 м/с. В третьей серии изучали влияние реополиглюкина и никотиновой кислоты на систему гемокоагуляции кроликов в условиях нормального обеспечения организма кислородом. Реополиглюкин вводили (на 1 кг массы животного) внутривенно 5 мл, никотиновую кислоту — внутримышечно 10 мг в течение трех дней. Систему гемокоагуляции исследовали через 24 ч после последнего введения препаратов. В четвертой серии опытов исследовали влияние острой гипоксии на систему гемокоагуляции кроликов, получавших в течение трех дней реополиглюкин и никотиновую кислоту.

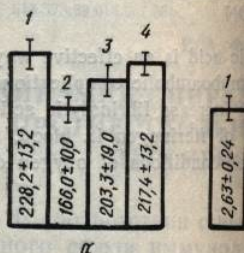
Кровь для исследования системы гемокоагуляции брали силиконированной иглой из краевой вены уха после предварительного согревания. О состоянии свертывающей и противосвертывающей систем крови судили по показателям тромбоэластограмм, которые записывали с помощью аппарата «Тромб-2» и расшифровывали следующие основные константы: r — константа тромбопластина; K — константа тромбина; mA — максимальная амплитуда; T — время общего свертывания крови; $\angle\alpha^\circ$ — угловая константа.

¹ Степень гипоксии приведена по классификации А. З. Колчинской [8].

Кроме того, биохимические граммы: время рекальцификации таминосульфатным методом [1] у Горшковой и Ломазовой

Результаты исследования острой гипоксии III степени у кроликов, о че свертывания крови — кгена, снижение фибриногена, содержания свободного гепарина, ворят о выраженной гиперкоагуляции функции про- способствует тромбоэмболии.

Внутривенное введение мышечным введением



Влияние комплексного применения (с) свертываемости крови (%) фибринолитическую активность у кроликов

оказывает гипокоагулирующее действие на свертыванию фибринолитического гепарина в крови.

Острая гипоксия у кроликов вызывает гипокоагуляцию и никотиновую ции крови. Показатели близки к контрольным. комплексное применение реополиглюкина и никотиновой кислоты в условиях недостаточности наших экспериментальных параторов предупреждают гипокоагуляцию и повышают фибринолитическую активность в крови, что способствует противосвертывающей системе.

Немаловажную роль в предупреждении свертывания крови играет никотиновая кислота, снижающая концентрацию тромбоцитов, повышающая концентрацию плазминогена, ингибирующей систему свертывания тромбоцитов [1, 3, 14]. Гипокоагуляция связана с повышением концентрации гепарина в крови [14].

Отдельное применение никотиновой кислоты, т. е. оказывает гипокоагуляционное действие на свертывание крови, что способствует противосвертывающей системе.

ия. Выяснено, что гипоксия на II степени повышает содержание фибринолитической активности, что включаяющей системы [9], что вязкость крови и возникновение превращения внутриклеточных происходит под влиянием которых образуется простатином и другие факторы, что в механизме развития гипоксии имеет дисбаланс между сосудов и тромбоксан-гепарином способов профилактики — актуальный вопрос.

Свертывания крови и тромбогемостаза необходимы средствующей системы, улучшающие агрегационную активность в условиях нормального дексстрапана — реополиглюкины, ингибитирующие синтез простациклина. Контроль над гипоксией обладает никотиновая кислота.

возможностей предупреждения тромбообразования в комплексного применения.

Однако из четырех серий опытов коагуляции в условиях нормоксии животного 5 мл (внутривенно) 9 %-ного раствора хлорида натрия гипоксии III степени на системе в течение трех дней внутривенно. Острую гипоксию вызывали на высоту 8 000 м на 1 ч. Сколько серий изучали влияние реополиглюкина на кроликов в условиях гипоксии на фоне введения гипоксии в систему четырех серий реополиглюкина и никотиновой кислоты.

Брали силиконированной иглой. О состоянии свертывающей и тромбоэластограмм, которые давали следующие основные показатели тромбина: t_A — максимальная константа.

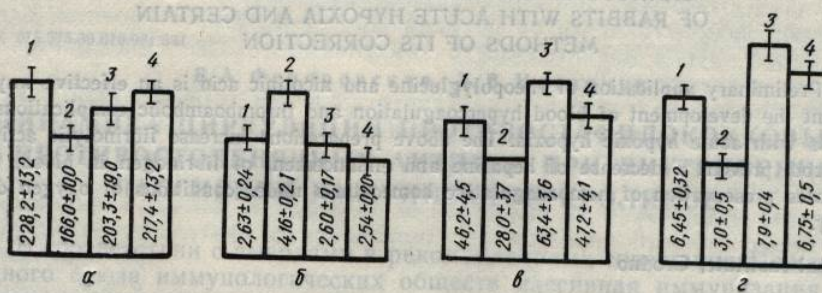
А. З. Колчинской [8].

Кроме того, биохимическими методами определяли некоторые показатели коагулограммы: время рекальцификации плазмы по Бергероф и Рока; свободный гепарин протаминосульфатным методом [18]; фибриноген и фибринолитическую активность по методу Горшковой и Ломазовой [5].

Результаты и их обсуждение

Результаты исследований, представленные на рисунке, показывают, что острая гипоксия III степени приводит к развитию гиперкоагуляции крови у кроликов, о чем свидетельствует уменьшение времени общего свертывания крови — константы T , увеличение концентрации фибриногена, снижение фибринолитической активности крови и уменьшение содержания свободного гепарина ($P < 0,05$). Обнаруженные изменения говорят о выраженной гиперкоагуляции крови, сопровождающейся депрессией функции противосвертывающей системы [9], что, вероятно, способствует тромбоэмболическим осложнениям.

Внутривенное введение реополиглюкина с одновременным внутримышечным введением никотиновой кислоты в условиях нормоксии не



Влияние комплексного применения реополиглюкина и никотиновой кислоты на время (с) свертываемости крови (α); концентрацию (г/л) фибриногена (β); относительную (%) фибринолитическую активность (γ) и содержание (МЕ) свободного гепарина (δ) у кроликов при острой гипоксии ($M \pm m$):

1 — контроль; 2 — острая гипоксия; 3 — введение препаратов; 4 — острая гипоксия на фоне введения препаратов.

оказывает гипокоагулирующее влияние, но приводит к умеренному повышению фибринолитической активности и содержания свободного гепарина в крови.

Острая гипоксия у кроликов, получавших предварительно реополиглюкин и никотиновую кислоту, не вызывала состояния гиперкоагуляции крови. Показатели тромбоэластограммы и коагулограммы были близки к контрольным. Полученные данные свидетельствуют о том, что комплексное применение реополиглюкина и никотиновой кислоты оказывает нормализующее влияние на систему гемокоагуляции кроликов в условиях недостаточного обеспечения организма кислородом. Результаты наших экспериментов свидетельствуют о том, что указанные препараты предупреждают снижение свободного гепарина в крови, активируют фибринолитическую систему и сохраняют нормальное содержание фибриногена в крови, что свидетельствует об адекватной функции противосвертывающей системы крови в условиях острой гипоксии.

Немаловажную роль в механизме предупреждения внутрисосудистого свертывания крови и тромбообразования играет способность никотиновой кислоты снижать активность фактора XIII, адгезию и агрегацию тромбоцитов, повышать активность тканевого и плазменного активатора плазминогена, нормализовать баланс между простациклин-генерирующей системой стенки сосудов и тромбоксан-генерирующей системой тромбоцитов [1, 3, 10, 17] и увеличивать содержание свободного гепарина в крови [14].

Отдельное применение реополиглюкина удлиняет фазу образования фибрина, т. е. оказывает слабый гипокоагулирующий эффект [15], сни-

жает АДР-индуцируемую агрегацию тромбоцитов, улучшает кровоток, изменяет структуру и стабильность фибрина, тем самым ускоряет фибринолиз [4]. Кроме того, реополиглюкин нормализует реологические свойства крови, предупреждает ее сгущение [15], что также способствует предупреждению гиперкоагуляции и тромбообразования.

Комплексное применение реополиглюкина и никотиновой кислоты сохраняет состояние гемокоагуляционного гомеостаза, обеспечивает нормальную циркуляцию крови и доставку питательных веществ в условиях острой гипоксии.

Результаты проведенных экспериментальных исследований позволяют рекомендовать внутривенное введение реополиглюкина в сочетании с внутримышечным введением никотиновой кислоты в качестве эффективного средства, предупреждающего гиперкоагуляцию крови и тромбоэмбolicеские осложнения в условиях острой гипоксии.

V. V. Bakanskaya

CHANGES IN THE HEMOCOAGULATION SYSTEM
OF RABBITS WITH ACUTE HYPOXIA AND CERTAIN
METHODS OF ITS CORRECTION

Preliminary application of rheopolyglucine and nicotinic acid is an effective way to prevent the development of blood hypercoagulation and thromboembolic complications in rabbits with acute hypoxic hypoxia. The above preparations increase fibrinolytic activity of blood, prevent a decrease of heparine and enhancement of fibrinogen in blood, that promotes preservation of hemocoagulative homeostasis under conditions of oxygen deficiency.

Medical Institute, Grodno

1. Андреенко Г. В., Мигалина Л. А. Тромболитическое действие тканевого активатора профибринолизина и никотиновой кислоты // Вопр. мед. химии.—1973.—19, № 4.—С. 371—374.
2. Баканская В. В. Влияние острой гипоксии разной степени на систему свертывания крови и пути ее коррекции водорастворимыми витаминами // Механизмы повреждения адаптации и компенсации: Тез. науч. конф. патофизиологии.—Каунас.—1981.—С. 14—15.
3. Балуда В. П. Патогенез внутрисосудистого тромбообразования и принципы профилактики тромбозов // Противотромбическая терапия в клинической практике.—М.: Медицина.—1979.—С. 11—12.
4. Гаврилов О. К. Использование свойств тромбоцитов в разработке методов управления системой РАСК // Проблемы и гипотезы в учении о свертывании крови.—М.: Медицина, 1981.—С. 59—62.
5. Горшкова Т. Н., Ломазова Х. Д. Простая методика определения уровня фибриногена и фибринолитической активности // Лаб. дело.—1965.—№ 3.—С. 167—169.
6. Исабаева В. А. Реакция свертывания крови у человека и животных в процессе адаптации к условиям высокогорья // Система свертывания крови и адаптация к природной гипоксии.—Л.: Наука, 1983.—С. 52—62.
7. Козинер В. Б., Федоров Н. А. Влияние полиглюкина на свертывающую систему // Механизм действия полиглюкина.—М.: Медицина, 1974.—С. 78—79.
8. Колчинская А. З., Дударев В. П., Мисюра А. Г. и др. Объективная характеристика гипоксических состояний // Специальная физиология гипоксических состояний.—Киев: Наук. думка, 1979.—Ч. 1.—С. 16—20.
9. Кудряшов Б. А., Базазян Г. Г., Ульянов А. М. и др. Анализ механизмов депрессии противосвертывающей системы крови // Физiol. журн. СССР.—1975.—61, № 9.—С. 1402—1407.
10. Лакин К. М., Балуда В. П. Фармакологическая регуляция жидкого состава крови // Актуальные проблемы гемостазиологии: Молекулярные, биологические и физиологические аспекты.—М.: Наука, 1981.—С. 430—460.
11. Ломазова Х. Д., Горшкова Т. Н., Маджуга А. В. Влияние гипоксии на некоторые показатели системы свертывания крови в онтогенезе // Вопросы нервно-гуморальной регуляции процессов свертывания крови в условиях нормы и патологии.—Чита, 1971.—С. 91—93.
12. Маркосян А. А. Гипоксия и свертывание крови // Материалы симпоз. «Высокогорье и красная кровь».—Фрунзе: Илим, 1968.—С. 45—46.
13. Покровский А. В., Степанян Е. П., Ноэздряев Ю. И. Изменения некоторых показателей периферической крови под влиянием реополиглюкина у больных с сосудистой патологией // Пробл. гематологии и переливания крови.—1969.—№ 9.—С. 37—42.

14. Федоров Н. А., Васильев И. А. Влияние и перспективы развития реополиглюкина в клинических и реологических исследованиях // Вестник АМН СССР.—1970.—5.—Р. 32—40.
15. Шестаков В. А., Полушкин В. А. Реологические и реологические методы в клиническом применении кроветворения // Вестник АМН СССР.—1970.—5.—Р. 32—40.
16. Genton E. Alterations in the coagulation system and the heart: first conference.—London, 1970.—5.—Р. 32—40.
17. Laursen B., Gormsen J. The effect of reoproligoglucin on the atherosclerotic vascular wall // Angiology.—1971.—22, № 3.—Р. 369—376.
18. Stefanini M., Dameshek W. The effect of reoproligoglucin on the coagulability of sanguineous plasma // Angiology.—1971.—22, № 3.—Р. 369—376.
19. Stranska M. W., Hainau B. The effect of reoproligoglucin on the coagulability of sanguineous plasma // Angiology.—1971.—22, № 3.—Р. 369—376.

Гроднен. мед. ин-т МЗ БССР

УДК 615.373.39.616.981.551

Е. А.
Этот и Понтиковом
ДИНАМИКА ЦИРУ
И ПРОТИВОСТОЛЬ
ПАССИВЫ

В соответствии с единым союзом иммунологических и желых инфекционных болезней частью их комплекса проводятся такими иммунологическими методами катализации путями [2].

Цель настоящего исследования противостафилококковых антител крови животных при логичной ² плазмы с выделением

Исследования проведены на крольчих обоего пола, поросятах до начала эксперимента и противостолбнячные антитоксины из 5 кроликов.

Противостафилококковые, иммунизированные сыворотки, предусмотренным для документацией.

Иммунную крольчью плющую противостафилококковые и гомологичные препараты следования проведены в эксперименте — антистафилококковые, содержащие в 1 мл 10 МЕ анти-сыворотки, содержащей в 1

¹ Гомологичная плазма виды.

² Гетерологичная плазма виды.

- цитов, улучшает кровоток, тем самым ускоряет фибринолиз и реологические [15], что также способствует тромбообразования.
- а никотиновой кислоты гомеостаза, обеспечивает питательных веществ в
- ных исследований позвоночника в сочетании с кислотами в качестве эффективной коагуляции крови и острой гипоксии.
- tion system and certain
- tinic acid is an effective way to thromboembolic complications in patients increase fibrinolytic activity of fibrinogen in blood, that under conditions of oxygen defi-
- действие тканевого активатора мед. химии.—1973.—19, № 4.—
- тепени на систему свертывания пинами // Механизмы повреждения и физиологии.—Каунас.—1981.—
- разования и принципы профилактики в клинической практике.—М.: в разработке методов управления свертыванием крови.—М.: определения уровня фибриногена.—1965.—№ 3.—С. 167—169.
- ка и животных в процессе адаптации крови и адаптация к при- на свертывающую систему // 1974.—С. 78—79.
- р. Объективная характеристика гипоксических состояний.—Ки- . Анализ механизмов депрессии сердца. СССР.—1975.—61, № 9.—
- ияния жидкого состава крови // биологические и физиологи-
- злияние гипоксии на некоторые // Вопросы нервно-гуморальной нормы и патологии.—Чита, материалы симпоз. «Высокогорье
- Изменения некоторых показателей у больных с сосудистой патологией.—1969.—№ 9.—С. 37—42.
- иол. журн., 1986, т. 32, № 2
14. Федоров Н. А., Васильев П. С., Гроздов Д. М., Розенберг Г. Я. Современное состояние и перспективы развития проблемы кровезаменителей.—Там же.—1975.—№ 11.—С. 16—20.
15. Шестаков В. А., Полушкина Т. В., Ильин В. Н. и др. Клиническая оценка антитромботических и реологических свойств реополиглюкина // Тез. II Всесоюз. конф. по клини. применению кровезаменителей.—М.: Медицина, 1973.—С. 134—135.
16. Genton E. Alterations in blood coagulation at high altitude // Hypoxia, high altitude and the heart; first conference on cardiovascular disease // Aspen. Adv. Cardiol., 1970.—5.—P. 32—40.
17. Larsen B., Gormsen J. Studies of fibrinolytic activity in normal persons and patients with atherosclerotic vascular disease after physical activity and injections of nicotinic acid // Angiology.—1970.—21, N 7.—P. 468—492.
18. Stefanini M., Dameshek W. The hemorrhagic disorders.—New York; London, 1955.—369 р.
19. Strumza M. W., Hainaut I., Strumza-Poutonnet J. M. Mechanismes déclenchant l'hypercoagulabilité sanguine dans l'hypoxie sévère // C. r. Soc. biol.—1971.—165, N 9/10.—P. 1861—1863.

Гроднен. мед. ин-т МЗ БССР

Поступила 29.10.84

УДК 615.373.39.616.981.551

Е. А. Федоровская, Л. В. Назарчук

ДИНАМИКА ЦИРКУЛЯЦИИ ПРОТИВОСТАФИЛОКОККОВЫХ И ПРОТИВОСТОЛБНЯЧНЫХ АНТИТЕЛ ПРИ ВНУТРИВЕННОЙ ПАССИВНОЙ ИММУНИЗАЦИИ КРОЛИКОВ

В соответствии с выводами и рекомендациями совещания Международного союза иммунологических обществ пассивная иммунизация тяжелых инфекционных больных должна являться обязательной составной частью их комплексного лечения [1]. Для разработки методики проведения такой иммунизации большое значение имеет изучение закономерности катаболизма антител, введенных в организм различными путями [2].

Цель настоящего исследования — изучение динамики циркуляции противостафилококковых и противостолбнячных антител в сыворотке крови животных при внутривенном введении гомологичной¹ и гетерологичной² плазмы с высоким содержанием антител.

Методика

Исследования проведены в условиях хронического эксперимента на 90 интактных кроликах обоего пола, породы «шиншилла», массой 1,6—2,5 кг, в сыворотке крови которых до начала эксперимента отсутствовали нормальные противостафилококковые и противостолбнячные антитоксины. Каждая экспериментальная группа животных состояла из 5 кроликов.

Противостафилококковую и противостолбнячную плазму получали из крови кроликов, иммунизированных соответствующими анатоксинами по схемам активной иммунизации, предусмотренным (для доноров крови) действующей нормативно-технической документацией.

Иммунную кроличью плазму, содержащую в 1 мл 10 международных единиц (МЕ) противостафилококковых или противостолбнячных антитоксинов, использовали в качестве гомологичных препаратов для внутривенного введения кроликам. Сравнительные исследования проведены в эксперименте с внутривенным введением гетерологичных препаратов — антистафилококковой плазмы, полученной из крови людей (доноров) и содержащей в 1 мл 10 МЕ анти- α -стафилолизинов, а также лошадиной противостолбнячной сыворотки, содержащей в 1 мл 3 000 МЕ антитоксинов.

¹ Гомологичная плазма — препарат, полученный из крови того же биологического вида.

² Гетерологичная плазма — препарат, полученный из крови иного биологического вида.

Гомологичную плазму вводили из расчета 10 МЕ антитоксинов на 1 кг массы животного, а гетерологичные — 10 МЕ/кг (для антистафилококковой) и 43 МЕ/кг (для противостолбнячной). Антистафилококковые антитоксины вводили через интервал в 1 сут, антистолбнячные — 7 сут. Отправные данные экспериментов заимствованы из упомянутой выше нормативно-технической документации.

Сроки циркуляции гомологичных и гетерологичных антистафилококковых и антистолбнячных антител в индивидуальных сыворотках крови кроликов после одно-, двух- и трехкратного последовательного введения соответствующей плазмы изучали в динамике, интервал которого составлял от 30 мин до 60 сут и вплоть до полного исчезновения антител в сыворотке крови животных.

Стафилококковые антитоксины определяли методом нейтрализации гемологического действия стафилококкового α -токсина на эритроциты кролика; столбнячные антитоксины — методом титрования на беспородных белых мышах.

Результаты и их обсуждение

Изучение титра анти- α -стафилолизинов в сыворотке крови подопытных животных показало, что введение гомологичной и гетерологичной плазм вызывает однотипные изменения содержания антител у всех кроликов: возрастание титра по сравнению с исходным уровнем, однако, высота титров и длительность циркуляции антител отличаются в различных сериях опытов.

После однократного внутривенного введения гомологичной и гетерологичной антистафилококковой плазмы (рис. 1, а) наблюдается одинаковый быстрый подъем содержания антител в сыворотке крови, который достигает максимальных значений уже через 30 мин (срок наблюдения) и держится на этом уровне до 3 сут. В последующем различия между обоими препаратами проявились в длительности циркуля-

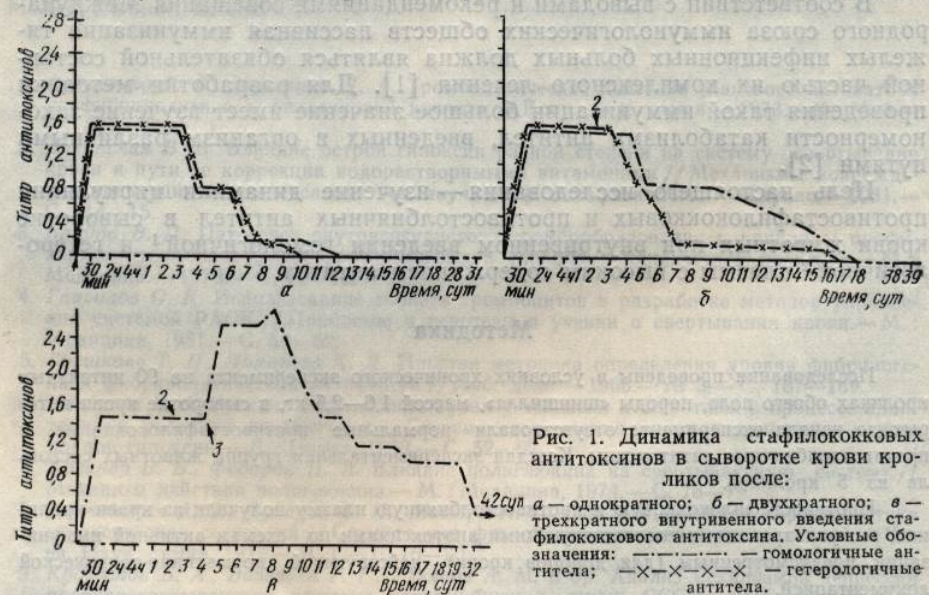


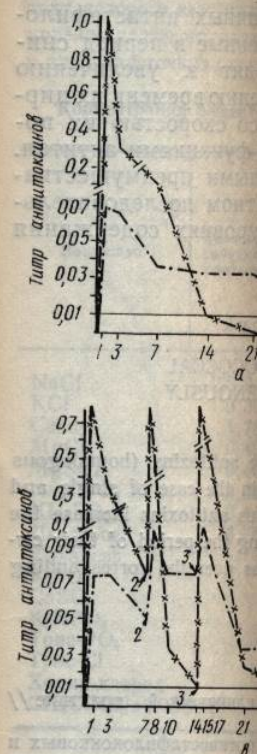
Рис. 1. Динамика стафилококковых антитоксинов в сыворотке крови кроликов после:
— гомологичный антитоксин;
— гетерологичный антитоксин.

ции антител: гомологичный антитоксин циркулировал 12 сут, т. е. на 2 сут дольше гетерологичного. Повторное внутривенное введение гомологичной плазмы кроликам привело к продлению максимального содержания антитоксина в сыворотке крови на 1 сут по сравнению с однократным его введением и удлинению срока циркуляции на 6 сут. Динамика циркуляции гетерогенного антитоксина отличалась более низким уровнем и более коротким сроком циркуляции антител (рис. 1, б). Третье введение гомологичной антистафилококковой плазмы оказалось наиболее эффективным: оно вызвало значительный (в 2 раза)

за) подъем содержания (в 2,3 раза) продолжавшемуся с двухкратным.

Попытки произвести привели к гибели вспышки.

Таким образом, стафилококкового им



внутривенном введении гомологичного преобразование

При изучении динамики гомологичного антитоксина наблюдалось, что при однократном введении гомологичного антитоксина (запас 30 мин после введения) гомологичный антитоксин сохранялся в сыворотке крови кроликов в течение 14 сут, а гетерологичный антитоксин в течение 14 сут превышал циркуляцию гомологичного.

Последовательное введение гомологичного и гетерологичного антитоксина в двухкратном количестве привело к продлению срока циркуляции гомологичных антител в сыворотке крови кроликов вдвое по сравнению с однократным введением гомологичного антитоксина. Введение гомологичного антитоксина в трехкратном количестве привело к продлению срока циркуляции гомологичных антител в сыворотке крови кроликов втройственное количество по сравнению с однократным введением гомологичного антитоксина. Введение гомологичного антитоксина в четырехкратном количестве привело к продлению срока циркуляции гомологичных антител в сыворотке крови кроликов вчетверо по сравнению с однократным введением гомологичного антитоксина.

антитоксинов на 1 кг массы живого кролика) и 43 МЕ/кг (для вводили через интервал в 1 сут, что заимствованы из упомяну-

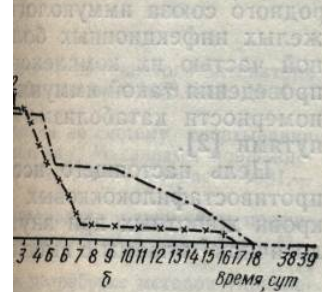
х антистафилококковых и антибиотиков кроликов после одно-, двухкратной плазмы изучали в динамике вплоть до полного исчезнове-

ния нейтрализации гемологического кролика; столбнячные антитоксины.

Результаты

в сыворотке крови подомологической и гетерологической содержания антител у всех исходным уровнем, однако антитела отличаются в

тире гомологической и гетерологической. На рис. 1, а) наблюдается однократное введение в сыворотку крови, которое через 30 мин (срок наблюдения) различия в длительности циркуляции



Динамика стафилококковых антитоксинов в сыворотке крови кроликов после:

однократного; б — двухкратного; в — трехкратного внутривенного введения стафилококкового антитоксина. Условные обозначения те же, что и на рис. 1.

лировал 12 сут, т. е. на гравированное введение гомологии максимального соотношения 1:1 сут по сравнению с циркуляцией на 6 сут. Кривая отличалась более быстрой циркуляции антител стафилококковой плазмы о значительный (в 2 раза)

за) подъем содержания антитоксинов в сыворотке крови и увеличивало (в 2,3 раза) продолжительность циркуляции антитоксина в крови по сравнению с двухкратным введением (рис. 1, в).

Попытки произвести трехкратное введение гетерологической плазмы привели к гибели всех кроликов при явлениях анафилактического шока.

Таким образом, сравнение напряженности антистафилококкового иммунитета и длительность циркуляции антител при

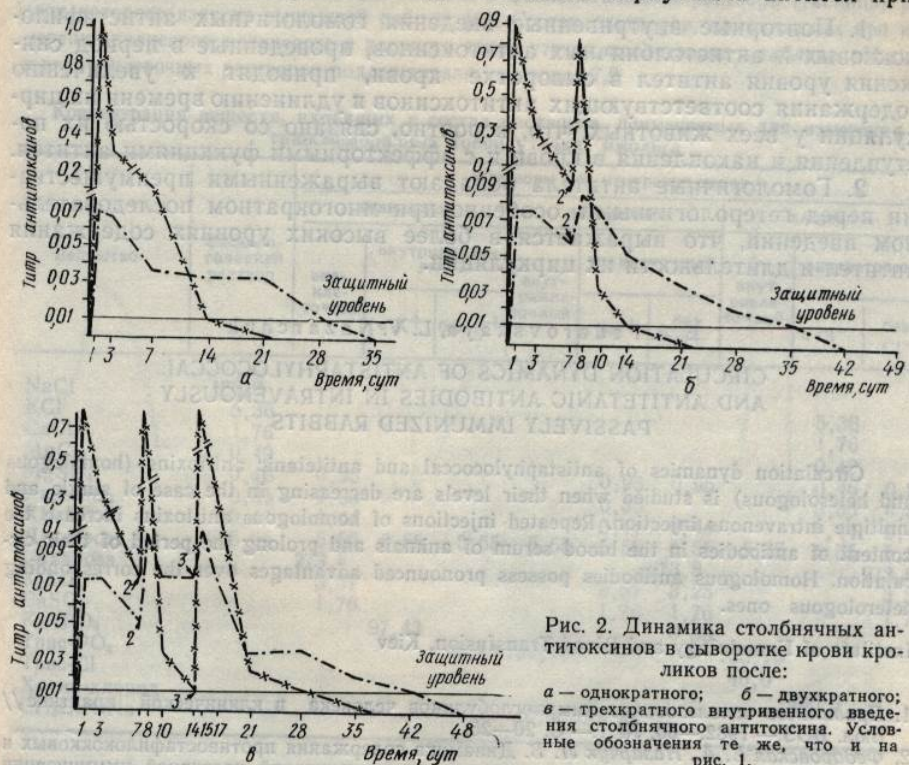


Рис. 2. Динамика столбнячных антитоксинов в сыворотке крови кроликов после:
а — однократного; б — двухкратного;
в — трехкратного внутривенного введения столбнячного антитоксина. Условные обозначения те же, что и на рис. 1.

внутривенном введении антистафилококковой плазмы показало выраженное преимущество гомологичного препарата перед гетерологичным.

При изучении динамики циркуляции противостолбнячного антитоксина в сыворотке крови кроликов, введенного внутривенно, установлено, что при однократном введении как гомологичного, так и гетерологичного антитоксина наблюдается значительное превышение исходного и защитного уровней (защитный уровень составляет 0,01 МЕ/мл) уже через 30 мин после введения (рис. 2, а). Однако, несмотря на то, что гетерологический антитоксин ввели в 4,3 раза больше гомологичного, длительность циркуляции гомологичных антител составляла 28 сут, т. е. на 14 сут превышала циркуляцию гетерологичного.

Последовательное двухкратное (интервал 7 сут) введение гомологичного и гетерологичного антитоксинов (рис. 2, б) привело к двухкратному подъему уровней антител и к более длительному сроку циркуляции гомологичных антител по сравнению с гетерологичными, а также по сравнению с однократным их введением. Трехкратная пассивная иммунизация кроликов, проведенная в те же интервалы, показала, что введение гомологичного противостолбнячного антитоксина способствовало его содержанию на высоком уровне и удлинению времени циркуляции до 42 сут (рис. 2, в). В то же время трехкратное введение гетерологичного антитоксина вызывало повышение уровня антител только в первые сутки после каждого введения, после чего наступало быстрое падение титра.

Таким образом, изучение динамики циркуляции антистолбнячных антитоксинов в эксперименте показало, что повторные внутривенные введения гомологичных антитоксинов у всех животных увеличивают уровень антител и удлиняют сроки их циркуляции, тогда как при повторных инъекциях гетерологичного антитоксина укорачиваются сроки циркуляции антител.

Выводы

- Повторные внутривенные введения гомологичных антистафилококковых и антистолбнячных антитоксинов, проведенные в период снижения уровня антител в сыворотке крови, приводят к увеличению содержания соответствующих антитоксинов и удлинению времени их циркуляции у всех животных, что, вероятно, связано со скоростью их поступления и накопления в крови и с эффекторными функциями антител.

- Гомологичные антитела обладают выраженными преимуществами перед гетерологичными, особенно при многократном последовательном введении, что выражается в более высоких уровнях содержания антител и длительности их циркуляции.

E. A. Fedorovskaya, L. V. Nazarchuk

CIRCULATION DYNAMICS OF ANTISTAPHYLOCOCCAL AND ANTITETANIC ANTIBODIES IN INTRAVENOUSLY PASSIVELY IMMUNIZED RABBITS

Circulation dynamics of antistaphylococcal and antitetanic antitoxins (homologous and heterologous) is studied when their levels are decreasing in the case of single and multiple intravenous injection. Repeated injections of homologous antitoxins increase the content of antibodies in the blood serum of animals and prolong the period of their circulation. Homologous antibodies possess pronounced advantages over the corresponding heterologous ones.

Institute of Hematology and Blood Transfusion, Kiev

- Правильное использование иммуноглобулинов человека в клинической практике // Бюл. ВОЗ.—1982.—60, № 1.—С. 20—25.
- Федоровская Е. А., Назарчук Л. В. Динамика содержания противостафилококковых и противостолбнячных антител в крови при внутримышечной пассивной иммунизации кроликов // Физиол. журн.—1985.—32, № 2.—С. 234—237.

Киев. ин-т гематологии и переливания крови МЗ УССР

Поступила 01.10.84

УДК 612.014.42:612.31

М. Ю. Клевец

ИЗУЧЕНИЕ ПРОВОДИМОСТИ ИОНОВ ПЛАЗМАТИЧЕСКОЙ МЕМБРАНОЙ СЕКРЕТОРНЫХ КЛЕТОК В СОСТОЯНИИ ПОКОЯ МЕТОДОМ ВНУТРИКЛЕТОЧНОГО ДИАЛИЗА

Метод внутриклеточного диализа [3] позволяет осуществлять полный контроль за градиентом концентраций ионов, проникающих через мембрану, фиксацию потенциала на мемbrane и точное измерение трансмембранных ионных токов. С помощью этого метода исследованы входящие и выходящие токи потенциал-зависимых каналов мембранны сомы нейронов моллюсков и позвоночных [2], а также токи хемочувствительных каналов [4, 5]. Мы попытались применить этот метод для изучения токов каналов утечки, которые, как известно, определяют суммарную проводимость мембрани в состоянии покоя и принимают участие в формировании размера потенциала покоя.

Исследовали секреторные клетки *Platynosus*, диаметр которых атюрного режущего инструмента не разобщала клетки в такую быструю и необратимую, как железа и изолирование, концепт которого взят из вымерении калиевого, натриевого и внутриклеточных растворов.

Концентрация вещества

Вещество	Физиологический раствор
NaCl	136,9
KCl	5,36
CaCl ₂	1,76
MgCl ₂	0,49
MgSO ₄	0,46
Na ₂ HPO ₄	0,35
KH ₂ PO ₄	0,44
Декстроза	5,55
Сахароза	
K ₂ SO ₄	
CaSO ₄	
K ₂ HPO ₄	
Трис-PO ₄	
Трис-Cl	
Холин-хлорид	
CH ₃ COONa	

Измерение токов утечек клетки «сажали» на при включенном коммандно через пору и появление тока. Затем компенсировали утечку рицкеточную перфузию ради одного из ионов и заполнили концентрации данного иона. Утечки проведены при постепенной поляризации и контролировали с помощью осциллографа C1-18.

На рис. 1 представлена мембранный выходящий жгут на диализирующуюся бескалиевым раствором. Отмеченное строение раствором обусловило максимума примерно 10% бескалиевым растворением такого же отрезка

иркуляции антистолбнячных то повторные внутривенные ех животных увеличивают сутации, тогда как при повсина укорачиваются сроки гомологичных антистафилопроведенные в период сни- приводят к увеличению и удлинению времени их цир-вязано со скоростью их по-орными функциями антител.раженными преимуществами-ногократном последователь-соких уровнях содержания

azarchuk

TAPHYLOCOCAL
INTRAVENOUSLY
ABBITS

antitetanic antitoxins (homologous reasing in the case of single and omologous antitoxins increase the ad prolong the period of their cir-dvantages over the corresponding

века в клинической практике //

кания противостафилококковых иышечной пассивной иммунизации
—237.

Поступила 01.10.84

ПЛАЗМАТИЧЕСКОЙ ОК В СОСТОЯНИИ ЧНОГО ДИАЛИЗА

зволяет осуществлять пол-ионов, проникающих через ване и точное измерение этого метода исследованы симых каналов мембранны, а также токи хемочувств-применить этот метод для известно, определяют сум-покоя и принимают уча-ся.

изол. журн., 1986, т. 32, № 2

Методика

Исследовали секреторные клетки слюнной железы личинки мотыля *Chironomus plumosus*, диаметр которых не превышал 340 мкм. Клетки изолировали с помощью мини-аторного режущего инструмента, так как трипснизация в сочетании с помешиванием не разобщала клетки в ткани железы. Кроме того, трипсин (0,5 мг/мл; pH 7,4) вызывал быструю и необратимую деполяризацию мембранны в среднем на 72 %. Препарирование желез и изолирование клеток осуществляли в физиологическом растворе (таблица) рецепт которого взят из вышедшей работы [6]. Состав растворов, применяемых при измерении калиевого, натриевого и хлорного токов утечки, представлен в таблице. pH вне- и внутриклеточных растворов поддерживали на уровне 7,2.

Концентрация веществ, входящих в состав растворов, применяемых для измерения трансмембранных токов утечки, ммоль/л

Вещество	Физиологический раствор	Растворы для измерения токов					
		калиевого		натриевого		хлорного	
		внеклеточный	внутриклеточный	внеклеточный	внутриклеточный	внеклеточный	внеклеточный
		c K ⁺	без K ⁺	c Na ⁺	без Na ⁺	c Cl ⁻	без Cl ⁻
NaCl	136,9						
KCl	5,36						
CaCl ₂	1,76						
MgCl ₂	0,49						
MgSO ₄	0,46	0,95					
Na ₂ HPO ₄	0,35	0,35					
KH ₂ PO ₄	0,44	0,44					
Декстроза	5,55	5,55	5,55	5,55	5,55	5,55	5,55
Сахароза		273,8			273,8		273,8
K ₂ SO ₄	3,57				3,57	3,23	
CaSO ₄	1,76				1,76	1,76	
K ₂ HPO ₄			97,43			0,35	
Трис-PO ₄				146,14	130,14		106,14
Трис-Cl						40,0	
Холин-хлорид							136,9
CH ₃ COONa						16,00	136,9

Измерение токов утечки проводили в следующей последовательности. Изолированные клетки «сажали» на диализирующую пору орудия сопротивлением 0,9—1,8 мОм при включенном командном импульсе ± 40 мВ длительностью 50 мс. Уменьшение тока через пору и появление емкостных токов свидетельствовало о присасывании клетки. Затем компенсировали утечку, выключали командный импульс, начинали вне- или внутриклеточную перфузию раствором, создающим трансмембранный градиент концентрации одного из ионов и записывали на КСП4 появление трансмембранного тока утечки. Когда ток достигал максимума, перфузировали клетку раствором, который снимал градиент концентрации данного иона, и записывали исчезновение тока. Все измерения токов утечки проведены при поддерживаемом потенциале —50 мВ, что близко к средней естественной поляризации мембранны этих клеток. Размер поддерживаемого потенциала контролировался с помощью универсального вольтметра В7-6, а присасывание клеток — осциллографа С1-18.

Результаты и их обсуждение

На рис. 1 представлена запись появления и исчезновения трансмембранного выходящего калиевого тока утечки. Клетка была «посажена» на диализирующую пору, когда внутреннюю перфузию осуществляли бескалиевым, а внешнюю — безнатриевым и бесхлорным растворами. Отмеченное стрелкой начало внутренней перфузии калиевым раствором обусловило появление выходящего тока, который достигал максимума примерно через 1,5 мин. Последующая внутренняя перфузия бескалиевым раствором привела к исчезновению этого тока в течение такого же отрезка времени. В измерениях, проведенных на 10 клет-

ках, площадь поверхности которых составляла $0,55 - 1,63 \cdot 10^{-3}$ см², средняя плотность калиевого тока оказалась соответствующей $(19,29 \pm 3,43) \cdot 10^{-6}$ А/см².

Измерение натриевого тока утечки осуществлялось при отсутствии калиевого и хлорного градиентов концентрации; внутриклеточный раствор содержал 16 ммол/л ионов натрия, что соответствует его естественной концентрации [7]. Внешняя перфузия раствором, содержащим 137,6 ммол/л ионов натрия, обусловила появление входящего тока, максимум которого устанавливался несколько медленнее (рис. 2), чем

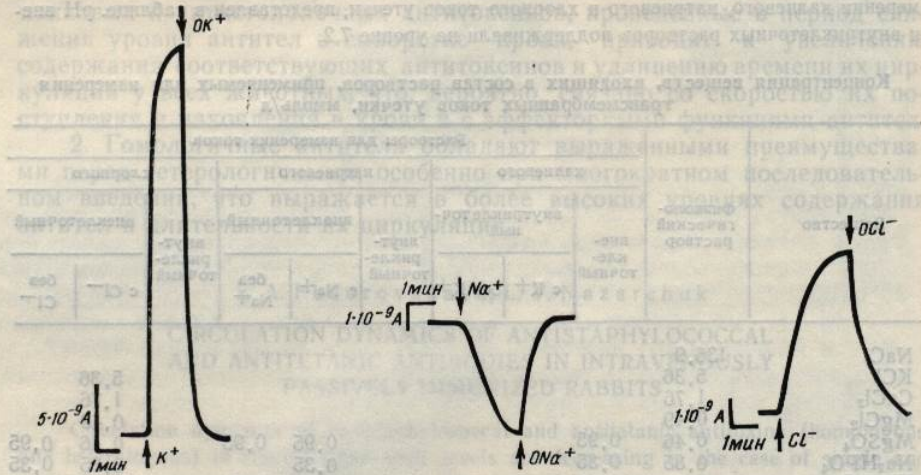


Рис. 1. Запись выходящего трансмембранных калиевого тока утечки:
↑K⁺ — начало внутренней перфузии клетки калиевым раствором и появления тока; ↓OK⁺ — начало внутренней перфузии беснатриевым раствором и исчезновения тока.

Рис. 2. Запись входящего трансмембранных натриевого тока утечки:
↑Na⁺ — начало внешней перфузии клетки натриевым раствором и появления тока; ↑ONa⁺ — начало внешней перфузии безнатриевым раствором и исчезновения тока.

Рис. 3. Запись выходящего трансмембранных хлорного тока утечки:
↑Cl⁻ — начало внешней перфузии клетки хлорным раствором и появления тока; ↓OCl⁻ — начало внешней перфузии бесхлорным раствором и исчезновения тока.

калиевого. Перфузия клетки извне вновь безнатриевым раствором приводила к исчезновению этого тока. Средняя плотность натриевого тока утечки соответствовала $(4,19 \pm 0,74) \cdot 10^{-6}$ А/см²; $n=10$.

Хлорный ток утечки измеряли при отсутствии калиевого и хлорного градиентов. Во внутриклеточном растворе содержалась естественная концентрация ионов хлора (40 ммол/л). Перфузия клетки извне раствором с ионами хлора (146,76 ммол/л) обусловила появление выходящего по направлению к движению зарядов тока, максимум которого устанавливался также медленнее (рис. 3), чем калиевого. Хлорный ток утечки исчезал в ответ на повторную перфузию клетки извне бесхлорным раствором. Средняя плотность хлорного тока утечки составляла $(2,42 \pm 0,6) \cdot 10^{-6}$ А/см²; $n=10$.

Известно, что трансмембранный ионный ток определяется ионной проводимостью мембраны и электродвижущей силой, источником которой служит разность между мембранным потенциалом и потенциалом равновесия для данного иона. Расчеты равновесных потенциалов по формуле Нернста показали, что при искусственно создаваемых нами градиентах концентрации ионов $E_K=-88$, $E_{Na}=+54$, $E_{Cl}=-33$ мВ. Используя средние значения плотности токов, рассчитанные значения равновесных потенциалов и значение фиксированного потенциала (-50 мВ), находим, что $g_K=5 \cdot 10^{-4}$, $g_{Na}=0,4 \cdot 10^{-4}$ и $g_{Cl}=1,4 \times 10^{-4}$ См/см², а их соотношение $g_K:g_{Na}:g_{Cl}=1:0,08:0,28$.

Используя относительные ионные проводимости, вне- и внутриклеточные концентрации ионов калия, натрия и хлора, по формуле Гольд-

мана находим, что равенство -53 мВ. Это счищением фиксированного потенциала утечки, и средний потенциал мембраны. Равнотенциальная концентрация калия, обусловленная изменившимся потенциалом и сопровождающая это изменение концентрацию калия в клетке, называется потенциалом покоя. Равнотенциальная концентрация калия в клетке, обусловленная изменившимся потенциалом и сопровождающая это изменение концентрацию калия в клетке, называется потенциалом покоя. Равнотенциальная концентрация калия в клетке, обусловленная изменившимся потенциалом и сопровождающая это изменение концентрацию калия в клетке, называется потенциалом покоя.

Таким образом, мембранные потенциалы секреторных клеток в Мембрана секреторные хорошо проникают в клетку и играют важную роль в ее функционировании.

A STUDY OF THE CHLORINUS MEMBRANE OF

Potassium, sodium and chloride currents in a salivary gland of Chironomus. In dialysis and voltage-clamp techniques and $g_{Cl}=1,4 \cdot 10^{-4}$ S/cm² at 25°C . I. Franko State University,

- Клевец М. Ю. Деяки ен відомості про хірономуса // XI з'їзд УААН. Київ, 1981.
- Костюк П. Г., Крышталь О. А. : Наука, 1981.
- Крышталь О. А., Пидолинич О. А. : Пидолинич // Нейрофізіологія. Кримські слідства. Крим, 1980.
- Крышталь О. А., Пидолинич // Докл. АН ССР. — 1980.
- Крышталь О. А., Коркут А. А. : Практична коркутальність сенсорних нервів. ім. И. П. Павлова (Баку), 1981.
- Obaid A. L., Socolar S. J. : Currents through voltage-gated gates in series/ anion channels. Calcium and pH. — 1981.
- Palmer L. G., Civan M. P. : Potassium channels in chironomid salivary glands. — 1981.

Львов. ун-т им. И. Франко

УДК 612.796.422

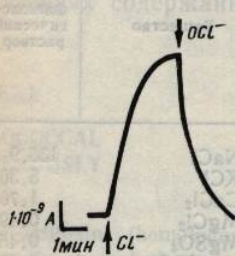
Т. А. Юрік

ВЛИЯНИЕ НА БИОХИМИЧЕСКИЙ У ТРЕНИРОВАННОЙ

За последние 10 лет были получены результаты изучения влияния тренировки на биохимические показатели крови у белокрыльных насекомых. Установлено, что тренировка повышает содержание глюкозы, липопротеинов и гликогена в сыворотке крови, а также содержание глюкозы в мозговом соке и в мозге. Установлено, что тренировка повышает содержание глюкозы в мозговом соке и в мозге.

Физиол. журн., 1986, т. 32, № 2

ла $0,55 - 1,63 \cdot 10^{-3}$ см², сред- соответствующей ($19,29 \pm$ существовалось при отсутствии ионов; внутриклеточный раствор соответствует его естественному раствору, содержащему явление входящего тока, что медленнее (рис. 2), чем



калиевого тока утечки: +OK+ — появление тока; ↓OK+ — начало и исчезновения тока.

натриевого тока утечки: +ONa+ — появление тока; ↓ONa+ — исчезновение тока.

хлорного тока утечки: +OCl- — появление тока; ↓OCl- — начало исчезновения тока.

натриевым раствором при плотность натриевого тока м²; n=10.

стии калиевого и хлорного содержалась естественная рфузия клетки извне раствора появление выходящего тока, максимум которого был калиевого. Хлорный ток извне бесхлорного тока утечки составляла

ток определяется ионной силой, источником которого потенциалом и потенциалом равновесных потенциалов соответственно создаваемых нами E_{Na}=+54, E_{Cl}=-33 мВ, рассчитанные значения калиевого потенциала g_{Na}= $0,4 \cdot 10^{-4}$ и g_{Cl}= $1,4 \cdot 10^{-4}$ и 1:0,08:0,28. имости, вне- и внутриклеточного хлора, по формуле Гольд-

мана находим, что рассчитанная мембранные разность потенциалов составляет -53 мВ. Это значение удовлетворительно согласуется со значением фиксированного потенциала, при котором проводили измерения токов утечки, и средним значением потенциала покоя этих клеток. С помощью микроэлектродной техники отведения на большой выборке (n=70) мы нашли, что при pH 7,0 потенциал покоя этих клеток составляет в среднем $-57,7 \pm 1,6$ мВ, а снижение pH вызывает деполяризацию мембраны. Разница между рассчитанным значением мембранныго потенциала и средним значением потенциала покоя обусловлена, вероятно, электрогенным эффектом натрий-калиевого насоса, о наличии которого в этих клетках мы уже сообщали на основании других фактов [1].

Таким образом, как и в нервных и мышечных клетках, мембра секреторных клеток в покое наиболее проницаема для ионов калия. Мембрана секреторных клеток, находящихся в состоянии покоя, довольно хорошо проницаема и для ионов натрия, которые принимают заметное участие в поляризации мембраны, снижая мембранные разность потенциалов по сравнению с калиевым равновесным потенциалом.

M. Yu. Klevets

A STUDY OF ION CONDUCTANCE BY PLASMA MEMBRANE OF SECRETORY CELLS AT REST BY THE METHOD OF INTRACELLULAR DIALYSIS

Potassium, sodium and chlorine transmembrane currents of leak of secretory cells in a salivary gland of Chironomus larva at rest were measured by the method of intracellular dialysis and voltage-clamp. It was established that g_K= $0,4 \cdot 10^{-4}$, g_{Na}= $0,4 \cdot 10^{-4}$ and g_{Cl}= $1,4 \cdot 10^{-4}$ S/cm² and their ratio is g_K:g_{Na}:g_{Cl}=1:0,08:0,28.

I. Franko State University, Lvov

1. Клевець М. Ю. Деякі електрофізіологічні властивості клітин слинної залози личинки хірономуса // XI з'їзд Українського фізіологічного товариства. — К.: Наук. думка, 1982. — С. 190—191.
2. Костюк П. Г., Крышталь О. А. Механизмы электрической возбудимости нервной клетки. — М.: Наука, 1981. — 203 с.
3. Крышталь О. А., Пидопличко В. И. Внутриклеточная перфузия гигантских нейронов улитки // Нейрофизиология. — 1975. — 7, № 3. — С. 327—329.
4. Крышталь О. А., Пидопличко В. И. Рецептор протонов в мембране нервной клетки // Докл. АН СССР. — 1980. — 255, № 6. — С. 1494—1496.
5. Крышталь О. А., Коркушко А. О., Марченко С. М., Пидопличко В. И. Хемочувствительность сенсорных нейронов млекопитающих // XIV съезд Всесоюзного физиологического общества. И. П. Павлова (Баку 1983 г.). — М.: Наука, 1983. — Т. 1. — С. 52—53.
6. Obaid A. L., Socular S. J., Rose B. Cell-to-cell channels with two independently regulated gates in series/analysis of junctional conductance modulation by membrane potential, calcium and pH // J. Membrane Biol. — 1983. — 73, N 1. — P. 69—89.
7. Palmer L. G., Civan M. M. Distribution of Na⁺, K⁺ and Cl⁻ between nucleus and cytoplasm in chironomus salivary gland cells // Ibid. — 1977. — 33, N 12. — P. 41—61.

Львов. ун-т им. И. Франко МВССО УССР

Поступила 30.10.84

УДК 612.796.422

Т. А. Юримяэ, А. А. Виру, А. А. Нурмекиви,
К. М. Карельсон, М. Э. Линтси

ВЛИЯНИЕ 20-КИЛОМЕТРОВОГО БЕГА НА БИОХИМИЧЕСКИЕ ПОКАЗАТЕЛИ КРОВИ У ТРЕНИРОВАННЫХ И НЕТРЕНИРОВАННЫХ СТУДЕНТОВ

За последние 10 лет в некоторых работах [1, 12] представлены результаты изучения влияния продолжительного бега на биохимические показатели крови у бегунов. Однако почти полностью отсутствуют работы по изучению влияния длительного бега на указанные показатели у нетренированных молодых мужчин. Данная работа посвящена изу-

чению влияния 20-километрового бега на содержание лактата, мочевины, глюкозы, липидов и липопротеидов в крови, а также на гематокрит у малотренированных студентов по сравнению с тренированными.

Методика

Обследованы 30 студентов-мужчин Тартуского университета. Из них 13 — регулярно тренировались по бегу на средние и длинные дистанции (I—III спортивный разряд, 2—5 лет тренировочного стажа) и 17 — занимались 2 раза в неделю по 2 часа физической тренировкой на подготовительном отделении. Средний возраст студентов двух исследуемых групп составлял $(19,6 \pm 0,5)$ и $(20,9 \pm 0,2)$ лет, рост — $(1,80 \pm 0,02)$ и $(1,79 \pm 0,02)$ м, масса тела до бега — $(67,7 \pm 2,4)$ и $(70,2 \pm 1,4)$ кг соответственно. Бег проводили в парке по однокилометровому кругу в благоприятных климатических условиях (температура воздуха 21—22 °С, атмосферное давление 760 мм рт. ст. (10,132 кПа), скорость ветра 1 м/с. Средняя продолжительность бега в группе тренированных студентов составляла $(5,384,1 \pm 116,3)$ с, а нетренированных — $(6,688,8 \pm 202,9)$ с.

До и после бега у исследуемых брали пробы венозной крови. Мочевину, глюкозу, общий холестерин (ХС), триглицериды, липопротеиды высокой плотности (ЛПВП) определяли с помощью комплектов реактивов фирмы «Lanchetra» (ЧССР). В частности, после осаждения липопротеидов низкой плотности (ЛПНП) гепарином и $MnCl_2$ [7] ЛПВП определяли с помощью ХС указанной фирмы; а ЛПНП — уравнения Friedewald [9]. Лактат определяли энзиматическим методом с помощью комплекта реактивов фирмы «Boehringer» (ФРГ), а гематокрит — с помощью микрогематокритной центрифугации (марка «Cellocrit-2», фирма «Linson Instrument», Швеция).

Результаты и их обсуждение

Во время бега на длинные дистанции энергообеспечение осуществляется преимущественно аэробно. Об этом свидетельствует и низкая концентрация лактата в крови после бега [1, 3, 12]. Результаты проведенных исследований показали, что в группе тренированных студентов концентрация лактата увеличивалась на 73,3 % (до $(2,79 \pm 0,26)$ ммоль/л), но не превышала общепринятой границы (4 ммоль/л) анаэробного порога [13] (таблица). В группе тренированных концентрация лактата отрицательно взаимосвязана с концентрацией триглицеридов (r составляет —0,60), в чем выражается угнетающее действие анаэробного гликолиза на мобилизацию липидных источников [11].

Влияние 20-километрового бега на некоторые биохимические показатели крови у тренированных (спортсменов) и нетренированных студентов ($\bar{x} \pm m$)

Показатель	Тренированные (n=13)			Нетренированные (n=17)		
	до бега	после бега	P	до бега	после бега	P
Лактат, ммоль/л	$1,61 \pm 0,14$	$2,79 \pm 0,26$	$<0,01$	$1,86 \pm 0,14$	$1,89 \pm 0,15$	$>0,05$
Глюкоза, ммоль/л	$5,42 \pm 0,21$	$5,47 \pm 0,17$	$>0,05$	$5,72 \pm 0,16$	$5,51 \pm 0,20$	$>0,05$
Мочевина, ммоль/л	$5,99 \pm 0,52$	$7,12 \pm 0,35$	$>0,05$	$6,60 \pm 0,31$	$8,65 \pm 0,53$	$<0,01$
Гематокрит, %	$46,7 \pm 0,6$	$45,2 \pm 1,2$	$>0,05$	$47,6 \pm 0,6$	$46,9 \pm 0,7$	$>0,05$
Триглицериды, ммоль/л	$1,27 \pm 0,43$	$1,21 \pm 0,38$	$>0,05$	$1,17 \pm 0,47$	$1,13 \pm 0,39$	$>0,05$
ХС, ммоль/л	$4,97 \pm 0,79$	$4,95 \pm 0,76$	$>0,05$	$4,91 \pm 0,57$	$4,92 \pm 0,64$	$>0,05$
ЛПВП, ммоль/л	$1,39 \pm 0,32$	$1,43 \pm 0,31$	$>0,05$	$1,26 \pm 0,19$	$1,27 \pm 0,26$	$>0,05$
ЛПНП, ммоль/л	$3,33 \pm 0,67$	$3,28 \pm 0,71$	$>0,05$	$3,42 \pm 0,57$	$3,41 \pm 0,56$	$>0,05$
ЛПВП/ХС, %	$27,9 \pm 0,6$	$28,9 \pm 0,7$	$>0,05$	$25,6 \pm 0,5$	$26,0 \pm 0,5$	$>0,05$

Во время длительного бега (по данным некоторых исследователей) увеличивается интенсивность одновременно двух процессов: выброса глюкозы из печени в кровоток [10, 15] и периферической утилизации глюкозы, в результате чего в некоторых случаях может развиться гипогликемия [5]. Данные наших исследований не подтверждают тот факт, что бег вызывает существенные изменения концентрации глюкозы в

крови (см. таблицы) ли достаточные з

гликемии в течени

Определение гликемии в течении 1 лизма) имеет право на нагрузкам [неадекватность тренированности нетренированных (на 31,1 %) увеличение физиологической напряженности, концентрированных концепции результа энергии — глюкоза

Влияние длительных фракций изучено о вают, что содержащее течение 20-километровых работ [6]. По литературе [8], а ЛПНП — уменьшены. Однако полученный результат бег не изменяется.

Многими исследованием, в которых восторг, увеличена к следования показания результаты бега с изменениями ЛПВП/ХС у тренированных ($r=0,60$).

Таким образом, бег на 20-километровую молодых нетренированных, проявляющееся жено лишь у нетренированных аминокислот [10]. Бег не изменялся концентрация ХС ни у спортсменов.

T. A. Jürgimä,

INFLUENCE OF THE PARAMETERS

Hematocrit of the total cholesterol, lipoproteins to the total cholesterol students before and after does not exhaust energy of the protein catabolism significant only in untrained sportsmen.

State University, Tartu, Estonia

Физиол. журн., 1986, т. 32, № 2

ржание лактата, мочевины, а также на гематокрит с тренированными.

ерситета. Из них 13 — регулярные (I—III спортивный разряд, в неделю по 2 часа физический возраст студентов двух лет, рост — $(1,80 \pm 0,02)$ и $\pm 1,4$) кг соответственно. Бег приятных климатических условий 760 мм рт. ст. ($10,132$ кПа), в группе тренированных студентов $(6688,8 \pm 202,9)$ с.од.од. от ной крови. Мочевину, глюкозу, высокой плотности (ЛПВП) определена (ЧССР). В частности, НП) гепарином и $MnCl_2$ [7] ЛПНП — уравнения Friedewald для комплекса реактивов фирмы Гематокритной центрифугации).

обеспечение осуществляется и низкая концентрация [12]. Результаты проверки тренированных студентов $73,3\%$ (до $(2,79 \pm 0,05)$ граници (4 ммоль/л) тренированных концентраций триглицеридов угнетающее действие которых источников [11].

Биохимические показатели крови у студентов ($X \pm m$)

Нетренированные ($n=17$)

до бега	после бега	P
$86 \pm 0,14$	$1,89 \pm 0,15$	$>0,05$
$72 \pm 0,16$	$5,51 \pm 0,20$	$>0,05$
$60 \pm 0,31$	$8,65 \pm 0,53$	$<0,01$
$7,6 \pm 0,6$	$46,9 \pm 0,7$	$>0,05$
$17 \pm 0,47$	$1,13 \pm 0,39$	$>0,05$
$91 \pm 0,57$	$4,92 \pm 0,64$	$>0,05$
$26 \pm 0,19$	$1,27 \pm 0,26$	$>0,05$
$42 \pm 0,57$	$3,41 \pm 0,56$	$>0,05$
$5,6 \pm 0,5$	$26,0 \pm 0,5$	$>0,05$

которых исследователей) двух процессов: выброса и ферментической утилизации может развиться гипогликемия. Подтверждают тот факт, что концентрации глюкозы в

крови (см. таблицу). Даже у нетренированных студентов мы определяли достаточные запасы гликогена, что предупреждало развитие гипогликемии в течение 1,5—2 ч мышечной работы.

Определение в крови мочевины (как показателя белкового катаболизма) имеет практическое значение для контроля адаптации организма к нагрузкам [3]: увеличение концентрации в крови характеризует неадекватность тренировочных нагрузок и свидетельствует о состоянии дегенерированности и утомления. В наших исследованиях только в группе нетренированных студентов концентрация мочевины существенно (на $31,1\%$) увеличивалась (см. таблицу), превышая верхнюю границу физиологической нормы состояния покоя [2]. У одного из исследуемых, например, концентрация мочевины составляла $13,8$ ммоль/л. У нетренированных концентрация мочевины после бега положительно коррелировала с результатами бега ($r=0,61$) и отрицательно с источниками энергии — глюкозой ($r=-0,63$) и триглицеридами ($r=-0,52$).

Влияние длительных физических нагрузок на содержание ХС и его фракций изучено относительно мало. Полученные нами данные показывают, что содержание ХС в обеих группах студентов не изменилось в течение 20-километрового бега, что подтверждено результатами других работ [6]. По литературным данным, ЛПВП умеренно увеличивается [8], а ЛПНП — уменьшается [6] в течение длительной мышечной работы. Однако полученные нами результаты показали, что 20-километровый бег не изменяет концентрации ЛПВП и ЛПНП.

Многими исследователями [4, 16] установлено, что у людей, занимающихся видами спорта, развивающими главным образом выносливость, увеличена концентрация ЛПВП в крови. Проведенные нами исследования показали то же самое. В группе тренированных бегунов результаты бега сильнее взаимосвязаны с концентрацией ЛПВП и отношением ЛПВП/ХС до бега ($r=-0,74$ и $r=-0,68$), чем в группе нетренированных ($r=-0,47$ и $r=-0,52$).

Таким образом, проведенные нами эксперименты показывают, что бег на 20-километровую дистанцию не истощает запасы энергии даже у молодых нетренированных студентов, усиление белкового катаболизма, проявляющееся в накоплении мочевины при такой нагрузке, выражено лишь у нетренированных. Это указывает на нарастающее окисление аминокислот [14], за счет чего у малотренированных компенсируются энергозапасы по сравнению с тренированными без появления гипогликемии и различия в содержании триглицеридов плазмы крови [3]. Бег не изменял концентрацию ХС, ЛПВП, ЛПНП и отношение ЛПВП/ХС ни у спортсменов, ни у нетренированных студентов.

T. A. Jürgimäe, A. A. Viru, A. A. Nurmekevivi, K. M. Karelson,
M. E. Lintsi

INFLUENCE OF 20 KM RUNNING ON THE BIOCHEMICAL BLOOD PARAMETERS IN TRAINED AND UNTRAINED STUDENTS

Hematocrit of the blood plasma, the content of lactate, glucose, urea, triglycerides, total cholesterol, lipoproteins of high and low density, the ratio of high-density lipoproteins to the total cholesterol have been determined in the trained sportsmen and untrained students before and after 20 km running. It is established that running at such a distance does not exhaust energy reserves independently of the students' training. Intensification of the protein catabolism which is expressed by urea accumulation under such load is significant only in untrained students. The lactate concentration considerably increases in sportsmen.

State University, Tartu, Estonian SSR

1. Кароблис Б., Скерневичус Ю., Милашюс К. Равномерный бег // Лег. атлетика.— 1977.— № 9.— С. 11.
2. Колб В. Г., Камышников В. С. Справочник по клинической химии.— Минск : Беларусь, 1982.— 366 с.
3. Яковлев Н. Н. Биохимия спорта.— М. : Физкультура и спорт, 1974.— 288 с.
4. Altekruse E. B., Wilmore J. H. Changes in blood chemistries following a controlled exercise program // J. Occup. Med.— 1973.— 15.— P. 110—113.
5. Bergstrom J., Hultman E. Nutrition for maximal sports performance // JAMA.— 1972.— 211.— P. 999—1006.
6. Carlson L. A., Mossfeldt F. Acute effects of prolonged, heavy exercise on the concentration of plasma lipids and lipoproteins in men // Acta physiol. scand.— 1964.— 62.— P. 51—59.
7. Demacker P. N., Vos-Jansen H. E., Hijmans A. G. et al. Measurement of high-density lipoprotein cholesterol in serum by comparison of six isolation methods combined with enzymatic cholesterol analysis // Clin. Chem.— 1980.— 26.— P. 1780.
8. Durstine J. L., Miller W., Farrell S. et al. Increases in HDL-cholesterol and the HDL/LDL cholesterol ratio during prolonged endurance exercise // Metabolism.— 1983.— 32.— P. 993—997.
9. Friedewald W. T., Levy R. I., Fredrickson D. S. Estimation of the concentration of low-density lipoprotein-cholesterol in plasma, without the use of the preparative ultracentrifuge // Clin. Chem.— 1972.— 18.— P. 499—502.
10. Hultman E. Regulation of carbohydrate metabolism in the liver during rest and exercise with special reference to diet // 3rd intern. symp. biochem. exercise / Eds by F. Landry, W. A. R. Orban.— Miami: Symp. spec. inc., 1978.— P. 99—126.
11. Issekutz B., Miller H. I. Plasma free fatty acids during exercise and the effect of lactic acid // Proc. Soc. Exp. Biol. and Med.— 1962.— 110.— P. 237—239.
12. Keul J., Kohler R., von Glutz G. et al. Biochemical changes in a 100 km run: carbohydrates, lipids, and hormones in serum // Europ. J. Appl. Physiol.— 1981.— 47.— P. 181—189.
13. Kindermann W., Simon G., Keul J. The significance of the aerobic-anaerobic transition for the determination of work load intensities during endurance training // Europ. J. Appl. Physiol.— 1979.— 42.— P. 25—34.
14. Millward D. J., Davies C. T. M., Halliday D., Wolman S. L., Matthews D., Rennie M. Effect of exercise on protein metabolism in humans as explored with stable isotopes // Fed. Proc.— 1982.— 41.— P. 2686—2691.
15. Wahren J., Björkman O. Hormones. Exercise and regulation of splanchnic glucose output in normal man // Biochemistry of Exercise IV / Eds by Poortmans and G. Nijsen.— Baltimore: Univ. Park press, 1981.— P. 149—160.
16. Wood P. D., Haskell W. L. The effect of exercise on plasma high density lipoprotein // Lipids.— 1979.— 14.— P. 417—427.

Тартус. ун-т МВССО ЭССР

Поступила 10.09.84

УДК 616—092.9:57.081.4.1.616.132.20
Н. П. Строган

МОДЕЛИРОВА ПРОСВЕ

Исследованию соотношению сосудов и коронарного большее число работ. Вятся различные виды определять сужение просвета уменьшения диаметра [1, 2, 7, 8, 10]. Однако извать концентрическое сужение

Учитывая известное сужение сосудов при их атакту частоту эксцентрического просвета сосуда, и возможно повреждения на гидродинамических количественные характеристики, позволяющий (плавное или ступенчатое сечения сосуда)

Окклюдер представляет собой стекло. Корпус стей — верхней части (a) гообразной части (b), кольцо радиуса внутренней сосуда, на который наложен окклюдер для исследования передней нисходящей или серда собак радиус (r) струбцины (a) проведен зажимного винта крепят радиусу дугообразной ча сферы (рис. 1, d) расположенной внутренней дуги составляющим суженного сосуда (2—3 мм радиуса). Наложенный в данном диаметре, ни площадь влияние на количественно в нем. В нижнем положении гообразную часть корпуса просвета сосуда и прекращает плавно сужать и стеснить исследуемого сосуда (1).

Расчет площади поперечного сечения проводится по формуле

$$S = \frac{S_p}{1 + \left(\frac{r}{R} - 1 \right)^2}$$

где S — площадь поперечного сечения; S_p — площадь поперечного сечения в состоянии, соответствующему

Во время длительного бега (по данным некоторых исследований) увеличивается интенсивность одновременного двух типов гипоксии из центральной кровоток [10, 15] и периферической утилизации глюкозы в результате чего в некоторых случаях может развиться гипогликемия [10, 15]. Исследований не подтверждают тот факт, что обе эти виды гипоксии приводят к выраженным нарушениям концентрации глюкозы в

МЕТОДИКИ

УДК 616—092.9:57.081.4.1.616.132.2.008.64

Н. П. Стroganova, В. И. Kovalenko, С. С. Шаваран

МОДЕЛИРОВАНИЕ ДОЗИРОВАННОГО СУЖЕНИЯ ПРОСВЕТА КОРОНАРНОГО СОСУДА

Исследование соотношения изменений стенозирования коронарных сосудов и коронарного кровообращения в эксперименте посвящено большое число работ. В острых и хронических экспериментах используются различные виды окклюдеров (констрикторов), позволяющих моделировать сужение просвета сосуда с достаточной точностью дозирования уменьшения диаметра или площади поперечного сечения сосуда [1, 2, 7, 8, 10]. Однако все известные окклюдеры позволяют моделировать концентрическое сужение сосуда.

Учитывая известное разнообразие формы стенозирования коронарных сосудов при их атеросклеротическом поражении, значительную частоту эксцентрического расположения образования, суживающего просвет сосуда, и возможность более выраженного влияния подобного повреждения на гидродинамику потока (увеличение турбулентности) и его количественные характеристики, мы разработали и используем окклюдер, позволяющий моделировать эксцентрическое дозирование (плавное или ступенчатое) уменьшения диаметра или площади поперечного сечения сосуда (рис. 1).

Окклюдер представляет собой струбцину, изготовленную из органического стекла. Корпус струбцины состоит из двух условных частей — верхней части (а) для фиксации зажимного винта и нижней дугообразной части (б), которая подводится под исследуемый сосуд. Выбор радиуса внутренней полуокружности (r) определяется размером сосуда, на который накладывается окклюдер. При использовании окклюдера для исследования коронарного кровообращения в бассейне передней нисходящей или огибающей ветвей левой коронарной артерии сердца собак радиус (r) составляет 1—1,5 мм. Через верхнюю часть струбцины (а) проведен зажимный винт с шагом 0,3 мм (в). На конце зажимного винта крепится полусфера (г) радиусом, соответствующим радиусу дугообразной части струбцины r . В верхнем положении полусферы (рис. 1, д) расстояние от ее полюса до противоположной точки внутренней дуги составляет $2r$, т. е. размер наружного диаметра исследуемого сосуда (2—3 мм для указанных выше ветвей коронарной артерии). Наложенный в данной позиции на сосуд окклюдер не изменяет ни диаметр, ни площадь поперечного сечения сосуда и не оказывает влияние на количественные и качественные характеристики кровотока в нем. В нижнем положении поверхность полусферы вписывается в дугообразную часть корпуса окклюдера, обеспечивая полное пережатие просвета сосуда и прекращая в нем кровоток. Вращение винта позволяет плавно сужать и ступенчато фиксировать размер сужения просвета исследуемого сосуда (рис. 1, е).

Расчет площади поперечного сечения стенозированного участка сосуда проводится по формуле

$$S = S_{\pi} - S_s,$$

где S — площадь поперечного сечения стенозированного участка сосуда; S_{π} — площадь поперечного сечения исследуемого сосуда в исходном состоянии, соответствующая πr^2 ; S_s — площадь стенозирующего сегмента.

ерный бег // Лег. атлетика.—
нической химии.— Минск : Бела-
и спорт, 1974.—288 с.
ntries following a controlled
0—113.
sports performance // JAMA.—
heavy exercise on the concentra-
ta physiol. scand.— 1964.—62.—
al. Measurement of high-density
isolation methods combined with
26.— P. 1780.
HDL-cholesterol and the HDL/
exercise // Metabolism.— 1983.—
tion of the concentration of low-
se of the preparative ultracentri-
the liver during rest and exer-
ip. biochem. exercise / Eds by
nc., 1978.— P. 99—126.
g exercise and be effect of lactic
P. 237—239.
anges in a 100 km run: carbo-
Appl. Physiol.— 1981.—47.— P.
f the aerobic-anaerobic transiti-
ing endurance training // Europ.
S. L., Matthews D., Rennie M.
explored with stable isotopes //
gulation of splanchnic glucose
/ Eds by Poortmans and G. Ni-
asma high density lipoprotein //

Поступила 10.09.84

Последняя точнее всего аппроксимируется уравнением площади эллипса

$$S_s = \frac{1}{4} \pi (c-d)(a-b),$$

где $(c-d)$ — длина малой оси эллипса; $(a-b)$ — длина большой оси эллипса.

Малая (или вертикальная) ось эллипса определяется расстоянием, на которое перемещается зажим винта окклюдера, большая (или горизонтальная) ось представляет собой

θ хорду, соединяющую крайние точки касания полусферы окклюдера со стенкой сосуда (рис. 2).

Сужение просвета сосуда определяется как отношение площади поперечного сечения стенозирующего сегмента к площади поперечного сечения сосуда в исходном состоянии и выражается в процентах, т. е.

$$(S_s : S_n) 100 \%$$

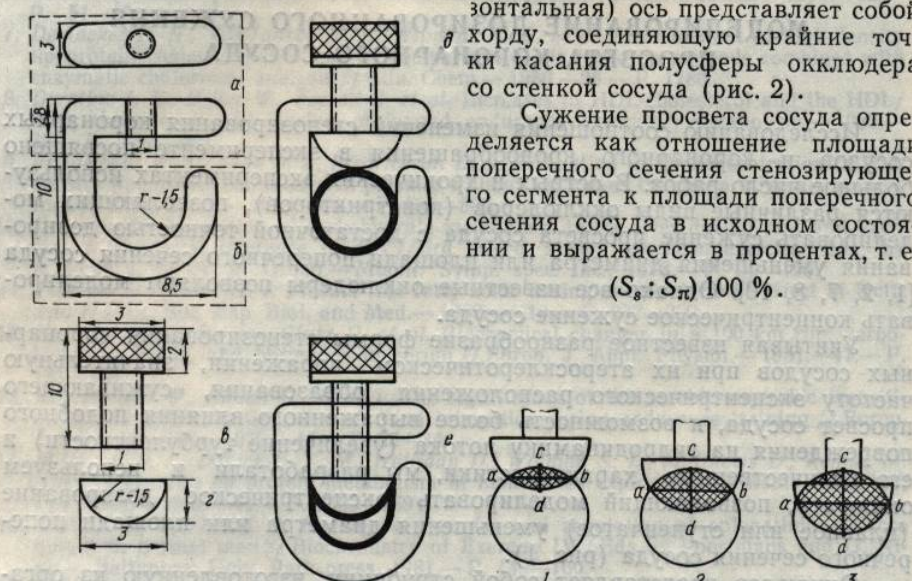


Рис. 1. Устройство для моделирования эксцентрического дозированного уменьшения площади поперечного сечения кровеносного (коронарного) сосуда.

Объяснения в тексте.

Рис. 2. Изменение сужения кровеносного сосуда радиусом 1,5 мм при перемещении зажимного винта:

1 — на 0,6 мм ($S_s = 0,85 \text{ mm}^2$, сужение составляет 12,0 %); 2 — на 1,2 мм ($S_s = 2,27 \text{ mm}^2$, сужение составляет 32,1 %); 3 — на 1,8 мм ($S_s = 3,39 \text{ mm}^2$, сужение составляет 48,4 %). Чтобы получить 75 %-ное сужение сосуда (указанного радиуса) необходимо переместить зажимный винт на 2,4 мм; 85 %-ное — на 2,7 мм, 93 %-ное — на 2,85 мм.

Для большей точности вычислений необходимо учитывать толщину стенки сосуда, измеряемую после опыта.

Исследования с использованием предлагаемого окклюдера проводятся в острых опытах на собаках в условиях широкой торакотомии и искусственного дыхания. Катетеризация восходящей части грудной аорты и полости левого желудочка сердца с последующим электроманометрическим измерением и регистрацией в них давления (марка ЕМТ 311, фирма «Elema», Швеция) дифференцированием внутрижелудочкового давления (марка ЕМТ 63 той же фирмы, Швеция) обеспечивает определение основных показателей кардиодинамики (САД, ЛЖД, КДД, dp/dt) и перфузионного давления в системе коронарных сосудов. В частности, последнее — путем вычитания из значений диастолического давления в акорте значений конечнодиастолического давления в полости левого желудочка сердца.

На отсепарованном проксимальном участке огибающей ветви левой коронарной артерии помещали накидной датчик электромагнитного расходомера (фирма «Nihon Kohden», Япония) и проксимальнее датчика плотно фиксировали окклюдер с зажимным винтом в верхней позиции, т. е. в положении, в котором он не вызывает изменений ни площади поперечного сечения сосуда, ни объемной скорости кровотока

в нем. Определяли основную артерию (общий листовая фракция) и новую гиперемию после ветви коронарной артерии тока). Путем вращения шагов плавно проводившиеся таким образом, 50 или 70 %, либо стечения сосуда на 25, будущие параметры регулировались в конце каждой минуты прекращение притока к

Градиент давления $\Delta p = fQ + sQ^2$, где Q — s — коэффициент сепарации давления в области стено-дера (конечное коронарное, данный подход позволяет моделировать света кровеносного, в частности сужения и нарушения к

Сопоставление солового сосуда, наличия измененной и качественной характеристики стеноза. Сигнальной активности сердечной функции сердца «критическую» меру стено-кают нарушения функции

Анализ гиперемии компенсаторные механизмы, которая обеспечивает недостаточным [5, 6]. В оценить меру реализации виях стенозирования и патогенетической цепи

1. Elliot E. C., Jones E. L. Hemodynamics secondary to constrictions in conscious dogs // Circulat. Res. 1982. — 50, N 5. — P. 695—700.
2. Elzinga W. E., Skinner D. I. Stenosis of coronary arteries // J. Thorac. Cardiovasc. Surg. 1973. — 65, N 5. — P. 292.
3. Gold K. L. Dynamic coronary stenosis // J. Thorac. Cardiovasc. Surg. 1982. — 83, N 5. — P. 1085—1094.
4. Gold K. L., Kelly K. O. Physiological stenosis geometry during progressive coronary artery disease // J. Thorac. Cardiovasc. Surg. 1982. — 83, N 5. — P. 695—700.
5. Gold K. L., Lipscomb K. Changes in coronary bed during progressive stenosis // J. Thorac. Cardiovasc. Surg. 1982. — 83, N 5. — P. 1085—1094.
6. Gold K. L., Lipscomb K. Effect of stenosis on coronary blood flow // Amer. J. Cardiol. 1968. — 21, N 5. — P. 1085—1094.
7. Kourvel E. M., Gregg D. E. Stenosis of coronary artery during exercise // Circulat. Res. 1968. — 23, N 5. — P. 1085—1094.
8. Sabbach H. N., Stein P. P. Stenosis of coronary artery // Amer. J. Cardiol. 1968. — 21, N 5. — P. 1085—1094.
9. Sharon M. W., Baché R. Y. Occlusion of coronary artery in the awake dog // Circulat. Res. 1968. — 23, N 5. — P. 1085—1094.
10. Walinski P., Santamore W. Stenosis of coronary artery // Amer. J. Cardiol. 1968. — 21, N 5. — P. 1085—1094.

Укр. ин-т кардиологии им. Н. Д. МЗ УССР, Киев

Физиол. журн., 1986, т. 32, № 2

ся уравнением площади

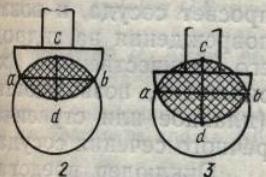
),

-*b*) — длина большой оси

определяется расстоянием, дюра, большая (или горизонтальная) ось представляет собой единую крайние точки полусферы окклюдера сосуда (рис. 2).

ние просвета сосуда определяет отношение площади сечения стенозирующей к площади поперечного сечения сосуда в исходном состоянии в процентах, т. е.

$$(S_s : S_{\pi}) \cdot 100 \%$$



дозированного уменьшения (коронарного) сосуда.

м 1,5 мм при перемещении за-
да 1,2 мм ($S_s = 2,27 \text{ mm}^2$, сужение
является 48,4 %). Чтобы получить
поставить зажимный винт на 2,4 мм;
85 мм.

имо учитывать толщину
емого окклюдера прово-
широкой торакотомии и
ящей части грудной аор-
едующим электроманом-
т давления (марка ЕМТ
анием внутрижелудочко-
(Швеция) обеспечивает
намики (САД, ЛЖД,
е коронарных сосудов.
значений диастолическо-
ческого давления в полу-

ке огибающей ветви ле-
гатчик электромагнитно-
я) и проксимальнее дат-
ым винтом в верхней
вызывает изменений ни-
ной скорости кровотока

ол. журн., 1986, т. 32, № 2

в нем. Определяли основные параметры пульсирующего тока в коронарной артерии (общий коронарный кровоток, систолическая и диастолическая фракции) и основные величины, характеризующие реактивную гиперемию после 5—10 с прекращения кровотока в исследуемой ветви коронарной артерии (пережатие проводится дистальнее датчика тока). Путем вращения зажимного винта окклюдера с учетом числа шагов плавно проводится стенозирование кровеносного сосуда, дозированное таким образом, чтобы ограничить коронарный кровоток на 25, 50 или 70 %, либо ступенчато с уменьшением площади поперечного сечения сосуда на 25, 50, 75 и 90 % его исходной площади. Все исследуемые параметры регистрировали непрерывно в течение 5—25 мин и в конце каждой минуты проводили тестовую реакцию на 5—10-секундное прекращение притока крови в коронарный сосуд.

Градиент давления в области стеноза вычисляли [3, 4] по формуле $\Delta p = fQ + sQ^2$, где Q — кровоток, мл/мин; f — коэффициент вязкости; s — коэффициент сепарации. Другой подход к определению градиента давления в области стеноза — измерение давления, дистальнее окклюдера (конечное коронарное давление, дистальное стеноза). Таким образом, данный подход к исследованию коронарного кровообращения позволяет моделировать дозированное эксцентрическое сужение просвета кровеносного, в частности коронарного, сосуда с оценкой размера сужения и нарушения кровотока в исследуемом сосуде.

Сопоставление совокупности данных о размере сужения просвета сосуда, наличии изменений коронарного кровотока и их количественной и качественной характеристик позволяют оценить функциональную значимость стеноза. Синхронная регистрация показателей функциональной активности сердца позволяет сопоставить соотношение сократительной функции сердца и коронарного кровотока и определить «критическую» меру стеноза, т. е. то ее значение, при котором возникают нарушения функции сердца.

Анализ гиперемической реакции в этих условиях позволяет оценить компенсаторные механизмы, в частности дистальную вазодилатацию, которая обеспечивает необходимым и достаточным кровотоком либо недостаточным [5, 6]. В последней ситуации оказывается возможным оценить меру реализации коронарного расширительного резерва в условиях стенозирования и подойти к пониманию лимитирующих звеньев в патогенетической цепи острой коронарной недостаточности [9].

1. Elliot E. C., Jones E. L., Bloor C. M. et al. Day to day changes in coronary hemodynamics secondary to constriction of circumflex branch of left coronary artery in conscious dogs // Circulat. Res.—1968.—22, N 2.—P. 237—245.
2. Elzinga W. E., Skinner D. B. Hemodynamic characteristic of critical stenosis in canine coronary arteries // J. Thorac. and Cardiovasc. Surg.—1975.—69, N 1.—P. 216—222.
3. Gold K. L. Dynamic coronary stenosis // Amer. J. Cardiol.—1980.—45, N 2.—P. 286—292.
4. Gold K. L., Kelly K. O. Physiological significance of coronary flow velocity and changing stenosis geometry during coronary vasodilation in awake dogs // Circulat. Res.—1982.—50, N 5.—P. 695—704.
5. Gold K. L., Lipscomb K., Calvert C. Compensatory changes of the distal coronary vascular bed during progressive coronary constriction // Circulation.—1975.—51, N 6.—P. 1085—1094.
6. Gold K. L., Lipscomb K. Effect of coronary stenoses on coronary flow reserve and resistance // Amer. J. Cardiol.—1974.—34, N 1.—P. 48—55.
7. Khouri E. M., Gregg D. E., Lowensohn H. S. Flow in the major branches of the left coronary artery during experimental coronary insufficiency in unanesthetized dog // Circulat. Res.—1968.—23, N 1.—P. 99—117.
8. Sabbach H. N., Stein P. P. Hemodynamics of multiple versus simple 50 percent coronary artery stenoses // Amer. J. Cardiol.—1982.—60, N 2.—P. 276—280.
9. Sharon M. W., Bache R. Y. Reactive hyperemia following total and subtotal coronary occlusion in the awake dog // Basic Res. Cardiol.—1982.—77, N 6.—P. 656—667.
10. Walinski P., Santamore W., Wiener L. et al. Effect of norepinephrine on coronary hemodynamics in coronary stenotic canine model // Amer. Heart J.—1980.—99, N 4.—P. 494—502.

Укр. ин-т кардиологии им. Н. Д. Стражеско
МЗ УССР, Киев

Поступила 05.12.83

УДК 612.825.612.822.3
ФАКТОРЫ ИНОСТРАННОГО ПРОИСХОЖДЕНИЯ В РАБОТАХ НАУЧНЫХ КОЛЛЕГИЙ И УЧЕБНО-ПРАКТИЧЕСКИХ ГРУПП ВОЛГОГРДСКОГО ГОСУДАРСТВЕННОГО УНИВЕРСИТЕТА

ТЕЗИСЫ ДОКЛАДОВ XVIII ГОРОДСКОЙ КОНФЕРЕНЦИИ МОЛОДЫХ УЧЕНЫХ И СПЕЦИАЛИСТОВ «АКТУАЛЬНЫЕ ПРОБЛЕМЫ ФИЗИОЛОГИИ» (18 мая 1985 г.)

УДК 612.17+616.12.092:57.08.01

С. Г. Казьмин

ВОПРОСЫ МЕТОДОЛОГИИ ОЦЕНКИ ФУНКЦИОНАЛЬНОГО СОСТОЯНИЯ СЕРДЕЧНОЙ МЫШЦЫ

Существующие представления о сократимости миокарда внутренне противоречивы. Их противоречивость заключается в несовместности следующих двух основных требований, предъявляемых к сократимости: во-первых, она должна отражать функциональное состояние миокарда; во-вторых, она же должна изменяться под влиянием обычных (например, адренергических) регуляторных воздействий. Несовместимость этих требований отчетливо проявляется при патологии миокарда, когда адренергические компенсаторные воздействия, по существующим представлениям, повышают его сократимость, но при этом миокард не становится «здоровым», его состояние может даже ухудшаться. Практическим следствием существования этого противоречия является низкая информативность так называемых индексов сократимости миокарда для ранней диагностики недостаточности мышцы сердца в клинике и эксперименте.

Мы предлагаем рассматривать сократимость как внутреннее свойство миокарда, определяющее его способность к сокращению (т. е. развитию напряжения и укорочению), которое под влиянием регуляторных (нервных, гуморальных, механических) воздействий организма на сердце не изменяется, а только лишь реализуется в большей или меньшей степени в виде сократительной активности. Изменяют сократимость длительно действующие нагрузки (вызывающие адаптивные перестройки белково-ферментного состава миоцитов), трофические влияния нервной системы, патологические факторы и другие воздействия, изменяющие структуру миоцитов, т. е. количество, качество и характер связей образующих их белковых молекул.

Термины «сократимость» и «сократительная активность» миокарда представляют собой конкретизацию для сердечной мышцы более общих понятий — «функциональное состояние» и «функциональная активность». Но полностью отождествить сократимость и функциональное состояние миокарда нельзя, поскольку единичный функциональный акт мышцы сердца помимо сокращения включает также возбуждение, проведение и расслабление. Оценить функциональное состояние органа — значит определить, в состоянии ли он выполнять свои функции адекватно требованиям организма. Оценить сократимость миокарда — значит определить, в состоянии ли он сокращаться и изменять свою сократительную активность адекватно срочным регуляторным воздействиям организма на него. На основании этого подхода разработаны новые методы оценки функционального состояния миокарда, учитывающие его реактивность к основным физиологическим регуляторным воздействиям.

Ин-т физиологии им. А. А. Богомольца АН УССР, Киев

УДК 612.825.612.822.3
ФАКТОРЫ ИНОСТРАННОГО ПРОИСХОЖДЕНИЯ В РАБОТАХ НАУЧНЫХ КОЛЛЕГИЙ И УЧЕБНО-ПРАКТИЧЕСКИХ ГРУПП ВОЛГОГРДСКОГО ГОСУДАРСТВЕННОГО УНИВЕРСИТЕТА

РЕАКЦИИ НЕЙРОНОВ НА ЗВУКОВОЕ РАЗДРАЖЕНИЕ НЕМБУТАНОМ

Нейроны теменной ареаля в тонком анализе звука отличаются от звукового. Это следует из большинства ответов нейронов, имеющих характеристическое для них звуковое раздражение. Вопрос относительно путей передачи звука к нейронам ТАК. Чтобы исключить высшие отделы головного мозга, мы использовали метод аппликации 6 % раствора нимбутана на кожу животного. В качестве первого этапа были применены различные частоты звука (15 мг/кг внутривенно). Их передней части средней частоты (ТАК, отвечающих на звук) анализа выбрали 21 клетку, хорошо дискриминировавшие звук. Время отклика на звук в течение 10 секунд. Аппликации нимбутана не вызывали звуковую чувствительность в течение 10 минут. Аппликации нимбутана не вызывали звуковую чувствительность в течение 10 минут. Аппликации нимбутана не вызывали звуковую чувствительность в течение 10 минут.

Опыты проведены на крысах (15 мг/кг внутривенно). Их передней части средней частоты (ТАК, отвечающих на звук) анализа выбрали 21 клетку, хорошо дискриминировавшие звук. Время отклика на звук в течение 10 секунд. Аппликации нимбутана не вызывали звуковую чувствительность в течение 10 минут. Аппликации нимбутана не вызывали звуковую чувствительность в течение 10 минут.

Было обнаружено, что нимбутаном можно дискриминировать звуки, вызывающие «сглаживание» звуковых сигналов. Ответы на звук в течение 10 секунд. Аппликации нимбутана не вызывали звуковую чувствительность в течение 10 минут. Аппликации нимбутана не вызывали звуковую чувствительность в течение 10 минут.

Таким образом, можно предположить, что звуковая чувствительность нимбутаном не изменяется. На графике ЧПК отчетливо видно, что звуковую чувствительность нимбутаном не изменяется. На графике ЧПК отчетливо видно, что звуковую чувствительность нимбутаном не изменяется.

Ин-т физиологии им. А. А. Богомольца АН УССР, Киев

УДК 612.825

ВЛИЯНИЕ РАЗДРАЖЕНИЯ СРЕДНЕГО МОЗГА ТЕМЕННОЙ АРЕАЛИ

Со временем работ Моргана и других исследователей установлено, что теменные ареалы мозга играют важную роль в регуляции деятельности коры головного мозга. Со временем работ Моргана и других исследователей установлено, что теменные ареалы мозга играют важную роль в регуляции деятельности коры головного мозга.

Физиол. журн., 1986, т. 32, № 2

СИМПОЗИУМЫ

УДК 612.825.612.822.3

В. В. Туркин

РЕАКЦИИ НЕЙРОНОВ ТЕМЕННОЙ АССОЦИАТИВНОЙ КОРЫ НА ЗВУКОВОЕ РАЗДРАЖЕНИЕ ДО И ПОСЛЕ АППЛИКАЦИИ НЕМБУТАЛА НА СЛУХОВУЮ КОРУ

Нейроны теменной ассоциативной коры (ТАК) принимают участие в тонком анализе звукового раздражения, поступающего в мозг животного. Это следует из того, что частотно-пороговые кривые (ЧПК) большинства ответов нейронов обладают одной или двумя четко выраженным характеристическими частотами (ХЧ). Остается нерешенным вопрос относительно путей, по которым слуховая информация поступает к нейронам ТАК. Чтобы их обнаружить, необходимо последовательно исключить высшие отделы слуховой системы из деятельности мозга. В качестве первого этапа мы произвели «выключение» слуховой коры путем аппликации 6 % раствора нембутала на ее поверхность.

Опыты проведены на кошках, слабо наркотизированных хлоралозой (15 мг/кг внутривенно). Импульсная активность отводилась от нейронов передней части средней супрасильвиевой извилины в ответ на тональные раздражения частотами 0,1—20 кГц. Исследовано 75 нейронов ТАК, отвечавших на звуковое раздражение. Из них для дальнейшего анализа выбрали 21 клетку. В эту группу вошли те нейроны, которые хорошо дискриминировали тональные раздражения и сохраняли ответоспособность в течение 50—60 мин. Построив ЧПК ответа нейрона, апплицировали нембутал на слуховую кору. Через 8—10 мин вызванный потенциал в слуховой коре практически исчезал, после чего вновь строили ЧПК ответов этого же нейрона.

Было обнаружено, что некоторая часть клеток (19 %) перестает дискриминировать тоны по частоте. Частотно-пороговые кривые таких ответов «сглаживаются». После того, как действие нембутала прекращается и вызванный потенциал в слуховой коре восстанавливается (это происходит через 40—60 мин после аппликации), исследуемые нейроны вновь начинают хорошо выделять определенные тоны из множества предъявляемых. Однако значительная часть клеток (81 %) принципиально не изменила частотно-пороговые кривые своих ответов. На графике ЧПК отчетливо проявляются характеристические частоты данного нейрона, в то время, когда в слуховой коре активность полностью исчезает.

Таким образом, можно предположить, что основная часть импульсов, поступающая к нейронам теменной ассоциативной коры в ответ на раздражение тоном характеристической частоты, приходит к ним, минуя слуховую кору.

Ин-т физиологии им. А. А. Богомольца, АН УССР, Киев

УДК 612.825

А. И. Семенютин

ВЛИЯНИЕ РАЗДРАЖЕНИЯ РЕТИКУЛЯРНОЙ ФОРМАЦИИ СРЕДНЕГО МОЗГА НА АКТИВНОСТЬ НЕЙРОНОВ ТЕМЕННОЙ АССОЦИАТИВНОЙ КОРЫ КОШКИ

Со времен работ Моруцци и Могоуна наши представления о ретикуло-кортикальных взаимодействиях значительно расширились. Морфологически и электрофизиологически показаны прямые проекции ретикулярных структур в неокортекс. Опубликован ряд работ по изуче-

нию влияния ретикулярной формации (РФ) на одиночные нейроны коры. Однако данных, полученных по этому вопросу, мало и они противоречивы, и кроме того большая часть таких работ выполнена на проекционных областях коры, а следовательно, изучение влияния РФ на нейроны ассоциативных зон заслуживает внимания.

Опыты проведены на кошках, обездвиженных миорелаксином. Реакции 61 нейрона отводили вне- и внутриклеточно в поле 5б супрасильвииевой извилины стеклянными микроэлектродами, заполненными цитратом калия (концентрация 2,5 моль/л). РФ раздражали биполярно сериями стимулов с частотой 30—300 Гц, длительностью 20—800 мс и напряжением 2—3 В. Раздражение РФ (РРФ) было кондиционирующим, раздражение заднего латерального ядра таламуса (РЗЛЯ) и транскаллозальное раздражение (ТКР) — тестирующим. Их наносили биполярно одиночными стимулами длительностью 0,2 мс и напряжением 5—7 В. Локализацию раздражающих электродов в РФ и ЗЛЯ определяли физиологическим и гистологическим контролем. Координаты электролитических меток для РФ: AP0+2, L 2—3, H 5—8; для ЗЛЯ: AP+8—+10, L 4—6, H 14—15 (по атласу Reinoso-Suarez).

При внеклеточном отведении реакций фоновоактивных нейронов на РРФ наиболее часто встречались ответы в виде тонического возбуждения или тонического возбуждения с последующим торможением. Значительно реже — фазный ответ с последующим торможением. В нескольких случаях РРФ вызывало торможение фоновой активности. Латентные периоды реакций, определенные по вне- и внутриклеточным отведениям, составляют 7—60 мс. При повторных нанесениях РРФ во многих случаях повышается уровень фоновой активности. Обнаружены 27 нейронов, на которых происходит конвергенция ретикулярных, транскаллозальных и таламических влияний. Между ними наблюдается антагонизм. В большинстве случаев РРФ оказывает на нейрон возбуждающее воздействие, а ТКР и РЗЛЯ — тормозящее. В 7 нейронах в ответ на РРФ заметных реакций не возникало. ТКР и РЗЛЯ вызывали у них тормозную паузу в фоновой активности или ТПСП. Влияние РРФ на данные нейроны можно было наблюдать при сочетании РРФ с ТКР или РЗЛЯ с интервалом 20—40 мс. При внеклеточном отведении у фоновоактивных нейронов из этой группы оно проявлялось в укорачивании тормозной паузы в фоновой активности, которое усиливалось при многократном повторении сочетаний. При внутриклеточных отведениях было видно, что РРФ угнетает амплитуду и длительность ТПСП, возникавших на тестирующие раздражения. Такой эффект мог вызываться тем, что РФ затормаживала тормозящие интернейроны. Однако он мог возникать и вследствие накопления ионов K^+ во внеклеточной среде при ритмическом РРФ. В пользу этого свидетельствует тот факт, что угнетение торможения постепенно усиливалось при повторении РРФ, а после его выключения тормозные реакции восстанавливались также достаточно медленно. Возможен и третий механизм такого влияния. Если РРФ вызывает в корковых нейронах незначительную гиперполяризацию, то это также может приводить к подобным изменениям ТПСП. Таким образом, РФ оказывает на исследованные нейроны теменной ассоциативной коры активирующее воздействие, вызывая в них возбуждение или растормаживание.

Ин-т физиологии им. А. А. Богомольца АН УССР, Киев

ОСОБЕННОСТИ НЕЙРОНОВ МОЗГА НАТУРАЛЬНЫМИ СИГНАЛАМИ РАЗЛИЧНЫХ ПРИРОДЫ

При сравнительном анализе ядра (ГЯ) продолговатого моста (КЯ) на два вида скую стимуляцию нервов (движение) и тактильное (нейроны показали, что нейроны вторым видом раздражения определенной специфичности ГЯ и КЯ — относительно информации. В данном соединений в условиях более ноцицептивных и неноцицептивных.

Опыты проведены на яиц (15—20 мг/кг внутри наркотизацией кеталаром (внеклеточно) ответы нейронов L 2,5; H 1,5—H5) и ГЯ (РФ — щипок пинцетом и узкие раздражения кожи вносились специальным эластичным силой удара, запускающего. Все раздражения (граница грудной клетки).

Исследовали активность области КЯ и 32 клетки — ствия (ПД) на один или характеру ответов было в («болевых» нейронов) воноцицептивные стимулы (щипок и укол по ПД значим (16 клеток); во вторую группу вавшие только на касание вируемые преимущественно ток); в третью группу — ково на все виды раздражений различных групп представлена номерно. Так, болевые не отсутствуют в КЯ. Напротив, в КЯ и всего один пределена равномерно в с образом, полученные данн мущественно на натурализ как нейроны КЯ — на роль этих двух ретикулярных афферентного потока различны.

Ин-т физиологии им. А. А. Богомольца АН УССР, Киев

М. В. Карпухина

**ОСОБЕННОСТИ АКТИВАЦИИ РЕТИКУЛЯРНЫХ
НЕЙРОНОВ МОСТА И ПРОДОЛГОВАТОГО МОЗГА
НАТУРАЛЬНЫМИ СОМАТИЧЕСКИМИ РАЗДРАЖЕНИЯМИ
РАЗЛИЧНОЙ МОДАЛЬНОСТИ**

на одиночные нейроны коопросу, мало и они противоработ выполнена на проекционное влияния РФ на нейронов. кенных миорелаксином. Ретично в поле 5b супрасильвийными, заполненными циРФ раздражали биполярно (лительностью 20—800 мс и РФ) было кондиционирующее ядра таламуса (РЗЛЯ) и гестирующим. Их наносили остью 0,2 мс и напряжением родов в РФ и ЗЛЯ определителем. Координаты электр., Н 5—8; для ЗЛЯ: АР+8—Suarez).

новоактивных нейронов на виде тонического возбуждающим торможением. Значим торможением. В нее фоновой активности. Лавне- и внутриклеточным отрывных нанесениях РФ во активности. Обнаружены нвергенция ретикулярных. Между ними наблюдается азывает на нейрон возбуждающее. В 7 нейронах в то. ТКР и РЗЛЯ вызывали сти или ТПСП. Влияние дать при сочетании РФ при внутриклеточном отведении оно проявлялось в укорочности, которое усиливалось и внутриклеточных отведений и длительность ТПСП. Такой эффект мог вызываться интернейроны. Однако ионов K^+ во внутриклеточной свидетельствует тот факт, что при повторении РФ, восстановливались также механизм такого влияния. значительную гиперполяризацию подобным изменениям ледованные нейроны торможение, вызывая в них

Опыты проведены на кошках, слабо наркотизированных хлоралозой (15—20 мг/кг внутривенно) с предварительной кратковременной наркотизацией кеталаром (20 мг/кг внутримышечно). Исследовали (внеклеточно) ответы нейронов КЯ с координатами: (Р5—Р7; L 1,5—L 2,5; H 1,5—H 5) и ГЯ (Р9—Р12; L 1—L 1,5; H 1—H 4,5) на ноцицептивные (щипок пинцетом и угол иглы коми) и неноцицептивные, тактильные раздражения кожи в виде касания или легкого удара, которые наносились специальным электромеханическим устройством с дозированной силой удара, запускаемого прямоугольными импульсами от стимулятора. Все раздражения производились в одной соматической зоне (граница грудной клетки и живота).

Исследовали активность 72 ретикулярных нейронов (40 клеток в области КЯ и 32 клетки — в ГЯ), которые отвечали потенциалами действия (ПД) на один или несколько видов указанных раздражений. По характеру ответов было выделено три группы клеток. В первую группу («болевых» нейронов) вошли следующие: клетки, отвечавшие только на ноцицептивные стимулы (3 клетки), и нейроны, у которых ответы на щипок и укол по ПД значительно превышали ответы на касание и удар (16 клеток); во вторую группу «неболевых» нейронов — клетки, отвечавшие только на касание и/или удар (7 нейронов), и нейроны, активируемые преимущественно неноцицептивными раздражениями (19 клеток); в третью группу — нейроны, отвечавшие приблизительно одинаково на все виды раздражений (27 клеток). Оказалось, что нейроны различных групп представлены в исследованных ядрах крайне неравномерно. Так, болевые нейроны обнаружены только в ГЯ; эти клетки отсутствуют в КЯ. Напротив, 25 из 26 неболевых нейронов зарегистрированы в КЯ и всего одна клетка в ГЯ. Третья группа нейронов распределена равномерно в обоих ядрах: 15 — в КЯ и 12 — в ГЯ. Таким образом, полученные данные показали, что нейроны ГЯ отвечают преимущественно на натуральные ноцицептивные раздражения, в то время как нейроны КЯ — на неноцицептивные раздражения. Следовательно, роль этих двух ретикулярных ядер в проведении болевого и неболевого афферентного потока различна.

Ин-т физиологии им. А. А. Богомольца, АН УССР, Киев

на одиночные нейроны коопросу, мало и они противоработ выполнена на проекционное влияния РФ на нейроны.

кенных миорелаксином. Ретично в поле 5b супрасильвийными, заполненными циРФ раздражали биполярно (лительностью 20—800 мс и РФ) было кондиционирующее ядра таламуса (РЗЛЯ) и гестирующим. Их наносили остью 0,2 мс и напряжением родов в РФ и ЗЛЯ определителем. Координаты электр., Н 5—8; для ЗЛЯ: АР+8—Suarez).

новоактивных нейронов на виде тонического возбуждающим торможением. Значим торможением. В нее фоновой активности. Лавне- и внутриклеточным отрывных нанесениях РФ во активности. Обнаружены нвергенция ретикулярных.

Между ними наблюдается азывает на нейрон возбуждающее. В 7 нейронах в то. ТКР и РЗЛЯ вызывали сти или ТПСП. Влияние дать при сочетании РФ при внутриклеточном отведении оно проявлялось в укорочности, которое усиливалось и внутриклеточных отведений и длительность ТПСП. Такой эффект мог вызываться интернейроны. Однако ионов K^+ во внутриклеточной свидетельствует тот факт, что при повторении РФ, восстановливались также механизм такого влияния. значительную гиперполяризацию подобным изменениям ледованные нейроны торможение, вызывая в них

УЧАСТИЕ ЗОНЫ КЛЕР-БИШОПА В ФОРМИРОВАНИИ РЕАКЦИЙ НЕЙРОНОВ ХВОСТАТОГО ЯДРА НА ЗРИТЕЛЬНЫЕ РАЗДРАЖИТЕЛИ У БОДРСТВУЮЩИХ КОШЕК

Исследования последних 10 лет позволяют предположить, что подкорковое образование неостриатум (хвостатое ядро и склерупа) участвует не только в организации движений, но и в переработке сенсорных сигналов. Пути поступления афферентных, в том числе зрительных импульсов в эту структуру мало изучены. В частности, значение ограниченных зон и областей новой коры — одного из главных источников афферентных проекций хвостатого ядра — в этих посылках выяснено далеко недостаточно. Цель настоящей работы — исследовать реакции нейронов хвостатого ядра на электрическое раздражение проекционной (поле 17) и ассоциативной (зона Клер-Бишопа) зрительных областей неокортика и сопоставить их с ответами этих же клеток на периферическое зрительное раздражение. В таком аспекте исследования не проводились.

У шести бодрствующих кошек с фиксированной головой зарегистрирована внеклеточная активность 121 нейрона головки и тела хвостатого ядра на электрическое биполярное раздражение одиночными прямоугольными импульсами тока поля 17 и зоны Клер-Бишопа, а также на предъявление различных локальных световых раздражителей.

Результаты проведенных исследований показали, что на раздражение зоны Клер-Бишопа отвечало 47 % клеток хвостатого ядра, тогда как на раздражение поля 17 — только 8 %. Минимальное значение скрытых периодов ответов на стимуляцию зоны Клер-Бишопа составляло 18—20 мс, тогда как при раздражении поля 17 свыше 30 мс. Сравнивали реакции одних и тех же нейронов на прямое раздражение указанных зон коры и на предъявление зрительных раздражителей. Клетки, отвечающие на свет, хорошо активировались при стимуляции зоны Клер-Бишопа, тогда как раздражение поля 17 почти не оказывало влияния на такие нейроны. Большинство нейронов, отвечающих на свет и на раздражение зоны Клер-Бишопа, как показал последующий морфологический анализ, располагались в теле хвостатого ядра.

Таким образом, полученные результаты свидетельствуют, что зона Клер-Бишопа оказывает более значительное влияние на клетки хвостатого ядра, в том числе и активируемые зрительным раздражением, по сравнению с влиянием проекционной зрительной зоны коры. Принимая во внимание морфологические данные о наличии прямых билатеральных проекций из зоны Клер-Бишопа к телу хвостатого ядра, можно предположить, что эта область коры головного мозга может играть роль в формировании реакций нейронов хвостатого ядра на зрительные раздражения.

Ин-т физиологии им. А. А. Богомольца, АН УССР, Киев

УДК 612.826.5+612.828

В. А. Яхница

РОЛЬ КАУДАЛЬНОГО ЯДРА СПИНАЛЬНОГО ТРОЙНИЧНОГО ТРАКТА В ПОДАВЛЕНИИ РЕФЛЕКСОВ ОТКРЫВАНИЯ РТА ПРИ СТИМУЛЯЦИИ ЦЕНТРАЛЬНОГО СЕРОГО ВЕЩЕСТВА СРЕДНЕГО МОЗГА

Стимуляция центрального серого вещества (ЦСВ) среднего мозга, как показано нами ранее, эффективно угнетает иоцицептивный высокопороговый рефлекс открывания рта (ВРОР) и в значительной степени

механорецептивный и Известно, что нейронного тракта не замыкает кондиционирующую рака. Вследствие этого угнетение рефлексов с

Опыты проведены (45 мг/кг) с предварительным. Для вызова ВРОР как известно, содержит локна. НРОР вызывал 1,5—2 П. При такой сокращении, что контролировал серова ганглия. Для него брюшка двубрюшного и подглазничного гистериализации ЭМГ-отв. 600 мкВ). Стимуляцию родами, введенными силой тока до 300 мкА, чали подавление ВРОР, которое достигало 100 %.

После перерезки сральной стороны, приводимой ВРОР изменялась. Угнегация ЦСВ снижалась в

Динамика угнетения ЦСВ как до, так и после. Эти данные свидетельствуют о вызванного акти

Анализ нейронной активности, реагирующей на нерва и пульпы зуба, у ЦСВ. На раздражение тентный период ответа группы нейронов приводит

Таким образом, по- ного тракта играет роль потока. Следовательно, ханизмами.

Ин-т физиологии им. А. А. Богомольца, АН УССР, Киев

УДК 615.387+615.012.41

К ДАЛЬНЕЙ
КРИОКОНСЕРВАЦИИ
ПРИ УМЕРЕННОМ
И ЕГО ИНСУФИЛЯЦИИ

— от Криоконсервированной фузионной среды для тканей. В клинике получены достоверные результаты. Это обусловливается ванными эритроцитами

Физиол. журн., 1986, т. 32,

В ФОРМИРОВАНИИ ЯДРА НА ЗРИТЕЛЬНЫЕ ЮЩИХ КОШЕК

ют предположить, что подое ядро и скролупа) участия в переработке сенсорных, в том числе зрительных. В частности, значение ограниченного из главных источников в этих посылках выяснено оты — исследовать реакции раздражение проекционной шопа) зрительных областей их же клеток на периферии пекте исследования не про-

рованной головой зарегистриона головки и тела хвостадражение одиничными прямыми Клер-Бишопа, а также овых раздражителей.

оказали, что на раздражениик хвостатого ядра, тогда . Минимальное значениены Клер-Бишопа составляла 17 выше 30 мс. Сравнивримое раздражение указаных раздражителей. Клетки, юсь при стимуляции зоны 17 почти не оказывало ронов, отвечавших на свет юказал последующий море хвостового ядра.

свидетельствуют, что зона влияние на клетки хвостательным раздражением, поной зоны коры. Принимая чиих прямых билатеральхвостатого ядра, можно о мозга может играть ятого ядра на зрительные

и ПИНАЛЬНОГО
ЕНИИ РЕФЛЕКСОВ
И ЦЕНТРАЛЬНОГО
ЕГО МОЗГА

за (ЦСВ) среднего мозга, ет ноцицептивный высоко- и значительной степени

механорецептивный низкопороговый рефлекс открывания рта (НПОР). Известно, что нейроны каудального ядра (КЯ) спинального тройничного тракта не замыкают рефлекторную дугу этих рефлексов, однако кондиционирующее раздражение ЦСВ изменяет активность нейронов КЯ. Вследствие этого мы высказали предположение об участии КЯ в угнетении рефлексов открывания рта, вызванных активацией ЦСВ.

Опыты проведены на кошках, наркотизированных хлоралозой (45 мг/кг) с предварительной кратковременной наркотизацией кеталаром. Для вызова ВПОР применяли раздражение пульпы зуба, которая, как известно, содержит преимущественно высокопороговые А- δ и С-волокна. НПОР вызывался при раздражении подглазничного нерва силой 1,5—2 П. При такой силе раздражения активировались только А- α волокна, что контролировалось по афферентной волне, отведенной от гассерова ганглия. Для регистрации рефлексов отводилась ЭМГ от переднего брюшка двубрюшной мышцы. Как при раздражении пульпы зуба, так и подглазничного нерва силой 1,5—2 П, в двубрюшной мышце регистрировали ЭМГ-ответ (латентный период 7—14 мс и амплитуда до 600 мкВ). Стимуляцию ЦСВ проводили биполярно никромовыми электродами, введенными стереотаксически по координатам Хорсли-Кларка, силой тока до 300 мкА. При кондиционирующей стимуляции ЦСВ отмечали подавление ВПОР. В большинстве экспериментов такое подавление достигало 100 %.

После перерезки спинального тройничного тракта на ипсолатеральной стороне, приводящей к выключению КЯ, динамика угнетения ВПОР изменялась. Угнетение ВПОР после кондиционирующей стимуляции ЦСВ снижался на 50 % и более.

Динамика угнетения НПОР при кондиционирующей стимуляции ЦСВ как до, так и после выключения КЯ практически не изменялась. Эти данные свидетельствуют об избирательном участии КЯ в угнетении ВПОР, вызванного активацией ЦСВ.

Анализ нейронной активности КЯ показал, что 78 % (59 клеток) нейронов, реагирующих на раздражение А- α -волокон подглазничного нерва и пульпы зуба, угнетаются при кондиционирующем раздражении ЦСВ. На раздражение ЦСВ реагируют 10 % нейронов (8 клеток), латентный период ответов которых составляет 15—25 мс. Вероятно, эта группа нейронов приводит к частичному торможению ВПОР.

Таким образом, полученные данные показывают, что КЯ тройничного тракта играет модулирующую роль в регуляции ноцицептивного потока. Следовательно, эта регуляция осуществляется нейронными механизмами.

Ин-т физиологии им. А. А. Богомольца, АН УССР, Киев

УДК 615.387+615.012.41

М. П. Буденая

К ДАЛЬНЕЙШЕМУ УСОВЕРШЕНСТВОВАНИЮ КРИОКОНСЕРВИРОВАНИЯ ЭРИТРОЦИТОВ ПРИ УМЕРЕННО НИЗКИХ ТЕМПЕРАТУРАХ И ЕГО ИСПОЛЬЗОВАНИЕ В ПРАКТИКЕ

Криоконсервированные эритроциты — предпочтительная гемотрансфузионная среда для лечения анемий различного происхождения. В клинике получены доказательства их высокой лечебной эффективности. Это обусловливает необходимость обеспечения криоконсервированными эритроцитами клиники.

Созданные в предыдущие 10 лет в нашей стране две модификации базового метода криоконсервирования эритроцитов при умеренно низкой температуре не получили внедрения в практику здравоохранения в связи с трудоемкостью многократного отмывания эритроцитов для удаления глицерина и отсутствием низкотемпературных холодильников.

В лаборатории консервирования крови Киевского НИИ гематологии и переливания крови разработан технологически простой и доступный для учреждений службы крови метод криоконсервирования эритроцитов при умеренно низких значениях температуры (-60 и -40°C), с использованием первых отечественных низкотемпературных ходильников «КЛГХ».

Новая технология включает оригинальный криозащитный раствор, состоящий из криопротекторов проникающего (диметилсульфоксид — 15 %) и непроникающего (поливинилпирролидон — 10 %) действия.

Отсутствие в составе криоконсерванта глицерина позволило применить всего два цикла обработки для удаления криозащитных веществ из размороженных клеток. Отмывание осуществляли доступными и простыми по составу растворами (сорбитно-солевыми или чисто солевыми). Отмытые эритроциты ресуспендировали в новом плазмозамещающем растворе «Эритроцифоните».

Результаты прослежены на эритроцитах, криоконсервированных при -60°C в течение 1 г. и при -40°C в течение 7 мес. После деконсервирования восстанавливалось не менее 90 % замороженных клеток, в гемоглобине которых концентрация АТФ составила $(3,2 \pm 0,2)$ мкмоль/г — $(3,9 \pm 0,5)$ мкмоль/г, 2,3-ДФГ — $(7,9 \pm 0,2)$ мкмоль/г — $(8,8 \pm 0,2)$ мкмоль/г; содержание свободного гемоглобина во взвеси (в Эритроцифоните) — $0,82 \text{ г/л} \pm 0,01 \text{ г/л}$. Весь процесс осуществляли в стандартной таре, применяемой в службе крови.

Таким образом, разработанная технология более проста и доступна по сравнению с существующими.

Кiev. ин-т гематологии и переливания крови МЗ УССР

УДК 615.38+615.387

В. Н. Сурменко

СРАВНИТЕЛЬНОЕ ИЗУЧЕНИЕ АГРЕГАЦИОННОЙ СПОСОБНОСТИ ТРОМБОЦИТОВ КРОВИ, КОНСЕРВИРОВАННОЙ НА ГЛЮГИЦИРЕ В СТЕКЛЯННОЙ И ПЛАСТИКАТНОЙ ТАРЕ

За последние 10 лет глубоко и всесторонне изучается способность тромбоцитов к агрегации. Однако работ, посвященных изучению этой функции тромбоцитов в консервированной крови в процессе ее хранения, недостаточно.

Мы определяли агрегационную активность тромбоцитов на приборе «Аналитатор агрегации тромбоцитов АТ-1», измеряя оптическую плотность богатой тромбоцитами плазмы под влиянием агрегирующего агента (адреналина) конечной концентрацией $5 \cdot 10^{-5}$ моль. Изменение агрегации выражали агрегационным индексом, представляющим отношение значения оптической плотности плазмы до добавления индуктора к ее значению в момент наибольшего снижения. Исследовали кровь (в течение 3 сут хранения), консервированную на глюкозоцитратном гемоконсерванте «глюгицир». Кровь заготавливалась в полимерные контейнеры «Гемакон-500» и во флаконы. По сравнению со днем заготовки на 3-и сутки хранения крови в стеклянной таре зарегистрировано достоверное уменьшение агрегационного индекса примерно на 60 % ($P < 0,001$). На 3-и сутки хранения консервированной крови, заготов-

ленной в пластикатной агрегационной активности, на 3-и сутки хранения крови в пластикатной таре зарегистрировано достоверное уменьшение агрегационной активности на 40 % ($P < 0,001$).

Таким образом, в стеклянной и пластикатной таре агрегационная способность тромбоцитов в консервированной крови на 3-и сутки хранения в пластикатной таре выше в стеклянной таре.

УДК 615.38+615.387(048.8)

ПРОЦЕСС МИКРОСРЕДАХ,

Белково-клеточные ванной крови — причина ний функций легких, осделения содержания была сконструирована в тотала увеличением иссле-дования и возможность их движения. Исследова-ви, консервированной на-ных из нее эритроциты крови и эритроцитные от-личаясь интенсивностью логичных средах, консер-роагрегации значитель-но троглюкофосфат. В эр-цитами и лейкоцитами, меньше, чем в крови и эритроцифона не при-гации.

Весь эритроконсер-тами, в Эритроцифона-крови и храниться в теч-в лечебной практике. П-агрегатов содержит-ся ме-следует применять в ка-Кiev. ин-т гематологии и пере-

УДК 612.17

ВОЗМОЖНОСТЬ АГРЕГАЦИИ ТРОМБОЦИТОВ В МЕМБРАНЕ ИЗ ГЛЮГИЦИРА

Результаты экспери-ментов с тромбоцитами в мембране из глюгиицира

диомиоцитах односуточной перфузии и фикса-

Физиол. журн., 1986, т. 32,

стране две модификации тромбоцитов при умеренно низкой температуре для удаления эритроцитов для удачных холодильников. Киевского НИИ гематологической промышленности и доступного консервирования эритроцитарной (—60 и —40 °C), изотемпературных холо-

дий криозащитный раствор, (диметилсульфоксид — иодон — 10 %) действия.

лициерина позволило применения криозащитных веществ осуществляли доступными о-солевыми или чисто со-али в новом плазмозаменя-

и, криоконсервированных течение 7 мес. После декон- % замороженных клеток, АТФ составила $(3,2 \pm 0,2)$ мкмоль/г — гемоглобина во взвеси процесс осуществляли в

более проста и доступна

РЕГАЦИОННОЙ КОНСЕРВИРОВАННОЙ ПЛАСТИКАТНОЙ ТАРЕ

не изучается способность замороженных изучению этой крови в процессе ее хране-

тромбоцитов на приборе замеряя оптическую плотность агрегирующего $5 \cdot 10^{-5}$ моль. Изменение, представляющим относительно добавления индуктора. Исследовали кровь на глюкозоцитратном гелле в полимерные конвеницию со днем заготовки таре зарегистрировано ека примерно на 60 % замороженной крови, заготов-

ленной в пластиковые контейнеры получено уменьшение значения агрегационной активности тромбоцитов по сравнению с ее значением в день заготовки также примерно на 60 % ($P < 0,001$). Следует отметить, что агрегационная активность тромбоцитов достоверно ниже в крови, заготовленной в пластикатную тару, по сравнению с кровью, заготовленной в стеклянные флаконы во все дни хранения.

Таким образом, в крови, консервированной на глюцидре в стеклянной и пластикатной тарах, в течение 3 сут хранения происходит уменьшение агрегационной способности тромбоцитов примерно на 60 %. При этом она выше в стеклянной таре.

Киев. ин-т гематологии и переливания крови МЗ УССР

УДК 615.38+615.387(048.8)

Н. В. Тимченко

ПРОЦЕСС МИКРОАГРЕГАЦИИ В ГЕМОТРАНСФУЗИОННЫХ СРЕДАХ, ЗАКОНОМЕРНОСТИ, ЗНАЧЕНИЕ В ТРАНСФУЗИОЛОГИИ

Белково-клеточные микроагрегаты, образующиеся в консервированной крови — причина развития острых посттрансфузионных нарушений функций легких, особенно после массивной трансфузии. Для определения содержания микроагрегатов в гемотрансфузионных средах была сконструирована камера проточного типа, отличающаяся от прототипа увеличением исследуемого объема среды в два—четыре и более раза и возможностью изучения структуры микроагрегатов во время их движения. Исследовали содержание микроагрегатов в цельной крови, консервированной на цитролюкофосфате и глюцидре, и получаемых из нее эритроцитных средах. Установлено, что в консервированной крови и эритроцитных средах динамика микроагрегации, существенно отличаясь интенсивностью, носит односторонний характер. В аналогичных средах, консервированных на глюцидре, интенсивность микроагрегации значительно ниже, чем в средах консервированных на цитролюкофосфате. В эритроцитном концентрате, обедненном тромбоцитами и лейкоцитами, микроагрегатов образуется в несколько раз меньше, чем в крови и эритромассе. Ресусспендирование его в растворе эритромассе не приводит к выраженному возрастанию микроагрегации.

Взвесь эритроконцентрата, обедненного тромбоцитами и лейкоцитами, в эритромассе может готовиться на станциях переливания крови и храниться в течение 21 сут, что достаточно для ее реализации в лечебной практике. Поскольку к концу срока хранения в ней микроагрегатов содержится меньше «критического» значения ($40 \cdot 10^{-6}/\text{л}$), ее следует применять в качестве предпочтительной эритроцитной среды.

Киев. ин-т гематологии и переливания крови МЗ УССР

УДК 612.17

А. Н. Верхратский

ВОЗМОЖНОЕ СУЩЕСТВОВАНИЕ ОПТИРОДОТОКСИН-ЧУВСТВИТЕЛЬНОГО АНИОННОГО ТОКА В МЕМБРАНЕ ИЗОЛИРОВАННЫХ КАРДИОМИОЦИТОВ

Результаты экспериментов, проведенных на изолированных кардиомиоцитах однодневных крыс с применением методики внутриклеточной перфузии и фиксации потенциала, показали возрастание входя-

щих ионных токов при воздействии небольшой концентрации (10^{-13} — 10^{-11} моль/л) тетродотоксина (TTX), добавляемого в нормальный внеклеточный раствор (рН 7,4); внутриклеточный раствор содержал 135 ммоль/л трис-фторида (рН 7,2). Концентрационная зависимость возрастания амплитуды входящего тока под действием TTX описывалась изотермой Ленгмюра K_d порядка 1 моль/л. Подобное увеличение наблюдалось в диапазоне тестирующих потенциалов от —65 до +40 ммоль/л, поддерживающий потенциал составлял —120 мВ.

Цифровое вычетание значения регистрации тока, полученного на фоне 10^{-11} моль/л TTX из исходного его значения регистрации, позволило получить в чистом виде компонент, за счет которого происходило изменение параметров входящего тока под влиянием токсина. Спад этого компонента хорошо описывался одной экспонентой с постоянной времени около 17 мс (для тестирующего потенциала —30 мВ). Вольт-амперная характеристика этого компонента (именуемого в дальнейшем разностным током) имела порог активации в районе —65 мВ и максимум в районе —40 мВ — —35 мВ.

Мы предположили, что описанное изменение параметров входящего тока под действием низкой концентрации TTX — следствие блокирующего действия токсина на выходящий ток, создаваемый ионами хлора, который в нормальных условиях накладывается на входящие токи. Это предположение подтвердили результаты следующих условий эксперимента: разностный ток изменял направление при значениях тестирующего потенциала близких к значениям равновесного потенциала хлорного электрода (для искусственно созданных экспериментальных условий, при которых E_{Cl^-} составлял —22 мВ, а потенциал реверсии разностного тока — —27 мВ); замена ионов хлора во внеклеточном растворе непроникающими анионами приводила к исчезновению влияния низких концентраций TTX (необходимо отметить, что при переходе из хлор-содержащего раствора в бесхлорный отмечали увеличение амплитуды входящего тока).

Во внеклеточном растворе, лишенном проникающих ионов (кроме ионов Ca^{2+} концентрацией 1,8 моль/л), регистрировали входящий ток, блокируемый TTX (концентрация порядка 10 моль/л). Этот ток исчезал при замене ионов фтора во внутриклеточном растворе ионами аспартата; при введении во внутриклеточный раствор Cl^- этот ток возрастил. На основании этих данных предполагаем, что этот TTX-чувствительный входящий ток создавался F^- , переносимым по TTX-блокируемым анионным каналам.

Следовательно, в мембране одиночных кардиомиоцитов существует анионный ток, блокируемый низкой концентрацией тетродотоксина.

Ин-т физиологии им. А. А. Богомольца АН УССР, Киев

УДК 577.352.5-612.822

Н. И. Кискин

ВЗАЙМОДЕЙСТВИЕ АГОНИСТОВ РЕЦЕПТОРОВ L-ГЛЮТАМАТА В МЕМБРАНЕ ИЗОЛИРОВАННЫХ НЕИРОНОВ ГИППОКАМПА

По последовательности агонистов рецепторы L-глютамата в ЦНС подразделяются на рецепторы N-метил-D-аспартата (NMDA) и рецепторы, активирующиеся кайновой кислотой и квискалатом. Предварительное изучение фармакологии рецепторов L-глютамата в мемbrane изолированных пирамидных нейронов гиппокампа крысы в условиях внутриклеточной перфузии методом быстрой смены внутриклеточного

раствора показало, что а активируется, помимо

При приложении быстро активирующий а приложение кайнат стационарного значени живляем потенциале стов удовлетворитель значениями K_d 1,0·10 соответственно. Однак нат и квискалат раз один и тот же рецептор.

Ответ на этот вопрос оценки рецепторов L-глютамата на мембране нейрона, концентрации, то ток, вызываемый, падает. Зависимость концентрации со значением K_d 1,1·10

Если стационарно том прилагать кайнат начальной амплитуды к тех значений концентрации L-глютаматом о синтезации для L-глютаматной десенсилизация квискалат в том же K_d близким к 10^{-5} моль

Квискалат способствует на L-глютамат и. Полученные данные свидят и кайнат воздействия пирамидных нейронов гиппокампа десенсилизирована сенситизации, не способна агонистами рецепторы.

Ин-т физиологии им. А. А. Б

концентрации (10^{-13} — 10^{-12} моль/л) в нормальный внешний раствор содержал ационная зависимость действиям TTX описывалась. Подобное увеличение потенциалов от -65 до -120 мВ.

тока, полученного на регистрации, позволило торого происходило изменение токсина. Спад этого тока с постоянной временной -30 мВ). Вольтампуемого в дальнейшем потенциале -65 мВ и максимумом.

параметров входящего — следствие блокирующегося ионами хлора, на входящие токи. Это ощущений условий экспериментальных значений тестируемого потенциала хлор-специфических экспериментальных условий. Реверсия разности потенциалов в неклеточном растворе вследствию влияния, что при переходе из амплитуды увеличение ампли-

тирующих ионов (кроме ировали входящий ток, моль/л). Этот ток исчезает в растворе ионами Cl^- этот ток возможен, что этот TTX-чувствительными по TTX-блоки-

номиоцитов существует и тетродотоксина.

РЕЦЕПТОРОВ ИЗОЛЮВАННЫХ ИА

L-глютамата в ЦНС (NMDA) и рецепторов квасцатом. Предварительно глютамата в мембране крысы в условиях внутриклеточного

раствора показало, что данный тип рецепторов не активируется NMDA, а активируется, помимо L-глютамата, кайнатом и квасцатом.

При приложении квасцата к мембране нейронов наблюдался быстро активирующийся и быстро десенсилизирующийся входящий ток, а приложение кайната вызывало входящий ток, быстро достигающий стационарного значения без существенной десенсилизации (при поддерживаемом потенциале -100 мВ). Зависимость «доза—эффект» агонистов удовлетворительно аппроксимировалась изотермами Ленгмюра со значениями $K_d = 1,0 \cdot 10^{-4}$ и $5,0 \cdot 10^{-4}$ моль/л для квасцата и кайната соответственно. Однако не было ясно, возбуждают ли L-глютамат, кайнат и квасцат различные системы рецепторов или же действуют на один и тот же рецептор.

Ответ на этот вопрос получен при изучении стационарной десенсилизации рецепторов L-глютамата. Если длительно (до 30 с) прилагать к мембране нейрона десенсилизирующий L-глютамат небольшой концентрации, то ток, вызываемый насыщающей концентрацией L-глютамата, падает. Зависимость этого тока от разных значений десенсилизирующей концентрации L-глютамата описывалась изотермой Ленгмюра со значением $K_d = 1,1 \cdot 10^{-5}$ моль/л.

Если стационарно десенсилизировать рецептор L-глютаматом, а потом прилагать кайнат большой концентрации, наблюдается падение начальной амплитуды кайнатного ответа, зависящее от десенсилизирующих значений концентрации L-глютамата. K_d стационарной десенсилизации L-глютаматом ответа на кайнат оказалась близкой к K_d десенсилизации для L-глютамата, концентрацией $7,4 \cdot 10^{-6}$ моль/л. Стационарная десенсилизация рецепторов L-глютаматом уменьшала ответы на квасцат в том же диапазоне значений концентрации и значением K_d близким к 10^{-5} моль/л.

Квасцат способен десенсилизировать собственные ответы и ответы на L-глютамат и кайнат со значениями K_d около $2 \cdot 10^{-7}$ моль/л. Полученные данные свидетельствуют о том, что L-глютамат, квасцат и кайнат действуют на один и тот же рецептор в мембране пирамидных нейронов гиппокампа, причем L-глютамат и квасцат способны десенсилизировать этот рецептор, а кайнат, не вызывая сам десенсилизации, не способен активировать десенсилизированные другими агонистами рецепторы.

Ин-т физиологии им. А. А. Богомольца АН УССР, Киев

также оценки нервно-мышечной и стимуляционной функций организма. Влияние различных факторов на эти показатели было изучено в экспериментальных условиях, а также в реальных производственных и бытовых условиях.

ВСЕСОЮЗНАЯ НАУЧНАЯ КОНФЕРЕНЦИЯ «ФИЗИОЛОГИЧЕСКИЕ ПРОБЛЕМЫ УТОМЛЕНИЯ И ВОССТАНОВЛЕНИЯ»

Конференция была организована Научным советом АН СССР и АМН СССР по физиологии человека, Институтом физиологии им. А. А. Богомольца АН УССР, Украинским физиологическим обществом им. И. П. Павлова, Министерством просвещения УССР, Черкасским государственным педагогическим институтом им. 300-летия воссоединения Украины с Россией и приурочена к 100-летию со дня рождения академика АН УССР Г. В. Фольбorta. Конференция состоялась в Черкассах (УССР) 4—6 сентября 1985 г.

Открыл конференцию председатель Украинского физиологического общества им. И. П. Павлова, директор Института физиологии им. А. А. Богомольца АН УССР акад. П. Г. Костюк, который в своем выступлении отметил выдающуюся роль Г. В. Фольбorta в разработке вопросов утомления и восстановления, в развитии общей и прикладной физиологии, наметил пути дальнейшего развития данной проблемы. От имени партийных и советских органов участников конференции приветствовал секретарь Черкасского горкома Компартии Украины канд. истор. наук А. Ю. Чабан.

В работе конференции приняли участие свыше 200 специалистов теоретического и прикладного профиля (в том числе 110 иностранных из восьми республик) (РСФСР, УССР, ГрузССР, КиргССР, КазССР, ЛитССР, ЭстССР, АзербССР). Они представляли 33 научно-исследовательских, 44 педагогических, 12 медицинских институтов и 10 университетов. Участниками конференции были также специалисты промышленных и сельскохозяйственных предприятий, методисты и инструкторы по производственной гимнастике, учителя биологии, физвоспитания и спорта, тренеры-воспитатели дошкольных учреждений и др.

Тематика конференции охватывала различные вопросы физиологической проблемы утомления и восстановления в экспериментальном и прикладном аспектах.

На конференции работало семь следующих секций: 1 — утомление и восстановление в деятельности центральной нервной системы; 2 — органов желудочно-кишечного тракта;

3 — нервно-мышечной; 4 — утомление и восстановление при трудовой деятельности; 5 — утомление и восстановление при учебной нагрузке; 6 — утомление и восстановление при спортивной деятельности; 7 — критерии оценки утомления и восстановления при профоборе и профориентации.

На первом пленарном заседании с докладами «Процессы утомления и восстановления в механизме старения» выступил В. В. Фролькис (Киев), «Г. В. Фольборт и его роль в развитии физиологической науки в педагогических институтах УССР» — М. К. Босый (Черкассы), «Идеи Г. В. Фольбorta о центрально-корковой теории утомления при мышечной работе человека» — В. В. Розенблат (Свердловск).

На заключительном пленарном заседании были заслушаны доклады В. А. Березовского (Киев) «Утомление и неутомляемость», А. О. Навакатиняна (Киев) «Проблемы классификации и диагностика ежедневного и хронического профессионального утомления и переутомления», И. С. Кучерова (Киев) «Базальный ритм трофики, физическая работоспособность, утомление и восстановление» и Н. В. Макаренко (Киев) «Профессиональный психофизиологический отбор по показателям основных свойств нервной системы как один из факторов снижения утомления при операторской деятельности».

На первой секции несколько докладов были посвящены фундаментальным аспектам учения академика Г. В. Фольбorta. Это — доклады А. И. Карамяна и Т. Н. Солертинской (Ленинград), Н. Н. Любимова и А. В. Хохлова (Запорожье).

Были представлены доклады о механизмах утомления и путях восстановления работоспособности центральной нервной системы. Деленный фактический материал был получен на контингенте студентов, школьников старших классов, а также на контингенте умственно отсталых школьников в процессе трудового обучения. В докладе Ф. Ведяева и Э. И. Добромуля (Харьков) была показана закономерная связь условий труда, отдыха, степени учебной нагрузки, общей физической подготовки с возникновением явлений нервно-психического утомления; показаны

на необходимость рационализации общефизической подготовки на всех курсах обучения. В ладах была показана зависимость нервно-психического утомления от индивидуально-типологических особенностей (доклады М. Ф. Поливановой, Киреевской, Донецк; А. С. Рытникова). В докладе В. П. Кириллова показана зависимость разложения у юных спортсменов от сиюэмоционального напряжения данным электромиографии. Особенности кортикальных структур в разнотиповых нервных синапсах алкоголизации организма был подтвержден Л. Н. Пайковой (Харьков).

В докладах второй секции, Е. Н. Панасюка и Л. Б. Кудьбы были представлены данные об электролитах и ферментах в слизи желудка и в слюне во время секреции. Авторы пришли к выводу о наличии тесной взаимосвязи этих условий нормальной деятельности тонкого кишечника. С. М. Чепил при изучении с помощью микротехники электрофизиологических свойств мембранных ацинарных клеток желудка в состоянии покоя и в секреции их ацетилхолином установил, что введение ацетилхолина в желудок вызывает устойчивую деполяризацию этих клеток. Данные, полученные Склировым (Львов), показали, что в слизи калия, кальция и магния больше в соке, а натрия — больше в слюне. В процессе секреции концентрация электролитов изменяется в зависимости от времени. Комплексное введение АТФ и приводило к повышению концентрации кальция и в соке, и в слюне. А. А. Потапова и В. А. Миннейев были посвящены изучению внешней функции печени при физической нагрузке. Установлено, что во время нагрузки на печень натощак желчь возрастает, в желчи повышается концентрация холатов, билирубина, холестерина. Деление желчи на основные вещества во время нагрузки усиливается, происходит смещение кривых сокращения желчных соков на более поздние сроки. И. В. Инопольский с помощью гистохимических методов изучал изменения, возникающие в молочных железах при физической нагрузке. Установили, что при этом развивается функциональный холестаз, в результате чего развивается молочные железы самок и их инволюция у лактирующих животных.

На третьей секции в докладе Е.

Физиол. журн., 1986, т. 32, № 2

ФЕРЕНЦИЯ И УТОМЛЕНИЯ

ышечной; 4 — утомление и восприятие трудовой деятельности; 5 — восстановление при учебной — утомление и восстановление ной деятельности; 7 — критерии утомления и восстановления при профориентации.

На пленарном заседании с докладами о проблемах утомления и восстановления из старения выступил В. В. Киев, «Г. В. Фольборт и его вклад в физиологической науки в их институтах УССР» — М. К. Кассы, «Идеи Г. В. Фольборта о корковой теории утомления и работе человека» — В. В. Родловск.

На пленарном заседании были доклады В. А. Березовского, «Утомление и неутомляемость», А. С. Кучерова (Киев) «Проблемы классификации ежедневного и профессионального утомления», И. С. Кучерова (Киев) «Ритм трофики, физическая работоспособность, утомление и восстановление»; Е. А. Аренко (Киев) «Профессионально-физиологический отбор по показателям свойств нервной системы факторов снижения утомления рабочей деятельности».

На секции нескольких докладов были фундаментальными аспектами темника Г. В. Фольборта. Это — И. Караваева и Т. Н. Солертина (Харьков), Н. Н. Любимова и А. В. Порожько.

Представлены доклады о механизмах путях восстановления работоспособности центральной нервной системы. Фактический материал был получен студентами, школьниками, а также на контингенте взрослых школьников в процессе обучения. В докладе Ф. Ведяева и Юлии (Харьков) была показана связь условий труда, отрицательных нагрузок, общей физической подготовки с возникновением явлений утомления; показаны

на необходимость рационализации и оптимизации общефизической подготовки студентов на всех курсах обучения. В других докладах была показана зависимость развития нервно-психического утомления от индивидуально-типологических особенностей ВНД (доклады М. Ф. Поливаной, Киев; Е. Д. Чертанко, Донецк; А. С. Рытиковой, Тернополь). В докладе В. П. Кириллова (Харьков) показана зависимость развития утомления у юных спортсменов от степени нервно-эмоционального напряжения, судя по данным электромиографии. О роли лимбико-кортикальных структур в развитии условно-рефлекторных напряжений на фоне алкоголизации организма был сделан доклад Л. Н. Пайковой (Харьков).

В докладах второй секции, в частности Е. Н. Панасюка и Л. Б. Куцык (Львов), были представлены данные об изменениях электролитов и ферментов в соке поджелудочной железы и в слюне во время длительной секреции. Авторы пришли к выводу о наличии тесной взаимосвязи этих желез в условиях нормальной деятельности пищеварительного тракта. С. М. Чепилко (Киев) при изучении с помощью микроэлектродной техники электрофизиологических показателей мембранных клеток поджелудочной железы в состоянии покоя и при стимуляции их ацетилхолином установил, что последний (концентрация 10^{-8} моль/л) вызывает устойчивую деполяризацию мембран этих клеток. Данные, полученные А. Я. Склировым (Львов), показали, что концентрация калия, кальция и магния больше в слизи, а натрия — больше в желудочном соке. В процессе секреции концентрация этих электролитов изменяется параллельно. Комплексное введение АТФ и гистамина приводило к повышению концентрации кальция и в соке, и в слизи. Сообщения А. А. Потапова и В. А. Минвейзера (Томск) были посвящены изучению внешнесекреторной функции печени при интенсивной физической нагрузке. Установлено, что во время нагрузки на протяжении желчевыделение возрастает, в желчи повышается концентрация холатов, билирубина, холестерина. Выделение желчи на основные пищевые вещества во время нагрузки уменьшается, происходит смешение кривых сокращения на более поздние сроки. И. В. Шуст (Тернополь) с помощью гистохимических методов изучал изменения, возникающие в печени и в молочных железах при физической нагрузке. Установили, что при этом развивается функциональный холестаз, задерживается развитие молочных желез у беременных самок и их инволюция у лактирующих животных.

На третьей секции в докладе И. И. Яща-

нинаса (Вильнюс) были представлены данные о характере участия двигательных единиц в процессе напряженной работы мышц, развитии утомления и восстановления после мышечной деятельности. В. П. Замостьян и сотрудники (Киев) доложили о результатах исследования клеточных механизмов длительной устойчивой функции скелетных мышц. Применив микроэлектродное зондирование мышцы, находящейся в состоянии длительного устойчивого сокращения тетануса, авторы продемонстрировали типы участия отдельных мышечных волокон в длительном устойчивом сокращении мышцы, отличающиеся ритмами непрямой электростимуляции и характером их воспроизведения.

Доказывается справедливость сформулированного ранее положения о существовании двух структур утомления в мышце, по-разному воспринимаемых центральные и периферические регуляторные воздействия на функцию мышц. С. Б. Трофимов (Москва) представил результаты изучения состояния проприорецепторов при утомлении и восстановлении работоспособности скелетных мышц. Получены важные сведения об особенностях функции веретен и интрафузальных мышечных волокон при длительном сокращении интрафузальных волокон в зависимости от функционального профиля мышцы. Показано, что паттерны афферентной активности отражают перераспределение сократительной активности между отдельными зонами мышцы в процессе развития утомления. О результатах работы Н. В. Ильинича и сотрудников докладывал Р. И. Яничий (Киев). Тема работы — влияние антимембранных антител на механическую активность сердечной мышцы. Установлено, что антимембранные антитела оказывают угнетающее действие на механическую активность кардиомиоцитов и их автоматизм, в связи с образованием комплексов антиген-антитело, угнетающих функцию плазматической и субклеточных мембран, что ведет к нарушению электромеханической связи. Эти сведения демонстрируют возможность включения иммунологических механизмов мышечного утомления на различных уровнях мышечной работоспособности. Два доклада — доклад Ж. И. Зайцевой и доклад И. И. Алешина — (докладчик М. К. Джармухаметов; Актюбинск) были посвящены вопросам работоспособности и утомления при различных видах трудовой деятельности человека, изучаемой на лабораторных моделях.

На заседаниях четвертой секции большое внимание было уделено особенностям развития утомления в трудовой деятельности, а также способом его снижения. В докладе К. М. Смирнова (Ленинград) выделен

эффект избирательного сокращения профессиональной работоспособности, который может скрывать значительное снижение непрофессиональной работоспособности, а следовательно, препятствовать осуществлению защитной функции утомления. Данные, полученные А. А. Виру (Тарту), показали, что изменение адренокортической активности хорошо согласуется с динамикой β-эндофина в крови, снижение уровня которого может служить показателем утомления. В докладе В. А. Бузунова (Киев) рассмотрены методические вопросы определения оптимума утомления в трудовом процессе. Показано, что увеличение (не более, чем на 15 % исходной) работоспособности в процессе упражнения на кистевом эргографе наблюдалось при предоставлении перерывов на отдых в случае снижения высоты эргограммы. Щадящие режимы адаптации к труду после отпуска или болезни рассмотрены в докладе А. Л. Решетюка (Киев). На основе многочисленных исследований на производстве автор разработал режимы щадящей тренировки в зависимости от возраста работающего, времени отсутствия на работе и условий труда. Ряд докладов был посвящен вопросам диагностики утомления, развивающегося в процессе труда у работников различных специальностей. А. А. Шаптала и сотрудники (Донецк) отметили, что оценку работоспособности следует проводить с учетом дискоординации психофизиологических функций. Комплекс показателей, изменяющихся при утомлении операторов прокатных цехов, выделен в докладе Г. Т. Чукмасовой и сотрудников (Днепропетровск). А. М. Уре-заева и сотрудники (Томск) отмечали большое значение выделения индивидуально-типологических показателей для отбора устойчивых к утомлению работников нефтяной промышленности Западной Сибири при вахтовом труде. Роль социально-психологических факторов в генезе утомления операторов судов различного типа отражены в докладе О. Ю. Нетудыхатки и сотрудников (Одесса).

Исследования, о которых сообщалось в докладах, представленных пятой секцией конференции, были посвящены главным образом изучению закономерностей утомления и восстановления школьников в процессе обучения. Из 15 докладов 11 было посвящено школьной проблематике. Это свидетельствует о том, что физиологи, работающие в педагогических вузах, направляют свои усилия на выполнение задач, связанных с Реформой школы.

С докладами на шестой секции выступили И. П. Блохин (Тернополь), А. А. Грищенко (Черкассы), П. Ю. Липский (Нежин), А. А. Гаевский (Киев), Т. Н. Цонева (Одес-

са), Г. Г. Элиава (Тбилиси), В. Г. Ткачук (Киев). Они осветили актуальные вопросы общей физиологии, физиологии массовой физической культуры и спорта.

При обсуждении докладов было отмечено, что недостаточное внимание обращается на комплексные системные исследования, что круг физиологических систем, изучаемых в различных организациях, ограничивается в основном сердечно-сосудистой и дыхательной, что мало исследований посвящено проблемам восстановления после различных физических нагрузок.

В работе седьмой секции приняли участие (кроме физиологов и психофизиологов) психологи, инженеры, эргономисты, учителя. Были заслушаны и обсуждены доклады В. С. Щеголова (Ленинград), А. В. Герасимова (Киев), Ю. Я. Кислякова (Ленинград), Л. А. Лепиховой (Киев), А. Л. Максимова (Фрунзе), С. В. Беличенко (Киев), Ю. Л. Майдикова (Киев), Р. И. Шалая (Львов). В докладах были проанализированы вопросы профилактики и контроля функциональных состояний для операторов энергоблоков, морских специалистов, педагогов, руководителей научных подразделений.

Особое внимание было уделено особенностям утомления и восстановления у лиц, работающих в условиях гиподинамии и гипоксии, в том числе, полярников. Обсуждались критерии оценки утомления и восстановления в трудовой деятельности, методы контроля состояния, надежность и устойчивость показателей. Анализировались показатели вегетативных, сенсомоторных, психодинамических, гемодинамических реакций организма при различных функциональных состояниях. Оценивалась взаимосвязь физиологических, психофизиологических и психологических показателей утомления и восстановления при профилактике и профессиональной деятельности. Был продемонстрирован новый универсальный четырехканальный регистратор, разработанный на Львовском НПО РЭМА.

На конференции было проведено заседание проблемной комиссии «Физиология дыхания» Научного совета по физиологии висцеральных систем АН СССР, на котором были заслушаны и обсуждены пять докладов, а также обсуждены и утверждены планы работы научно-организационных мероприятий проблемной комиссии на 1986—1990 гг.

Подводя итоги работы, можно сказать, что изучение вопросов утомления и восстановления успешно развивается в нашей стране. Доклады и материалы конференции показали большое значение идей Г. В. Фольборта для развития общей и прикладной физиологии, повышения производительности труда, улучшения спортивных показателей.

На конференции были принятые по дальнейшему развитию утомления и восстановления. Пр сообразность организации про миссии «Физиологические проб

ВСЕСОЮЗНЫЙ СИМПОЗИУМ «НЕЙРОННЫЕ МЕХАНИЗМЫ УТОМЛЕНИЯ И ВОССТАНОВЛЕНИЯ»

В Каневе (УССР) 25—27 сентября состоялся Всесоюзный симпозиум «Нейронные механизмы коркового торможения», который был организован Институтом физиологии им. А. А. Богомольца в частности отделом физиологии нервного мозга, возглавляемым академиком Ф. Н. Серковым. В работе симпозиума участвовали видные науки из Москвы, Ленинграда, Киева, Тбилиси и других городов страны.

Были заслушаны и обсуждены доклады на пленарных заседаниях, излагавших проблемы синаптических и нейронных коркового торможения, его нального значения, влияния деяния головного мозга, роли безусловного торможения в условной деятельности.

Во вступительном слове Ф. Н. Серкова (Киев) отметил, что после Гагарина (1955 г.) настоящий симпозиум — первый научный форум, который посвящен важнейшему аспекту центрального торможения — происходящему в коре головного мозга. Симпозиум призван подвести итоги 10—15 последних лет, проведенных в нашей стране и за рубежом для решения проблем коркового торможения, наметить дальнейшие пути их разработки.

Первое пленарное заседание было посвящено природе и синаптическим механизмам коркового торможения. В докладе Ф. Н. Серкова (Киев) был всесторонне изучен торический аспект развития проблем коркового торможения. Современные концепции и синаптические механизмы коркового торможения были изложены в докладе Ф. Н. Серкова. На основании данных автор высказал ряд предложений о сущности процессов, происходящих в нейронах, постсинаптической мембране, вызывающих торможение нейрона. По данным Л. Л. Воронина (Москва), все нейроны неневронной коры охвачены мощными тормозами. Предполагается, что

шава (Тбилиси), В. Г. Ткачук осветили актуальные вопросы ологии, физиологии массовой культуры и спорта.

дении докладов было отмечено, что внимание обращается на системные исследования, что гических систем, изучаемых в организациях, ограничивается в дечно-сосудистой и дыхательных исследований посвящено проблемам после различных физуок.

ьдьмой секции приняли участие логов и психофизиологов) психеверы, эргономисты, учителя. паны и обсуждались доклады (Ленинград), А. В. Герасинюк, Я. Я. Кислякова (Ленинград), вой (Киев), А. Л. Максимова С. В. Беличенко (Киев), скова (Киев), Р. И. Шалая

окладах были проанализированы

рофторба и контроля функциональных для операторов энергетических специалистов, педагогов,

и научных подразделений.

ание было уделено особенностям и восстановления у лиц,

в условиях гиподинамики и ги-

ческих, полярников. Обсужда-

и оценки утомления и восста-

новительной деятельности, методы

тования, надежность и устойчи-

тельности. Анализировались пока-

зативных, сенсомоторных, психо-

гемодинамических реакций и

различных функциональных

ценивались взаимосвязь физи-

ко-физиологических и психо-

казателей утомления и восста-

новления. Был продемонстрирован

альный четырехканальный ре-

зработанный на Львовском

ици было проведено заседание комиссии «Физиология дыхания» по физиологии висцераль-АН СССР, на котором были обсуждены пять докладов, а затем и утверждены планы разнообразных мероприятий комиссии на 1986—1990 гг.

оги работы, можно сказать, вопросов утомления и восстановления развивается в нашей аде и материалы конференции большое значение идей Г. В. Фольгентия общей и прикладной повышения производительности спортивных показателей.

На конференции были приняты рекомендации по дальнейшему развитию проблемы утомления и восстановления. Признана целесообразность организации проблемной комиссии «Физиологические проблемы утомле-

ния и восстановления», а также регулярное проведение конференций (1 раз в 4 года) по проблемам утомления и восстановления.

В. А. Березовский, Н. В. Макаренко

ВСЕСОЮЗНЫЙ СИМПОЗИУМ «НЕЙРОННЫЕ МЕХАНИЗМЫ КОРКОВОГО ТОРМОЖЕНИЯ»

В Каневе (УССР) 25—27 сентября 1985 г. состоялся Всесоюзный симпозиум «Нейронные механизмы коркового торможения», который был организован Институтом физиологии им. А. А. Богомольца АН УССР, в частности отделом физиологии коры головного мозга, возглавляемым акад. АН УССР Ф. Н. Серковым. В работе симпозиума принимали участие видные нейрофизиологи Москвы, Ленинграда, Киева, Тбилиси, Ростова и других городов страны.

Были заслушаны и обсуждены 16 сообщений на пленарных заседаниях и 47 стендовых докладов, излагавших проблемы природы синаптических и нейронных механизмов коркового торможения, его функционального значения, влияния дефицита коркового торможения на деятельность коры головного мозга, роли безусловного коркового торможения в условнорефлекторной деятельности.

Во вступительном слове Ф. Н. Серков (Киев) отметил, что после Гагарских бесед (1955 г.) настоящий симпозиум по сути — первый научный форум, который всецело посвящен важнейшему аспекту проблемы центрального торможения — торможению, происходящему в коре головного мозга. Симпозиум призван подвести итоги исследований 10—15 последних лет, выполненных в нашей стране и за рубежом по различным проблемам коркового торможения, наметить дальнейшие пути их развития.

Первое пленарное заседание было посвящено природе и синаптическим механизмам коркового торможения. В докладе П. Г. Костюком (Киев) был всесторонне освещен исторический аспект развития представления о ионных механизмах центрального торможения. Современные концепции на природу и синаптические механизмы коркового торможения были изложены в докладе Ф. Н. Серкова. На основании полученных данных автор высказал ряд предложений о сущности процессов, происходящих в синапсах, постсинаптической мембране и вызывающих торможение нейронах коры мозга. По данным Л. Л. Воронина и А. Г. Гусева (Москва), все нейроны ненаркотизированной коры охвачены мощной системой торможения. Предполагается, что два гипер-

поляризационных компонента (короткий и длительный) опосредуются соответственно аксо-соматическими и аксо-дendритными тормозными синапсами, свойства которых существенно различаются. Д. П. Артеменко и В. Д. Герасимов (Киев) представили сведения об особенности угнетающего действия ГАМК на сомы и дендриты пирамидных нейронов в гиппокампе крысы.

На втором заседании, посвященном нейронным механизмам коркового торможения, А. И. Ройтбак (Тбилиси) в своем докладе изложил новые данные о несинаптическом торможении, развивающемся в нейропиле поверхности коры в ответ на прямую электрическую ее стимуляцию. Это торможение, сопровождающееся снижением передачи в аксо-дendритных синапсах, обусловлено увеличением в толще коры концентрации ионов K^+ . В докладе В. Г. Скребицкого (Москва) дана характеристика неспецифического торможения, являющегося компонентом ориентировочной реакции. В. П. Бабиндра (Ленинград) представил новые данные о структурных предпосылках процессов торможения в коре мозга, из которых следует, что особую роль в регуляции эfferентного потока должны играть тормозные элементы, имеющие свои симметричные синаптические окончания на начальном сегменте аксона корковых нейронов. В сообщении Е. Ш. Яновского (Киев) говорилось о наиболее важных аспектах коркового торможения — свойствах, особенностях иннервации тормозящих клеток и характере их реакций на афферентное раздражение. В стендовом докладе М. Я. Волошина (Киев) сделано интересное сообщение о роли кортикальных влияний неспецифической системы таламуса в возникновении тормозных процессов в коре головного мозга. На основании данных собственных исследований и взятых из литературы Э. Г. Заркешев и его сотрудники (Алма-Ата) изложили состояние вопроса о роли первичного торможения в формировании ансамблевой мозаики нейронной активности в коре мозга.

Третье и четвертое заседания симпозиума были посвящены всецело вопросу функционального значения коркового торможения. А. Я. Супин (Москва) представил данные об

участии кортикального торможения в анализе зрительных сигналов, по которым тормозные процессы в коре обеспечивают условия для адаптивной перестройки избирательных свойств нейронов зрительной коры. В сообщении И. А. Шевелева (Москва) корковому торможению также отводится основная роль в формировании специализированных детекторных рецептивных полей (РП), их адаптивных модификациях при изменении уровня зрительной адаптации и уровня бодрствования. По данным А. Г. Сухова (Ростов-на-Дону), функциональное значение прямого афферентного и возвратного торможения состоит в вытормаживании избыточных путей в коре по входу и по выходу каждой колонки. В докладе И. О. Волкова (Киев) на основании проведенного анализа вне- и внутриклеточных отведений потенциалов нейронов области AI обсуждалась функциональная роль постимпульсного и латерального торможения в формировании РП нейронов слуховой коры. Г. А. Куликов и В. Ю. Клименко (Ленинград) на стендовом докладе представили данные об участии внутрикортикальных тормозных процессов в установлении согласования активности нервных элементов слуховой и двигательной систем мозга на кортикоальном уровне. Н. Н. Никитин и А. Я. Альтман (Ленинград) информировали об исследовании влияния торможения на избирательность реакций нейронов слуховой коры кошки к локализационным характеристикам звука. Распределение торможения в РП и дирекциональная чувствительность нейронов зрительной коры кошки были темами стендового доклада В. Г. Марченко (Москва). Сообщение С. И. Шумихиной (Москва) посвящалось механизмам коркового торможения, обеспечивающих устранение избыточности зрительной информации разного подкоркового происхождения. В докладе Ю. Г. Кратина (Ленинград) рассмотрены возможные механизмы, обеспечивающие концентрацию специфического и неспецифического возбуждения в коре мозга. Выяснению роли разных видов внутрикоркового торможения в процессе обучения было посвящено сообщение Г. И. Шульгиной (Москва). Данные, полученные А. А. Александровым и Н. А. Щейниковым (Ленинград) в экспериментах с использованием искусственной активации тормозных систем коры мозга, свидетельствуют об определяющей роли внутрикорковых процессов торможения в формировании РП нейронов коры и их детекторных свойств. В сообщениях других докладчиков, в частности Г. А. Вартанян, А. А. Пирогов, А. П. Козлов (Ленинград); Э. А. Варуха, Л. А. Гулякова (Ростов-на-Дону); Л. А. Жаворонкова (Москва), на основе изучения

активности нейронов коры мозга животных при их условно-рефлекторной деятельности, показана специфика перестройки активности клеток во время развития процессов внутреннего торможения.

На пятом пленарном заседании, посвященном влиянию дефицита коркового торможения на деятельность коры головного мозга, В. М. Окуджава (Тбилиси) изложил данные относительно роли торможения в развитии эпилептической активности в сенсомоторной коре кошки. Из сообщения, представленного В. И. Хоревиным и Ю. И. Яниным (Киев) следует, что в зоне аппликации пенициллина возникает очаг эпилептиформной активности, в котором существуют выраженные процессы торможения.

Во время заключительного заседания за «круглым столом» возникла острая дискуссия по вопросу о роли безусловного коркового торможения в условно-рефлекторной деятельности. В дискуссии приняли участие В. М. Сторожук (Киев), Ю. Г. Кратин (Ленинград), В. Г. Скребицкий (Москва), Л. Л. Воронин (Москва), Г. И. Шульгина (Москва), А. И. Ройтбак (Тбилиси), Е. Л. Полонская (Москва), В. Д. Герасимов (Киев), Э. Г. Заркешев (Алма-Ата), И. А. Шевелев (Москва), Ф. Н. Серков (Киев). Несмотря на исключительную сложность обсуждаемого вопроса, большинство участников дискуссии были единодушны в том, что все те элементарные процессы, которые происходят в нервной клетке, сопровождающиеся развитием в ней ВПСП, ТПСП или распространением импульса — фундамент любой нервной деятельности мозга. Остается решить основной вопрос, как экспериментальные данные, полученные нейрофизиологами при изучении ими общих закономерностей работы нейрона, популяции нейронов, более полно использовать для познания высших форм нервной деятельности.

В заключении А. И. Ройтбак и Ю. Г. Кратин подчеркнули высокий научный и организационный уровень симпозиума, а также несомненно большой его вклад в развитие представления о природе и механизмах коркового торможения.

Материалы Всесоюзного симпозиума «Нейронные механизмы коркового торможения» под этим же названием выпущены в свет издательством «Наукова думка» в 1985 г. отдельным сборником. Кроме того, в «Физиологическом журнале» АН УССР (1985 г. т. 31, № 5) опубликованы работы, представленные в виде основных докладов на пленарных заседаниях симпозиума.

И. О. Волков

- Казаков В. Н., Крахоткина Е. Морфо-функциональная коры мозга с гипоталамом. Коренюк И. И., Хитрова Т. между теменной ассоциацией кошки. Рушкевич Ю. Е. Реакции сердца на действие ядер продолговатого мозга. Осадчий Л. И., Балуева Т. В. в легких и их роль в передаче катехоламинов. Строганова Н. П., Коваленко экспериментальной кошки. Процюк Р. Г. Гемодинамика изониазида. Лернер Э. Н., Бондарчук В. сердца лягушки. Грайсман С. Д., Хоменко Т. новые о ретрорадиофлуорографии отдела желудка собаки. Загороднюк В. П., Вовк Э. В. ческих потенциалов в гипоталамусе базофильы крыс. Шорин Ю. П., Селятицкая В. адаптогенного эффекта. Гланц Р. М., Вавринюк А. Ф. их голодания и парентерального токсического гепатита. Федоров В. И. Изучение проявленного тока мочи при плазмозамещающими растворами.

- Лобченко В. А. Морфо-функции свиньи. Тарасенко Л. М., Девяткина вого канала на острый энцефалит. Крешук Л. Н. Особенности рефлексов у неполовозрелых интактных и раздраженных гипоталамусов. Паламарчук И. Г., Кривохацкие кишечника на действии цыпкуна А. Г. Характеристика Баканская В. В. Изменение гипоталамусов и некоторые способы Федоровская Е. А., Назарчуковых и противостолбнячных кроликов. Клевец М. Ю. Изучение просторных клеток в состояниях Юрия Т. А., Виру А. А. Влияние 20-километровых перевозок и нетренированных кроликов.

- Строганова Н. П., Коваленко сужения просвета коронарных сосудов.

- Ко Тезисы докладов XVIII городской конференции «Актуальные проблемы физиологии и экспериментальной медицины».

- Всесоюзная научная конференция «Становление и развитие нейробиологии». Всесоюзный симпозиум «Нейрофизиология и экспериментальная медицина».

СОДЕРЖАНИЕ

Казаков В. Н., Крахоткина Е. Д., Кравцов П. Я., Шевченко Н. И., Андреева В. Ф.	129
Морфо-функциональная характеристика связей фронтобазальных отделов коры мозга с гипоталамусом у кошки	
Коренюк И. И., Хитрова Т. В. Нейронная организация корково-корковых связей между теменной ассоциативной и моторной областями коры головного мозга кошки	137
Рушкевич Ю. Е. Реакции сердечно-сосудистой системы при электрическом раздражении ядер продолговатого мозга у крыс разного возраста	
Осадчий Л. И., Балуева Т. В., Сергеев И. В. Изменения объема крови в сердце и легких и их роль в регуляции выброса крови левым желудочком при введении катехоламинов	144
Строганова Н. П., Коваленко В. И. Коронарное кровообращение при хронической экспериментальной коарктации аорты	
Процюк Р. Г. Гемодинамика и сократительная функция миокарда при ингаляции изониазида	149
Лернер Э. Н., Бондарчук В. И. Временная организация ритма изолированного сердца лягушки	
Гройсман С. Д., Хоменюк Т. А., Швыдченко С. С., Швыдченко С. И. Новые данные о ретродиффузии ионов водорода в слизистой оболочке антального отдела желудка собаки	155
Загороднюк В. П., Вовк Э. В., Черпак Б. Д., Шуба М. Ф. Исследование синаптических потенциалов в гладких мышцах тонкого кишечника человека	
Тимченко С. В., Покровская С. В., Бабенко Л. П. Влияние полиглюкина на тканевые базофильы крыс	159
Шорин Ю. П., Селятицкая В. Г., Колосова Н. Г., Куликов В. Ю. О механизме адаптогенного эффекта токоферола при длительном действии холода	
Гланц Р. М., Вавринюк А. Ф. Микроциркуляция в брыжейке крыс при белковом их голодаании и парентеральном питании азотистыми препаратами на фоне токсического гепатита	163
Федоров В. И. Изучение процессов мочеобразования в нефронах методом остановленного тока мочи при кровопотере и инфузационной терапии комплексными плазмозамещающими растворами	
	166
	172
	180
	184
	189
	193

Краткие сообщения

Лобченко В. А. Морфо-функциональное разнообразие фолликулярных яйцеклеток свиньи	199
Тарасенко Л. М., Девяткина Т. А. Особенности реакции некоторых отделов пищевого канала на острый эмоционально-болевой стресс у зерелых и старых крыс	
Крешик Л. Н. Особенности реакции семенников на введение хориогонадотропина у неполовозрелых интактных и гипофизэктомированных крыс после разрушения и раздражения гиппокампа	203
Паламарчук И. Г., Кривохацкая Ю. А. Механизмы влияния раздражения брыжейки кишечника на деятельность сердца	
Цыпкин А. Г. Характеристика рецепторов сосудов плаценты человека	207
Баканская В. В. Изменение системы гемокоагуляции при острой гипоксии у крылок и некоторые способы ее коррекции	
Федоровская Е. А., Назарчук Л. В. Динамика циркуляции противостафилококковых и противостолбнячных антител при внутривенной пассивной иммунизации кроликов	211
Клевец М. Ю. Изучение проводимости ионов плазматической мембранный секреционных клеток в состоянии покоя методом внутриклеточного диффузии	
Юримяэ Т. А., Вириу А. А., Нурмекиви А. А., Карельсон К. М., Линтси М. Э. Влияние 20-километрового бега на биохимические показатели крови у тренированных и нетренированных студентов	213
Баканская В. В. Изменение системы гемокоагуляции при острой гипоксии у крылок и некоторые способы ее коррекции	
Федоровская Е. А., Назарчук Л. В. Динамика циркуляции противостафилококковых и противостолбнячных антител при внутривенной пассивной иммунизации кроликов	
Клевец М. Ю. Изучение проводимости ионов плазматической мембранный секреционных клеток в состоянии покоя методом внутриклеточного диффузии	
Юримяэ Т. А., Вириу А. А., Нурмекиви А. А., Карельсон К. М., Линтси М. Э. Влияние 20-километрового бега на биохимические показатели крови у тренированных и нетренированных студентов	
	221
	224
	227

Методики

Строганова Н. П., Коваленко В. И., Шаваран С. С. Моделирование дозированного сужения просвета коронарного сосуда	231
--	-----

Конференции, съезды, симпозиумы

Тезисы докладов XVIII городской конференции молодых ученых и специалистов «Актуальные проблемы физиологии» (18 мая 1985 г.)	234
---	-----

Информация

Всесоюзная научная конференция «Физиологические проблемы утомления и восстановления»	244
Всесоюзный симпозиум «Нейронные механизмы коркового торможения»	

йронов коры мозга животных норефлекторной деятельности, ифика перестройки активности ия развития процессов внутренния.

пленаарном заседании, посвя-нию дефицита коркового тор-деятельность коры головного Окуджава (Тбилиси) изложил ительно роли торможения в ептической активности в сен-тре кошки. Из сообщения, го В. И. Хоревиным и и (Киев) следует, что в зоне енциллина возникает очаг активности, в котором сущ-аженные процессы торможе-

илючительного заседания за-юм» возникла острая дискус-у роли безусловного корко-ения в условнорефлекторной. В дискуссии приняли участие к (Киев), Ю. Г. Кратин (Ле-Г. Скребицкий (Москва), и (Москва), Г. И. Шульгина И. Ройтбак (Тбилиси), кая (Москва), В. Д. Гераси-Э. Г. Заркешев (Алма-Ата), (Москва), Ф. Н. Серков (Ки-на исключительную сложность вопроса, большинство участ-ни были единодушны в том, ментарные процессы, которые нервной клетке, сопровожда-ием в ней ВПСП, ТПСП или ием импульса — фундамент деятельности мозга. Остает-ся вопрос, как эксперимен-ие, полученные нейрофизиоло-гии ими общих закономер-нейрона, популяции нейронов, использовать для познания нервной деятельности.

и А. И. Ройтбак и Ю. Г. Кра-ли высокий научный и орга-ровень симпозиума, а также пышной его вклад в развитие о природе и механизмах торможения.

Всесоюзного симпозиума «Ней-змы коркового торможения» названием выпущены в свет «Наукова думка» в 1985 г. рником. Кроме того, в «Фи- журнале АН УССР (1985 г. бликованы работы, представ-основных докладов на пле-ниях симпозиума.

И. О. Волков

CONTENTS

Kazakov V. N., Krakhotkina E. D., Kravtsov P. Ya., Shevchenko N. I., Andreeva V. F. Morpho-Functional Characteristic of the Connections of Frontobasal Brain Cortex Areas Hypothalamus in a Cat	129
Korenyuk I. I., Khitrova T. V. Neuronal Organization of Cortico-Cortical Connections Between the Parietal Associative and Motor Cortical Areas in Cat	137
Rushkevich Yu. E. Cardiovascular Responses to Electric Stimulation of <i>medulla oblongata</i> Nuclei in Rats of Different Ages	144
Osadchy L. I., Balueva T. V., Sergeev I. V. Changes in Cardio-Pulmonary Volume and Their Role in the Regulation of Blood Output by Left Ventricle in Response to Catecholamines	149
Stroganova N. P., Kovalenko V. I. Coronary Circulation Under Chronic Experimental Coarctation of the Aorta	155
Protsyuk R. G. Hemodynamics and Contractile Function of the Myocardium Under Isoniazid Inhalation	159
Lerner E. N., Bondarchuk V. I. Temporary Organization of an Isolated Heart Rhythm of the Frog	163
Groisman S. D., Khomenko T. A., Shvydchenko S. S., Shvydchenko S. I. New Data on the Petrodiffusion of Hydrogen Ions in the Mucous Membrane of the Antral Part in Dog Stomach	166
Zagorodnyuk V. P., Vovk E. V., Cherpak B. D., Shuba M. F. Investigation of the Synaptic Potentials in Smooth Muscles of the Human Small Intestine	172
Timchenko S. V., Pokrovskaya S. V., Babenko L. P. The Effect of Polyglucine on the Tissue Bazophils in Rats	180
Shorin Yu. P., Selyatitskaya V. G., Kolosova N. G., Kulikov V. Yu. On the Mechanism of Adaptogenic Tocopherol Effect During Prolonged Action of Gold Glants R. M., Vavrinuk A. F. Microcirculation in the Mesentery of Rats in the Case of Their Protein Deficiency and Parenteral Feeding on the Nitrogen Drugs Against a Background of Toxic Hepatitis	184
Fedorov V. I. The Study of the Uropoiesis Processes in a Nephron by the Method of Stopped Urea Flow After Blood Loss and Infusion Therapy by Complex Plasma Substitution Solutions	189
	193

Brief Notes

Lobchenko V. A. Morpho-Functional Variety of the Follicular Oocytes in Pig	199
Tarasenko L. M., Devyatkina T. A. Peculiarities of the Response of Certain Parts of the Alimentary Canal to the Acute Emotional-Painful Stress in Mature and Old Rats	203
Kreshchuk L. N. Peculiarities of the Testis Response to the Administration of Choriogonadotropin in Preadolescent Intact and Hypophysectomized Rats after Destruction and Stimulation of the Hippocamp	207
Palamarchuk I. G., Krivokhatkaya Yu. A. Mechanisms of the Effect of the Intestine Mesentery Simulation on Cardiac Activity	211
Tsypluk A. G. Characteristic of Vascular Receptors of Human Placenta	214
Bakanskaya V. V. Changes in the Hemocoagulation System of Rabbits with Acute Hypoxia and Certain Methods of Its Correction	217
Fedorovskaya E. A., Nazarchuk L. V. Circulation Dynamics of Antistaphylococcal and Antitetanic Antibodies in Intravenously Passively Immunized Rabbits	221
Klevets M. Yu. A Study of Ion Conductance by Plasma Membrane of Secretory Cells at Rest by the Method of Intracellular Dialysis	224
Jürimäe T. A., Viru A. A., Nurmeikivi A. A., Karelson K. M., Lintsi M. E. Influence of 20 km Running on the Biochemical Blood Parameters in Trained and Untrained Students	227

Procedure

Stroganova N. P., Kovalenko V. I., Shavran S. S. Simulation of Dosed Stenosis of Lumen in the Coronary Vessel	231
---	-----

Conferences, Congresses, Symposia

Theses of Papers of the 18th Kiev Conference of Young Scientists and Specialists «Urgent Problems of Physiology» (May 18, 1985)	234
---	-----

Information

All-Union Scientific Conference «Physiological Problems of Fatigue and Recovery»	244
All-Union Symposium «Neuronal Mechanism of the Cortical Inhibition»	247

УДК 611.8.1:612.823.1
Морфо-функциональные
коры мозга с гипоталамусом
Кравцов П. Я., 1986.—32, № 2.

Исследовали
са электрофизио-
дегенерирующих
микроскопические
ласть височной
латеральным гипо-
тальмическим гипо-
тальный отдел коры
базальная височная
аксо-дendritическое
образование де-
логически опреде-
ческие ядра. По-
тalamusa, свидетель-
ношениях этих д-
огр. 15.

УДК 612.825.263:822
Нейронная орга-
низації і моз-
нюк І. І., Хітров
О.

Опыты проводились
кошках. Внеклеточный
микростимулятор
ного ответа иде-
аксоны которых
располагалось в
аксонам составля-
цию периферичес-
ловина из исследо-
сенсорными, а третий
У би- и моносен-
тельный входы.
гут обеспечивать
Ил. 3. Библиогр.

УДК 612.178.5:612.81
Реакции сердечных
ядер продолговатого
Физиол. журн.—1

В опытах на
ского раздражения
ядра одиночного
крашений. Установлены
роги прессорных
ним различных
лическое раздражение
вает гипертензию

РЕФЕРАТЫ

<i>iko N. I., Andreeva V. F.</i>	
Frontobasal Brain Cor-	
<ico>Cortical Connections</ico>	129
in Cat	137
Stimulation of <i>medulla</i>	144
radio-Pulmonary Volume	
Left Ventricle in Res-	
Under Chronic Experi-	
the Myocardium Under	
of an Isolated Heart	
<i>chenko S. I.</i> New Data	
Membrane of the Antral	
<i>M. F.</i> Investigation of	
an Small Intestine	
Effect of Polyglucine	
<i>ov V. Yu.</i> On the Me-	
longed Action of Gold	
ery of Rats in the Case	
on the Nitrogen Drugs	
Nephron by the Method	
I Therapy by Complex	
	193
ar Oocytes in Pig	199
ponse of Certain Parts	
I Stress in Mature and	
Administration of Cho-	
sectomized Rats after	
Effect of the Intestine	
in Placenta	203
of Rabbits with Acute	
of Antistaphylococcal	
immunized Rabbits	
membrane of Secretory	
<i>Lintsi M. E.</i> Influence	
in Trained and Un-	
	227
on of Dosed Stenosis	
	231
entists and Specialists	
	234
atigue and Recovery»	244
Inhibition»	247

УДК 611.8.1:612.823.5:611.814.1

Морфо-функциональная характеристика связей фронтобазальных отделов коры мозга с гипоталамусом у кошки / Казаков В. Н., Крахоткина Е. Д., Кравцов П. Я., Шевченко Н. И., Андреева В. Ф. // Физиол. журн.—1986.—32, № 2.—С. 129—137.

Исследовали прямые эферентные связи коры с ядрами гипоталамуса электрофизиологическими и морфологическими методами (серебрение дегенерирующих волокон по методу Финка и Хаймера и электронно-микроскопические исследования). Префронтальная кора и базальная область височной коры образуют прямые связи с преоптической областью, латеральным гипоталамусом и мамиллярными телами. Проекции, идущие в гипоталамическую область, топически организованы и локальны. Префронтальный отдел коры имеет более выраженные связи с гипоталамусом, чем базальная височная кора. Получена ультраструктурная характеристика аксо-дendритических, аксо-соматических и аксо-аксональных синапсов, образованных дегенерирующими аксонами окончаниями. Электрофизиологически определено влияние кортикальных образований на гипоталамические ядра. Построена обобщенная схема связей коры с ядрами гипоталамуса, свидетельствующая о сложных структурно-функциональных отношениях этих двух образований головного мозга. Ил. 5. Табл. 1. Библиогр. 15.

УДК 612.825.263:822.3

Нейронная организация корково-корковых связей между теменной ассоциативной и моторной областями коры головного мозга кошки / Корепнюк И. И., Хитрова Т. В. // Физиол. журн.—1986.—32, № 2.—С. 137—144.

Опыты проводили на наркотизированных, а затем обездвиженных кошках. Внеклеточно исследовали реакции 261 нейрона полей 5 и 7 на микростимуляцию прекуриатной коры (поле 4 γ). По наличию антидромного ответа идентифицировали 208 корково-корковых нервных клеток, аксоны которых направляются в моторную область. Большинство из них располагалось в III и V слоях. Скорость проведения возбуждения по их аксонам составляла 1,3—37,8 м/с (средняя — 11 м/с). Изучали конвергенцию периферических входов: зрительного, слухового и соматического. Половина из исследованных парието-фронтальных нейронов оказались трисенсорными, а три четверти их вместе составляют три- и бисенсорные. У би- и моносенсорных клеток преобладали соматический и (или) зрительный входы. Предполагается, что париентофронтальные нейроны могут обеспечивать участие ассоциативной коры в организации движений. Ил. 3. Библиогр. 19.

УДК 612.178.5:612.819.911/.612.67

Реакции сердечно-сосудистой системы при электрическом раздражении ядер продолговатого мозга у крыс разного возраста / Рушкевич Ю. Е. // Физиол. журн.—1986.—32, № 2.—С. 144—149.

В опытах на взрослых и старых крысах изучали влияние электрического раздражения гигантоклеточного ретикулярного, обоюдного ядер и ядра одиночного пути на артериальное давление и частоту сердечных сокращений. Установлено, что при старении разнонаправленно меняются пороги прессорных реакций и хронотропных эффектов, вызванных раздражением различных ядер продолговатого мозга. У старых животных электрическое раздражение бульбарных структур чаще, чем у взрослых вызывает гипертензию и тахикардию. Ил. 3. Библиогр. 17.

УДК 612.134

Изменения объема крови в сердце и легких и их роль в регуляции выброса крови левым желудочком при введении катехоламинов / Осадчий Л. И., Балуева Т. В., Сергеев И. В. // Физиол. журн.—1986.—32, № 2.—С. 149—154.

В острых опытах на кошках исследовали роль правого желудочка и легочных сосудов в изменениях выброса крови левым желудочком при введении адреналина и норадреналина. Увеличение выброса крови левым желудочком связано с прямым действием обоих катехоламинов. При введении адреналина существенная роль принадлежит емкостным и резистивным свойствам легочных сосудов, а при введении норадреналина — емкостным свойствам сосудов малого круга кровообращения. Блокада β-адренорецепторов вызывала достоверное уменьшение сдвигов кровотока в легочной артерии при введении указанных катехоламинов. Табл. 2. Библиогр. 17.

УДК 616.127—007.61—008.64—092.9

Коронарное кровообращение при экспериментальной хронической коарктации аорты / Стrogанова Н. П., Коваленко В. И. // Физиол. журн.—1986.—32, № 2.—С. 155—159.

Хроническая коарктация аорты (срок развития 7—12 мес) приводит к развитию умеренно выраженной гипертрофии миокарда. Гемодинамически гипертрофия миокарда характеризовалась повышением ЛЖД, САД, ОПС, внешней работы, значительным приростом ТТИ-индекса, являющегося энергетическим эквивалентом работы; сердечный выброс и ЧСС при этом практически не изменялись; скоростные показатели сократительной функции миокарда проявляли тенденцию к снижению. Отмечено выраженное возрастание кровотока в огибающей ветви левой коронарной артерии, отражающее увеличение кровоснабжения сердца в условиях его хронической перегрузки давлением. Сопоставление соотношений КК/ТТИ и ДРТ/ТТИ выявило непропорционально малый прирост коронарного кровотока относительно возросшей потребности сердца в кислороде и указало на неадекватное трансмуральное распределение коронарного кровотока с возможной ишемией субэндокардиального слоя миокарда в условиях его гипертрофии. Табл. 1. Библиогр. 12.

УДК 616.24—002.5—085.281.873.21:615.835.5:612.13/14

Гемодинамика и сократительная функция миокарда при ингаляции изониазида / Процюк Р. Г. // Физиол. журн.—1986.—32, № 2.—С. 159—162.

Оценивали влияние изониазида, вводимого с помощью ультразвука, на основные параметры внутрисердечной и периферической гемодинамики. Показатели ЭКГ и САД регистрировали до ингаляции и через 30, 60, 120 мин после нее. Обнаружена тенденция к снижению САД, систолического и диастолического давления в легочной артерии через 30—90 мин после ингаляции (через 30 мин — на 12 % по сравнению с исходным уровнем). Химиопрепарат увеличивает сократительную способность правого желудочка. Следовательно, УЗИ изониазида может быть рекомендована в комплексном лечении больных туберкулезом даже при наличии синдрома гипертензии малого круга кровообращения. Табл. 1. Библиогр. 16.

УДК 615.12—073.97

Временная организация ритма изолированного сердца лягушки / Лerner Э. Н., Бондарчук В. И. // Физиол. журн.—1986.—32, № 2.—С. 163—165.

На управляющей вычислительной машине «ACBT-M 6000» с помощью разработанных алгоритмов и программ исследованы статистические характеристики и скрытые биоритмы кардиоинтервалограмм интактных лягушек и их изолированных сердец. Выявлено, что при полной изоляции сердца происходит перестройка его скрытых биоритмов. Табл. 2. Библиогр. 13.

УДК 612.32:616.33

Новые данные о центральном отделе Швыдченко С. № 2.—С. 166—171

В хроническом (скорость 1,8 мл раствора полностью до 5,5. Составляются соком цин (доза до 0,3 антравального отдела). Полное и чистое не удается. кислоты в щелочиции слизистой желудка изадрин тоником уменьшает желудка. Специальное явление. Популярного русла.

УДК 612.73:612.815:6 Исследование слизища человека бактерией М. Ф. // Физио

Модифицировали синаптический начальный отдел нейрона. Неадренергическое действие ГМ в дальнем. В отличие от человека не приводят к торможению. Генераторной кишки человека K^+ . Ил. 5. Библи

УДК 612.75:612.116:3 Влияние полиглюкоза на кровь С. В., Е. 183.

В эксперименте глюкоза внутривенно нулировавших ткань, соединительная ткань оказывает такое действие. Развитие, имеет различия введенного вещества не влияют на фундаментальных базофилов осуществляется о

УДК 612.43/.45.001.6 О механизме адаптации к холоду / Шорин Г. Ф. // Физиол. журн.—1

Включение в печень изменяет выживаемость и повышает выживаемость при $+5^{\circ}\text{C}$ по сравнению с влиянием ТФ пропаривания и снижением в условиях термо-одинаковых. Однако чувствительность выживаемости в обеих ТФ более экономична, чем в однотипных системах, поэтому не всегда специфическую роль с действием фактора

УДК 612.32:616.33

Новые данные о ретродиффузии ионов водорода в слизистой оболочке антравального отдела желудка собаки / Грайман С. Д., Хоменко Т. А., Швыдченко С. С., Швыдченко С. И. // Физиол. журн. — 1986. — 32, № 2. — С. 166—171.

В хронических опытах на собаках установлено, что при перфузии (скорость 1,8 мл/мин) растворов соляной кислоты pH 4,3 и 2 первые два раствора полностью нейтрализуются, а уровень pH последнего — повышается до 5,5. Одновременно исходные растворы почти наполовину разбавляются соком слизистой оболочки антравального отдела желудка. Метацин (доза до 0,3 мг/кг) повышает кислотность перфузата, полученного из антравального отдела, и значительно уменьшает разбавление раствора кислоты. Полное и воспроизводимое угнетение разбавления перфузата получить не удается. Остающийся на фоне действия метацина сдвиг растворов кислоты в щелочную сторону нельзя свести к эффекту остаточной секреции слизистой оболочки. Стимуляция кровотока в слизистой оболочке желудка изадрином и папаверином усиливает, а угнетение кровотока серотонином уменьшает ощелачивание раствора кислоты в антравальном отделе желудка. Следовательно, ретродиффузия ионов водорода — нормальное явление. Попадающие в слизистую оболочку протоны достигают кровеносного русла. Ил. 3. Библиогр. 17.

УДК 612.73:612.815:612.33

Исследование синаптических потенциалов в гладких мышцах тонкого кишечника человека / Загороднюк В. П., Вовк Э. В., Черпак Б. Д., Шуба М. Ф. // Физиол. журн. — 1986. — 32, № 2. — С. 172—179.

Модифицированным методом одинарного сахарозного мостика исследованы синаптические потенциалы ГМ продольного и колыцевого слоев начального отдела тощей кишки человека и дистального отдела подвздошной. Неадренергическая тормозящая передача более представлена в колыцевом слое ГМ тонкой кишки, холинергическая возбуждающая — в продольном. В отличие от ТСП ГМ тонкой кишки у морской свинки этот потенциал у человека не блокируется апамином и тетраэтиламонием. Результаты не противоречат пуринергической гипотезе неадренергического торможения. Генерация тормозящих синаптических потенциалов в ГМ тонкой кишки человека обусловлена увеличением проводимости мембрани для К⁺. Ил. 5. Библиогр. 18.

УДК 612.75:612.116.3

Влияние полиглюкина на тканевые базофилы крыс / Тимченко С. В., Покровская С. В., Бабенко Л. П. // Физиол. журн. — 1986. — 32, № 2. — С. 180—183.

В экспериментах на крысах Вистар показано, что введение 6 % полиглюкина внутривенно, вызывает достоверное повышение процента дегранулировавших тканевых базофилов в перитонеальной жидкости, брыжеечке, соединительной ткани лапок, а внутрибрюшинная инъекция препарата оказывает такое влияние только на тканевые базофилы перитонеальной жидкости. Развитие местного отека, вызываемого 0,05—6 % полиглюкином, имеет различную динамику развития в зависимости от количества введенного вещества. Вместе с тем *in vitro* те же концентрации препарата не влияют на функциональную активность перитонеальных и плевральных тканевых базофилов. Предполагают, что *in vivo* действие полиглюкина осуществляется опосредованно. Ил. 2. Библиогр. 7.

УДК 612.43/.45(001.6)

О механизме адаптогенного эффекта токоферола при длительном действии холода / Шорин Ю. П., Селятицкая В. Г., Колесова Н. Г., Куликов В. Ю. // Физиол. журн. — 1986. — 32, № 2. — С. 184—188.

Включение в течение 7 нед токоферола (ТФ) в рацион (4 мг/сут) не изменяет выживаемости при -27°C у крыс, содержащихся при +22°C, но повышает выживаемость адаптированных к холоду животных (7 нед при +5 °C) по сравнению с соответствующим контролем без ТФ. Под влиянием ТФ происходит торможение перекисного окисления липидов в печени и снижение биосинтеза кортикостероидов у крыс, содержащихся в условиях термокомфорта, и у адаптированных к холоду животных. Однако чувствительность ткани надпочечников к АКТГ и прогестерону повышена в обеих группах. Предполагается формирование под действием ТФ более экономного типа кортикостероидной регуляции, частное проявление которого — «антистрессорное» действие ТФ. Активность антиоксидантных систем непосредственно не связана с адаптивной устойчивостью и поэтому не всегда может быть критерием ее повышения. ТФ повышает специфическую резистентность организма, если применяется одновременно с действием фактора адаптации — холода. Табл. 3. Библиогр. 16.

УДК 616.15—008.1:616.36—002.099:615.857.3

Микроциркуляция в брыжейке крыс при белковом их голодании и парентеральном питании азотистыми препаратами на фоне токсического гепатита / Гланц Р. М., Вавринюк А. Ф. // Физиол. журн. — 1986. — 32, № 2. — С. 189—192.

Выявлено, что у белых крыс при токсическом гепатите, особенно на фоне белкового голодания происходят существенные нарушения микроциркуляции — расширение артериол, набухание сосудистых стенок, закупорка агрегатами, стаз, нарушение капиллярного кровотока, точечные кровоизлияния. Парентеральное питание аминосолом, полиамином и гидролизатом казеина в значительной степени уменьшает эти нарушения, приостанавливая развитие морфологических и функциональных изменений патологического характера. Ил. 1. Библиогр. 10.

УДК 612.46—084:616—005.1—615.384

Изучение процессов мочеобразования в нефрона методом остановленного тока мочи при кровопотере и инфузационной терапии комплексными плазмозамещающими растворами / Федоров В. И. // Физиол. журн. — 1986. — 32, № 2. — С. 193—198.

В серии острых опытов на 16 собаках методом остановленного тока мочи изучали процессы мочеобразования в нефрона после кровопотери и инфузционной терапии комплексными плазмозамещающими растворами на основе полиглюкина и желатиноля, содержащими натриевые соли молочной, янтарной и кетоглютаратовой кислот. В условиях геморрагической гипотензии происходит нарушение электролитов в дистальных сегментах нефрона. Внутривенное введение комплексных плазмозамещающих растворов перенесшим кровопотерю животным приводило к увеличению фильтрационного заряда натрия, активации дистальной реабсорбции хлора и стимуляции секреции калия в дистальных канальцах. Ил. 1. Табл. 2. Библиогр. 19.

УДК 612.621:636.4.082.4

Морфофункциональное разнообразие фолликулярных яйцеклеток свиньи / Лобченко В. А. // Физиол. журн. — 1986. — 32, № 2. — С. 199—203.

Дана характеристика комплексов ооцит — кумулюс из нормально развивающихся и атретических фолликулов яичника свиньи разных стадий эстрального цикла. Предложена схема дифференцировки популяции ооцитов на атретические и нормальные по состоянию их кумулюса и цитоплазмы. Ил. 2. Библиогр. 14.

УДК 612—092.3—001.1/3—053.8/9

Особенности реакции некоторых отделов пищевого канала на острый эмоционально-болевой стресс у зерелых и старых крыс / Тарасенко Л. М., Девяткина Т. А. // Физиол. журн. — 1986. — 32, № 2. — С. 203—206.

Изучали роль возраста в формировании адаптации при остром эмоционально-болевом стрессе (ЭБС) на пародонте и желудке 38 белых крыс-самок, зерелых (6—7 мес) и старых (24 мес). Состояние пародонта оценивали по содержанию малонового диальдегида (МДА — конечного продукта перекисного окисления липидов; ПОЛ) в мягких тканях и минерализации (содержанию кальция и фосфора) в костной ткани пародонта. Установлено, что возрастные изменения сопряжены со снижением адаптивных возможностей пищеварительной системы в ответ на стресс. Нарастание тяжести повреждения пародонта старых крыс не сопровождается параллельным повышением уровня МДА в мягких тканях, что предполагает участие иного механизма кроме ПОЛ в патогенезе стрессорной реакции пародонта. Табл. Библиогр. 16.

УДК 612.617:612.826.5—089.87

Особенности реакции семенников на введение хориогонадотропина у неполовозрелых интактных и гипофизэктомированных крыс после разрушения и раздражения гиппокампа / Крещук Л. Н. // Физиол. журн. — 1986. — 32, № 2. — С. 207—211.

У неполовозрелых самцов белых крыс исследовали влияние разрушения и раздражения вентрально-медиального отдела гиппокампа (ВМОГ) на семенники с интактным и удаленным гипофизом, а также реакцию семенников на хориогонадотропин (ХГ) интактных и гипофизэктомированных животных. Разрушение ВМОГ угнетает эндокринную функцию семенников, а его раздражение — стимулирует эндокринную и сперматогенную функции. После удаления гипофиза разрушение и раздражение ВМОГ оказывается на степени атрофических изменений в семенниках, вызванных гипофизэктомией. Раздражение ВМОГ повышает, а его разрушение понижает реакцию семенников на ХГ. После удаления гипофиза разрушение ВМОГ не изменяет, а его раздражение повышает реакцию семенников на ХГ. Табл. 2. Библиогр. 13.

УДК 612.17.014.31:6

Механизмы влияния сердца / Паламарчук С. С. // Физиол. журн. — 32, № 2. — С. 21.

Цель настолько сложная, что ее можно определить как «исследование механизмов рефлексов, регулирующих деятельность сердца». Важнейшими факторами, влияющими на сердце, являются гемодинамические и гуморальные факторы. Гемодинамические факторы включают в себя давление в артериях, давление в венах, объем циркулирующей крови, частоту сердечных сокращений и т. д. Гуморальные факторы включают в себя гормоны, вырабатываемые щитовидной железой, поджелудочной железой, почками и другими органами. Особое внимание уделяется роли гормонов роста и гормонов антидиуретического гормона.

УДК 611—013.8+57

Характеристика

Физиол. журн. — 32, № 2.

В опытах на крысах установлено, что инъекция адренорецепторов (адреналина) приводит к увеличению сердечной деятельности, а инъекция антиадренорецепторов (простагландинов) — к снижению сердечной деятельности.

УДК 612.115:616—013.8

Изменение систем

которые способствуют

1986. — 32, № 2.

В эксперименте на крысах установлено, что инъекция гиперкоагуляции (гиперкоагуляции) приводит к увеличению сердечной деятельности, а инъекция антикоагуляции (гипотензии) — к снижению сердечной деятельности.

Указанные меры предупреждают синдром сухородного голодания.

Сочетанное применение гиперкоагуляции и тромбоэмболии приводит к снижению сердечной деятельности.

УДК 615.373.39.616.3

Динамика циркуляции

антител при ви-

ская Е. А., Наза-

Изучали динамику антитоксина многократного введения антитоксина в организм крысы. Оказалось, что содержание крови животных антитоксина перед каждым введением антитоксина было одинаковым.

УДК 612.014.42:612.3

Изучение проводимости

клеток в состоя-

вии М. Ю. // Физи-

Измеряли изотонический коэффициент секреции кишечника. Установлено, что изотонический коэффициент секреции кишечника у крыс, находящихся в состоянии гипотензии, выше, чем у крыс, находящихся в состоянии нормального кровообращения.

УДК 612.17.014.31:616.34

Механизмы влияния раздражения брыжейки кишечника на деятельность сердца / Паламарчук И. Г., Кривохацкая Ю. А. // Физиол. журн. — 1986. — 32, № 2. — С. 211—213.

Цель настоящего исследования — изучение механизмов энтерокардиальных рефлекторных влияний путем разрушения отделов центральной нервной системы (ЦНС) и фармакологического анализа. Отмечены энтерокардиальные влияния после разрушения ЦНС. Порог их возникновения более высок и, как показали наши контрольные исследования с надавливанием на крупные сосуды брюшной полости, возможно связаны с колебаниями давления в аорте и нижней полой вене при подергивании брыжейки кишки с последующим вовлечением (гидродинамически) внутрисердечных механизмов регуляции деятельности сердца. Библиогр. 8.

УДК 611—013.8+576.8.097.1

Характеристика рецепторов сосудов плаценты человека / Цыпун А. Г. // Физиол. журн. — 1986. — 32, № 2. — С. 214—217.

В опытах *in vitro* изучено влияние ряда синтетических аналогов мединаторов (адреналин, норадреналин, парасигматин, серотонин) и модификаторов (простагландин E₂, F_{2α}, аденоцин) на тонус изолированных сосудов плаценты человека.

Установлено, что в них представлены М- и Д-серотониновые, α- и β-адренорецепторы. Избирательное возбуждение α- или β-адренорецепторов приводит к качественно различным реакциям сосудов: при возбуждении α-адренорецепторов — повышение, при возбуждении β-адренорецепторов — снижение их тонуса. Показана роль эндогенных простагландинов в обеспечении реакции плацентарных сосудов на аденоцин. Ил. 4. Библиогр. 12.

УДК 612.115:616—001.8—085:547:458+615.242.3

Изменение системы гемокоагуляции при острой гипоксии у кроликов и некоторые способы ее коррекции / Баканская В. В. // Физиол. журн. — 1986. — 32, № 2. — С. 217—221.

В эксперименте на кроликах установлено, что предварительное применение реополиглюкина и никотиновой кислоты предупреждает развитие гиперкоагуляции крови и тромбообразование при острой гипоксической гипоксии. Реополиглюкин вводили внутривенно (5 мл), никотиновую кислоту — внутримышечно (10 мг/кг). Острую гипоксию вызывали путем «подъема» животных в барометрической камере на «высоту» 8 000 м и «пребывания» там в течение 1 ч.

Указанные препараты активируют фибринолитическую систему, предупреждают снижение гепарина и увеличение фибриногена в крови, что способствует сохранению гемокоагуляционного гомеостаза в условиях кислородного голодания.

Сочетанное применение реополиглюкина и никотиновой кислоты является эффективным средством, предупреждающим гиперкоагуляцию крови и тромбоэмбolicкие осложнения при острой гипоксии в условиях эксперимента. Ил. 1. Библиогр. 19.

УДК 615.373.39.616.981.551

Динамика циркуляции противостафилококковых и противостолбнячных антител при внутривенной пассивной иммунизации кроликов / Федоровская Е. А., Назарчук Л. В. // Физиол. журн. — 1986. — 32, № 2. — С. 221—224.

Изучали динамику циркуляции антистафилококковых и антистолбнячных антитоксинов (гомологичных и гетерологичных) при однократном и многократном внутривенном их введении. Повторные введения гомологичных антитоксинов, проведенные в период снижения их уровней, увеличивают содержание и удлиняют сроки циркуляции антител в сыворотке крови животных. Гомологичные антитела обладают выраженным преимуществами перед соответствующими гетерологичными, особенно при многократных введениях, что выражается в более высоких уровнях и более длительном периоде циркуляции. Ил. 2. Библиогр. 2.

УДК 612.014.42:612.31

Изучение проводимости ионов плазматической мембраной секреторных клеток в состоянии покоя методом внутриклеточного диализа / Клевец М. Ю. // Физиол. журн. — 1986. — 32, № 2. — С. 224—227.

Измеряли калиевый, натриевый и хлорный трансмембранные токи утечки секреторных клеток слюнной железы личинки хирономуса в покое. Установлено, что $g_K = 5 \cdot 10^{-4}$, $g_{Na} = 0.4 \cdot 10^{-4}$ и $g_{Cl} = 1.4 \cdot 10^{-4}$ см/см², а их соотношение равно $g_K : g_{Na} : g_{Cl} = 1 : 0.8 : 0.28$. Ил. 3. Табл. 1. Библиогр. 7.

УДК 612.796.422

Влияние 20-километрового бега на биохимические показатели крови у тренированных и нетренированных студентов / Юримяэ Т. А., Виру А. А., Нурмекииви А. А., Каарельсон К. М., Линтси М. Э. // Физiol. журн. — 1986. — № 2. — С. 227—230.

У тренированных (спортсменов) и нетренированных студентов до и после 20-километрового бега определялись в плазме крови гематокрит, лактат, глюкозу, мочевину, триглицериды, общий холестерин, липопротеиды высокой и низкой плотности, а также отношение липопротеидов высокой плотности к общему холестерину. При 20-километровом беге не истощается запас энергии независимости от тренированности исследуемого. Усиление белкового катаболизма, отражающееся в накоплении мочевины при такой нагрузке, выражено лишь у нетренированных студентов. У спортсменов существенно увеличивается концентрация лактата. Остальные исследуемые показатели изменились несущественно. Табл. 1. Библиогр. 16.

УДК 616—092.9:57.081.4.1.616.132.2.008.64

Моделирование дозированного сужения просвета коронарного сосуда / Строганова Н. П., Коваленко В. И., Шаваран С. С. // Физiol. журн. — 1986. — № 2. — С. 231—234.

Предложено устройство для моделирования дозированного эксцентрического сужения просвета коронарного сосуда, применение которого в сочетании с электромагнитным измерением кровотока в исследуемом сосуде и электроманометрическим измерением давления в аорте и полости левого желудочка позволяет исследовать зависимость качественных и количественных изменений потока крови в сосуде от степени его сужения. Использование гиперемической реакции в качестве тестового воздействия позволяет в этих условиях оценить функциональную значимость стеноза. Ил. 2. Библиогр. 11.

АВТОРСКАЯ РЕГИСТРАЦИЯ СОСТАВЛЕННЫЕ

3. Требования к титульном листе

3.1. Авторская рукопись должна быть подписана автором в трех экземплярах, подписаны должны быть все страницы рукописи, включая заголовок, введение, текст, выводы, таблицы, рисунки, схемы, диаграммы, формулы, сноски, библиографию, а также все страницы, на которых имеются пометки, сделанные автором или его помощниками, а также пометки, сделанные вручную на отдельных листах, в которых отмечены ошибки, выявленные в процессе рецензирования рукописи.

3.2. Страницы рукописи должны быть подписаны автором вручную (если таковые имеются).

3.3. Текст рукописи должен быть написан на чистом белом листе бумаги (бумага писчая), чтобы:

— на одной странице не более 65 знаков с пробелами;

— абзацный отступ — 10 мм;

— поля составляющие — 10 мм;

— заголовки были написаны отдельными строками;

— таблицы, выведенные на отдельные страницы, имели заголовки и подзаголовки;

— тематические разделы были обозначены заголовками;

— мерационным, например, Таблица 1. Основные

— таблицы до таблицы;

— целые числа (один, два, три и т. д.) с ными дробями, имеющими три цифры справа на

3.4. Перед сдачей рукописи необходимо:

— проверить соо наименований и обознов и определений —

— отчетливо впи матические и химичес вы редко применяемые вписываемых в остав знаков, буква должна быть над- и подстрочны санию и разметке формальных требований;

— проставить на месте текста, где они даются;

3.5. В рукописи не должны присутствовать:

— круглые скобки, образцу: (Текст);

— квадратные скобки сверху и снизу горизонтальные дефисы в тексте —, проводя над

scid-base

— арабские цифры, как показано, к

— римские цифры, черточки, по образцу:

Требования к со

номере журнала.


**АВТОРСКАЯ РУКОПИСЬ. ОСНОВНЫЕ ТРЕБОВАНИЯ,
СОСТАВЛЕННЫЕ В СООТВЕТСТВИИ С СТП 30206/11—3.1.02—80**

3. Требования к техническому оформлению авторской рукописи

3.1. Авторская рукопись представляется в издательство в двух экземплярах, подписанных автором и ответственным за ее выход в свет. В конце рукописи должно быть указано, что «цифровой, фактический материал и библиографические сведения проверены». Авторы (подписи и дата).

3.2. Страницы рукописи статьи, начиная с первой страницы и кончая подписями к иллюстрациям или дубликатам формул и примечаний (если таковые имеются), должны быть пронумерованы.

3.3. Текст рукописи статьи должен быть напечатан на пишущей машинке (бумага писчая формата А4—210×297 мм) через два интервала так, чтобы:

- на одной странице было не более 30 строк и в каждой строке не более 65 знаков с учетом пробелов между словами;

- абзачный отступ был одинаковым и равен пяти знакам;

- поля составляли не менее: левое, верхнее и нижнее 20 мм, правое — 10 мм;

- заголовки были напечатаны строчными буквами и отделялись от основного текста сверху и снизу тремя интервалами;

- таблицы, выводы и списки литературы напечатаны на отдельных страницах и текст в таблицах не выходил за линии, ограничивающие умозрительные линии граф по ширине;

- тематические заголовки таблиц были напечатаны в подбор к нумерационным, например:

Таблица 1. Основные единицы СИ;

- таблицы до трех колонок были напечатаны в виде вывода;

- целые числа (исключая номера) и целые части чисел с десятичными дробями, имеющие более четырех знаков, делились на классы по три цифры справа налево с пробелом между классами в один знак.

3.4. Перед сдачей рукописи в издательство автору необходимо следующее:

- проверить соответствующие единицы физических величин, их наименований и обозначений требованиям СТ СЭВ 1052—78, а терминов и определений — терминологическим стандартам;

- отчетливо вписать и разметить (простым карандашом) математические и химические символы, формулы, специальные знаки и буквы редко применяемых алфавитов, указав на поле их название. Размер вписываемых в оставленное в машинописной строке место символов, знаков, букв должен быть не меньше размера машинописного шрифта, а над- и подстрочных индексов — не менее 2 мм. Требования к написанию и разметке формул см. *Приложение 3* и далее по тексту обязательных требований;

- проставить на полях номера таблиц и иллюстраций против тех мест текста, где они должны быть заверстаны;

3.5. В рукописи необходимо также разметить черной пастой:

- круглые скобки, напечатанные знаком /, закруглив знак по образцу: (Текст);

- квадратные скобки, напечатанные знаком /, подрисовав к знаку сверху и снизу горизонтальные черточки, по образцу: [Текст];

- дефисы в текстах на иностранных языках, напечатанные знаком —, проведя над знаком параллельную черточку по образцу: scid-base

- арабские цифры 1, 11, 111, ..., напечатанные знаком I, подрисовав, как показано, к знакам вверху слева наклонные черточки;

- римские цифры, проведя над ними и под ними горизонтальные черточки, по образцу: II; XIV.

Требования к сопроводительной документации см. в следующем номере журнала.

1 р. 40 к.

74523

НАУКОВА ДУМКА

Физiol. журн., 1986, т. 32, № 2, 129—256